

## รายงานการวิจัยฉบับสมบูรณ์

โครงการวิจัย โพโตโวต้าอิคดีซีนาโนกริด

ผู้วิจัย

อาจารย์สรรธพล คุ้มทรัพย์

อาจารย์ชานุฤทธิ์ หาราสันติสุข

อาจารย์บุญช่วย เจริญผล

คณะวิศวกรรมศาสตร์ มหาวิทยาลัยเทคโนโลยีราชมงคลกรุงเทพ

สนับสนุนโดย สำนักบริหารโครงการวิจัยในอุดมศึกษา  
และพัฒนาวิทยาลัยแห่งชาติ  
สำนักงานคณะกรรมการอุดมศึกษา

## กิตติกรรมประกาศ

โครงการวิจัยนี้ได้รับทุนสนับสนุนการวิจัยจาก สำนักบริหารโครงการวิจัยในอุดมศึกษา และพัฒนามหาวิทยาลัยแห่งชาติ สำนักงานคณะกรรมการอุดมศึกษา

อาจารย์สรรนพล คุ้มทรัพย์



ทดสอบ  
เลขที่แบบ..... ๙๕๙ (ก.๒)  
วันที่..... ๒๒ มิ.ย. ๒๕๕๘  
ผู้ทดสอบ ค. ....

หัวข้อวิจัย	ไฟโคมไฟอิเล็กทรอนิกส์ในกริด
ผู้วิจัย	อาจารย์สรรษฐ์ คุ้มทรัพย์
ผู้วิจัย	อาจารย์ชาญฤทธิ์ รา arasanti สุข และอาจารย์บุญช่วย เจริญผล
สาขาวิชา	คณะวิศวกรรมศาสตร์ มหาวิทยาลัยเทคโนโลยีราชมงคลกรุงเทพ
ปีงบประมาณ	๒๕๕๕

### บทคัดย่อ

งานวิจัยนี้นำเสนอระบบคอนเวอร์เตอร์สำหรับดีซีนาโนกริดที่อาศัยการควบคุมแบบครูป (droop) โดยใช้อินพุตจากแหล่งจ่ายไฟฟ้ากระแสตรงแบบโปรแกรมได้ที่ใช้ข้อมูลทางไฟฟ้าของเซลล์แสงอาทิตย์ที่ติดตั้งจริง ป้อนให้กับวงจรบูสต์คอนเวอร์เตอร์ใช้การแบ่งกระแสด้วยเทคนิค อินเตอร์ลีฟ (interleaved) จำนวน 4 โมดูล เพื่อที่จะลดกระแสกระแสเพื่อมทางด้านอินพุตและสามารถจ่ายกำลังไฟฟ้าให้กับโหลดที่ถูกต่อเพิ่มเข้ามาในระบบได้ แต่ละวงจรทำงานในโหมด กระแสไฟฟ้าต่อเนื่อง การออกแบบควบคุมเป็นตัวควบคุมแบบพิไอเพื่อลดการกระแสเพื่อมของกระแสทางด้านอินพุต การควบคุมเพื่อรักษาระดับแรงดันเอาต์พุตให้มีค่าคงที่ สามารถจ่ายกระแสสูงและการแบ่งจ่ายกระแสของแต่ละวงจรไปยังภาระมีค่าใกล้เคียงกัน มีประสิทธิภาพและความนำเชื่อตือสูง จากผลการทดสอบพบว่าสามารถยกระดับแรงดันเอาต์พุตที่ 60 V มีการเปลี่ยนแปลงจ่ายกระแสในแต่ละโมดูลได้ใกล้เคียงกัน มีกำลังไฟฟ้าเอาต์พุตสูงสุดที่ 1kW และมีประสิทธิภาพเฉลี่ย 90.33 %



## Abstract

This research report presented converter system of DC Nanogrid, control with droop control technique. The input of converter system controls by DC programmable power supply and PV emulator. The parallel boost Dc to dc converter in order to reduce the input ripple current and power to the load can be further added to the system. The boost dc to dc converter with 4 parallel modules works in continuous current mode. Control design is a PI controller and comprise of an interleaved control technique for decreasing input current ripple. The performance of 4 modules parallel boost dc to dc converter is increase output voltage 60 V. The maximum power output of 1 kW can control the current to a value that was similar in each module. Results of the tests shown that 4 modules parallel boost dc to dc converter are built to conform to the output voltage regulation. The average of the current in each module was similar. The maximum output power of 1 kW and also average efficiency of the purposed system is 90.33%



## สารบัญเรื่อง

	หน้า
<b>ปกใน</b>	2
กิตติกรรมประกาศ	3
บทคัดย่อ	4
สารบัญ	6
สารบัญตาราง	8
สารบัญภาพ	9
 บทที่ 1 บทนำ	
1.1 วัตถุประสงค์ของงานวิจัย	14
1.2 ขอบเขตของงานวิจัย	15
1.3 ขั้นตอนการดำเนินงาน	15
1.4 ประโยชน์ที่คาดว่าจะได้รับ	15
 บทที่ 2 ทฤษฎี	
2.1 เชลล์แสงอาทิตย์	17
2.2 คุณลักษณะของแผงเซลล์แสงอาทิตย์	18
2.3 การติดตามจุดให้กำลังไฟฟ้าสูงสุด	24
2.4 บูสต์ดีซีทูดีซีคอนเวอร์เตอร์ (Boost Dc to Dc Converter)	27
2.5 วงจรบูสต์ดีซีทูดีซีคอนเวอร์เตอร์แบบขนาด	38
2.6 เทคนิคการอินเตอร์ลีฟ (Interleaved Technique)	52
2.7 ตัวควบคุมแบบพีไอ (PI Controller)	54
2.8 เทคนิคการควบคุมแบบดรูป (Droop Control technique)	57
 บทที่ 3 การออกแบบงานวิจัย	
3.1 หลักการออกแบบชุดติดตามจุดกำลังไฟฟ้าสูงสุด	59
3.2 ส่วนประกอบหลักของโครงการวิจัย	60
3.3 คุณสมบัติแผงเซลล์แสงอาทิตย์ที่ใช้ในงานวิจัย	62
3.4 อัลกอริทึมติดตามกำลังไฟฟ้าสูงสุด	63
3.5 ขั้นตอนการเขียนโปรแกรม	65
3.6 การประมวลผลของส่วนโปรแกรมควบคุม	66
3.7 การขยายวงจรเปลี่ยนผันด้วยเทคนิคอินเตอร์ลีฟ	73
3.8 การออกแบบวงจรกำลังแบบขนาด 4 โมดูล	74

3.9 การออกแบบวางจักรควบคุมบัญชีต่อร์แบบขนาด 4 มोดูล	79
<b>บทที่ 4 ผลการวิจัย</b>	
4.1 เครื่องมือที่ใช้ทดสอบ	92
4.2 ทดสอบการติดตามจุดกำลังไฟฟ้าสูงสุดของแผงเซลล์แสงอาทิตย์	96
4.3 การจำลองการทำงานของวงจรบัญชีต่อร์แบบขนาด 4 มोดูล	101
4.4 ผลการจำลองการทำงาน	104
4.5 การทดสอบวางจักรบัญชีต่อร์แบบขนาด 4 มोดูล	106
4.6 สรุปผลการทดสอบ	112
<b>บทที่ 5 สรุปผลการวิจัยและข้อเสนอแนะ</b>	
5.1 สรุปผลที่ได้จากการทดลอง	113
5.2 ข้อเสนอแนะ	113
5.3 ผลงานพิมพ์ในการประชุมวิชาการ	114
<b>บรรณานุกรม</b>	118
ภาคผนวก ก. โปรแกรม และรูปชิ้นงาน	119
ภาคผนวก ข. ประวัตินักวิจัย	122
ภาคผนวก ค. รายการสรุปการเงิน	130

## สารบัญตาราง

ตารางที่	หน้า
2.1 การเปรียบเทียบวงจรแม่เหล็กไฟฟ้าและวงจรไฟฟ้า	40
2.2 ขนาดบอร์บิน	44
2.3 ข้อมูลขนาดลวดทองแดง	49
2.4 ข้อมูลขนาดลวดทองแดง (ต่อ)	50
3.1 ค่าพารามิเตอร์ของแกนเฟอร์เรต์เบอร์ EE55/55/21	76
4.1 คุณสมบัติแผงเซลล์แสงอาทิตย์รุ่น LEC-3024	93
4.2 ค่ากำลังไฟฟ้าสูงสุดต่อ 1 แผง	94
4.3 ค่ากำลังไฟฟ้าสูงสุดต่อ 2 แผง	95
4.4 รายการและค่าพารามิเตอร์ที่ใช้จำลองการทำงาน	101
4.5 ผลการทดสอบวงจรบูสต์คอนเวอร์เตอร์แบบบานาน 4 โมดูล	106
4.6 ประสิทธิภาพของบูสต์คอนเวอร์เตอร์แบบบานาน 4 โมดูล	108

## สารบัญรูป

รูปที่	หน้า
2.1 วงจรสมมูลของแพงเชลล์แสงอาทิตย์	18
2.2 เส้นโค้งกระแส-แรงดัน ( $I - V$ ) ที่แปรผันตามระดับความเข้มแสง	19
2.3 เส้นโค้งกระแส-แรงดัน ( $I - V$ ) ที่แปรผันตามระดับอุณหภูมิ	20
2.4 เส้นโค้งกำลังไฟฟ้า-แรงดัน ( $P-V$ ) ที่แปรผันตามระดับความเข้มแสง	21
2.5 เส้นโค้งกำลังไฟฟ้า-แรงดัน ( $P-V$ ) ที่แปรผันตามระดับอุณหภูมิ	21
2.6 คุณลักษณะกระแสแรงดันของเซลล์แสงอาทิตย์	22
2.7 จุดให้กำลังไฟฟ้าสูงสุดจากเส้นโค้งกำลังไฟฟ้า-แรงดัน ( $P-V$ )	24
2.8 จุดปฏิบัติงานที่ให้กำลังไฟฟ้าสูงสุด และจุดปฏิบัติงานอยู่ต่ำกว่าและสูงกว่า แรงดันที่จุดให้กำลังไฟฟ้าสูงสุด จากเส้นโค้งกำลังไฟฟ้า-แรงดัน ( $P-V$ )	26
2.9 วงจรสมมูลของวงจรบูสต์ดีซีทูดีซีคอนเวอร์เตอร์	27
2.10 วงจรการทำงานของวงจรบูสต์ดีซีทูดีซีคอนเวอร์เตอร์荷มดที่ 1 สวิตช์ปิด	28
2.11 วงจรการทำงานของวงจรบูสต์ดีซีทูดีซีคอนเวอร์เตอร์荷มดที่ 2 สวิตช์เปิด	28
2.12 สัญญาณแรงดันกระแสของวงจรบูสต์ดีซีทูดีซีคอนเวอร์เตอร์	29
2.13 วงจรบูสต์ดีซีทูดีซีคอนเวอร์เตอร์แบบขนาด	34
2.14 วงจรสมมูลขณะสวิตช์ปิด	34
2.15 วงจรสมมูลขณะสวิตช์เปิด	36
2.16 วงจรแม่เหล็กพื้นฐาน	38
2.17 ชีสเตอร์รีซีสลูป	39
2.18 วงจรแม่เหล็กไฟฟ้าและวงจรเทียบเคียง	40
2.19 ลักษณะของแกนเฟอร์ไรต์แบบต่างๆ	42
2.20 เส้นโค้งอิสเตอร์รีซีสของแกนเฟอร์ไรต์	43
2.21 ค่าการสูญเสียในแกนเฟอร์ไรต์ของเนื้อสารชนิด 6H20 7H20 และ 7H10	
2.22 ลักษณะของบินนของแกนเฟอร์ไรต์	43
2.23 ขนาดค่าระลอกกับดิวตี้ไซเดิลของวงจรบูสต์คอนเวอร์เตอร์แบบขนาด 4 โมดูลโดยใช้ เทคนิคการอินเตอร์ลีฟ	44
2.24 กระแสเฉลี่ยที่เหล่านตัวเก็บประจุกับดิวตี้ไซเดิลของวงจรบูสต์คอนเวอร์เตอร์	
แบบขนาด 4 โมดูล	53
2.25 บล็อกໄ/doze แกรมของตัวควบคุมแบบพีไอ	55
2.26 ผลตอบสนองต่อฟังก์ชันขั้นบันไดของตัวควบคุมแบบพีไอ	55

## สารบัญรูป (ต่อ)

รูปที่	หน้า
2.27 วงจรออกแบบควบคุมแบบพีไอ	56
2.28 บล็อกໄດօะแกรมการควบคุมขั้นต้นด้วยวิธีดัญ	58
3.1 VI Characteristic ของเซลล์แสงอาทิตย์	59
3.2 บล็อกໄດօะแกรมของอัลกอริทึมติดตามกำลังไฟฟ้าสูงสุดและส่วนแสดงผล	60
3.3 กราฟ VI Curve แสดงค่ากำลังไฟฟ้าของเซลล์แสงอาทิตย์	62
3.4 บล็อกໄດօะแกรมของภาคควบคุม	63
3.5 อุปกรณ์และวงจรวัดแรงดัน	63
3.6 อุปกรณ์และวงจรวัดกระแส	64
3.7 วงจรแยกได้ทางแสงสำหรับขับเกต	65
3.8 ขั้นตอนการทำงานของโปรแกรม	71
3.9 บล็อกໄດօะแกรมของบุสต์ดีซีทูดีซีคอนเวอร์เตอร์แบบขนาด 4 โมดูล	73
3.10 วงจรควบคุมแรงดันและกระแสแบบลูปปิด	79
3.11 วงจรกำเนิดพัลส์อ้างอิงโดยใช้ไอซี NE555	80
3.12 สัญญาณพัลส์อ้างอิง	81
3.13 วงจรสลดความถี่สัญญาณพัลส์ให้เหลือ 25 kHz	82
3.14 สัญญาณพัลส์ที่ห่างกัน 180 องศา และความถี่ลดเหลือ 25 kHz	83
3.15 วงจรสร้างสัญญาณกระแสตุนที่มีการเหลื่อมเฟสกัน 90 องศา ของชุด A	83
3.16 สัญญาณกระแสตุนที่ออกมาจากไอซี 74LS123 ของชุด A	84
3.17 วงจรสร้างสัญญาณสามเหลี่ยม	85
3.18 สัญญาณสามเหลี่ยมที่ได้จากการอนซิสเตอร์ 2N2222	86
3.19 วงจรมอดูลเอดสัญญาณพีดับบลิวเอ็น	86
3.20 วงจรขับนำเกตโดยใช้ไอซีเบอร์ TLP250	87
3.21 วงจรควบคุมกระแสแบบพีไอ	89
3.22 อุปกรณ์และวงจรตรวจจับแรงดัน	89
3.23 ไมโครคอนโทรลเลอร์เพื่อสร้างตัวควบคุมแบบพีไอ	90
3.24 แผนภูมิสายงานการทำงานของโปรแกรมควบคุมของไมโครคอนโทรลเลอร์	91

## สารบัญรูป (ต่อ)

รูปที่	หน้า
4.1 ไดอะแกรมการทดสอบประเมินสมรรถนะของແພເໜີລັບແສງອາທິດຍີ	93
4.2 กำลັງໄຟຟ້າສູງສຸດຕ່ອ 1ແພ	94
4.3 การหาค่ากำลັງໄຟຟ້າສູງສຸດຕ່ອ 2 ແພ	95
4.4 ໄຟຟ້າສູງເຄື່ອງຈຳລອງເໜີລັບແສງອາທິດຍີດ້ວຍໂປຣແກຣມ Matlab/Simulink	96
4.5 การຕ່ອໃຫ້ງານເຄື່ອງ Power Analyzer ຮູ່ນ WT500	97
4.6 ຄ່າກຳລັງງານໄຟຟ້າໃນຂະໜາດທີ່ຄວາມເຂັ້ມແສທີ່ຕ່າງກັນ ໂດຍຕ່ອກັບໂລດຄວາມຕ້ານການ 50Ω 300W ໂດຍໃຊ້ແພເໜີລັບແສງອາທິດຍີຂະໜາດ 30W 2 ແພ ຕ່ອຂ່ານາໂດຍໃຊ້ໂປຣແກຣມ ທີ 1	98
4.7 ຄ່າກຳສັງງານໄຟຟ້າໃນຂະໜາດທີ່ຄວາມເຂັ້ມແສທີ່ຕ່າງກັນ ໂດຍຕ່ອກັບໂລດຄວາມຕ້ານການ 50Ω 300W ໂດຍໃຊ້ແພເໜີລັບແສງອາທິດຍີຂະໜາດ 30W 2 ແພ ຕ່ອຂ່ານາ ໂດຍໃຊ້ໂປຣແກຣມທີ 2	99
4.8 ຄ່າກຳລັງງານໄຟຟ້າໃນຂະໜາດທີ່ຄວາມເຂັ້ມແສທີ່ຕ່າງກັນ ໂດຍຕ່ອກັບໂລດ ຄວາມຕ້ານການ ໃຊ້ແພເໜີລັບແສງອາທິດຍີຂະໜາດ 30 W 2 ແພຕ່ອຂ່ານາ ດ້ວຍໂປຣແກຣມທີ 1	100
4.9 ຄ່າກຳສັງງານໄຟຟ້າໃນຂະໜາດທີ່ຄວາມເຂັ້ມແສທີ່ຕ່າງກັນໂດຍຕ່ອກັບໂລດຄວາມຕ້ານການໃຊ້ ແພເໜີລັບແສງອາທິດຍີຂະໜາດ 30W 2 ແພຕ່ອຂ່ານາ ໂດຍໃຊ້ໂປຣແກຣມທີ 2	100
4.10 ແນບຈຳລອງຄົດຄາສຕ່ຽງອາວຸ້ນເວຼັອຣ໌ແຕວໜານ 4 ໂມດຸລ	102
4.11 ກາຍໃນບັນລຸກຂອງອິນເດວົຣ໌ລີຟ	102
4.12 ກາຍໃນບັນລຸກຂອງຈະຈຸບັນເວຼັອຣ໌ແຕວໜານ	103
4.13 ກາຍໃນບັນລຸກຂອງຮບບນ	103
4.14 ກະແສອິນພຸດແລກກະແສນຈຸດລວດເໜີຍວ່າໃນແຕ່ລະໂມດຸລ	104
4.15 ແຮງດັນເຄາດໍພຸດແລກກະແສເຄາດໍພຸດ	104
4.16 ແຮງດັນເຄາດໍພຸດກະແສເຄາດໍພຸດຂອງຈະຈຸບັນແລກກະແສນຈຸດລວດເໜີຍວ່າໃນ ຂະໜາດເປົ້າລື່ອນແປ່ງກະຈະຮ່ວງ 400-600W	105
4.17 ວົງຈາກກຳທຳການສ່ວນການສ່ວນການສ່ວນການຂອງຄອນເວຼັອຣ໌ແຕວໜານ	106
4.18 ກາຣົງຄວາມສັມພັນກະແສ $I_{Lref}$ ກັບ $I_{in}$	107
4.19 ກາຣົງປະສິກິທີກາພຂອງບຸນຸສຄອນເວຼັອຣ໌ແຕວໜານ 4 ໂມດຸລ	109
4.20 ກະແສທີ່ໄໝຜ່ານຈຸດລວດເໜີຍວ່າທີ່ມີກະແສດ້ານອິນພຸດ 20 A	110
4.21 ກະແສທີ່ໄໝຜ່ານຈຸດລວດເໜີຍວ່າທີ່ມີກະແສດ້ານອິນພຸດ 40 A	110
4.22 ກະແສແລກແຮງດັນເຄາດໍພຸດເມື່ອເປົ້າລື່ອນແປ່ງກະຈະຮ່ວງທີ່ກະແສອິນພຸດ 15A ໄປທີ່ 25A	111

สารบัญรูป(ต่อ)

รูปที่

ผนวก ก. รูปชิ้นงาน

หน้า

118



## บทที่ 1

### บทนำ

ในการพัฒนาประเทศไทย พลังงานไฟฟ้าถือเป็นปัจจัยพื้นฐานที่สำคัญมาก จากความก่อต้นในด้านความผันผวนของราคาเชื้อเพลิงฟอสซิล ความสนใจในปัญหาสิ่งแวดล้อม เช่นจากพัฒนาระบบของพิธีสารเกี่ยวโดยซึ่งมีเนื้อหาเกี่ยวกับการลดการปลดปล่อยก๊าซเรือนกระจกเพื่อป้องกันและบรรเทาปัญหาโลกร้อน และแนวโน้มการเปลี่ยนแปลงรูปแบบการผลิตไฟฟ้าจากการเปิดเสรีทางพลังงาน (Deregulation) ทำให้ความสนใจเกี่ยวกับการผลิตพลังงานไฟฟ้าจากแหล่งพลังงานธรรมชาติ หรือพลังงานหมุนเวียน (Renewable Energy Resources) เช่น พลังงานลม หรือพลังงานแสงอาทิตย์ เป็นต้นอย่างไรก็ตาม อุปกรณ์ผลิตพลังงานไฟฟ้าจากแหล่งพลังงานธรรมชาติเหล่านี้ โดยทั่วไปแล้วกำลังไฟฟ้าที่ผลิตได้จะมีปริมาณที่ผันผวนเป็นอย่างมาก จึงทำให้เกิดความกังวลเกี่ยวกับผลกระทบในแง่ลบหั้งในด้านของคุณภาพไฟฟ้าและความเชื่อถือได้ของระบบในกรณีที่มีการนำแหล่งกำเนิดไฟฟ้าเหล่านี้ จำนวนมากเข้ามาต่อกับระบบไฟฟ้า (Grid Connected Distributed Generation) จึงได้มีการนำเสนอแนวทางการผลิตและส่งจ่ายไฟฟ้าภายใต้พื้นที่สำหรับระบบไฟฟ้ากำลังขนาดเล็กโดยใช้แหล่งกำเนิดไฟฟ้าขนาดเล็กเช่นเซลล์แสงอาทิตย์ หรือเซลล์เชื้อเพลิง รวมทั้ง การผลิตไฟฟ้าจากแหล่งพลังงานหมุนเวียน หรือรวมเรียกว่าแหล่งกำเนิดไฟฟ้า ณ. จุดใช้งาน (Distributed Energy Resource, DER) เพื่อปรับปรุงความเชื่อถือได้ของระบบไฟฟ้าและตอบสนองการเปลี่ยนแปลงที่ตามมาจากการเปิดเสรีด้านพลังงานไฟฟ้า เรียกว่าแนวคิดนาโนกริด หรือ NanoGrid Concept โดยถูกนำเสนอภายใต้โครงการ CERTS(Consortium for Electric Reliability Technology Solutions) ในสหรัฐอเมริกา ในปี 2002 ภายใต้แนวคิดนี้หั้งแหล่งกำเนิดไฟฟ้าขนาดเล็กและโหลดภายในพื้นที่จะถูกมองรวมเป็นระบบอิสระขนาดเล็กระบบหนึ่ง ซึ่งให้หั้งกำลังไฟฟ้าและความร้อนแหล่งกำเนิดไฟฟ้าขนาดเล็กส่วนใหญ่ในระบบนี้จะต้องประกอบขึ้นจากอุปกรณ์อิเล็กทรอนิกส์ กำลังเพื่อความยืดหยุ่นในการทำงานและการควบคุม ในสภาวะที่เกิดความผิดปกติขึ้นในระบบไฟฟ้ากำลังหลัก นาโนกริดจะสามารถปลดตัวเองออกจากระบบไฟฟ้ากำลังหลัก และทำงานในแบบไฮสแตนด์ (ผลิตและส่งกำลังไฟฟ้าภายใต้พื้นที่) ได้อย่างอัตโนมัติ และสามารถเชื่อมต่อกลับเข้าไปกับระบบไฟฟ้ากำลังหลักได้เมื่อความผิดปกติในระบบไฟฟ้ากำลังหลักได้รับการแก้ไขไปแล้วโดยแนวคิดนี้ นาโนกริดจะถูกมองเป็นระบบควบคุมหน่วยหนึ่งจากระบบไฟฟ้ากำลังหลัก และจะไม่สร้างปัญหาเช่นการกระเพื่อมของแรงดันไฟฟ้า การแก่วงไกวของความถี่ไฟฟ้า เป็นต้นให้กับระบบไฟฟ้ากำลังหลัก เนื่องจากนาโนกริดไม่ได้มุ่งหมายเพื่อการขายไฟฟ้าเข้ากับระบบไฟฟ้ากำลังหลัก หากแต่มุ่งเน้นการผลิตและจำหน่ายไฟฟ้าในพื้นที่ของตัวเอง การ

เพิ่มขึ้นของนาโนกริด รวมถึง DER จะไม่ทำให้เกิดปัญหากับระบบไฟฟ้ากำลังหลัก ในขณะเดียวกันก็ช่วยเสริมความมั่นคงของการส่งจ่ายไฟฟ้า รวมทั้งความเชื่อถือได้ของระบบไฟฟ้าและคุณภาพไฟฟ้าในพื้นที่ของนาโนกริดความต้องการเสริมความมั่นคงทางพัฒนาของประเทศก็จะได้รับการตอบสนอง ขณะที่ผลกระทบต่อสิ่งแวดล้อมมาก การผลิตไฟฟ้าก็น้อยลงจากการใช้พัฒนาหมุนเวียน และประสิทธิภาพการใช้พลังงานโดยรวมที่เพิ่มขึ้น นอกจากนี้ เนื่องจาก DER มีขนาดเล็กการวางแผนและติดตั้งจึงใช้เวลาและค่าใช้จ่ายน้อยกว่าระบบการผลิตขนาดใหญ่ จึงมีส่วนช่วยกระจายความเสี่ยงของการลงทุนด้านการผลิตไฟฟ้าได้อีกทางหนึ่ง จากที่กล่าวมา อาจสามารถสรุปความสำคัญของแนวคิดนาโนกริดได้ดังนี้

1. การรักษาคุณภาพกำลังไฟฟ้าและความน่าเชื่อถือได้ของระบบไฟฟ้า
2. การลดระยะเวลาและค่าใช้จ่ายในการติดตั้ง
3. การลดค่าใช้จ่ายทางพัฒนาหรือค่าเชื้อเพลิงลง
4. การลดผลกระทบต่อสิ่งแวดล้อม
5. การรักษาความมั่นคงทางพัฒนา
6. สำรองแหล่งจ่ายไฟในกรณีเกิดภัยธรรมชาติ เช่น แผ่นดินไหวหรือน้ำท่วมเกิด ระบบสายส่งจ่ายไฟจากการไฟฟ้าบกพร่อง

**ข้อดีของระบบดีซีนาโนกริดเมื่อเปรียบเทียบกับເຊື້າໂນກຣິດດີອ [3], [4]**

1. ไม่เกิดกำลังไฟฟ้ารีแอคติฟในระบบส่งไฟฟ้า
2. สามารถควบคุมการให้ของกำลังไฟฟ้าได้อย่างสมบูรณ์
3. ไม่เกิดปัญหาการซิงโครไนซ์เมื่อันในระบบไฟฟ้ากระแสสลับ
4. ลดกำลังไฟฟ้าสูญเสียในระบบได้เนื่องอุปกรณ์อิเล็กทรอนิกส์กำลังมีความสูญเสียน้อยกว่าหม้อแปลงไฟฟ้า
5. สามารถถ่ายโอนกำลังไฟฟ้ากับอุปกรณ์กักเก็บพลังงานเข้า แบบเตอร์หรืออัลตราคาปัตเตอร์ได้ง่าย

### 1.1 วัตถุประสงค์ของงานวิจัย

1.1.1 ศึกษาคุณลักษณะของระบบเซลล์แสงอาทิตย์ขนาด 1kW เพื่อหาแบบจำลองทางคณิตศาสตร์ระบบแปลงผันทางไฟฟ้าด้วยโปรแกรม Matlab/Simulink

1.1.2 ศึกษาและออกแบบดีซีทูดีซีคอนเวอร์เตอร์แบบอัตราขยายสูง 1 kW เพื่อแปลงผันแรงดันไฟฟ้ากระแสตรงจากเซลล์แสงอาทิตย์

1.1.3 ศึกษาและออกแบบดีซีทูดีซีคอนเวอร์เตอร์แบบสองทิศทางเพื่อใช้งานสำหรับการต่อร่วมกับแบบเตอร์สำหรับประจุและคายประจุ

1.1.4 สร้างระบบควบคุมกำลังไฟฟ้า nano grid ระหว่างแหล่งจ่ายจากเซลล์แสงอาทิตย์และแบตเตอรี่ด้วยวิธี Droop control

1.1.5 ศึกษาการใช้งานอินเวอร์เตอร์แบบหนึ่งเฟสสำหรับแปลงผันไฟฟ้ากระแสตรงเป็นไฟฟ้ากระแสสลับสำหรับการใช้ต่อเข้าระบบและการควบคุมกำลังไฟฟ้า

## 1.2 ขอบเขตของงานวิจัย

1.2.1 สร้างและจำลองการทำงานระบบแปลงผันเซลล์แสงอาทิตย์ขนาด 1kW ในระบบไฟฟ้ากระแสตรงด้วยโปรแกรม Matlab/Simulink

1.2.2 ออกแบบและสร้างวงจรบูสต์ดีซีที่ค่อนเวอร์เตอร์ร่วมกับการควบคุมแรงดันไฟฟ้ากระแสตรง

1.2.3 ออกแบบและสร้างบูสต์ดีซีที่ค่อนเวอร์เตอร์แบบสองทิศทางเพื่อแปลงผันแรงดันไฟฟ้ากระแสตรงจากแบตเตอรี่

1.2.4 ออกแบบและจัดหาอินเวอร์เตอร์หนึ่งเฟส 220 V 50 Hz ความถี่สวิตช์ 10 kHz สำหรับแปลงผันไฟฟ้ากระแสตรงเป็นไฟฟ้ากระแสสลับ

1.2.5 สร้างระบบควบคุมกระแสและแรงดันของค่อนเวอร์เตอร์ในระบบดีซีนาโนกริดด้วยวิธี interleaved control

1.2.6 ทดสอบระบบค่อนเวอร์เตอร์ในสภาพแวดล้อมสแตติกและไดนามิก

## 1.3 ขั้นตอนการดำเนินงาน

1.3.1 ค้นคว้าข้อมูลของการควบคุมในระบบนาโนกริด

1.3.2 สร้างแบบจำลองทางคณิตศาสตร์ของเซลล์แสงอาทิตย์และค่อนเวอร์เตอร์

1.3.3 ออกแบบและสร้างดีซีที่ค่อนเวอร์เตอร์จำนวน 4 โมดูล

1.3.4 ออกแบบและทดสอบระบบควบคุมวงปิด

1.3.5 ทดสอบค่อนเวอร์เตอร์ในสภาพแวดล้อมสแตติกและไดนามิก

1.3.6 วิเคราะห์ผลการทดลองและเปรียบเทียบกับผลจำลองการทำงาน

1.3.7 จัดทำรูปเล่มรายงานการวิจัย

## 1.4 ประโยชน์ที่คาดว่าจะได้รับ

1.4.1 ได้เครื่องต้นแบบค่อนเวอร์เตอร์ผลิตไฟฟ้าจากเซลล์แสงอาทิตย์เป็นองค์ความรู้พื้นฐานในการวิจัยด้านพลังงานทดแทน

1.4.2 ได้แบบจำลองทางคณิตศาสตร์ของระบบควบคุมค่อนเวอร์เตอร์ในระบบนาโนกริดซึ่งสามารถที่เพิ่มพิกัดและกำลังไฟฟ้าให้สูงขึ้นได้ตามต้องการ

1.4.3 ระบบสามารถใช้งานเป็นเครื่องมือวิจัยทางด้านการผลิตไฟฟ้าในกริดจากพลังงานทดแทนได้

1.4.4 ได้ประยุกต์ใช้ความรู้ทางด้านอิเล็กทรอนิกส์กำลังและระบบควบคุมร่วมกับแหล่งจ่ายพลังงานทดแทน



## บทที่ 2

### ทฤษฎี

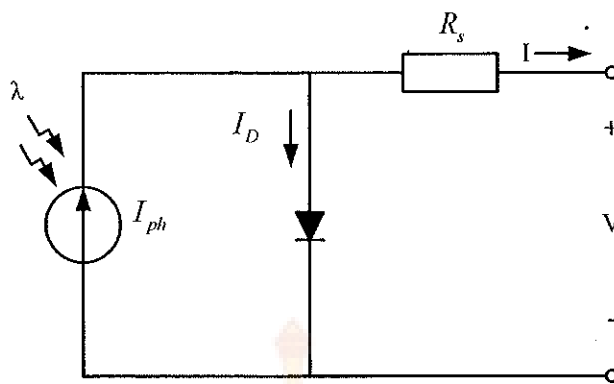
ในการออกแบบและสร้างระบบโพโตโวตาอิคดีซีนาโนกริดด้วยดีซีทูดีซีคอนเวอร์เตอร์โดยอาศัยการควบคุมกระแสแบบอินเตอร์ลิฟ (interleaved technique) เพื่อเป็นการเพิ่มกำลังไฟฟ้าและลดความเครียดที่อุปกรณ์กำลัง ยืดอายุการใช้งานของแบตเตอรี่ ในส่วนควบคุมการติดตามกำลังไฟฟ้าสูงสุดได้ทดลองอัลกอริทึมแบบรบกวนและสังเกตการณ์ และแบบความนำส่วนเพิ่มซึ่งจำเป็นต้องศึกษาหลักการและทฤษฎีที่เกี่ยวข้องดังนี้

#### 2.1 เชลล์แสงอาทิตย์

เชลล์แสงอาทิตย์เป็นวัสดุชนิดสารกึ่งตัวนำที่ถูกซับแสงอาทิตย์และแปลงเป็นพลังงานไฟฟ้า เชลล์ส่วนใหญ่เป็นเชลล์จำพวกซิลิกอน ซึ่งเป็นส่วนประกอบของรอยต่อพี-เอ็น โดยถูกสร้างเป็นแผ่นบางๆ หรือเป็นชั้นของอุปกรณ์สารกึ่งตัวนำ มีพฤติกรรมเป็นสนามไฟฟ้าโดยมีประจุบวกอยู่ด้านใด้แง และประจุลบอยู่ทางด้านหน้าแง (ด้านรับแสงอาทิตย์) เมื่อพลังงานแสงอาทิตย์(ประจุไฟต่อน) กระทบແเนเชลล์แสงอาทิตย์ ไฟต่อนจะชนอะตอมภายในเชลล์และกัดต่อร์ ซึ่งทำให้อิเล็กตรอนแตกตัวออกไประดับ โดยอิเล็กตรอนวิงชันจะตอมที่อยู่กัดไปเป็นวัฏจักร จะเกิดการถ่ายเทพลังงานเกิดขึ้น การที่อิเล็กตรอนวิงจากชั้นลับไปชั้นวงดนตรี ถ้ามองในรูปแบบวงจรสมมูลทางไฟฟ้า อิเล็กตรอนแทนด้วยค่ากระแสไฟ  $I_{ph}$  (*photo current*) โดยในที่มีดคุณลักษณะของกระแส-แรงดันเอาต์พุตของเชลล์แสงอาทิตย์จะมีคุณลักษณะเป็นแบบเอ็กซ์ไปเนนเชียลคล้ายกับไดโอด

##### 2.1.1 แบบจำลองเชลล์แสงอาทิตย์

ในสภาวะที่ไม่มีแสง เชลล์แสงอาทิตย์จะไม่สามารถจ่ายพลังงานออกมาได้ ซึ่งทำงานเมื่อเป็นไดโอด โดยไม่จ่ายหั้งแรงดันและกระแส อย่างไรก็ตามถ้าเชลล์แสงอาทิตย์นี้ต่อเข้ากับแหล่งจ่ายภายนอก เชลล์แสงอาทิตย์จะผลิต  $I_D$  ออกมานี้เรียกว่า กระแสไดโอด (diode current หรือ dark current) โดยรูปแบบวงจรสมมูลของเชลล์แสงอาทิตย์แสดงได้ดังรูปที่ 2.1



รูปที่ 2.1 วงจรสมมูลของแ朋เซลล์แสงอาทิตย์

ในระบบพลังงานเซลล์แสงอาทิตย์ เมื่อเซลล์แสงอาทิตย์ถูกความเข้าด้วยกันเป็นแ朋เซลล์แสงอาทิตย์ โดยการเชื่อมต่อเซลล์ในลักษณะอนุกรมกัน การพิจารณาถึงวงจรสมมูลของแบบจำลอง นำไปสู่สมการสำหรับแ朋เซลล์แสงอาทิตย์ด้วยการเชื่อมต่อในลักษณะดังกล่าวโดยที่แบบจำลองดังกล่าวประกอบไปด้วยแหล่งจ่ายกระแส  $I_{ph}$  ไดโอดและความต้านทานอนุรุณ  $R_s$  ซึ่งแทนค่าความต้านทานภายในของเซลล์แต่ละเซลล์ โดยกระแส  $I$  คือผลต่างระหว่างกระแสโฟโต  $I_{ph}$  และกระแสของไดโอด  $I_D$  ดังนี้

$$I = I_{ph} - I_D = I_{ph} - I_o (e^{(V+IR_s)/mkT_c} - 1) \quad (2.1)$$

เมื่อ  $m$  คือแฟกเตอร์ทางอุดมคติ  $k$  คือค่าคงที่โบลซ์มานซ์  $T_c$  คืออุณหภูมิสัมบูรณ์ของเซลล์  $e$  คือประจุไฟฟ้า และ  $V$  คือแรงดันตกคร่อมเซลล์โดย  $I_o$  คือกระแสเสื่อมตัวย้อนกลับซึ่งขึ้นอยู่กับอุณหภูมินอกจากแ朋เซลล์แสงอาทิตย์ มีการเชื่อมต่องกันแบบอนุกรมแล้ว ยังสามารถทำการเชื่อมต่อในลักษณะขนานกันได้ เพื่อให้ได้ค่าแรงดันและกระแสไฟฟ้าแก่ระบบตามที่ต้องการ

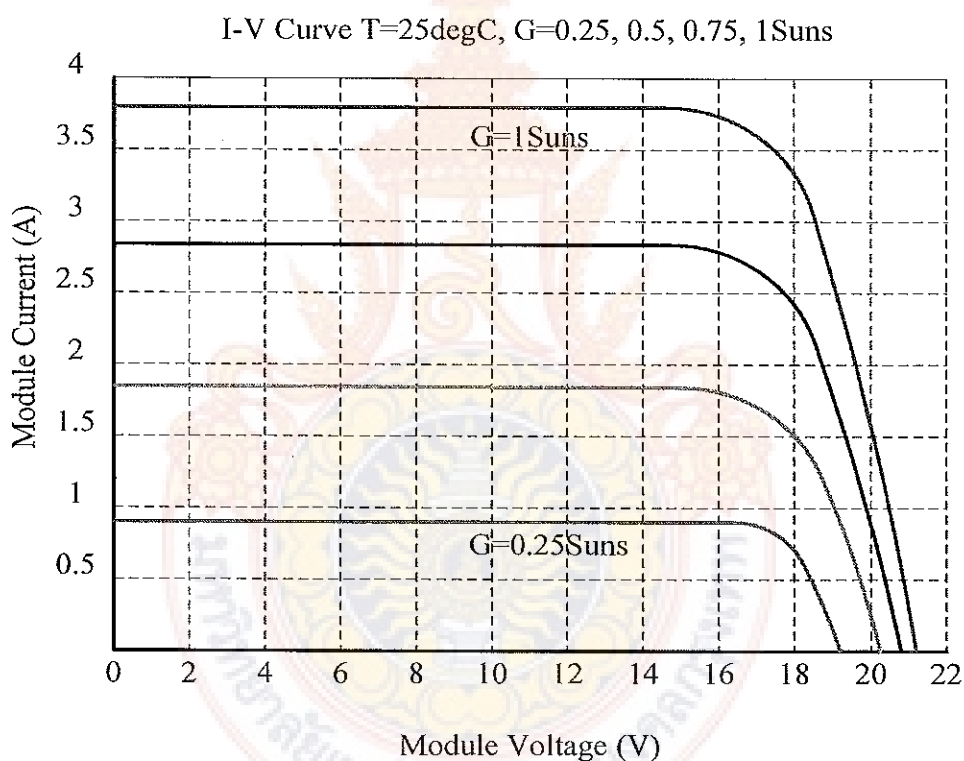
## 2.2 คุณลักษณะของแ朋เซลล์แสงอาทิตย์

แ朋เซลล์แสงอาทิตย์ถูกนำมาใช้ในการหาพลังงานเพื่อให้ได้กำลังไฟฟ้าสูงสุดจากแ朋เซลล์แสงอาทิตย์ ชุดติดตามจุดกำลังไฟฟ้าสูงสุดจะถูกนำมาควบคุมการเปลี่ยนแปลงคุณลักษณะของกระแส-แรงดัน และ กำลังไฟฟ้า-แรงดันของแ朋เซลล์แสงอาทิตย์ โดยเป้าหมายของชุดติดตามจุดกำลังไฟฟ้าสูงสุดก็เพื่อทำให้แน่ใจว่าระบบจะทำงานใกล้กับจุดให้กำลังไฟฟ้าสูงสุดเมื่อยุ่งได้การเปลี่ยนแปลงของสภาพแวดล้อม สามารถให้ประสิทธิภาพที่

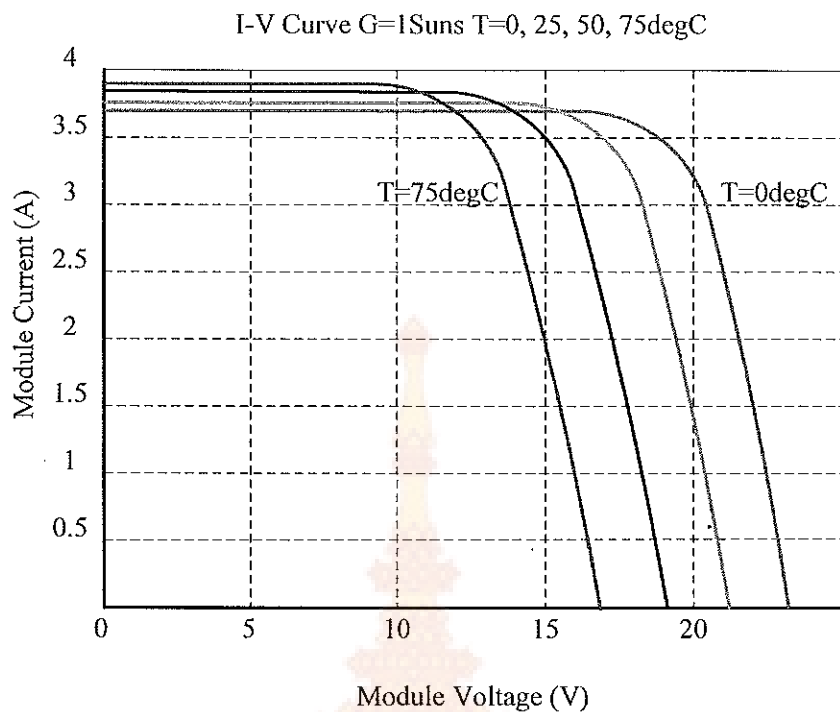
สูง รักษาการติดตามในช่วงกว้างของสภาวะแวดล้อมที่เปลี่ยนแปลงและให้ค่าเอาต์พุตกับโหลดได้ตามที่ต้องการ

### 2.2.1 คุณลักษณะของกระแสและแรงดัน

ในการศึกษาคุณลักษณะของกระแส-แรงดันของแผงเซลล์แสงอาทิตย์ จะทำการวิเคราะห์จากสมการข้างต้น โดยการเลือกค่าอุณหภูมิและความเข้มแสงแทนลงในสมการและพล็อตกราฟกระแส-แรงดัน จะเห็นว่ากระแสเอาต์พุต  $I$  ของแผงจะมีอิทธิพลอย่างมาก โดยการเปลี่ยนแปลงของความเข้มแสงขณะที่แรงดันเอาต์พุต  $V$  ยังคงประมาณคงที่ และสำหรับการเปลี่ยนแปลงอุณหภูมิ ซึ่งจะเห็นได้จากแรงดันที่มีการเปลี่ยนแปลงในช่วงกว้าง ในขณะที่กระแสแทนไม่มีการเปลี่ยนแปลงด้วยเหตุนี้เป็นผลทำให้ประสิทธิภาพของแผงเซลล์แสงอาทิตย์ต่ำลง



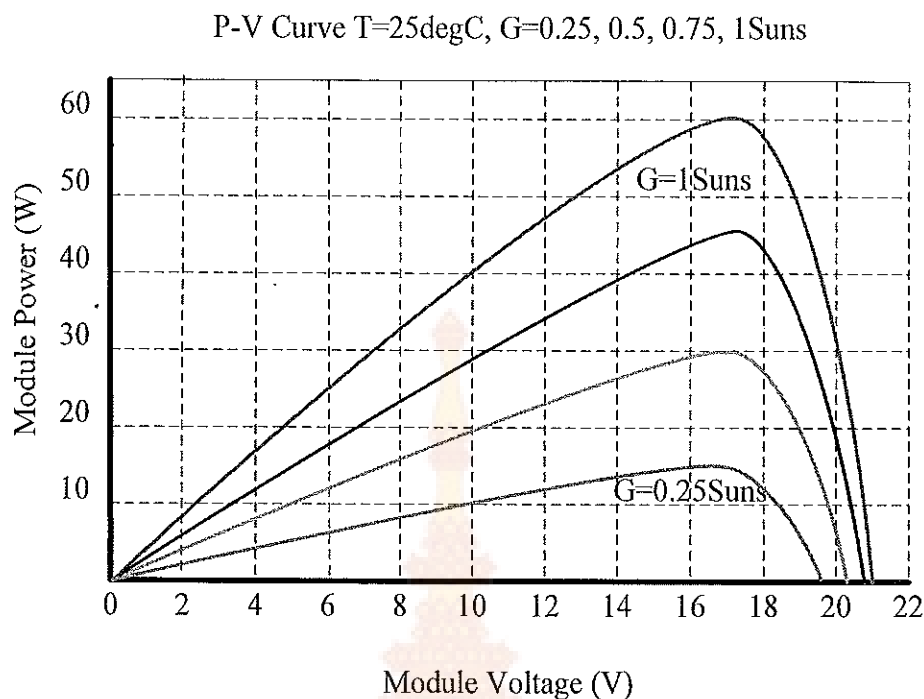
รูปที่ 2.2 เสน่んโค้งกระแส-แรงดัน ( $I-V$ ) ที่เปลี่ยนตามระดับความเข้มแสง



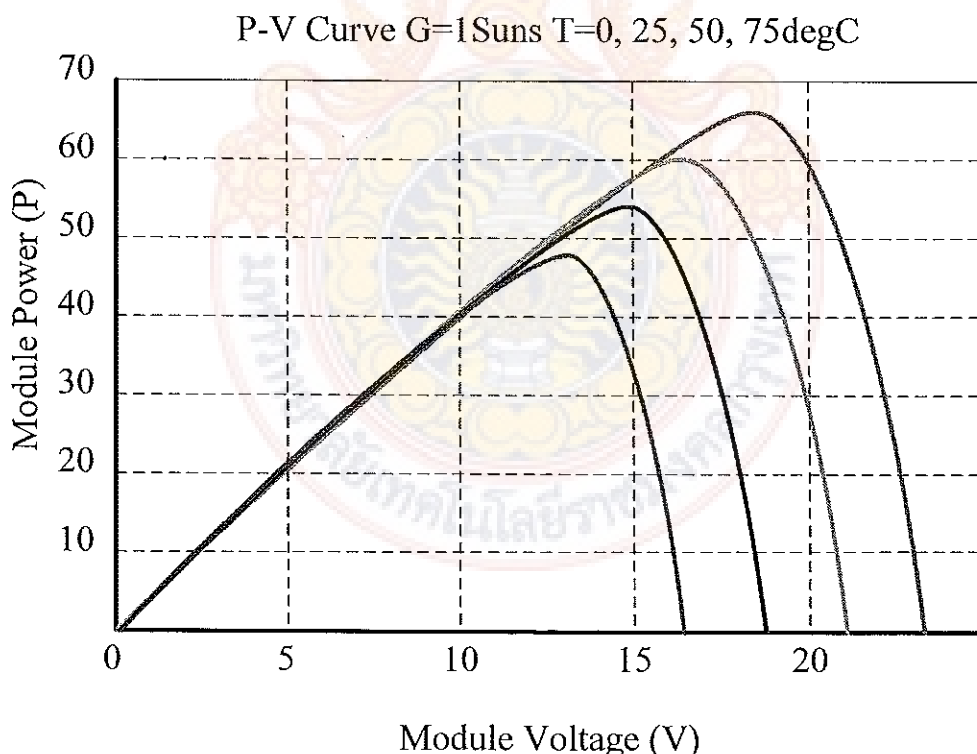
รูปที่ 2.3 เส้นโค้งกระแส-แรงดัน ( $I - V$ ) ที่แปรผันตามระดับอุณหภูมิ

### 2.2.2 คุณลักษณะของกำลังไฟฟ้า-แรงดัน

คุณลักษณะของกำลังไฟฟ้า-แรงดันของแผงเซลล์แสงอาทิตย์ ได้มาจากการคุณลักษณะของกระแสและแรงดัน ส่วนความสัมพันธ์ของกำลังไฟฟ้าເອາະດຸ  $P = V \times I$  ของแผงเซลล์แสงอาทิตย์ມีค่าลดลงอย่างมาก สำหรับการลดลงของความเข้มแสง และ กำลังไฟฟ้าເອາະດຸจะถูกลดลงโดยการเพิ่มอุณหภูมิของแสง ซึ่งสามารถอธิบายได้โดยข้อสังเกตว่า กำลังไฟฟ้า



รูปที่ 2.4 เส้นโค้งกำลังไฟฟ้า-แรงดัน (P-V) ที่แปรผันตามระดับความเข้มแสง

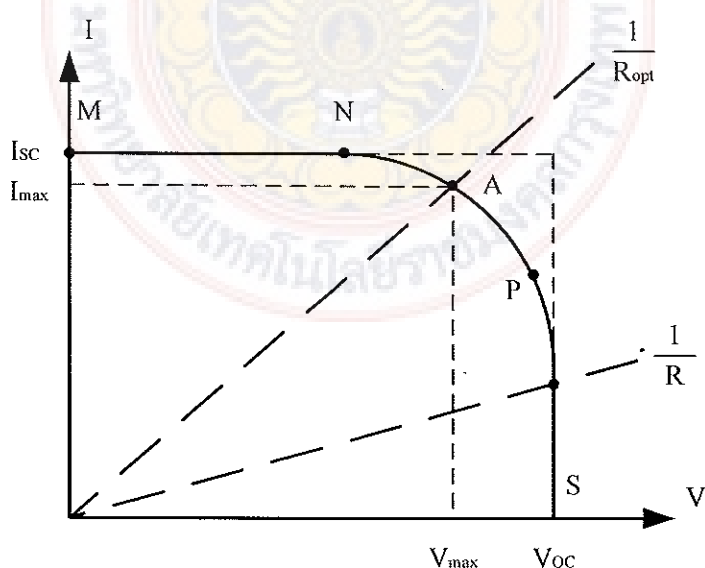


รูปที่ 2.5 เส้นโค้งกำลังไฟฟ้า-แรงดัน (P-V) ที่แปรผันตามระดับอุณหภูมิ

จะเห็นได้ว่ากำลังไฟฟ้าເອົາຕຸພູດຂອງແຜ່ເໜລີ້ສະເໜີຕິດຍີຈະໄມ່ຂຶ້ນກັບອຸນຫະກົມີ ແລະ ຄວາມເຂັ້ມແຂງເພີຍອຍ່າງເດືອນ ແຕ່ມັນຈະມີຜລອຍ່າງນຳກັບແຮງດັນທີຈຸດປົກປົກຕິດານ ຈຸດຂອງ ກຳລັງໄຟຟ້າສູງສຸດຖຸກແສດງທີ່ MPPT ດັງຮູບທີ່ 2.8 ຜຶ້ງເປັນຈຸດປົກປົກຕິດານທີ່ຕ້ອງການສໍາຮັບແຜ່ເໜລີ້ ສະເໜີຕິດຍີເພື່ອໃຫ້ໄດ້ປະສິກີພູສູງສຸດ ດ້ວຍເຫດນີ້ຈຶ່ງສ່າງຜລໃຫ້ຄວາມຊັ້ນເປັນ 0 ອີຣ້ອ  $\frac{dP}{dV} = 0$  ແຕ່ທາງແຮງດັນຕໍ່ກວ່າຫຼືອສູງກວ່າແຮງດັນທີ່ຈຸດໃຫ້ກຳລັງໄຟຟ້າສູງສຸດ ກີ່ສ່າງຜລໃຫ້  $\frac{dP}{dV} > 0$  ອີຣ້ອ  $\frac{dP}{dV} < 0$  ຕາມລຳດັບໂດຍທີ່ແຮງດັນຕົກກີ່ເນື່ອມາຈາກການເພີ່ມຂອງກະແສອີ່ມຕົວຢ້ອນກັບຂອງໄໂດໂອດ ຜຶ້ງຈະໄມ່ທ່າໃຫ້ຈຸດໃຫ້ກຳລັງໄຟຟ້າສູງສຸດ ແລະ ຈາກຮູບທີ່ 2.4 ແລະ ຮູບທີ່ 2.5 ພລຂອງຄ່າສໍາຮັບແຜ່ດັນທີ່ຈຸດປົກປົກຕິດານທີ່ດີ່ສຸດຈະເປີຍແປ່ງໃນສະກະວະແວດລ້ອມຕລອດເວລາ

### 2.2.3 ພລຂອງໂຫລດຕ່ອງຈຸດປົກປົກຕິດານ

ຈາກຮູບທີ່ 2.6 ແສດຄຸນລັກຂະນະກະແສ-ແຮງດັນຂອງເໜລີ້ສະເໜີຕິດຍີ ຢັ ຄວາມເຂັ້ມ ສະ  $G_a$  ແລະ ອຸນຫະກົມີ  $T_c$  ຂອງບຣຽກາຄຄ່າໜີ່ຈະເຫັນວ່າຄ່າຕ່ອງໂຫລດຄວາມຄວາມຕ້ານທານ ປັບຄ່າໄດ້  $R$  ທີ່ຂ້ວຕ່ອງເໜລີ້ແລ້ວ ຈຸດປົກປົກຕິດານຈະຖຸກກຳຫັດໂດຍຈຸດຕັດກັນຂອງເສັ້ນໂຄ້ງ ຄຸນລັກຂະນະກະແສ-ແຮງດັນກັບເສັ້ນຕຽບຄຸນລັກຂະນະຂອງໂຫລດທີ່ມີຄວາມຊັ້ນ  $\frac{I}{V} = \frac{1}{R}$  ຜຶ້ງໜີ້ໄຫ້ເຫັນ ວ່າກຳລັງໄຟຟ້າທີ່ຈ່າຍໄປຢັງໂຫລດຈະຂຶ້ນອ່ອງກັບຄ່າຄວາມຕ້ານທານ ນັ້ນຄືອັກໂຫລດ  $R$  ມີຄ່າຕໍ່າງ ເໜລີ້ຈະທຳການໃນຂ່ວງ  $MN$  ຂອງເສັ້ນໂຄ້ງທີ່ເປັນຂ່ວງທີ່ເໜລີ້ທຳກັນທີ່ເປັນແໜ່ງຈ່າຍກະແສຄງທີ່ມີ ຄ່າເທົ່າກັບກະແສລັດວຽກ ໃນກາງກັບຄ່າໂຫລດ  $R$  ມີຄ່າສູງໆ ເໜລີ້ຈະທຳການໃນຂ່ວງ  $PS$  ຂອງ ເສັ້ນໂຄ້ງທີ່ເປັນຂ່ວງທີ່ເໜລີ້ທຳກັນທີ່ເປັນແໜ່ງຈ່າຍແຮງດັນຄງທີ່ມີຄ່າເທົ່າກັບແຮງດັນເປົດວຽກ



ຮູບທີ່ 2.6 ຄຸນລັກຂະນະກະແສແຮງດັນຂອງເໜລີ້ສະເໜີຕິດຍີ

เมื่อพิจารณาสมการของกระแสตามจากสมการ(2.1) และกราฟคุณลักษณะของกระแส และ  
แรงดันข้างต้น สามารถหาค่ากระแสได้จากการคำนวณโดยต่างๆ ดังนี้

- กระแสสั้น (Short circuit current)  $I_{sc} = I_{ph}$  มีค่ามากที่สุดเมื่อเซลล์จ่ายกระแสออกมาก  
ภายใต้กระแสของการลัดวงจร  $V = 0$
- แรงดันเปิดวงจร (Open circuit voltage) สอดคล้องกับแรงดันตกคร่อมไดโอด เมื่อ กระแสไฟ  
ໂດไฟหล่อผ่านไดโอด ( $I_D = I_{ph}$ ) ส่งผลให้เซลล์ผลิตกระแสออกมากเท่ากับศูนย์  $I = 0$  ซึ่งเป็นผลมา  
จากแรงดันของเซลล์ตอนกลางคืน แรงดันเปิดวงจรแสดงด้วยสมการทางคณิตศาสตร์ดังนี้

$$V_{oc} = \frac{mkT_c}{e} \ln\left(\frac{I_{ph}}{I_o}\right) = V_t \ln\left(\frac{I_{ph}}{I_o}\right) \quad (2.2)$$

เมื่อ  $V_t = \frac{mkT_c}{e}$  คือ แรงดันที่เปลี่ยนแปลงตามค่าของอุณหภูมิ (Thermal voltage)

- จุดให้กำลังไฟฟ้าสูงสุด เมื่อพิจารณาจากกราฟคุณลักษณะของแรงดันและกระแส ก็คือจุด  
 $A(V_{max}, I_{max})$  ซึ่งจะมีสมการความสัมพันธ์ คือ

$$P_{max} = I_{max} \times V_{max} \quad (2.3)$$

- ค่าประสิทธิภาพสูงสุด (Maximum efficiency) เป็นค่าอัตราส่วนระหว่างค่ากำลังไฟฟ้าสูงสุด  
กับค่ากำลังที่ได้จากแสงอาทิตย์

$$\eta = \frac{P_{max}}{P_m} = \frac{V_{max} I_{max}}{A G_a} \quad (2.4)$$

เมื่อค่า  $G_a$  คือ ค่าความเข้มของแสงโดยรอบ (ambient irradiation) (วัตต์ต่อ  
ตารางเมตร) และ  $A$  คือพื้นที่รับแสงของเซลล์ (ตารางเมตร)

- Fill factor (FF) คือ ค่าอัตราส่วนระหว่าง ค่ากำลังไฟฟ้าสูงสุดที่เซลล์สามารถจ่ายให้กับโหลด  
กับ ค่ากระแสสั้นคูณกับค่าแรงดันเปิดวงจร

$$FF = \frac{P_{max}}{V_{oc} I_{sc}} = \frac{V_{max} I_{max}}{V_{oc} I_{sc}} \quad (2.5)$$

ค่า Fill factor เป็นค่าที่แนะนำซึ่งกำหนดคุณลักษณะของกราฟความสัมพันธ์กระแส-แรงดัน ซึ่งเซลล์ที่ดีควรมีค่า Fill factor ประมาณ 0.7 แต่ถ้ามีค่าต่ำกว่านี้อุณหภูมิของเซลล์แสงอาทิตย์ มีค่ามากขึ้น

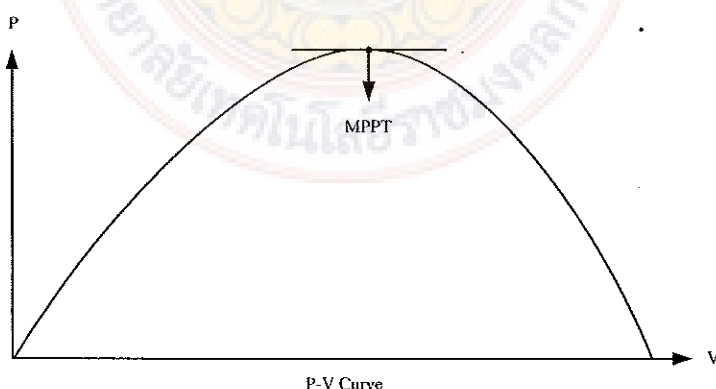
### 2.3 การติดตามจุดให้กำลังไฟฟ้าสูงสุด

#### 2.3.1 ชุดควบคุมการหาค่ากำลังไฟฟ้าสูงสุด

โดยปกติแล้วแพงเซลล์แสงอาทิตย์จ่ายพลังงานไฟฟ้าออกมายieldได้ขึ้นอยู่กับตัวแปร 2 ชนิดก็คือ ความเข้มแสงและอุณหภูมิ แต่ทราบได้อย่างไรว่าค่ากำลังไฟฟ้าที่ผลิตได้เป็นค่า กำลังไฟฟ้าสูงสุดในสภาวะของความเข้มแสงและอุณหภูมนั้นๆ ส่วนประกอบที่สำคัญในระบบเซลล์แสงอาทิตย์ที่เป็นองค์ประกอบในการหาค่ากำลังไฟฟ้าสูงสุดนั้นอีกส่วนหนึ่งก็คือ ส่วนติดตามกำลังไฟฟ้าสูงสุด ซึ่งในงานวิจัยนี้ได้นำทฤษฎีการติดตามการหาค่ากำลังไฟฟ้าสูงสุดมาใช้พิจารณา โดยในทฤษฎีนี้สามารถแบ่งวิธีการหาค่ากำลังไฟฟ้าสูงสุดได้หลายวิธี แต่โดยส่วนใหญ่แล้วที่นิยมนำมาพิจารณา มี 2 วิธี คือ

##### 2.3.1.1 ทฤษฎีการรับกวนและการสังเกตการณ์ (Perturbation and Observation Method – P&O)

ทฤษฎีการรับกวนและการสังเกตการณ์ มีโครงสร้างที่ง่ายและพารามิเตอร์ต่างๆ น้อย ซึ่งมีการทำงานโดยการรับกวนระบบโดยการเพิ่มหรือการลดแรงดันที่จุดการทำงานของแพงและการสังเกตการณ์ผลกระทบต่อกำลังไฟฟ้าเอาต์พุตของแพง ดังกล่าวทำการเปรียบเทียบกับรับกวนการรับกวนที่ผ่านมา ถ้าการรับกวนนั้นนำไปสู่การเพิ่ม (หรือการลด) กำลังไฟฟ้าของแพง การรับกวนที่ตามมา ก็จะทำไปในทิศทางเดียวกันหรือตรงข้ามกัน ในวิธีนี้ชุดติดตามจุด กำลังไฟฟ้าสูงสุดจะทำการค้นหาสภาวะที่มีกำลังไฟฟ้าสูงสุดอย่างต่อเนื่อง



รูปที่ 2.7 จุดให้กำลังไฟฟ้าสูงสุดจากเส้นโค้งกำลังไฟฟ้า-แรงดัน (P-V)

### 2.3.1.2 ทฤษฎีความนำส่วนเพิ่ม (Incremental Conductance Method – IncCond)

วิธีนี้จะใช้วิธีแหล่งจ่ายความนำส่วนเพิ่ม เป็นอัลกอริทึมการค้นหาจุดให้กำลังไฟฟ้าสูงสุดซึ่งมีประสิทธิภาพมากกว่าวิธีการรับกวนและการสังเกตการณ์และไม่ขึ้นกับอุปกรณ์หรือวิธีการทำงานภายภาค แรงดันและกระแสเอาต์พุตจากแหล่งจ่ายจะถูกควบคุม ซึ่งชุดควบคุมชุดติดตามจุดกำลังไฟฟ้าสูงสุดจะอาศัยการคำนวณค่าความนำและความนำส่วนเพิ่มและทำการตัดสินใจ (ที่จะเพิ่มหรือลดค่าอัตราส่วนเดิมที่เอาต์พุต) โดยทำงานกับเซนเซอร์ในการวัดแรงดันและกระแสที่จุดปฏิบัติงานของแผง

อัลกอริทึมความนำส่วนเพิ่ม :

- กำลังไฟฟ้าเอาต์พุตจากแผงเซลล์แสงอาทิตย์

$$P = V \times I \quad (2.6)$$

- เมื่อประยุกต์สมการกำลังไฟฟ้าเอาต์พุตกับกฎลูกโซ่ จะได้

$$\begin{aligned} \frac{dP}{dV} &= \frac{d(VI)}{dV} \\ &= I \frac{dV}{dV} + V \frac{dI}{dV} \\ &= I + V \frac{dI}{dV} \\ \text{จะได้} \quad \left( \frac{1}{V} \right) \frac{dP}{dV} &= \left( \frac{I}{V} \right) + \frac{dI}{dV} \end{aligned} \quad (2.7)$$

- กำหนดให้ความนำของแผงเซลล์แสงอาทิตย์คือ

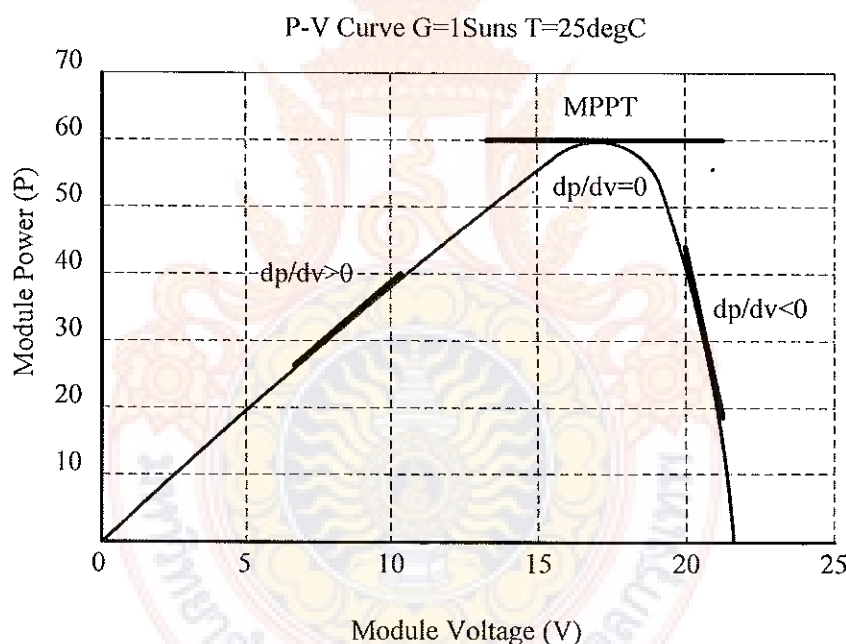
$$G = \frac{I}{V} \quad (2.8)$$

- และความนำส่วนเพิ่มคือ

$$\Delta G = \frac{dI}{dV} \quad (2.9)$$

โดยปกติแรงดันเอาต์พุตจากแผงเซลล์แสงอาทิตย์จะมีค่าเป็นบวก จากสมการที่ (2.9) แสดงว่าแรงดัน ณ จุดปฏิบัติงานอยู่ต่ำกว่าแรงดันที่จุดให้กำลังไฟฟ้าสูงสุด ถ้าความนำมีค่ามากกว่าความนำส่วนเพิ่ม ดังนั้นหน้าที่หลักของอัลกอริทึมดังกล่าวคือการค้นหาจุดปฏิบัติงานของแรงดัน ณ ความนำมีค่าเท่ากับความนำส่วนเพิ่ม โดยหลักการดังกล่าวสามารถแสดงได้ดังนี้

$$\begin{aligned} -\frac{dP}{dV} &> 0; \text{ ถ้า } G > \Delta G \\ -\frac{dP}{dV} &= 0; \text{ ถ้า } G = \Delta G \\ -\frac{dP}{dV} &< 0; \text{ ถ้า } G < \Delta G \end{aligned}$$



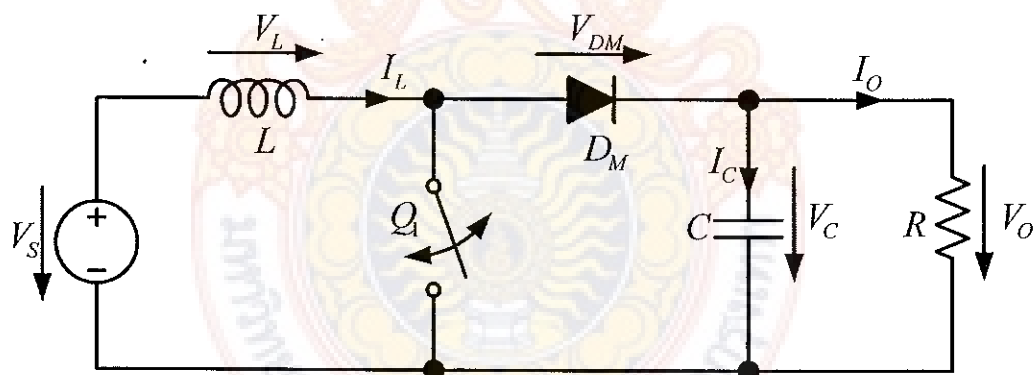
รูปที่ 2.8 จุดปฏิบัติงานที่ให้กำลังไฟฟ้าสูงสุด และจุดปฏิบัติงานอยู่ต่ำกว่าและสูงกว่าแรงดันที่จุดให้กำลังไฟฟ้าสูงสุด จากเส้นโค้งกำลังไฟฟ้า-แรงดัน (P-V)

ซึ่งอัลกอริทึมนี้ถูกใช้ในการติดตามจุดกำลังไฟฟ้าสูงสุดของเซลล์แสงอาทิตย์ที่จุดปฏิบัติงานที่สูงที่สุด การชาร์จของกระบวนการการแปรผันของกระแสและแรงดันจะเกิดขึ้นเสมอ จากอัลกอริทึมที่มีการแสดงทางคณิตศาสตร์ที่ถูกอ้างอิง ถ้า  $\frac{dP}{dV} = 0$  เพราะฉะนั้น  $G = \Delta G$

ซึ่งหมายความว่ามีการปฏิบัติงานที่จุดให้กำลังไฟฟ้าสูงสุด ไม่มีการกระทำใดที่จะทำให้ค่าดิวตี้ไซเคิล ซึ่งให้ผลในการขยายการติดตามดังกล่าว หรืออีกนัยหนึ่ง  $G > \Delta G$  ค่าอัตราส่วนเพิ่มขึ้น 1 หน่วยหรือลดลง 1 หน่วย ถ้า  $G < \Delta G$  ดังนั้นในงานวิจัยนี้จึงนำเสนอทฤษฎีการติดตามจุดให้กำลังไฟฟ้าสูงสุดโดยใช้ทฤษฎีความนำส่วนเพิ่ม ด้วยเหตุผลดังกล่าวในบทต่อไปกล่าวถึงทฤษฎี และหลักการทำงานของวงจรแปลงผัน ซึ่งก็คือวงจรแปลงผันไฟตรงเป็นไฟตรงแบบบูสต์เพื่อใช้ในการยกระดับแรงดันเอาต์พุตให้สามารถติดตามจุดให้กำลังไฟฟ้าสูงสุด

## 2.4 บูสต์ดีซีทูดีซีคอนเวอร์เตอร์ (Boost Dc to Dc Converter)

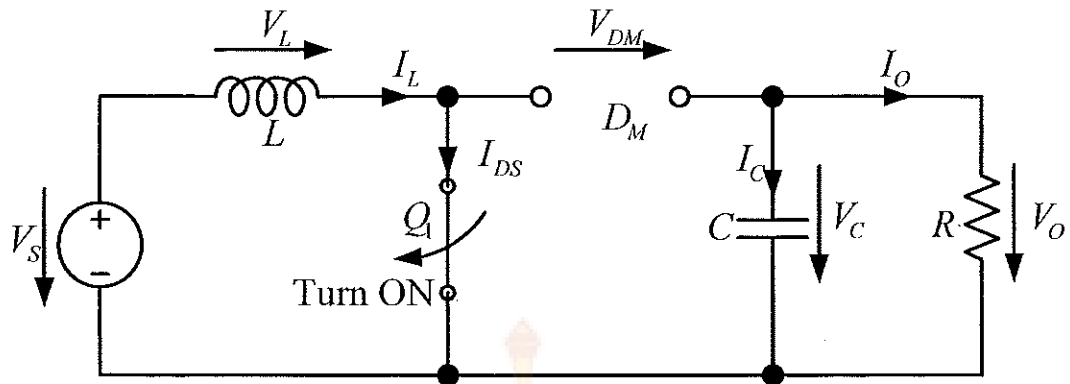
บูสต์ดีซีทูดีซีคอนเวอร์เตอร์เป็นสวิตซิงอีกชนิดหนึ่งที่ทำงานได้ โดยใช้อุปกรณ์อิเล็กทรอนิกส์และอุปกรณ์ความถี่สูงต่างๆ ทำการปรับเปลี่ยนระดับแรงดันเอาต์พุตให้สูงกว่า ระดับแรงดันอินพุต โดยอาศัยคุณสมบัติของตัวเหนี่ยวนำความถี่สูง ในการเก็บและ decay พลังงาน ทำให้ระดับแรงดันเอาต์พุตสูงกว่าระดับแรงดันอินพุตหรืออาจจะเรียกว่า “สเตปอัพคอนเวอร์เตอร์” (Step-up Converter) ซึ่งจะประกอบไปด้วย 2 ส่วนหลัก ๆ ด้วยกัน คือ ส่วนของวงจร กำลัง ประกอบด้วยตัวเหนี่ยวนำความถี่สูง ตัวเก็บประจุด้านเอาต์พุต ไดโอดกำลัง อุปกรณ์ทำหน้าที่สวิตช์ วงจรรองแรงดัน และอีกส่วนคือวงจรควบคุมการทำงานของคอนเวอร์เตอร์เพื่อรักษาระดับแรงดันเอาต์พุตให้คงที่ การวิเคราะห์วงจรคอนเวอร์เตอร์โดยรวมจะแสดงในรูปที่ 2.9



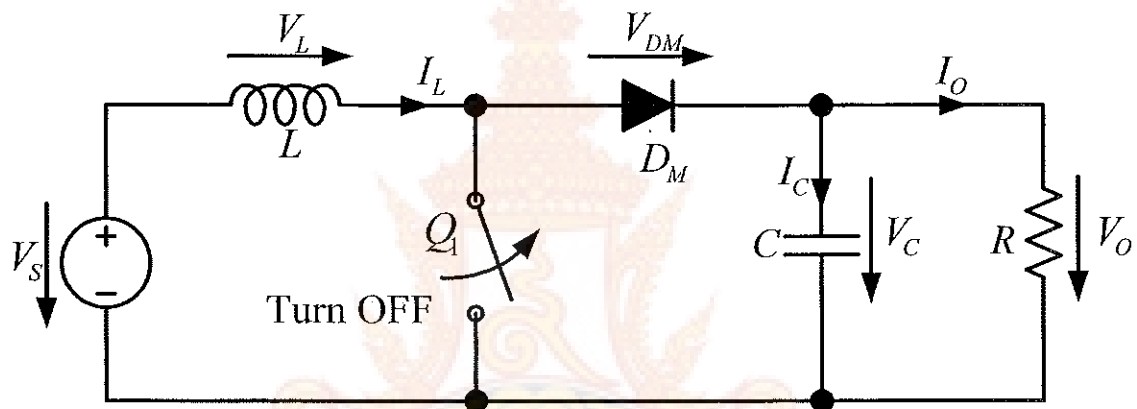
รูปที่ 2.9 วงจรสมมูลของวงจรบูสต์ดีซีทูดีซีคอนเวอร์เตอร์

### 2.4.1 หลักการทำงานของวงจรบูสต์คอนเวอร์เตอร์

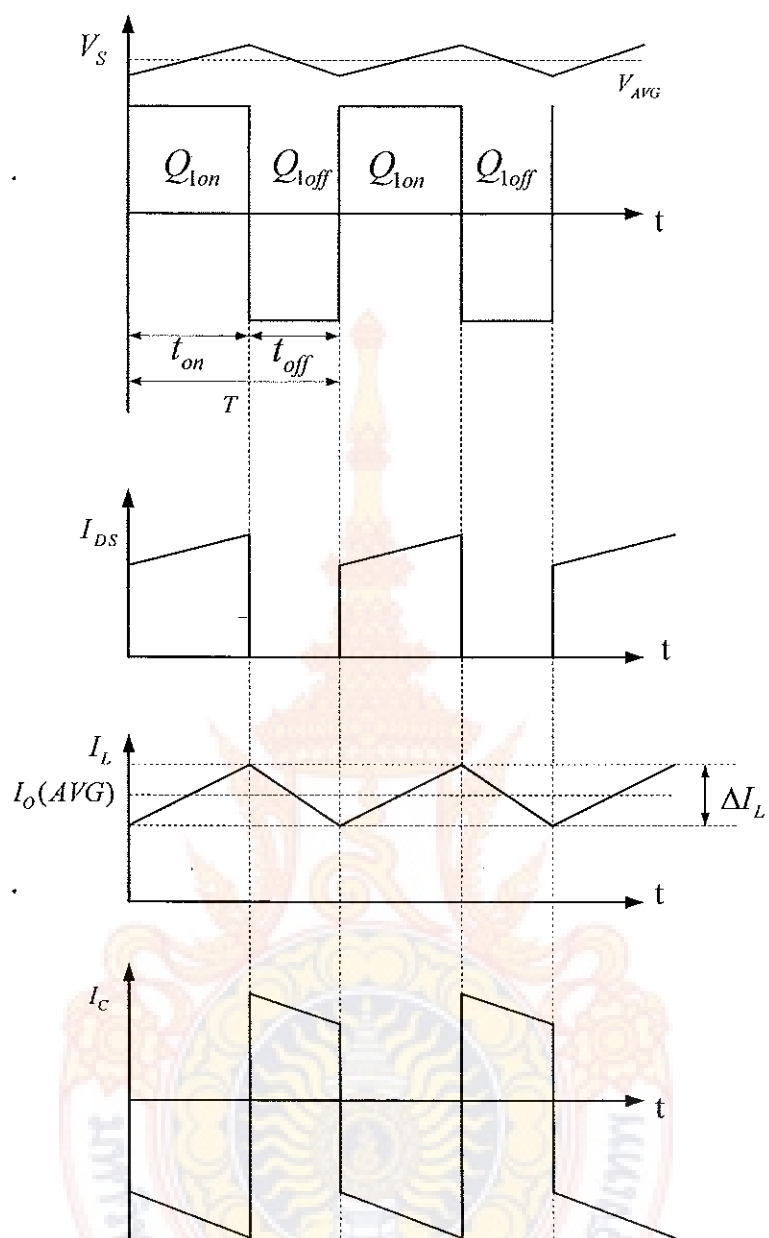
หลักการทำงานของวงจรบูสต์คอนเวอร์เตอร์เพื่อให้ได้แรงดันไฟฟ้าด้านออกตามต้องการจะเริ่มต้นจากข้อกำหนดที่ว่า แรงดันไฟฟ้าเฉลี่ยต่อกันร่วมตัวเหนี่ยวนำในแต่ละคาบเวลา จะเท่ากับศูนย์ และสามารถหากระแสไฟฟ้าที่ไหลผ่านตัวเหนี่ยวนำได้โดยวิเคราะห์การทำงานของสวิตช์ในแต่ละโมด ทั้งนี้การทำงานต้องอยู่ในช่วงสภาวะคงตัวดังนี้



รูปที่ 2.10 วงจรการทำงานของวงจรบูสต์ดีซีทูดีซีคอนเวอร์เตอร์โหมดที่ 1 สวิตช์ปิด



รูปที่ 2.11 วงจรการทำงานของวงจรบูสต์ดีซีทูดีซีคอนเวอร์เตอร์โหมดที่ 2 สวิตช์เปิด



รูปที่ 2.12 สัญญาณแรงดันกระแสของวงจรบูสต์ตีฟิทูดีฟิค่อนเวอร์เตอร์

#### 2.4.1.1 วิเคราะห์เมื่อสวิตช์ปิด

โหมด 1 ( $0 < t \leq t_{on}$ ) mosfet  $Q_1$  ทำงานสวิตช์ปิด ( $t = 0$ ) กระแสอินพุตไหลผ่าน mosfet  $Q_1$  และตัวเหนี่ยวนำทำให้กระแสของตัวเหนี่ยวนำเพิ่มขึ้นจาก  $I_1$  ที่  $t = 0$  เป็นเวลา  $I_2$  ที่  $t = t_1$  โดยได้โดย  $D_M$  จะถูกไนอัลกัลันตัวเก็บประจุจะดิสชาร์จประจุให้แก่โหลดในช่วงเวลา ( $0 < t \leq t_{on}$ ) ค่าแรงดันอินพุตมีค่าเท่ากับแรงดันตกคร่อมตัวเหนี่ยวนำดังสมการที่ (2.10)

$$V_s = V_L = L \frac{I_2 - I_1}{t_{on}} = \frac{L \Delta I}{t_{on}} \quad (2.10)$$

สมการที่จะหาค่าเวลาในช่วงที่เพาเวอร์มอสเฟต Turn ON ได้จากการที่ (2.11)

$$t_{on} = \frac{L \Delta I}{V_s} \quad (2.11)$$

พลังงานที่สะสูนในด้วยเห็นี่ยวน้ำสามารถหาได้จากการที่ (2.12)

$$E = \frac{1}{2} L (\Delta I)^2 = \frac{1}{2L} V_s^2 t_{on}^2 \quad (2.12)$$

#### 2.4.1.2 วิเคราะห์เมื่อสวิตซ์เปิด

ให้  $t = 0$  <math>t \leq t\_{on}</math> มอสเฟต <math>Q\_1</math> ทำงานสวิตซ์เปิด ( $t = t_1$ ) และต้นเห็นี่ยวน้ำย้อนกลับของด้วยเห็นี่ยวน้ำซึ่งต่ออนุกรมอยู่กับแรงดันอินพุต ทำให้เอาต์พุตมีค่ามากขึ้นจนทำให้  $D_M$  ทำงานกระแสอินพุตไหลผ่านด้วยเห็นี่ยวน้ำ ประกอบด้วยกระแสอินพุต ( $I_S$ ) และกระแสของด้วยเห็นี่ยวน้ำ ( $I_L$ ) ซึ่งกระแสของด้วยเห็นี่ยวน้ำเกิดจากพลังงานสะสูนในด้วยเห็นี่ยวน้ำ ขณะที่มอสเฟต <math>Q\_1</math> ทำงานผ่านไดโอด  $D_M$  จ่ายให้กับโหลดและชาร์จประจุให้แก่ด้วย เก็บประจุเป็นผลให้  $I_L$  ตกลงในช่วงเวลา  $t_2$

$$V_s - V_O = L \frac{I_2 - I_1}{t_{off}} \quad (2.13)$$

$$V_O - V_s = L \frac{\Delta I}{t_{off}} \quad (2.14)$$

สามารถที่จะหาค่าเวลาในช่วงที่เพาเวอร์มอสเฟต Turn OFF ได้จากการที่

$$t_{off} = L \frac{\Delta I}{V_O - V_s} \quad (2.15)$$

การเปลี่ยนแปลงของกระแสของตัวเหนี่ยวนำระหว่างค่ากระแสอยอดถึงยอด (Peak - to - Peak) คือ กระแสแสกนเพื่อเมื่อพิจารณาที่สภาวะคงที่โดยให้ช่วงเวลา  $t_{on}$  และ  $t_{off}$  จากสมการที่ (2.11) และ (2.15) มีค่าเท่ากัน คำนวณหากระแสเพื่อเมื่อได้ดังนี้

$$\Delta I = \frac{V_s t_{on}}{L} = \frac{(V_o - V_s)t_{off}}{L} \quad (2.16)$$

แทนค่า  $t_{on} = DT$  และ  $t_{off} = (1 - DT)$  ลงในสมการที่ (2.16)

$$V_s DT = (V_o - V_s)(1 - D)T = V_o(1 - D)T - V_s(1 - D)T \quad (2.17)$$

จากสมการที่ (2.17) เมื่อทำให้อยู่ในรูปอย่างง่ายได้

$$V_s DT = V_o(1 - D)T - V_s T + V_s DT \quad (2.18)$$

$$V_s = V_o(1 - D) \quad (2.19)$$

ดังนั้นแรงดันเอาต์พุตเฉลี่ยจากการจรบุส์คอนเวอร์เตอร์จะได้ดังสมการที่ (2.20)

$$V_o = \frac{V_s}{1 - D} \quad (2.20)$$

สมการที่ (2.20) แสดงถึงแรงดันเอาต์พุต ถ้าสวิตซ์เปิดตลอดเวลาและ  $D$  มีค่าเป็นศูนย์แรงดันเอาต์พุตจะมีค่าเหมือนกับแรงดันอินพุต ขณะที่ตัวตื้นซีไซเดลมีค่าเพิ่มขึ้น ตัวส่วนในสมการที่ (2.20) จะมีขนาดเล็กลงและเอาต์พุตจะมีค่าแรงดันมากกว่าอินพุต แรงดันเอาต์พุตจะมีค่าเปลี่ยนแปลงตามแรงดันอินพุตและค่าจิตต์ไซเดล ขณะที่จิตต์ไซเดลมีค่าเข้าใกล้ 1 แรงดันเอาต์พุตจะมีค่าเข้าใกล้ล้านนัตต์ (Infinity) หากพิจารณาค่ากำลังไฟฟ้าด้านอินพุตเท่ากับด้านเอาต์พุตจะได้ว่า

$$V_s I_s = V_o I_o \quad (2.21)$$

แทนค่าแรงดันเอาต์พุตจากสมการที่ (2.20)

$$V_s I_s = \frac{V_o I_o}{1 - D} \quad (2.22)$$

ดังนั้นกระแสอินพุตเฉลี่ยจะได้

$$I_S = \frac{I_O}{1-D} \quad (2.23)$$

วงจรกำลังจะทำงานในรูปของค่าเวลา ในหนึ่งคาบเวลาจะประกอบไปด้วยช่วงเวลา  $t_{on}$  และ  $t_{off}$  ดังนั้นค่าของค่าเวลาจะได้

$$T = \frac{1}{f} = t_{on} + t_{off} = \frac{L\Delta I}{V_S} + \frac{L\Delta I}{V_O - V_S} + \frac{L(\Delta I)V_O}{V_S(V_O - V_S)} \quad (2.24)$$

เมื่อจัดรูปสมการที่ (2.24) ใหม่จะได้ค่ากระแสเพื่อมของตัวเหนี่ยวนำดังสมการที่ (2.25)

$$\Delta I = \frac{V_S(V_O - V_S)T}{LV_S} = \frac{V_S[V_S/(1-D) - V_O]}{fLV_O} \quad (2.25)$$

และจะได้ค่าตัวเหนี่ยวนำที่ใช้ในวงจรบูสต์ดีซีทูดีซีคอนเวอร์เตอร์ดังสมการที่ (2.26)

$$L = \frac{V_S D}{f \Delta I} \quad (2.26)$$

#### 2.4.1.3 แรงดันกระแสเพื่อมด้านเอาต์พุต (Output Voltage Ripple)

การทำงานของวงจรบูสต์คอนเวอร์เตอร์นั้นจะต้องได้แรงดันเอาต์พุตที่สูงกว่าแรงดันอินพุต ถ้าไม่เป็นเช่นนั้นแสดงว่าตัวเหนี่ยวนำไม่คายพลังงานเสริมแรงดันอินพุต เมื่อมอสเฟต Turn ON แรงดันเอาต์พุตจะได้จากการคายประจุของตัวเก็บประจุเพียงอย่างเดียว เพราะฉะนั้นขนาดของตัวเก็บประจุจะขึ้นอยู่ขนาดของแรงดันเอาต์พุตและโหมดการทำงาน ดังนั้นจึงจำเป็นที่จะให้ขนาดของตัวเก็บประจุมีขนาดใหญ่เพื่อที่จะให้ขนาดของแรงดันกระแสเพื่อม ทางด้านเอาต์พุตมีขนาดลดลง

ตัวเก็บประจุจะคายพลังงานให้อเอาต์พุตในช่วงเวลาที่มอสเฟต Turn on และหากค่าเก็บประจุได้จากค่ากระแสเอาต์พุตในช่วงเวลาดังกล่าว

$$\Delta V_O = V_C - V_C(0) = \frac{1}{C} \int_{t_{off}}^{t_{on}} I_O dt = \frac{I_O t_{on}}{C} \quad (2.27)$$

หากพิจารณาจากช่วงเวลา  $t_{on}$  ในคอนเวอร์เตอร์จะมีความถี่ในการสั่นตัวซึ่งเมื่อพิจารณาให้อยู่ในเทอมของเอาต์พุตซึ่งจะได้จากสมการที่ (2.20) และพิจารณาความถี่ด้วยจะได้

$$V_o = \frac{V_s}{1-D} = \frac{V_s T}{T - DT} = \frac{V_s}{T - t_{on}} \quad (2.28)$$

$$T - t_{on} = \frac{V_s T}{V_o} \quad (2.29)$$

$$t_{on} = T - \frac{V_s T}{V_o} = \frac{V_o - V_s}{fV_o} \quad (2.30)$$

แทนค่า  $t_{on}$  ในสมการที่ (2.30) ลงในสมการที่ (2.28) จะได้

$$\Delta V_o = \frac{I_o(V_o - V_s)}{V_o fC} = \frac{I_o(V_o - V_s)}{fCV_s / (1-D)} \quad (2.31)$$

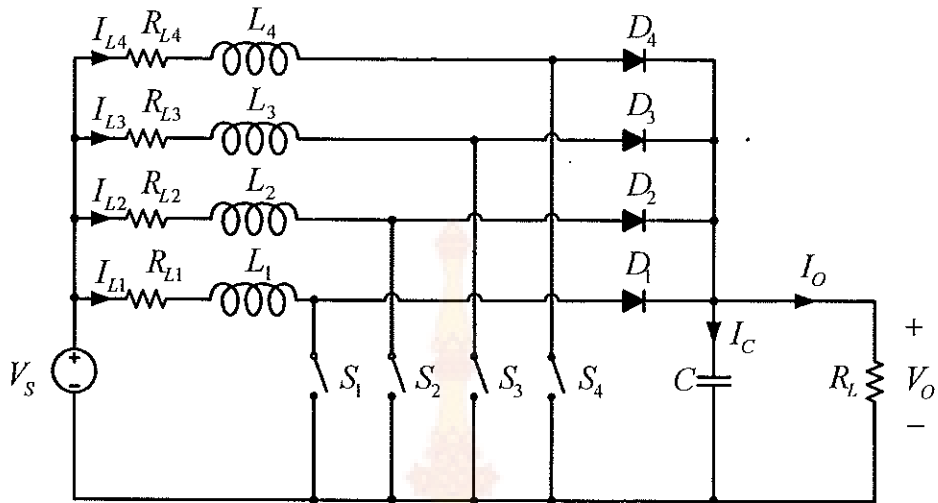
จากสมการที่ (2.31) เขียนให้อยู่ในรูปอย่างง่ายจะได้

$$\Delta V_o = \frac{[I_o(V_o - V_s + DV_s) / (1-D)]}{fCV_s / (1-D)} = \frac{I_o D}{fC} \quad (2.32)$$

ดังนั้นตัวเก็บประจุทางด้านเอาต์พุตของวงจรบูสต์คอนเวอร์เตอร์จะหาได้จากสมการต่อไปนี้

$$C = \frac{I_o D}{f \Delta V_o} \quad (2.33)$$

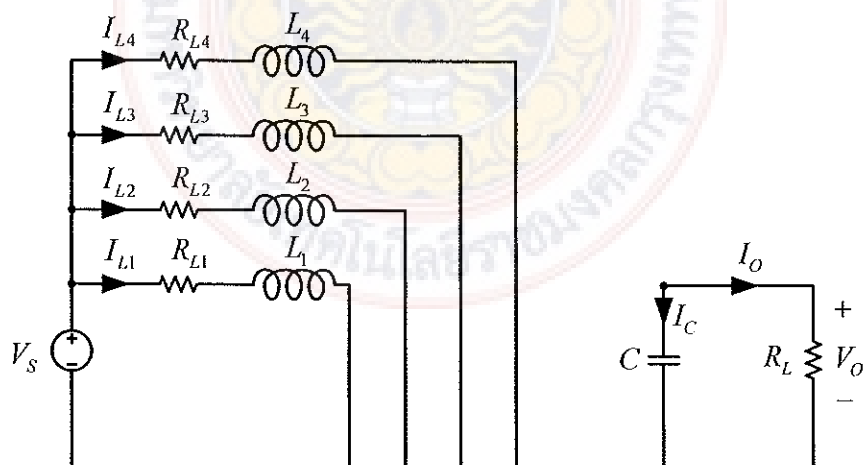
### 2.4.2 วงจรบูสต์ดีซีที่มีค้อนเวอร์เตอร์แบบขานาน



รูปที่ 2.13 วงจรบูสต์ดีซีที่มีค้อนเวอร์เตอร์แบบขานาน

จากรูปที่ 2.13 จากการพิจารณาของวงจรบูสต์ครั้งละวงจรเพื่อความสามารถแรงดันและกระแส โดยใช้หลักการพิจารณาเหมือนกับวงจรบูสต์แบบธรรมด้า ในการขยายวงจรบูสต์ค่อนเวอร์เตอร์สามารถที่จะขยายได้มากกว่า 2 โมดูลขึ้นไป ดังนั้นกระแสที่ไหลในตัวเหนี่ยววนนำห้าได้จากสมการกระแสของวงจรบูสต์ค่อนเวอร์เตอร์ ในงานวิจัยนี้จะพิจารณาเพียง 4 โมดูลซึ่งสามารถเขียนเป็นสมการได้ดังนี้

#### 2.4.2.1 วงจรสมมูลขณะสวิตช์ปิด



รูปที่ 2.14 วงจรสมมูลขณะสวิตช์ปิด

$$V_s = V_{RL} + V_{L1} \quad (2.34)$$

$$V_{RL} = I_{L1} \cdot R_{L1} \quad (2.35)$$

$$V_{L1} = L_1 \frac{dI_{L1}}{dt} \quad (2.36)$$

$$V_s = (I_{L1} \cdot R_{L1}) + L_1 \frac{dI_{L1}}{dt} \quad (2.37)$$

$$L_1 \frac{dI_{L1}}{dt} = V_s - R_{L1} \cdot I_{L1} \quad (2.38)$$

$$\frac{dI_{L1}}{dt} = \frac{1}{L_1} (V_s - R_{L1} \cdot I_{L1}) \quad (2.39)$$

สมการกระแสที่ไหลผ่าน  $I_{L1}$  หาได้จาก

$$I_{L1} = \frac{1}{L_1} \int (V_s - R_{L1} \cdot I_{L1}) dt \quad (2.40)$$

กระแสที่ไหลใน  $I_{L1}$  และ  $I_{LN}$  สามารถตรวจนิวเคราะห์ได้โดยใช้วิธีเดียวกันจะได้

$$I_{L2} = \frac{1}{L_2} \int (V_s - R_{L2} \cdot I_{L2}) dt \quad (2.41)$$

$$I_{LN} = \frac{1}{L_N} \int (V_s - R_{LN} \cdot I_{LN}) dt \quad (2.42)$$

สามารถตรวจนิวเคราะห์สมการของแรงดันได้ดังนี้ คือ

$$I_C = I_O \quad (2.43)$$

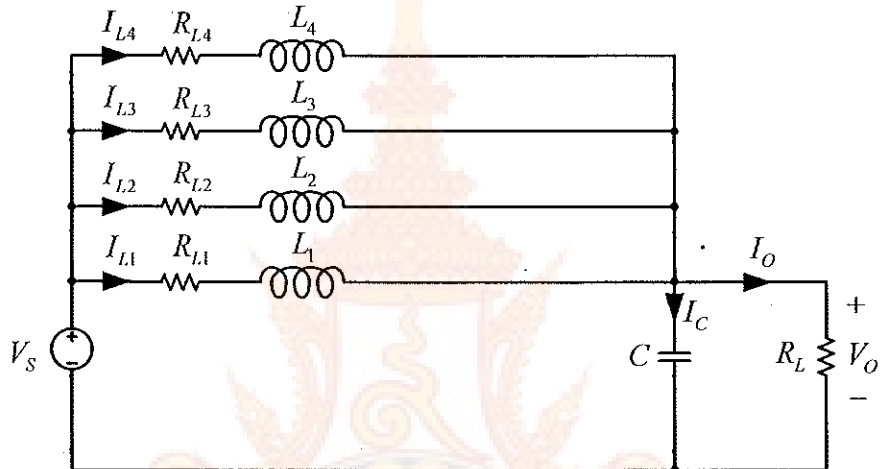
$$I_C = C \frac{dV_o}{dt} \quad (2.44)$$

$$C \frac{dV_o}{dt} = I_o \quad (2.45)$$

แรงดันทางเอกสารพุดหาได้จากสมการดังนี้

$$V_o = \frac{1}{C} \int (I_{L1} + I_{L2} + I_{LN}) dt \quad (2.46)$$

#### 2.4.2.2 วงจรสมมูลขณะสวิตซ์เปิด



รูปที่ 2.15 วงจรสมมูลขณะสวิตซ์เปิด

เมื่อสวิตซ์เปิดกระแสไฟฟ้าในตัวเหนี่ยวนำแต่ละตัวจะเปลี่ยนแปลงทันทีทันใดไม่ได้โดยดูทุกตัวจะถูกไบอัลส์ไปข้างหน้าให้นำกระแสไฟแหล่งทำให้กระแสไฟฟ้าไหลผ่านตัวเหนี่ยวนำแต่ละตัวอย่างต่อเนื่อง ดังรูปที่ 2.15 สมมติแรงดันไฟฟ้าที่ด้านเอกสารพุดมีค่าคงที่ จากกฎของเคอร์ชอฟฟ์จะได้สมการของแรงดันไฟฟ้าที่ตอกคร่อมตัวเหนี่ยวนำดังนี้

$$V_s = V_{RL1} + V_{L1} + V_o \quad (2.47)$$

$$V_{RL1} = I_{L1} R_{L1} \quad (2.48)$$

$$V_{L1} = L_1 \frac{dI_{L1}}{dt} \quad (2.49)$$

$$V_s = (I_{L1} \cdot R_{L1}) + (L_1 \frac{dI_{L1}}{dt}) + V_o \quad (2.50)$$

$$L_1 \frac{dI_{L1}}{dt} = V_s - (I_{L1} \cdot R_{L1}) + V_o \quad (2.51)$$

$$\frac{dI_{L1}}{dt} = \frac{1}{L_1} (V_s - (I_{L1} \cdot R_{L1}) - V_o) \quad (2.52)$$

ดังนั้นกระแสที่ไหลผ่าน  $i_{L1}$  หาได้จากสมการ

$$I_{L1} = \frac{1}{L_1} \int (V_s - (I_{L1} \cdot R_{L1}) - V_o) \quad (2.53)$$

ส่วนกระแสที่ไหลใน  $i_{L2}$  และ  $i_{LN}$  ก็สามารถหาได้ด้วยวิธีเดียวกันสมการของแรงดันสามารถวิเคราะห์ได้จากการพิจารณาการเท่ากันของกระแสไฟล์เข้ากับกระแสไฟล์ออก สามารถเขียนเป็นสมการได้ดังนี้

$$I_{L1} + I_{L2} + I_{LN} = I_C + I_O \quad (2.54)$$

$$I_C = (I_{L1} + I_{L2} + I_{LN}) - I_O \quad (2.55)$$

$$I_O = C \frac{dV_o}{dt} \quad (2.56)$$

ดังนั้นผลรวมของกระแสที่ไหลผ่านตัวเหนี่ยวนำแต่ละตัวสามารถหาได้จากสมการ

$$V_o = \frac{1}{C} \int ((I_{L1} + I_{L2} + I_{LN}) - I_O) dt \quad (2.57)$$

## 2.5 วงศ์รบสัตต์ซีทุตซีคอนเวอร์เตอร์แบบขาน

การออกแบบ Wang จะกำลังของ Wang จะบูสต์ดีซีทูดีซีคอนเวอร์เตอร์แบบขนาดจำเป็นต้องศึกษาทฤษฎีดังต่อไปนี้

### 2.5.1 ตัวเหนี่ยวนำ (Inductor)

ตัวเหนี่ยวนำเป็นอุปกรณ์ที่ทำงานโดยอาศัยคุณสมบัติทางแม่เหล็กไฟฟ้า การที่จะเข้าใจถึงการออกแบบตัวเหนี่ยวนำจะต้องทำความเข้าใจเกี่ยวกับ ทฤษฎีทางแม่เหล็กไฟฟ้า โดยตัวเหนี่ยวนำมีหน้าที่สำคัญมากในการเก็บพลังงาน และคายพลังงานในวงจรบูสต์ดิซีทูดีซี คอนเวอร์เตอร์แบบขานาน

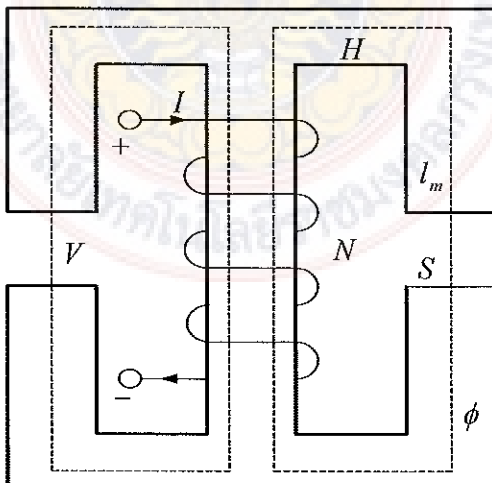
### 2.5.1.1 แม่เหล็กไฟฟ้าพื้นฐาน

ในทฤษฎีของแม่เหล็กไฟฟ้า กกฎพื้นฐานทางแม่เหล็กไฟฟ้า พิจารณาจากการจ่ายกระแสไฟฟ้าเข้าไปในขดลวดโดยมีตัวแปร 2 ตัวที่เกี่ยวกับสนามแม่เหล็ก เวกเตอร์ตัวแรกได้แก่ ความเข้มของสนามแม่เหล็ก (Field Intensity Vector) ใช้ตัวย่อ คือ  $H$  มีหน่วยเป็น Ampere-turns/m ตามกฎของเอมเพร็ท์ที่กำหนด

$$Hl_m = Ni \quad (2.58)$$

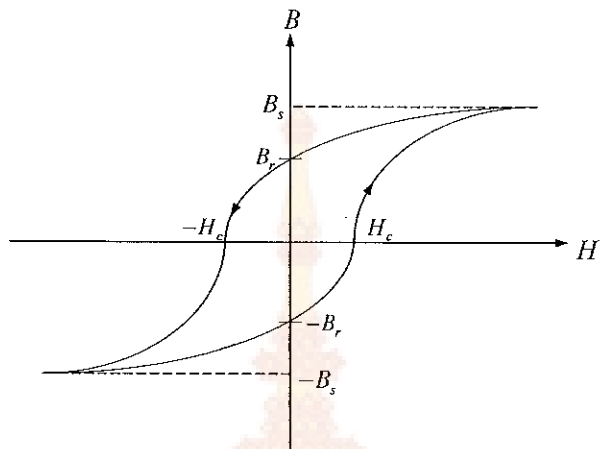
ส่วนแรกเตอร์อิกตัวหนึ่ง ได้แก่ ความหนาแน่นของสนามแม่เหล็ก (Flux Density) ใช้ตัวย่อ  $B$  มีหน่วยเป็นเทสลา (Tesla) จากกฎของฟาราเดีย

$$V = N \frac{d(BS)}{dt} = N \frac{d\Phi}{dt} = \frac{d\lambda}{dt} \quad (2.59)$$



รูปที่ 2.16 วงศ์จำเพ็ลิกพื้นฐาน

กฎพื้นฐานของสารแม่เหล็กที่ใช้ทางแม่เหล็กจะให้ความสัมพันธ์ระหว่างความเข้มของสารแม่เหล็ก  $H$  กับความหนาแน่น剩แรงแม่เหล็ก  $B$  โดยทั่วไป  $B = f(H)$  เป็นพังก์ชันไม่เป็นเชิงเส้นและมีรูปแบบดังแสดงในรูปที่ 2.17



รูปที่ 2.17 รูปแบบดีซิเตอเรชัน

เมื่อ  $B_s$  คือ ความหนาแน่น剩แรงแม่เหล็กอิมตัว

$B_r$  คือ ความหนาแน่น剩แรงแม่เหล็กตกรถ

$H_c$  คือ ความเข้มสนามแม่เหล็กหักล้าง

ความสัมพันธ์ระหว่าง  $B$  และ  $H$  คือช่วงที่เป็นเชิงเส้น  $B = \mu H = \mu_r \mu_0 H$

โดยที่  $\mu$  คือ สภาพความซ้ำซึ้มได้ ( $H/m$ )

$\mu_r$  คือ สภาพความซ้ำซึ้มได้ของวัสดุ

$\mu_0$  คือ สภาพความซ้ำซึ้มได้ของอากาศ มีค่าเท่ากับ

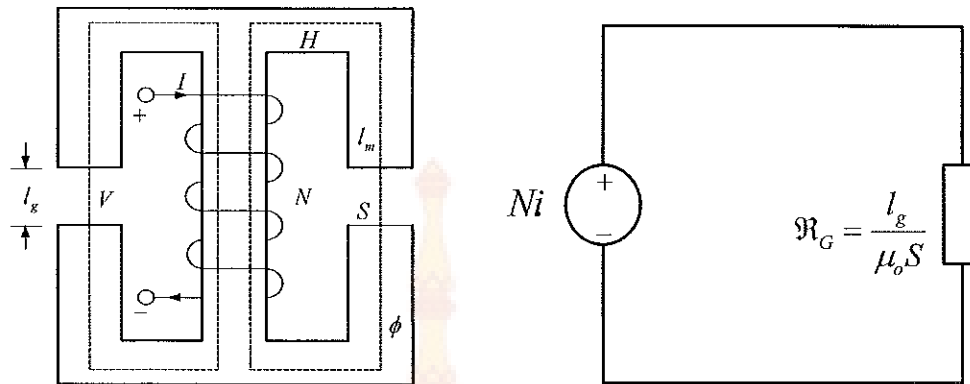
$$4\pi \times 10^{-7} H/m$$

เมื่อจ่ายกระแสไฟฟ้าผ่านขดลวดจำนวน  $N$  รอบ จะทำให้เกิดแรงเคลื่อนแม่เหล็กขึ้นมา (Magneto motive force, mmf)

$$mmf = NI \quad (2.51)$$

$$H = \frac{mmf}{l_m} = \frac{NI}{l_m} \quad (2.52)$$

สามารถเขียนวงจรแม่เหล็กไฟฟ้า (Magnetic Circuit) แทนด้วย  
วงจรไฟฟ้า (Electric Circuit) และค่าเทียบเคียงดังรูปที่ 2.18 และตารางที่ 2.1 ตามลำดับ



ก) วงจรแม่เหล็กไฟฟ้า

ข) วงจรเทียบเคียง

รูปที่ 2.18 วงจรแม่เหล็กไฟฟ้าและวงจรเทียบเคียง

ตารางที่ 2.1 การเปรียบเทียบวงจรแม่เหล็กไฟฟ้าและวงจรไฟฟ้า

วงจรแม่เหล็กไฟฟ้า (Magnetic Circuit)	วงจรไฟฟ้า (Electric Circuit)
Current ( $I$ )	Flux ( $\phi$ )
EMF ( $V$ )	mmf ( $F$ )
Resistance ( $R$ )	Reluctance ( $\mathfrak{R}$ )
Conductance ( $G$ )	Permance ( $P$ )

ค่า Reluctance ( $\mathfrak{R}$ ) ของวงจรแม่เหล็กไฟฟ้าหาได้จาก

$$\mathfrak{R} = \frac{l}{\mu S} \quad (2.60)$$

และส่วนกลับของ  $\mathfrak{R}$

$$P = \frac{1}{\mathfrak{R}} = \frac{\mu S}{l} \quad (2.61)$$

ค่าความหนืดยาน้ำสามารถหาค่าได้

$$L = \frac{\lambda}{I} = \frac{N\phi}{I} = \frac{N^2}{R} = N^2 P = \frac{N^2 \mu S}{l} \quad (2.62)$$

วงจรแม่เหล็กไฟฟ้าเมื่อมี Air Gap

$$\phi = \frac{NI}{R_g + R_m} = (P_g + P_m)NI \quad (2.63)$$

$$N\phi = (P_g + P_m)N^2 I \quad (2.64)$$

$R_m$  คือ Reluctance ของแกนแม่เหล็ก

ในการปฏิบัตินั้น  $R_m \ll R_g$  ดังนั้นจะหาค่าความเหนี่ยวนำ (Inductance) ได้จาก

$$L = N^2 P_g = \frac{N^2 \mu_o S}{l_g} \quad (2.65)$$

### 2.5.1.2 แกนเฟอร์ไรต์ (Ferrite Core)

เฟอร์ไรต์เป็นวัสดุประภพเฟอร์โรแมกเนติก (Ferromagnetic Material) การเหนี่ยวนำแม่เหล็กบนแกนเฟอร์ไรต์ จะมีผลทำให้เกิดการเหนี่ยวนำเส้นแรงแม่เหล็กสูงกว่า การเหนี่ยวนำที่เกิดขึ้นบนแกนอะกามาก แกนเฟอร์ไรต์มีค่าอิมตัวเส้นแรงแม่เหล็กค่อนข้างสูง ประมาณในช่วง 3,000 – 6,000 เกาส์ และเกิดการสูญเสียในตัวแกนเฟอร์ไรต์ต่ำที่ความถี่สูง ๆ ดังนั้นตัวเหนี่ยวนำในวงจรสวิตซ์จึงนิยมใช้แกนเฟอร์ไรต์มากที่สุด เฟอร์ไรต์ที่นำมาใช้ทำแกน ของตัวเหนี่ยวนำสวิตซ์จะมีรูปร่างแตกต่างกันออกไปขึ้นอยู่กับการใช้งานและมาตรฐานในการออกแบบ

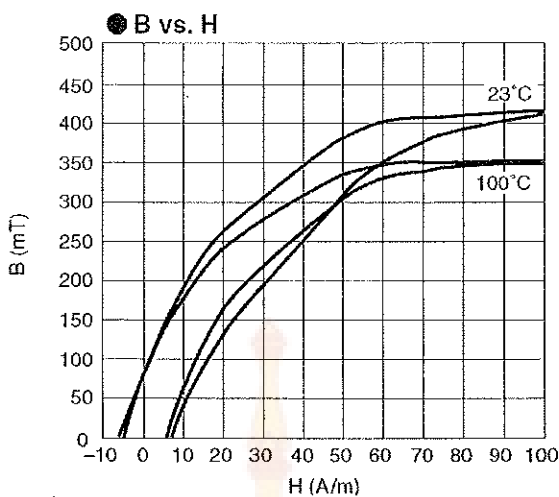
สารแม่เหล็กที่ใช้ทำแกนแม่เหล็กมักจะเป็นอัลลอยของเหล็กหรือ เฟอร์ไรต์สารที่นิยมใช้ที่ความถี่ต่ำ ( $< 1\text{kHz}$ ) ได้แก่ เหล็กผสมซิลิกอนเจือจาง ( $\text{Si} < 1\%$ ) ซึ่งมี ความหนาแน่น เส้นแรงแม่เหล็กอิมตัวค่าสูงแต่จะมีการสูญเสียมาก ถ้าส่วนผสมซิลิกอนมีมาก ขึ้นก็มักจะเป็นชนิด Grain Oriented การสูญเสียจะน้อยลงแต่ราคาอาจจะแพงขึ้น นอกจากจะ ผสมซิลิกอนแล้วยังมีสารแม่เหล็กที่ผสมสารอื่น ๆ เช่น โคบล็อต นิกเกิล โมลิบดีนัม เป็นต้น ซึ่ง ทำงานได้ถึงความถี่ประมาณ 20kHz แต่ก็มีราคาแพงกว่าเหล็กผสมซิลิกอนมาก เฟอร์ไรต์เป็น เซรามิกประกอบไปด้วย ออกไซด์ของเหล็ก สังกะสี และแมงกานีส หรือนิกเกิล เฟอร์ไรต์ชนิด MnZn มีความหนาแน่น เส้นแรงแม่เหล็กสูงกว่าชนิด NiZn แต่ทำงานได้ถึงความถี่ประมาณ 1MHz ซึ่งต่ำกว่าชนิด NiZn ซึ่งทำงานได้ถึง 1MHz เฟอร์ไรต์มีหลากหลายชนิดตามแต่ละสูตร

ผสมและมีเหลาหัสด่าง ๆ เช่น 6H20 7H10 และ 3C6 เป็นต้น แกนเฟอร์ไรต์สำหรับแหล่งจ่ายไฟสวิตชิ่งโดยทั่วไปจะถูกผลิตออกมากที่ขนาด และรูปทรงต่าง ๆ ตามมาตรฐานเดียวกัน เช่น แกนแบบ EI EE EER หรือแกนแบบ POT เป็นต้น ปกติผู้ผลิตจะทำแกนเฟอร์ไรต์ออกมากในลักษณะประกับคู่ เพื่อความสะดวกในการประกอบเข้ากันบนบันบัน



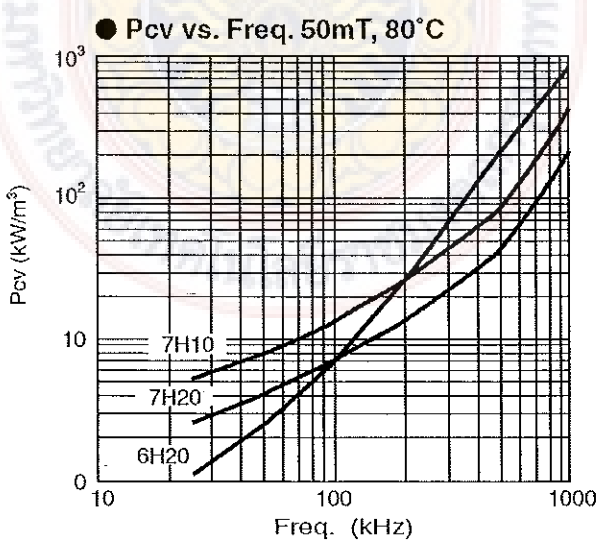
รูปที่ 2.19 ลักษณะของแกนเฟอร์ไรต์แบบต่างๆ

ลักษณะสมบัติของเนื้อสารที่ใช้ทำแกนเฟอร์ไรต์ชนิดของเนื้อสารแกนเฟอร์ไรต์ที่แตกต่างกันจะให้ คุณสมบัติทางแม่เหล็กของแกนเฟอร์ไรต์ที่แตกต่างกันด้วย ถึงแม้จะมีขนาดเท่ากันทุกประการก็ตาม ในแผ่นข้อมูลเนื้อสารที่ให้มา กับแกนเฟอร์ไรต์นั้น จะต้องมีรายละเอียดคุณสมบัติของเนื้อสารแสดงไว้เสมอ ข้อมูลที่สำคัญควรจะทำความเข้าใจและศึกษาไว้ก็คือ เส้นโค้งไฮสเตอเรซิส (Hysteresis Curve) และค่าการสูญเสียของแกนเฟอร์ไรต์ (Core Loss) เส้นโค้งไฮสเตอเรซิสจะแสดงความสัมพันธ์ระหว่างค่าความหนาแน่นเส้นแรงแม่เหล็ก ( $B$ ) ที่เกิดขึ้นในแกนเฟอร์ไรต์กับความเข้มของสนามแม่เหล็ก ( $H$ ) ที่เกิดจากการเหนี่ยวนำของขดลวดที่พันบนแกนเฟอร์ไรต์ รูปที่ 2.20 จะแสดงเส้นโค้งไฮสเตอเรซิสของแกนเฟอร์ไรต์จากรูปจะเห็นได้ว่า ค่าความหนาแน่นเส้นแรงแม่เหล็กจะมีค่ามากขึ้น เมื่อความเข้มของสนามแม่เหล็กมีค่าเพิ่มจนถึงจุดหนึ่งซึ่งค่าความหนาแน่นเส้นแรงแม่เหล็ก มีค่าเพิ่มขึ้นอย่างมาก แม้ว่าจะมีการเพิ่มขึ้นของเมื่อความเข้มของสนามแม่เหล็กแล้วก็ตาม จากจุดดังกล่าวจะเรียกว่าแกนเริ่มมีการอิ่มตัวของฟลักซ์แม่เหล็ก โดยปกติผู้ผลิตจะแสดงกราฟของเส้นโค้งไฮสเตอเรซิสเพียงครึ่งเดียว เนื่องจากอิ่มตัวหนึ่งของเส้นโดยอิสเตอเรซิสจะมีลักษณะเหมือนกันทุกประการ เพียงแต่จะมีลักษณะกลับทิศทางกันเท่านั้น จากรูปที่ 2.19 การใช้งานของแกนเฟอร์ไรต์ในตัวเหนี่ยวนำควรกำหนดค่าความหนาแน่นฟลักซ์แม่เหล็กที่เกิดขึ้นในแกนขณะทำงานมีค่าไม่เกินครึ่งหนึ่ง ของค่าความหนาแน่นเส้นแรงแม่เหล็กสูงสุดก่อนอิ่มตัวของแกนเฟอร์ไรต์เพื่อความปลอดภัย



รูปที่ 2.20 เส้นโค้งฮิสเตอรีซิสของแกนเพอร์ไร์ต

ค่าการสูญเสียในแกนเพอร์ไร์ต (Core Loss) การสูญเสียที่เกิดขึ้นในแกนเพอร์ไร์ตจะทำให้แกนเพอร์ไร์ต้อน ซึ่งมีสาเหตุหลัก 2 ประการ คือ การสูญเสียที่เกิดจากลักษณะ ฮิสเตอรีซิสของแกน (Hysteresis Loss) และการสูญเสียจากการเกิดกระแสไฟฟ้าในแกนเพอร์ไร์ต (Eddy Current Loss) ที่ความถี่ 100kHz การสูญเสียจากการเกิดกระแสไฟฟ้าในแกนจะมีค่าน้อยสำหรับแกนที่มีขนาดใหญ่ไม่มากนัก ดังนั้นการสูญเสียที่ก่อให้เกิดความร้อนในแกนอาจพิจารณาได้จากการสูญเสียทางฮิสเตอรีซิสของแกนเพียงอย่างเดียว ด้วยร่างกราฟแสดงค่าการสูญเสียที่เกิดขึ้นในแกนเพอร์ไร์ตแสดงไว้ในรูปที่ 2.20 ปกติค่ากำลังสูญเสียจะถูกระบุไว้เป็นกิโลวัตต์ต่ำหนึ่งลูกบาศก์เมตร ( $kW / m^3$ ) และมีค่าขึ้นกับค่าความหนาแน่นเส้นแรงแม่เหล็ก ความถี่ในการใช้งานรวมถึงอุณหภูมิขณะใช้งานของแกนเพอร์ไร์ต

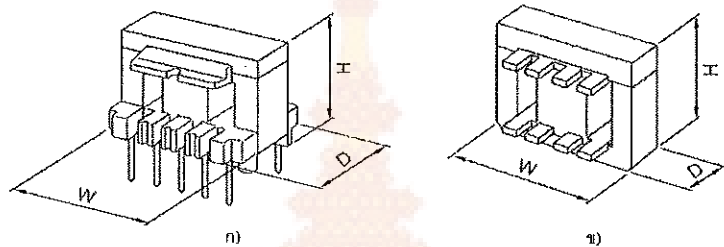


รูปที่ 2.21 ค่าการสูญเสียในแกนเพอร์ไร์ตของเนื้อสารชนิด 6H20 7H20 และ 7H10

### 2.5.1.3 บอบบิน (Bobbin)

บอบบินหรือแบบรองพัน ปกติทำจากพลาสติก ชนิดทนความร้อนได้สูง และไม่ติดไฟ บอบบินจะช่วยให้การพันขดลวดบนแกนเฟอร์ไรร์ตสะดวกขึ้น และป้องกันปัญหา การลัดวงจรระหว่างขดลวดและแกนเฟอร์ไรร์ต บอบบินจะมีขนาดมาตรฐานตามมาตรฐานของ แกนเฟอร์ไรร์ตตัวอย่างลักษณะและขนาดของบอบบินดูได้จากรูปที่ 2.22 และตารางที่ 2.2 บอบบินส่วนใหญ่จะถูกออกแบบให้มีขาพักลวดทองแดง เพื่อความสะดวกในการพันขดลวดและการบัดกรีติดกับแผ่น PCB

EE BOBBINS



รูปที่ 2.22 ลักษณะบอบบินของแกนเฟอร์ไรร์ต

ตารางที่ 2.2 ขนาดบอบบิน

Part No.	No. of pin terminal	Dimensions (mm)		
		W	D	H
BE-8-116CPH	6	8.3	8	8
BE-10-118CPS	8	10.4	10.2	11.2
BE-13-1110CPS	10	13.2	12.7	12.3
BE-16-116CP	6	16.3	13.1	14.6
BE-16-1110CPN	10	16.3	13.1	15.6
BE-16-118CPH	8	16.5	14.6	13.6
BES-16-1110CPS	10	16.3	14.1	16.3
BE-19-116CP	6	20.3	16.7	16.2
BE-19-118CPH	8	20.3	16.2	18.8
BE-22-118CP	8	22.3	17.1	20.1
BE-30-1110CP	10	30.4	25.1	28.6
BE-30-1112CP	12	30.4	25.1	28.6
BE-40-1112CP	12	40.5	30.2	35.8
BE-40-1112CPN	12	40.5	30.2	35.7
BE-50-1112CP	12	50.7	36.2	43.6
BE-50.3/51/6-1112CPH	12	52	77	16.2
BE-60-1112CP	12	60.8	45.2	45.1
BE-62.3/62/6-1112CPH	12	64	88	16.2

\* Material: FR phenol, UL Grade: 94V-0, Pin material: Steel wire (Solder plated)

#### 2.5.1.4 ลวดทองแดงอาน้ำยา (Copper Wire)

การพันขดลวดของตัวเหนี่ยวนำสวิตซิ่งปกติจะใช้ลวดทองแดงอาน้ำยาพันบนแกนบอบบี้น เพื่อให้ได้จำนวนรอบตามต้องการ ขนาดของขดลวดทองแดงที่จะใช้พันนั้นขึ้นอยู่กับกระแสที่ไหลผ่านขดลวด ความถี่ และผลข้างเคียงอื่น ๆ

#### 2.5.1.5 เทปฉนวน (Insulation Tape)

เทปฉนวนใช้พันสำหรับเป็นตัวรอง ระหว่างชั้นของขดลวดในตัวเหนี่ยวนำสวิตซิ่ง และมีความสำคัญในการเป็นฉนวนป้องกันความเสียหายของขดลวด และทำให้ขดลวดมีความแข็งแรง วัสดุที่ใช้ทำเทปฉนวนอาจเป็นพลาสติกไมลาร์ (Mylar) หรือโพลีเอสเตอร์ (Polyester) ที่มีความหนาอยู่ในช่วง 0.05-0.1 มิลลิเมตร การเลือกใช้จะขึ้นอยู่กับการออกแบบ และความปลอดภัยที่ต้องการจากตัวเหนี่ยวนำสวิตซิ่งเป็นหลัก

#### 2.5.2 การออกแบบตัวเหนี่ยวนำ (Inductor)

##### 2.5.2.1 ข้อกำหนดในการออกแบบตัวเหนี่ยวนำสวิตซิ่ง

1. ขนาดและรูปร่างรวมทั้งความถี่ของกระแสและแรงดัน
2. กำลังสูญเสีย ประสิทธิภาพหรืออุณหภูมิที่เพิ่มขึ้น
3. คุณสมบัติทางไฟฟ้าและเชิงกลอื่น ๆ

##### 2.5.2.2 ขีดจำกัดในการออกแบบตัวเหนี่ยวนำสวิตซิ่ง

1. ความหนาแน่นสนามแม่เหล็กอิ่มตัวของแกนเหล็ก
2. กำลังงานสูญเสียในลวดทองแดงหรือแกนเหล็ก
3. คุณสมบัติอื่น ๆ เช่น Permeability ( $\mu$ ) เป็นต้น

โดยมีสมการของการออกแบบดังนี้

$$B_{\max} = \frac{\phi_{\max}}{S} = \frac{\lambda_{\max}}{SN} = \frac{LI_{peak}}{SN} \quad (2.66)$$

จากขีดจำกัดของลวดทองแดง โดยคำนึงถึงความสูญเสีย (Copper loss:  $P_{cu}$ )

$$P_{cu} = I_{rms}^2 R \quad (2.67)$$

โดยที่ค่า  $R$  หาได้จาก

$$R = \rho \frac{l}{A_w} \quad (2.68)$$

### 2.5.3 การเลือกหรือกำหนดขนาดแกนเหล็กโดยใช้วิธีการคำนวณแบบ $A_p$ (Area Approach)

วิธีนี้เป็นการออกแบบที่ใช้ค่า  $T_{rise}$  ซึ่งอาศัยความหนาแน่นของกระแสของลวดตัวนำ ( $J = 100 - 1000 A/cm^2$ ) โดยคำนวณขนาดของแกนเหล็กดังนี้

$$N = \frac{LI_{peak}}{B_{max}S} \quad (2.69)$$

$$kW = \frac{NI_{rms}}{J} = NA_w \quad (2.70)$$

แทนค่า  $N$  จะได้

$$A_w = \frac{LI_{peak}I_{rms}}{B_{max}JS} \quad (2.71)$$

เพราะจะได้ว่า

$$A_p = WS = \frac{LI_{peak}I_{rms}}{B_{max}Jk} \quad (2.72)$$

โดยมีวิธีการออกแบบดังนี้

1. จากข้อกำหนดและขีดจำกัด คำนวณหาค่า  $A_p$  จากสมการที่ (2.72)
2. เลือกขนาดของแกนให้มีขนาดมากกว่า  $A_p$  ที่ได้จากการคำนวณในข้อที่ 1
3. คำนวณหาจำนวนรอบของชุดลวดตัวหนีไฟนำ (N) จากสมการที่ (2.71)
4. คำนวณขนาดของลวดตัวนำ  $A_w$  จากสมการที่ (2.71)
5. เลือกเบอร์ลวดทองแดงให้มี  $A_w$  ใหญ่กว่า  $A_p$  ที่คำนวณได้จากข้อที่ 4 ซึ่งทำได้โดย การเลือกเบอร์ลวดที่รัศมีน้อยกว่าค่าความลึกผิวทองแดงที่มีความถี่สูงสุดที่ใช้งานนำมาตีเกลียวให้มี  $A_w$  ตามที่เลือกไว้

$$\xi(m) = \sqrt{\frac{2\rho}{\mu W}} \quad (2.73)$$

เมื่อ  $\xi(m)$  คือ ค่าความลึกผิวทองแดง

$$\rho \quad \text{มีค่าเท่ากับ } \frac{1}{56 \times 10^6} \Omega$$

$\mu$  มีค่าเท่ากับ  $\mu_0\mu_r$

1. คำนวณหาค่า  $P_{cu}$
2. ปรับค่า  $J$  ใหม่จนได้ค่า  $P_{cu}$  ที่เหมาะสม
3. คำนวณขนาดของช่องอากาศ (Air gap:  $l_g$ ) และทำการปรับช่องอากาศจนได้ค่า  $L$  ตามที่ต้องการ

#### 2.5.3.1 ขั้นตอนการออกแบบตัวเหนี่ยวนำ

ต้องกำหนด  $L, I$  และ  $\% \Delta I$

##### ขั้นตอนที่ 1

กำหนดความหนาแน่นของกระแส ( $J$ ) ในช่วง  $2.5 - 10 A/mm^2$  ซึ่งขึ้นอยู่กับลักษณะของการระบายความร้อน กำหนดค่า  $k$  อยู่ในช่วง  $0.3 - 0.6$  ขึ้นอยู่กับความหนาแน่นของ流หนาที่หุ้มลวดและพื้นที่ช่องว่างระหว่างลวด

หาค่า  $\Delta I$  โดยที่  $\Delta I = 2(I_{max} - I)$

หาค่า  $\Delta B$  โดยที่  $\Delta B = \Delta I \times \Delta B_{max}$  (สำหรับแกนเฟอร์เรต์  $\Delta B_{max} = 0.3T$ )

หาค่า  $B_{max}$  โดยที่  $B_{max} = \Delta B_{max} - \frac{\Delta B}{2}$

##### ขั้นตอนที่ 2

คำนวณหา  $A_p$  จากสมการที่ (2.72)

$$A_p = \frac{LI_{peak}I_{rms}}{B_{max}Jk}$$

โดยที่  $L$  มีหน่วยเป็น Henry,  $I$  มีหน่วยเป็น Ampere,  $B$  มีหน่วยเป็น Tesla,  $J$  มีหน่วยเป็น  $A/m^2$  และ  $A_p$  มีหน่วยเป็น  $mm^3$  หรือ  $mm^4$  (ตามขนาดของแกน)

##### ขั้นตอนที่ 3

เลือกขนาดของแกนเหล็กที่มี  $A_p$  ใกล้เคียงกับค่า  $A_p$  ที่ได้จากการคำนวณในขั้นตอนที่ 2  
ขั้นตอนที่ 4

คำนวณจำนวนรอบของชุดลวดจากสมการที่ (2.69)

$$N = \frac{LI_{peak}}{B_{max}S}$$

เมื่อ  $S$  มีหน่วยเป็น  $mm^2$

ขั้นตอนที่ 5

คำนวณหาพื้นที่หน้าตัดของขดลวด

$$A_w = \frac{I_{rms}}{J} \quad (2.74)$$

คำนวณหาเส้นผ่านศูนย์กลางของขดลวด

$$d = \sqrt{\frac{4A_w}{\pi}} \quad (2.75)$$

เลือกใช้ลวดที่มีเส้นผ่านศูนย์กลางใกล้เคียงกันค่า  $d$  ที่คำนวณได้  
ขั้นตอนที่ 6

ทดสอบว่าสามารถพันขดลวดลงใน  $W$  ได้หรือไม่ จากสมการที่ (2.69)

$$W = (N \times \text{พื้นที่หน้าตัดของขดลวดที่ใช้จริง}) / k \quad (2.76)$$

ขั้นตอนที่ 7

คำนวณหาค่าความกว้างของ Air Gap ( $I_g$ )

$$I_g = \frac{\mu_o N^2 S}{2L} \quad (2.77)$$

เมื่อพันขดลวดเสร็จแล้วทำการวัดค่า  $L$  ที่ได้ว่าตรงตามต้องการหรือไม่ถ้าไม่ได้ตาม  
ต้องการให้ปรับขนาดความกว้างของ Air Gap จนกระทั่งได้ค่า  $L$  ตามต้องการ

ตารางที่ 2.3 ข้อมูลขนาดลวดทองแดง

หมายเลข AWG	เส้นผ่านศูนย์กลาง (mm)	ความต้านทาน ( $75^\circ$ ) $\Omega/km$	น้ำหนัก kg/km	จำนวนรอบต่อ cm
0	8.25	0.392	457	
1	7.35	0.494	377	
2	6.54	0.624	299	
3	5.83	0.786	237	
4	5.19	0.991	188	
5	4.62	1.25	149	
6	4.12	1.58	118	
7	3.67	1.99	93.8	
8	3.26	2.51	74.4	
9	2.91	3.16	59.0	
10	2.59	3.99	46.8	14
11	2.31	5.03	37.1	17
12	2.05	6.34	29.4	22
13	1.83	7.99	23.3	27
14	1.63	10.1	18.5	34
15	1.45	12.7	14.7	40
16	1.29	16.0	11.6	51

ตารางที่ 2.3 ข้อมูลขนาดลวดทองแดง (ต่อ)

หมายเลข AWG	เส้นผ่านศูนย์กลาง (mm)	ความต้านทาน ( $75^\circ\text{C}$ ) $\Omega/\text{km}$	น้ำหนัก $\text{kg/km}$	จำนวนรอบต่อ cm
17	1.15	20.2	9.23	63
18	1.02	25.5	7.32	79
19	0.912	32.1	5.8	98
20	0.812	40.5	4.6	123
21	0.732	51.1	3.65	153
22	0.644	64.4	2.3	192
23	0.573	81.2	2.89	237
24	0.511	102	1.82	293
25	0.455	129	1.44	364
26	0.405	163	1.15	454
27	0.361	205	1.1	575
28	0.321	259	1.39	710
29	0.286	327	1.75	871
30	0.255	421	2.21	1090

#### 2.5.4 มอสเฟตกำลัง (Power MOSFET)

มอสเฟตกำลังสามารถทำงานได้ดีที่ความถี่สูงตั้งแต่ 30 kHz ไปจนถึงประมาณ 200 - 400 kHz เวลาในการเปลี่ยนสถานะค่อนข้างสั้น และการพัฒนาในปัจจุบันมีแนวโน้มจะทำให้มอสเฟตกำลังทำงานได้ที่ความถี่สูงขึ้นไปอีก ซึ่งจะเป็นผลดีในการลดขนาดของคอนเวอร์เตอร์ ในส่วนวงจรขับของมอสเฟตกำลังนั้นสามารถทำได้ง่ายโดยขับเพาเวอร์มอสเฟตได้จาก TLP250 โดยตรง โครงสร้างของมอสเฟตกำลังจะเป็นไปได้ทั้งในลักษณะ N-Channel และ P-Channel ขางของมอสเฟตประกอบด้วย 3 ขา คือ ขาเกต (Gate) ขาเดรน (Drain) และขาซอร์ส (Source)

กำลังงานสูญเสียที่เกิดขึ้นในมอสเฟตกำลังขณะทำงาน จะเป็นไปได้ 2 ลักษณะ คือ กำลังงานสูญเสียขณะเปลี่ยนสถานะและกำลังงานสูญเสียขณะนำกระแส มอสเฟตกำลังจะมีช่วงเวลาเริ่มน้ำกระแสและช่วงเวลาเริ่มหยุดนำกระแสสั้นมาก เพราตามโครงสร้างของมอสเฟตกำลังจะไม่มีการสะสูประจุเกิดขึ้น อย่างไรก็ตามมอสเฟตกำลังจะมีค่าความต้านทานขณะนำกระแสค่อนข้างสูงการสูญเสียกำลังขณะนำกระแสจึงสูงกว่าไปพลาร์เพาเวอร์ทรานซิสเตอร์ถึงแม้ว่าช่วงเวลาเริ่มน้ำกระแสและหยุดนำกระแสของมอสเฟตกำลัง จะ

ค่อนข้างสั้นแต่โดยทั่วไป mosfet กำลังมักใช้งานที่ความถี่สูง การคิดค่ากำลังงานสูญเสียขณะทำงานจำเป็นต้องนำค่ากำลังงานสูญเสียขณะเปลี่ยนสถานะมาคิดด้วย และเนื่องจากช่วงเวลาเริ่มหยุดนำกระแส (Turn off Time) กับช่วงเวลาเริ่มน้ำกระแส (Turn on Time) ของ mosfet กำลังมีค่าใกล้เคียงกันจึงต้องนำมาคิดทั้งสองช่วงเวลา ดังนั้นกำลังงานสูญเสียของ mosfet กำลังขณะทำงาน  $P_D$  จะมีค่าเท่ากัน

$$P_D = P_{sw(on)} + P_{sw(off)} + P_c \quad (2.78)$$

$$P_{sw(on)} = \frac{0.5I_{PK(on)}V_{in}t_r}{T} \quad (2.79)$$

$$P_{sw(off)} = \frac{0.5I_{PK(off)}V_{in}t_f}{T} \quad (2.80)$$

$$P_c = I_{Drms}^2 \times R_{DS(on)} T_{(j)} \quad (2.81)$$

### 2.5.5 ชนิดและการเลือกใช้ไดโอด

เนื่องจากคอนเวอร์เตอร์จะมีความถี่ในการทำงานของวงจรตั้งแต่ 20 kHz ขึ้นไปไดโอดที่ใช้ในคอนเวอร์เตอร์จึงจำเป็นที่ต้องมีคุณสมบัติดังนี้

- มีแรงดันขณะนำกระแสต่ำ
- มีช่วงเวลาในการคืนตัว (Reverse Recovery Time:  $t_{rr}$ ) ที่สั้น
- ทนกำลังไฟฟ้าได้สูง

ด้วยเหตุนี้ชิลิกอนไดโอดที่ใช้ในวงจรเรเก็ติไฟร์ทั่วไปจึงไม่สามารถนำมาใช้ กับวงจรคอนเวอร์เตอร์ได้ เนื่องจากมีช่วงเวลาคืนตัวที่มาก กำลังสูญเสียในรูปความร้อนจะเกิดขึ้นสูงและมีประสิทธิภาพที่ต่ำโดยไดโอดที่ใช้ในวงจรคอนเวอร์เตอร์จะเลือกใช้ใน 3 ชนิดดังต่อไปนี้

1. ฟ้าสต์ - รีคัฟเวอร์ไดโอด (Fast Recovery Diode)
2. อุลตร้าฟ้าสต์ - รีคัฟเวอร์ไดโอด (Ultra Fast Recovery Diode)
3. ชอตต์基ไดโอด (Schottky Diode)

ฟ้าสต์ - รีคัฟเวอร์ไดโอดมีช่วงเวลาคืนตัวประมาณ 200 – 750 นาโนวินาที ซึ่งสั้นกว่าชิลิกอนไดโอดมาก มีอัตราหนarenge ตัน/ใบอัลกอล์บได้สูงถึง 1000V ส่วนอุลตร้าฟ้าสต์ - รีคัฟเวอร์ไดโอด มีช่วงเวลาคืนตัวประมาณ 25 – 100 นาโนวินาที มีอัตราหนarenge ตัน/ใบอัลกอล์บได้สูงถึง 1000V แรงดันตกคร่อมขณะที่นำกระแสของไดโอดทั้งสองชนิดมีค่าอยู่ในช่วงเดียวกัน คือประมาณ 0.6 ถึง 1.5 V

### 2.5.6 การเลือกตัวเก็บประจุในวงจรกำลังของวงจรบูสต์ดิซีทูดีซีคอนเวอร์เตอร์แบบขาน

ในวงจรกำลังของวงจรบูสต์ดิซีทูดีซีคอนเวอร์เตอร์แบบขาน ตัวเก็บประจุกำลังมีหน้าที่เก็บพลังงานในรูปของประจุไฟฟ้า และทำการจ่ายแรงดันออกให้กับเอาต์พุตหรือคายประจุไฟฟ้าเมื่อมอสเฟตอยู่ในช่วงเวลา Turn ON และเก็บประจุเมื่อยู่ในช่วงเวลา Turn OFF จะต้องเลือกตัวเก็บประจุที่สามารถแปรแรงดันได้เท่ากับแรงดันทางด้านเอาต์พุตหากเลือกตัวเก็บประจุที่มีขนาดใหญ่จะช่วยในส่วนของการลดแรงดันกระเพื่อมทางด้านเอาต์พุตลดลง

ตัวเก็บประจุในวงจรกำลังหากพิจารณาในโหมดกระแสต่อเนื่องของวงจรบูสต์ดิซีทูดีซีคอนเวอร์เตอร์ค่าของตัวเก็บประจุพิจารณาได้จากสมการที่ (2.82) แรงดันกระเพื่อมทางเอาต์พุต ( $\Delta V_O$ ) และ กระแสเอาต์พุต ( $I_O$ ) ที่ใช้งาน ค่าตัวต้านทานลูปที่ใช้งาน ความถี่ในการสวิตช์ของคอนเวอร์เตอร์ ( $f$ ) ดังสมการจะใช้คำนวณหาค่าตัวเก็บประจุที่จะใช้งาน

$$C = \frac{I_{O(\max)} D_{(\max)}}{f \Delta V_O} \quad (2.82)$$

ค่าความต้านทานสมมูลอนุกรมของตัวเก็บประจุ (Equivalent Series Resistance: ESR) หาได้จาก

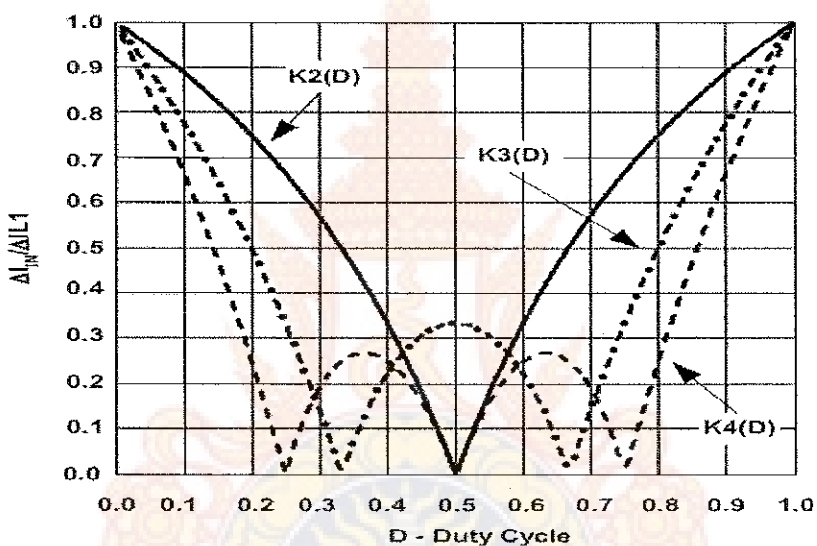
$$ESR = \frac{\Delta V_O}{\left[ \frac{I_{O(\max)}}{1 - D_{(\max)}} + \frac{\Delta I_L}{2} \right]} \quad (2.83)$$

## 2.6 เทคนิคการอินเตอร์ลีฟ (Interleaved Technique)

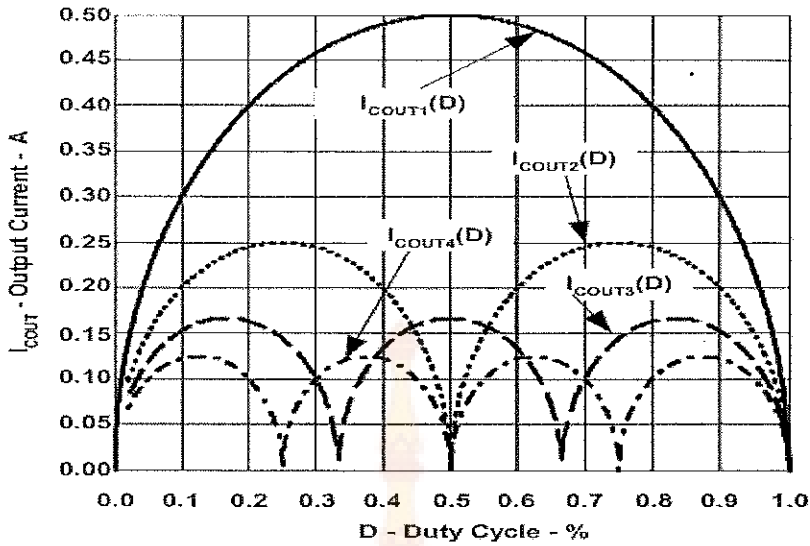
เทคนิคการอินเตอร์ลีฟ [2] สามารถทำได้โดยการนำเอาสัญญาณขับนำสวิตช์ของวงจรบูสต์คอนเวอร์เตอร์หลายๆ วงรماต่อ序 แล้วกำหนดเฟสของสัญญาณขับนำสวิตช์ให้เหลือมเวลาการทำงานกันออกไปเพื่อให้วงจรสลับการทำงานซึ่งกันและกันโดยจะแบ่งมุกการทำงานของสัญญาณขับนำสวิตช์ให้ครบกันพอตีในแต่ละหนึ่งรอบเวลาการทำงาน ( $360/N$ ) ซึ่งจะขึ้นอยู่กับจำนวนวงจร ( $N$ ) ที่นำมาอินเตอร์ลีฟกันและมีความถี่ของการสวิตช์เท่ากัน และหลักการนี้จะทำให้แอมเพลิจูดของกระแสและลอกลดลง และเป็นการเพิ่มประสิทธิผลของความถี่กระแส ค่ารั่ลอกของวงจร โดยไม่ทำให้เกิดความสูญเสียที่สวิตช์หรืออุปกรณ์ การนำวงจรบูสต์คอนเวอร์เตอร์มาขนาดกัน โดยใช้เทคนิคการอินเตอร์ลีฟ เพื่อเพิ่มความสามารถในการจ่ายกำลังไฟฟ้าให้มากขึ้น และลดค่ารั่ลอกของกระแสในชุดลวดหนียวนำทั้งสองทำให้สามารถลดขนาดของตัวเหนี่ยวนำลงได้

ในงานวิจัยนี้นำ wang จรบุสต์คอนเวอร์เตอร์มาขานกัน 4 วงจร ( $N = 4$ ) โดยใช้เทคนิคการอินเตอร์ลีฟ เพื่อให้สามารถจ่ายกระแสสูงสุดได้ 46 A ดังแสดงในรูปที่ 2.23 โดยจัดให้มีเฟสของสัญญาณขับนำสวิตช์ด้วยกันและตัวล่างห่างกัน  $90^\circ$  ซึ่งรุปคลื่นของการสวิตช์กระแสโลกที่ด้วยเห็นี่ยวนำและกระแสโลกด้านเข้าจะลดลงเหลือ 25 % เมื่อทำการต่อวงจรเปลี่ยนแบบบุสต์ขานกันจำนวน 4 วงจร

จากคุณสมบัติของอินเตอร์ลีฟที่กล่าวมาข้างต้นสามารถนำค่ากระแสโลกของแต่ละวงจรมาหักล้างกันได้ (Ripple Cancellation) นั่นคือ ค่ากระแสรวมที่ด้านออกลดลง และขนาดค่ากระแสโลกจากการหักล้างกันของสองวงจรมีความสัมพันธ์กับดิวตี้ไซเคิลดังแสดงในรูปที่ 2.23 พนทว่าค่ากระแสโลกหักล้างอย่างสมบูรณ์เมื่อดิวตี้ไซเคิลเป็น 25 %



รูปที่ 2.23 ขนาดค่ากระแสโลกกับดิวตี้ไซเคิลของ wang จรบุสต์คอนเวอร์เตอร์แบบขาน 4 โมดูล โดยใช้เทคนิคการอินเตอร์ลีฟ



รูปที่ 2.24 กระแสเฉลี่ยที่แหล่งผ่านตัวเก็บประจุกับดิวตี้ไซเคิลของวงจรบูสต์คอนเวอร์เตอร์แบบขานาน 4 โมดูล

## 2.7 ตัวควบคุมแบบพีไอ (PI Controller)

ตัวควบคุมแบบพีไอ [3] เป็นการนำเอาคุณสมบัติของ ตัวควบคุมแบบพีกับตัวควบคุมแบบไอกิมาร่วมกัน ดังนั้นสัญญาณที่ออกจากตัวควบคุมชนิดนี้คือ

$$\text{สัญญาณทางออก} = \text{สัญญาณทางออกแบบพี} + \text{สัญญาณทางออกแบบไอกิม}$$

$$v_{out}(t) = G_p v_m(t) + \frac{1}{T_i} \int_0^t v_m(t) dt \quad (2.84)$$

แปลงมาเป็นช่วงได้

$$v_{out}(s) = G_p v_m(s) + \frac{v_{in}(s)}{T_i s} \quad (2.85)$$

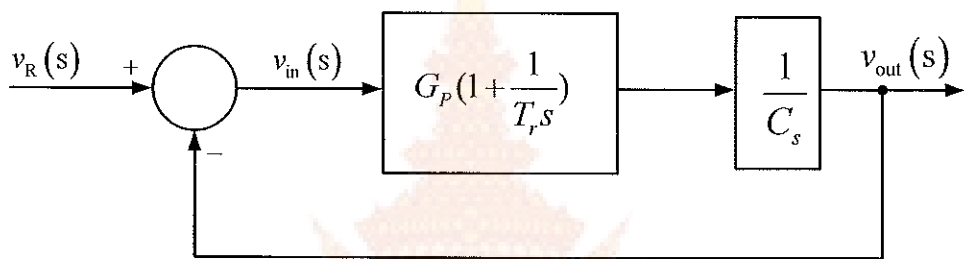
$$v_{out}(s) = G_p v_m(s) + \left(1 + \frac{1}{T_r s}\right) v_{in}(s) \quad (2.86)$$

เมื่อ  $T_r = G_p T_i$  เขียนเป็นพังก์ชันถ่ายโอน ดังสมการที่ (2.87)

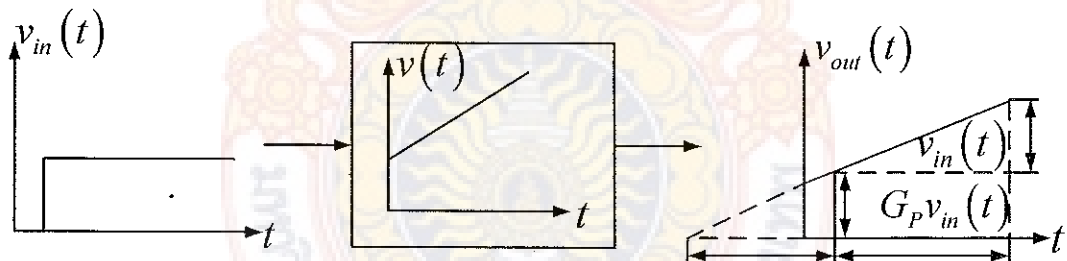
$$F(s) = \frac{v_{out}(s)}{v_{in}(s)} = G_p \left(1 + \frac{1}{T_r s}\right) \quad (2.87)$$

ค่าของ  $G_p$  และ  $T_r$  สามารถเปลี่ยนแปลงค่าได้ การปรับปรุงค่า  $T_r$  จะมีผลต่อการกระทำการควบคุมแบบพี และถ้าปรับค่าความไวของสัดส่วน  $G_p$  จะมีผลต่อการกระทำการควบคุมแบบพี และการกระทำการควบคุมแบบพี ส่วนกลับของ  $T_r$  เรียกว่า “อัตราส่วนการจัดใหม่” อัตราส่วนการจัดใหม่เป็นจำนวนครึ่งด่อนาทีที่การควบคุมแบบสัดส่วนเริ่มต้นใหม่

จากสมการที่ (2.87) สามารถนำมาเขียนเป็นภาพบล็อกได้ดังรูปที่ 2.25 และผลตอบสนองต่อพังก์ชันขั้นบันไดแสดงได้ดังรูปที่ 2.26

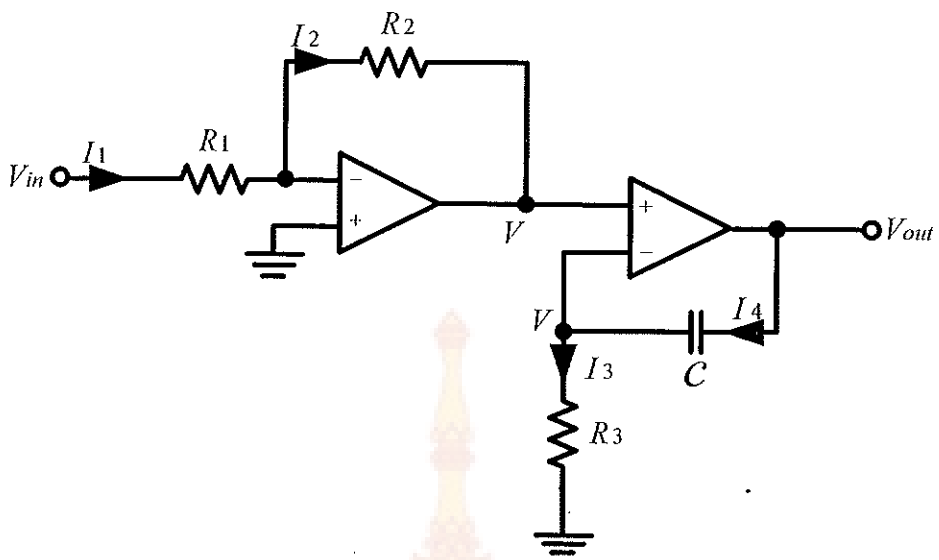


รูปที่ 2.25 บล็อกโลหะแกรมของตัวควบคุมแบบพีไอ



รูปที่ 2.26 ผลตอบสนองต่อพังก์ชันขั้นบันไดของตัวควบคุมแบบพีไอ

จากรูปที่ 2.26 สามารถสร้างเป็นวงจรอปเปอร์เอมปีได้ดังรูปที่ 2.27



รูปที่ 2.27 วงจรอปแอมป์ควบคุมแบบพิโอล

จากวงจรในรูปที่ 2.27 สามารถแปลงลากลากาได้โดย

$$I_1(s) = I_2(s) \quad (2.88)$$

$$\frac{V_{in}(s)}{R_1} = -\frac{V(s)}{R_2} \quad (2.89)$$

$$V(s) = -\frac{R_2}{R_1} V_{in}(s) \quad (2.90)$$

$$I_3(s) = I_4(s) \quad (2.91)$$

$$\frac{V(s)}{R_3} = Cs(V_{out}(s) - V(s)) \quad (2.92)$$

$$V(s) = \frac{R_3 Cs}{(1 + R_3 Cs)} V_{out}(s) \quad (2.93)$$

เมื่อเทียบสมการจะได้สมการ

$$-\frac{R_2}{R_1}V_m(s) = \frac{R_3Cs}{(1+R_3Cs)}V_{out}(s) \quad (2.94)$$

$$F(s) = \frac{V_{out}(s)}{V_m(s)} = -\frac{R_2}{R_1} \left( 1 + \frac{1}{R_3Cs} \right) \quad (2.95)$$

เมื่อ  $G_p = \frac{R_2}{R_1}$  คือ ความไวของสัดส่วนหรืออัตราการขยาย

$T_r = R_3C$  คือ อัตราส่วนจัดใหม่

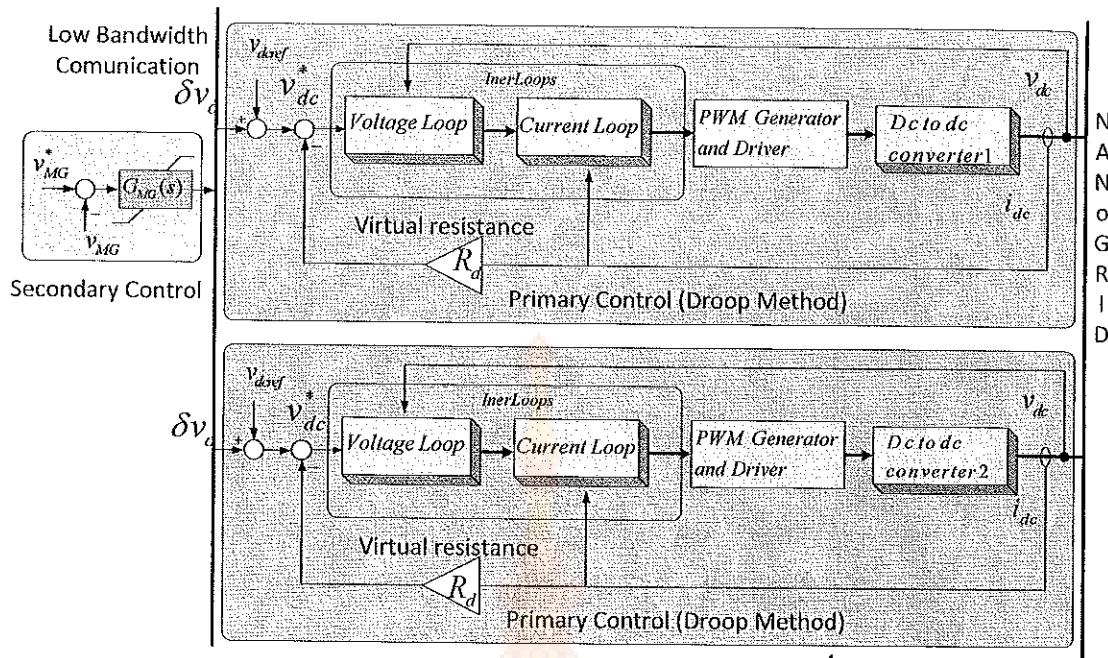
สรุปการควบคุมแบบพิร่วมกับแบบไฮบ์เดอร์นี่คือการนำคุณสมบัติของการควบคุมทั้งสองแบบมารวมกัน นั่นคือการควบคุมมีการตอบสนองที่เร็วและระบบมีความแม่นยำผิดพลาดน้อยที่สุดที่สภาวะคงดัว สามารถปรับค่าเพิ่มและลดอัตราการตอบสนองได้โดยอิสระต่อ กันและปรับค่าตัวควบคุมพิร่วมจาก  $R_2$  และปรับค่าตัวควบคุมไฮบ์เดอร์จาก  $R_3$

## 2.7 เทคนิคการควบคุมแบบดูรูป (Droop Control technique)

ระบบดีซีบีในกริดจะใช้งานแปลงผันไฟฟ้ากระแสตรงเป็นไฟฟ้ากระแสสลับ แปลงผันไฟฟ้ากระแสสลับเป็นไฟฟ้ากระแสตรงสำหรับเชื่อมต่ออุปกรณ์กักเก็บพลังงานและระบบจานวนตามลำดับ ในระบบไมโครกริดทั้งสองแบบจะมีลำดับขั้นการควบคุมในระบบดังในรูปที่ 1 คือ

1. การควบคุมปฐมภูมิ (Primary Control)
2. การควบคุมขั้นที่二ภูมิ (Secondary Control)
3. การควบคุมขั้นที่สาม (Tertiary control)

การขนาดวงจรแปลงผันเพื่อให้สามารถจ่ายกำลังไฟฟ้าได้มากขึ้นและเพิ่มความนำเข้าถือให้กับระบบนั้น วิธีที่เหมาะสมสำหรับไมโครกริดก็คือการควบคุมแบบดูรูปซึ่งมีข้อดีคือง่ายในการสร้างและไม่จำเป็นต้องใช้การสื่อสารระหว่างชุดวงจรแปลงผันเมื่อเปรียบเทียบกับการขนาดแบบอื่น



รูปที่ 2.28 บล็อกไซอะแกรมการควบคุมขั้นต้นด้วยวิธีดรอป

ในการขยายวงจรแปลงผันไฟฟ้ากระแสสลับเป็นไฟฟ้ากระแสตรงจะใช้การแบ่งกระแสตรงด้านเอาต์พุต ( $I_{dc}$ ) ของวงจรแปลงผัน ดังในรูปที่ 2.28 ส่วนค่าตัวต้านทานเสมือน (Virtual resistor;  $R_d$ ) จะคำนวณจากสมการที่ (2.97) จากช่วงแรงดันกระแสตรงที่ยอมรับได้

$$I_{dc(FL)} R_d \leq V_{dc\max} - V_{dc\min} \quad (2.96)$$

$$R_d \leq (V_{dc\max} - V_{dc\min}) / I_{dc(FL)} \quad (2.97)$$

เมื่อ  $u_{dc\max}$  และ  $u_{dc\min}$  คือแรงดันกระแสตรงสูงสุดและต่ำสุด

$I_{dc(FL)}$  คือกระแสโหลดสูงสุดที่ต้องการจ่าย

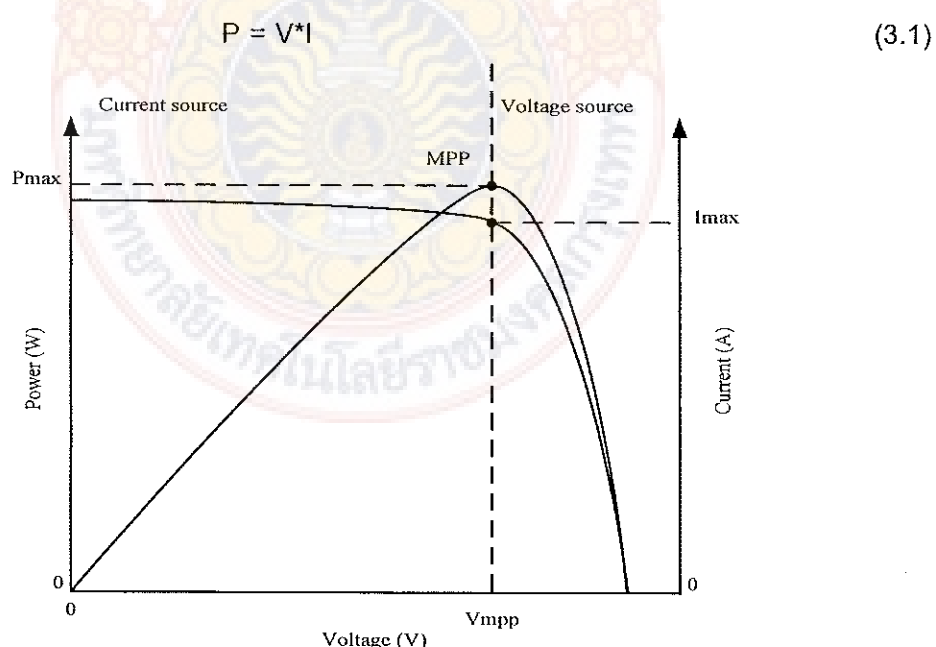
## บทที่ 3

### การออกแบบงานวิจัย

ในบทนี้จะกล่าวถึงการออกแบบงานวิจัย โดยการทำการทดลองเก็บข้อมูลกระแสและแรงดันของแผงเซลล์แสงอาทิตย์จากนั้นจำลองกราฟคุณสมบัติด้วยโปรแกรม Matlab/Simulink เพื่อศึกษาการทำงานเบื้องต้นและเป็นข้อมูลในการโปรแกรมแหล่งจ่ายไฟฟ้ากระแสตรงเพื่อเลียนแบบเซลล์แสงอาทิตย์ วงจรบูสต์คอนเวอร์เตอร์ที่ใช้งานต้องจ่ายกำลังไฟฟ้าได้สูงจำเป็นต้องใช้การขานานจำนวน 4 โมดูลเพื่อให้สามารถจ่ายกำลังไฟฟ้าได้  $1\text{ kW}$

#### 3.1 หลักการออกแบบชุดติดตามจุดกำลังไฟฟ้าสูงสุด

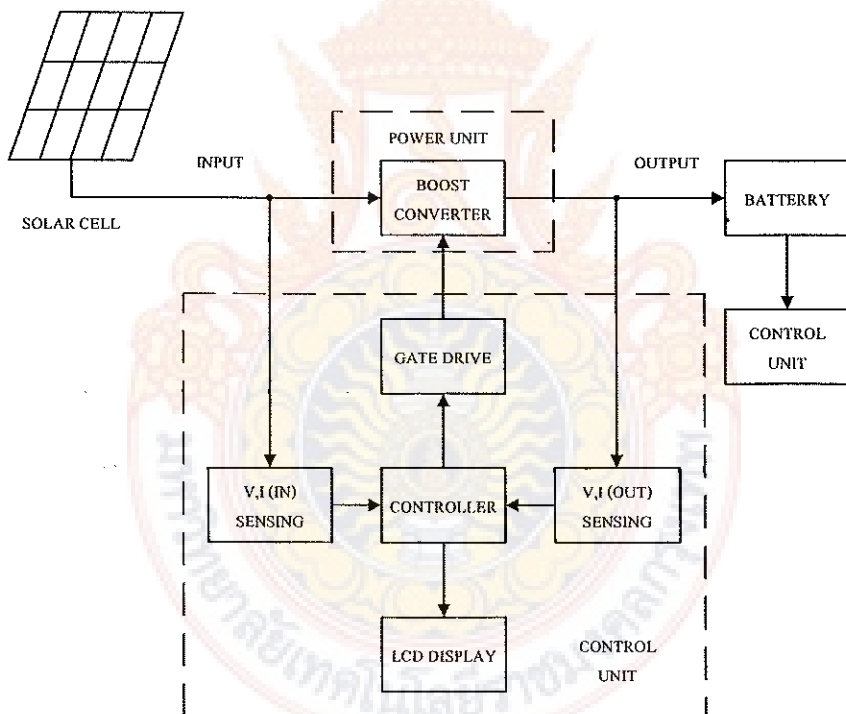
การนำแผงเซลล์แสงอาทิตย์มาใช้งานโดยให้ได้รับกำลังไฟฟ้าสูงสุดเท่าที่ความสามารถของแผงเซลล์แสงอาทิตย์จะจ่ายออกมากได้นั้นต้องมีการกำหนดจุดการทำงานที่จะได้กำลังไฟฟ้ามากที่สุด จากรูปที่ 3.1 แสดงถึงเส้นกราฟการจ่ายแรงดันและการแสลงของแผงเซลล์แสงอาทิตย์ที่มีการรับแสงที่ความเข้มแสงต่างๆ กัน และเมื่อนำโหลดมาต่อ ก็จะสามารถทราบถึงจุดที่โหลดได้รับ กระแสและแรงดันค่าหนึ่งบนเส้นกราฟซึ่งนำมาเขียนเป็นเส้นก็จะได้เส้นขึ้นมาเส้นหนึ่งคือเส้นแรงดันจ่ายโหลดคงที่ (Constant Voltage Load) ซึ่งเมื่อพิจารณาที่จุดนี้ ค่ากำลังไฟฟ้าที่โหลดได้รับจากแผงเซลล์แสงอาทิตย์ไม่ใช่กำลังไฟฟ้าที่มากที่สุดเมื่อคิดจากสมการที่ (3.1)



รูปที่ 3.1 VI Characteristic ของเซลล์แสงอาทิตย์

เมื่อพิจารณาจากการคุณสมบัติของเซลล์แสงอาทิตย์ จะเห็นได้ว่ากำลังไฟฟ้าที่ได้จากการคิดค่าของกระแสและแรงดันที่คงที่ เมื่อยอดจะมีค่าน้อยกว่ากำลังไฟฟ้าที่ได้จากการคิดค่าของกระแสและแรงดันที่จุดจ่ายกำลังไฟฟ้าสูงสุด (Maximum Power Point) เมื่อเป็นเช่นนี้ จึงต้องมีอัลกอริทึมที่ช่วยในการเปลี่ยนจุดการทำงานจากจุดแรงดันจ่ายไฟฟ้าที่มาเป็นจุดจ่ายกำลังไฟฟ้าสูงสุด (Maximum Power Point) อัลกอริทึมนี้ คือ การติดตามกำลังไฟฟ้าสูงสุด (Maximum Power Point Tracking : MPPT) โดยใช้หลักการของการควบคุมแรงดันและกระแสจากแผงเซลล์แสงอาทิตย์ โดยมองอยู่ในรูปของกำลังไฟฟ้าที่จ่ายออกมายังแก็ลลาร์ ซึ่งการควบคุมนั้นใช้หลักการของการปรับดิจิต์ไซเคิลให้กับสวิตซ์ของวงจรบูสต์คอนเวอร์เตอร์ (Boost Converter) ที่ส่งออกมายังภาคควบคุมอิเล็กทรอนิกส์ เพื่อให้ได้จุดทำงานที่ได้ค่ากำลังไฟฟ้าสูงสุด

### 3.2 ส่วนประกอบหลักของโครงการวิจัย



รูปที่ 3.2 บล็อกไดอะแกรมของอัลกอริทึมติดตามกำลังไฟฟ้าสูงสุดและส่วนแสดงผล

จากหลักการทำงานของชุดติดตามกำลังไฟฟ้าสูงสุด(MPPT) ที่ต้องการให้ได้ค่ากำลังไฟฟ้าที่จ่ายออกมายากเซลล์แสงอาทิตย์มีค่ามากที่สุด ดังนั้นถ้าสามารถทำว่างจรที่มีการวัดค่ากำลังไฟฟ้าที่เซลล์แสงอาทิตย์จ่ายออกมานั้นแล้วมีการเก็บข้อมูลไว้เปรียบเทียบกับข้อมูลอ้างอิง

ก่อนหน้านี้ได้แล้ว ก็จะสามารถประยุกต์ทำเป็นชุดติดตามกำลังไฟฟ้าสูงสุดได้และส่วนประกอบหลักของการทำงานโดยรวมของชุดติดตามกำลังไฟฟ้าสูงสุดแสงได้ดังเบื้องต้นในหัวข้อที่ 3.2

- แผงเซลล์แสงอาทิตย์ จำนวน 1 แผง ขนาดกำลังไฟฟ้าสูงสุดแสงได้ 30 วัตต์ ที่  $1000 \text{ W/m}^2$   $25^\circ\text{C}$  ชนิดที่เป็นสารอะมอร์ฟสิลิโคน (Amorphous Silicon) ของบริษัท ลีโอนิก อิเล็กทรอนิกส์ วัดแรงดันได้สูงสุด 31.0 โวลท์ และวัดค่ากระแสสูงสุดได้ 0.96 แอมป์

- ส่วนตรวจสอบแรงดันและกระแส (V,I Sensor) ตรวจจับค่าแรงดันและกระแสทั้งด้านอินพุตและเอาต์พุต สำหรับส่งไปประมวลผลในส่วนของคอนโทรลเลอร์ และนำไปแสดงผล

- ส่วนคอนโทรลเลอร์ ใช้ในการประมวลผล โดยใช้ไมโครคอนโทรลเลอร์รุ่น PIC18F458 ทำการประมวลผลส่งสัญญาณควบคุมไปยังวงจรบุสคอนเวอร์เตอร์ ให้ทำงาน ณ จุดที่ให้ค่ากำลังไฟฟ้าสูงสุด ที่ค่าความเข้มแสงและอุณหภูมินั้นๆ ขณะทำงาน โดยในส่วนคอนโทรลเลอร์ จะมีการรับค่าแรงดันจากส่วนตรวจสอบแรงดันและกระแสเข้าที่ขาสัญญาณวัดและนาลอกเป็นดิจิตอล (A/D Converter) ของตัวไมโครคอนโทรลเลอร์ และนำค่าที่แปลงเป็นดิจิตอล แล้วไปประมวลผล ออกแบบขอแสดงผล และนำค่าที่ได้มาเบรยนเทียบเพื่อควบคุมสัญญาณพัลส์ ที่สร้างจากตัวไมโครคอนโทรลเลอร์ สามารถปรับดิวตี้ไซเคิลได้ เพื่อนำไปขับสวิตซ์ของวงจรบุสคอนเวอร์เตอร์ โดยในส่วนคอนโทรลเลอร์จะรวมถึงตัวแยกกราวด์ ทำหน้าที่แยกกราวด์ของระบบระหว่างภาคควบคุมกับภาคกำลัง

- ส่วนชุดบุสต์คอนเวอร์เตอร์จะรับสัญญาณพัลส์ ที่สามารถปรับดิวตี้ไซเคิล ได้จากชุดคอนโทรลเลอร์ เพื่อนำไปควบคุมการเปิด-ปิด ของสวิตซ์ของวงจรบุสคอนเวอร์เตอร์ เพื่อให้ได้ค่ากำลังไฟฟ้าสูงสุดตามที่ต้องการ

- ส่วนแบตเตอรี่ ออกแบบใช้แบตเตอรี่แห้ง ขนาด 7.5 แอมป์-ชั่วโมง 12 โวลท์ จำนวน 2 ลูกต่ออนุกรมกัน 24 โวลท์ ใช้เป็นแหล่งจ่ายให้กับวงจรควบคุม

- ส่วนแสดงผล จะแสดงค่าแรงดันและกระแสทั้งด้านอินพุตและเอาต์พุตมาแสดงผลค่ากำลังไฟฟ้าสูงสุดจากเซลล์แสงอาทิตย์และกำลังไฟฟ้าที่จ่ายโหลด เบรยนเทียบทาประสิทธิภาพของระบบ

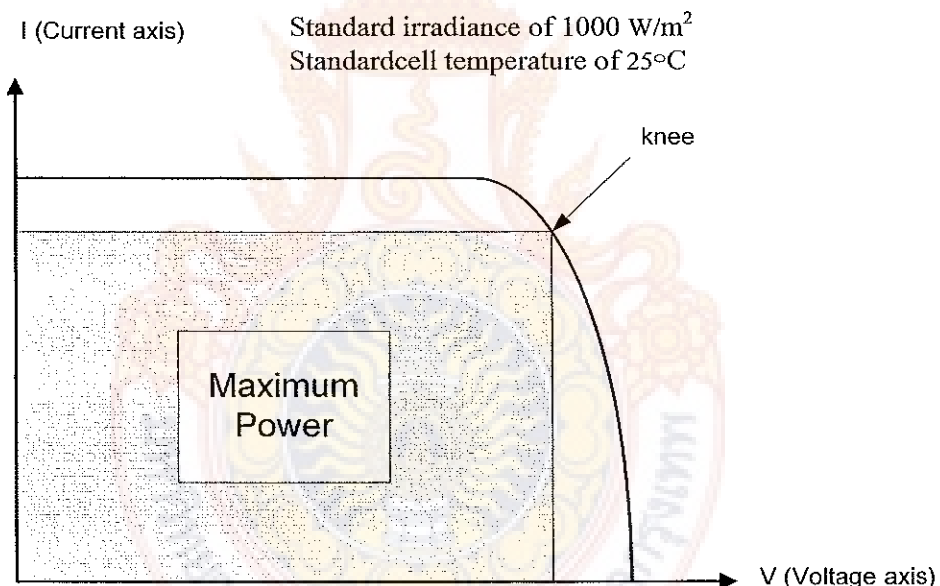
### 3.3 คุณสมบัติแผงเซลล์แสงอาทิตย์ที่ใช้ในงานวิจัย

เป็นแผงเซลล์แสงอาทิตย์ Solarmax รุ่น LEC-3024 จำนวน 2 แผง มีคุณสมบัติเฉพาะต่อไปนี้

Maximum Power ( $P_{max}$ )	30	Watt
Voltage At Maximum Power ( $V_{pm}$ )	31.0	Volt
Current At Maximum Power ( $I_{pm}$ )	0.96	Amp
Open Circuit Voltage ( $V_{oc}$ )	42.9	Volt.
Short Circuit Current ( $I_{sc}$ )	1.17	Amp
Weight	5.5	kg.

เซลล์เป็นชนิดอะมอร์ฟซิลิโคน (Triple Junction Amorphous Silicon Solar Cell)

หมายเหตุ Open Circuit Voltage และ Short Circuit Current ทดสอบที่ความเข้มแสงอาทิตย์  $1000 \text{ W/m}^2$  อุณหภูมิที่เซลล์ (Cell Temp)  $25^\circ\text{C}$

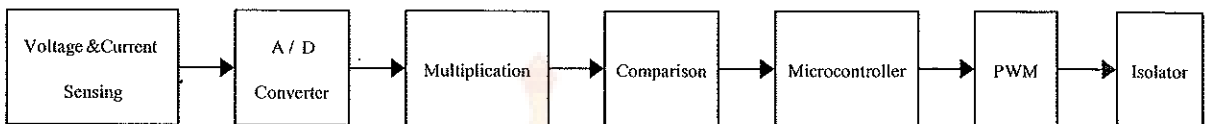


รูปที่ 3.3 กราฟ VI Curve แสดงค่ากำลังไฟฟ้าของเซลล์แสงอาทิตย์

### 3.4 อัลกอริทึมติดตามกำลังไฟฟ้าสูงสุด

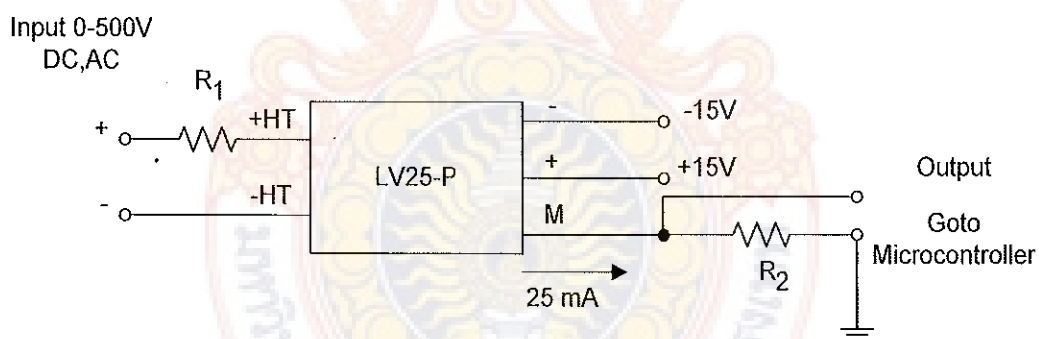
#### 3.4.1 การทำงานของภาคควบคุม

เป็นส่วนที่ทำหน้าที่ควบคุมการเปิด-ปิด สวิตช์ของมอสเฟตกำลัง โดยแสดงส่วนต่างๆ ของวงจรตามจุดกำลังไฟฟ้าสูงสุดภาคควบคุม ได้แสดงดังบล็อกໄ/doeagramดังรูปที่ 3.4



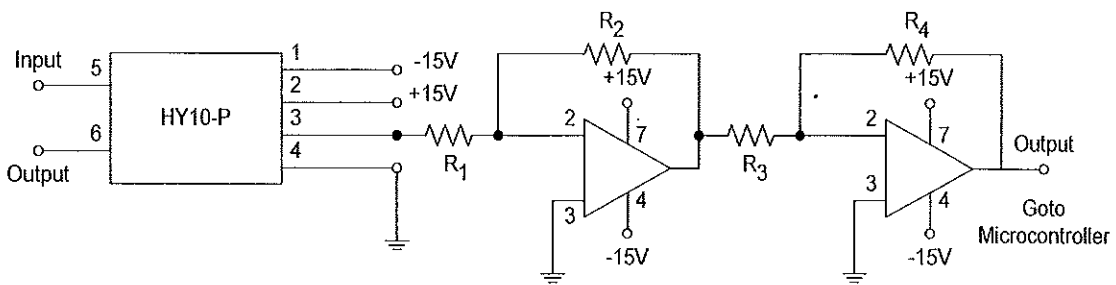
รูปที่ 3.4 บล็อกໄ/doeagramของภาคควบคุม

1. ชุดตรวจจับแรงดันจะใช้ Voltage Transducers (LEM) รุ่น LV25-P สามารถวัดแรงดันได้ตั้งแต่ 0-500 V มีอัตราส่วนการแปลงค่า 100V/10mA ดังนั้นด้านอินพุตจะใส่  $R_1$  เท่ากับ  $10 k\Omega$  และเอาท์พุตจะมีค่าเท่าไหร่นั้นขึ้นอยู่การใส่ค่าความด้านทาน  $R_2$  โดยในโครงการนี้ต้องการวัดค่าแรงดันสูงสุดที่ 5 V จึงต้องให้  $R_2$  มีค่าเท่ากับ 100 โอห์ม ถ้าอุปกรณ์ตรวจจับรับแรงดันพิกัด 100V จะได้สัญญาณก่อนเข้าพอร์ตแอนาลอกมีค่าสูงสุด เป็น 2.5 V



รูปที่ 3.5 อุปกรณ์และวงจรวัดแรงดัน

2. ชุดตรวจจับกระแสจะใช้ Current-Voltage Transducers (LEM) รุ่น HY10-P ที่มีอัตราการแปลง 10A/4V ซึ่งในรูปที่ 3.5 จะตรวจจับกระแสก่อนส่งค่าไปที่ PIC หลักการของอุปกรณ์ตรวจจับกระแสก่อนจะแปลงค่ากระแสให้เป็นแรงดัน โดยแรงดันที่ออกมากจาก HY10-P ที่ขา 3 นั้นจะมีค่าสูงสุดที่ 4V ดังนั้นจึงต้องทำการลดระดับแรงดันโดยใช้วงจรกลับเฟส ซึ่งจะใช้ออปเอมป์เบอร์ LF351 เพื่อให้มีค่าอยู่ระหว่าง 0-4 V ถ้าอุปกรณ์ตรวจจับกระแสพิกัด 5 A จะได้สัญญาณก่อนเข้าพอร์ตแอนาลอกมีค่าสูงสุด 2.6V ดังรูปที่ 3.6



รูปที่ 3.6 อุปกรณ์และวงจรวัดกระแส

3. ชุดแปลงสัญญาณอนาลอกเป็นดิจิตอลหรือ ADC เพื่อให้สามารถนำค่าแรงดันและกระแสที่ได้จากชุดตรวจจับไปใช้ในการคำนวณในส่วนคอนโทรลเลอร์ PIC 18F458 โดยใช้มอดูลจาก PIC 18F452 แปลงสัญญาณอนาลอกเป็นดิจิตอล จะมีขนาด 10 บิต 8 ช่อง ที่ขาพอร์ต RA0/AN0, RA1/AN1, RA2/AN2, RA3/AN3, RA4/AN4, RE5/AN5, RE6/AN6, RE7/AN7 โดยงานวิจัยนี้จะใช้ 4 ช่องเท่านั้น โดย RA0/AN0 จะกำหนดรับสัญญาณแรงดันอินพุต RA1/AN1 จะกำหนดรับสัญญาณกระแสอินพุตที่เปลี่ยนเป็นรูปแรงดัน RA2/AN2 จะกำหนดรับสัญญาณแรงดันเอาต์พุต RA3/AN3 จะกำหนดรับสัญญาณกระแสเอาต์พุตที่เปลี่ยนเป็นรูปแรงดัน โดยการแปลงสัญญาณอนาลอกเป็นดิจิตอลจะเป็นแบบประมาณค่า (Successive Approximation) ซึ่งจะอยู่ในส่วนของการเขียนโปรแกรมในไมโครคอนโทรลเลอร์ PIC18F458

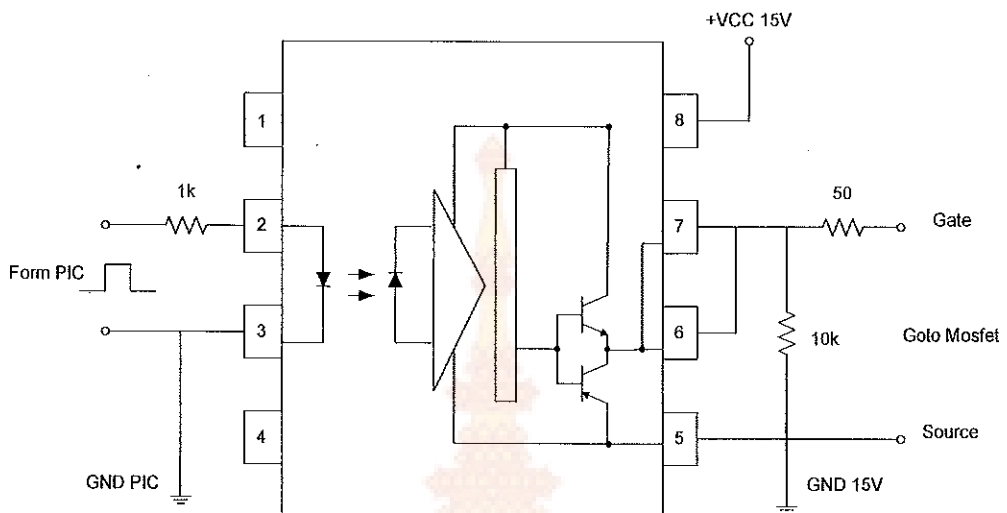
4. Multiplication เป็นส่วนที่ทำหน้าที่คูณแรงดันและกระแสที่อยู่ในรูปของสัญญาณดิจิตอลแล้ว เพื่อให้เป็นค่ากำลัง โดยส่วนของการคำนวณนี้จะอยู่ในส่วนของการเขียนโปรแกรมในไมโครคอนโทรลเลอร์ PIC 18F458

5. Comparison เป็นส่วนที่ทำหน้าที่เปรียบเทียบค่ากำลังไฟฟ้าที่ได้จากการคูณกันของแรงดันและกระแส ณ จุดทำงานต่างๆ ที่ได้จากการเลื่อนจุดการทำงาน เพื่อให้ได้ค่าจุดทำงานที่ให้ค่ากำลังไฟฟ้าสูงสุด ณ ความเข้มแสงและอุณหภูมินั้นๆ โดยส่วนของการเปรียบเทียบนี้จะอยู่ในส่วนของการเขียนโปรแกรมในไมโครคอนโทรลเลอร์ PIC18F458

6. ไมโครคอนโทรลเลอร์เป็นส่วนที่ทำหน้าที่เก็บค่ากำลังไฟฟ้าที่ได้จากการคูณกันของแรงดันและกระแสไว้เพื่อทำการเปรียบเทียบกับค่ากำลังไฟฟ้าที่จุดต่างๆ ซึ่งจะใช้หน่วยความจำภายในของไมโครคอนโทรลเลอร์ทำหน้าที่เก็บไว้เพื่อทำการเปรียบเทียบ ซึ่งเบอร์ที่จะใช้ในงานวิจัยนี้จะเป็นเบอร์ 18F458

7. สัญญาณพัลล์ (Pulse Width Modulation : PWM) โดยใช้ใหมดรั่งสัญญาณพัลล์ จากตัวไมโครคอนโทรลเลอร์ PIC18F458 ทำหน้าที่สร้างสัญญาณพัลล์ ณ ค่าดิจิต์ไซเคิลที่ต้องการ และนำไปขับมอเตอร์ฟาร์ก้าลังให้ทำงาน ณ จุดที่ให้ค่ากำลังไฟฟ้าสูงสุด

8. ชุดแยกกราวด์ (Isolator) ทำหน้าที่แยกกราวด์ระหว่างภาคควบคุมกับภาคกำลังออกจากกัน โดยออกแบบใช้ไอซีแยกสัญญาณเบอร์ TLP250 ดังรูปที่ 3.7



รูปที่ 3.7 วงจรแยกไดดทางแสงสำหรับขับเกต

### 3.5 ขั้นตอนการเขียนโปรแกรม

- ทำการเขียนโปรแกรมเป็นภาษาซี บนโปรแกรม MPLAB ด้วยคอมพิวเตอร์ บันทึกเป็นโปรแกรมไฟล์ PROJECT.C เช่น MPPT.C
- ทำการคอมไพล์โปรแกรมจากภาษาซีเป็นฐานสิบหก (.HEX) ด้วยโปรแกรม CCS Compiler
- เมื่อทำการคอมไпал์แล้ว ถ้าโปรแกรมไฟล์ที่เขียนขึ้นมีข้อผิดพลาดเกี่ยวกับโครงสร้างของภาษาคำสั่งโปรแกรม MPLAB จะแจ้งให้ทราบว่าผิดพลาดที่บรรทัดที่เท่าไหร่บ้าง บนหน้าต่าง Output ของโปรแกรม MPLAB และทำการแก้ไขบรรทัดที่ผิดพลาด จนกว่าจะทำการคอมไпал์ใหม่อีกครั้ง
- ในกรณีโปรแกรมที่คอมไпал์แล้วไม่เกิดข้อผิดพลาด ก็ทำการดาวน์โหลดไฟล์ MPPT.HEX ลงสู่เครื่องโปรแกรมในโครงตนโทรลเลอร์ตระกูล PIC โดยผ่านทางโปรแกรม Pickit 2 โดยส่องทางพอร์ต USB ที่เชื่อมต่อระหว่างคอมพิวเตอร์กับบอร์ด ET-PGMPIC USB V2.0 ด้วยสายUSB CONNECTOR และเชื่อมสายสัญญาณของพอร์ต TAGET ไปยัง Adaptor Module เลือกเบอร์ PIC ให้ตรงกับเบอร์ที่ใช้และทำการ Import HEX ไฟล์ .HEXเข้ามาในโปรแกรมและทำการกดปุ่ม Write รอจนกว่าเครื่องโปรแกรมจะทำการโปรแกรมเสร็จ เป็นอันเสร็จสิ้นขั้นตอนการโปรแกรม

### 3.6 การประมวลผลของส่วนโปรแกรมควบคุม

การประมวลผลของส่วนโปรแกรมควบคุมของชุดติดตามกำลังไฟฟ้าสูงสุด มีขั้นตอนการทำงานดังนี้ คือ

- เริ่มจากไมโครคอนโทรลเลอร์จะทำการรับค่าแรงดันและกระแสที่ส่งมาจากชุดตรวจจับกระแสและแรงดัน โดยทำการแปลงค่าจากสัญญาณอนาลอกเป็นดิจิตอล(ADC Converter) โดยใช้โมดูลจากตัวไมโครคอนโทรลเลอร์ PIC18F458 ด้วยการเขียนโปรแกรมควบคุมจากไมโครคอนโทรลเลอร์

- นำค่ากระแสและแรงดันที่แปลงค่าแล้วนี้ไปคำนวณหาค่ากำลังงานที่แบ่งเซลล์แสงอาทิตย์จ่ายออกมานำค่ากำลังไฟฟ้า ณ ขณะนี้เก็บไว้เป็นค่าอ้างอิง ขณะเดียวกันทำการบัญชีการทำงานของระบบไปเล็กน้อยโดยการปรับตัวต์ไซเคิล ด้วยการเขียนโปรแกรมจากไมโครคอนโทรลเลอร์ และทำการสร้างสัญญาณพัลส์จากตัวไมโครคอนโทรลเลอร์ PIC18F458 นำไปบันทึกสำหรับคำนวณ

- ทำการตรวจสอบค่ากำลังไฟฟ้าใหม่เข้ามาเปรียบเทียบค่ากำลังไฟฟ้า ณ จุดอ้างอิง

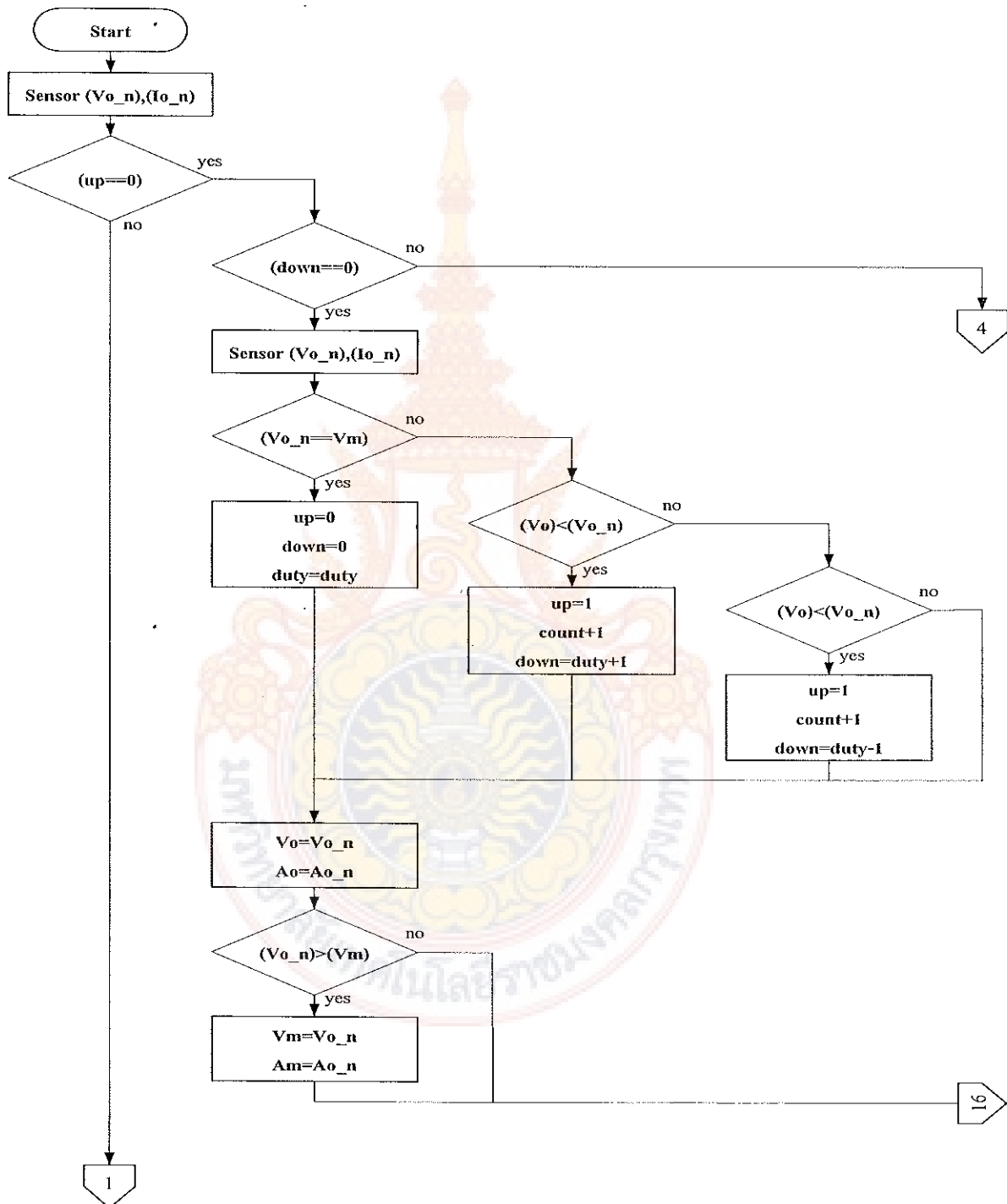
- หากกำลังไฟฟ้าใหม่ที่เข้ามานี้มีค่ามากกว่ากำลังไฟฟ้า ณ จุดอ้างอิง ก็ทำการบัญชีจุดการทำงานไปในทิศทางเดิมเล็กน้อย และทำการเก็บค่ากำลังไฟฟ้าใหม่นี้ไว้เป็นกำลังไฟฟ้า ณ จุดอ้างอิงแทน แล้วทำการเปรียบเทียบจุดการทำงานใหม่ต่อไปเรื่อยๆ

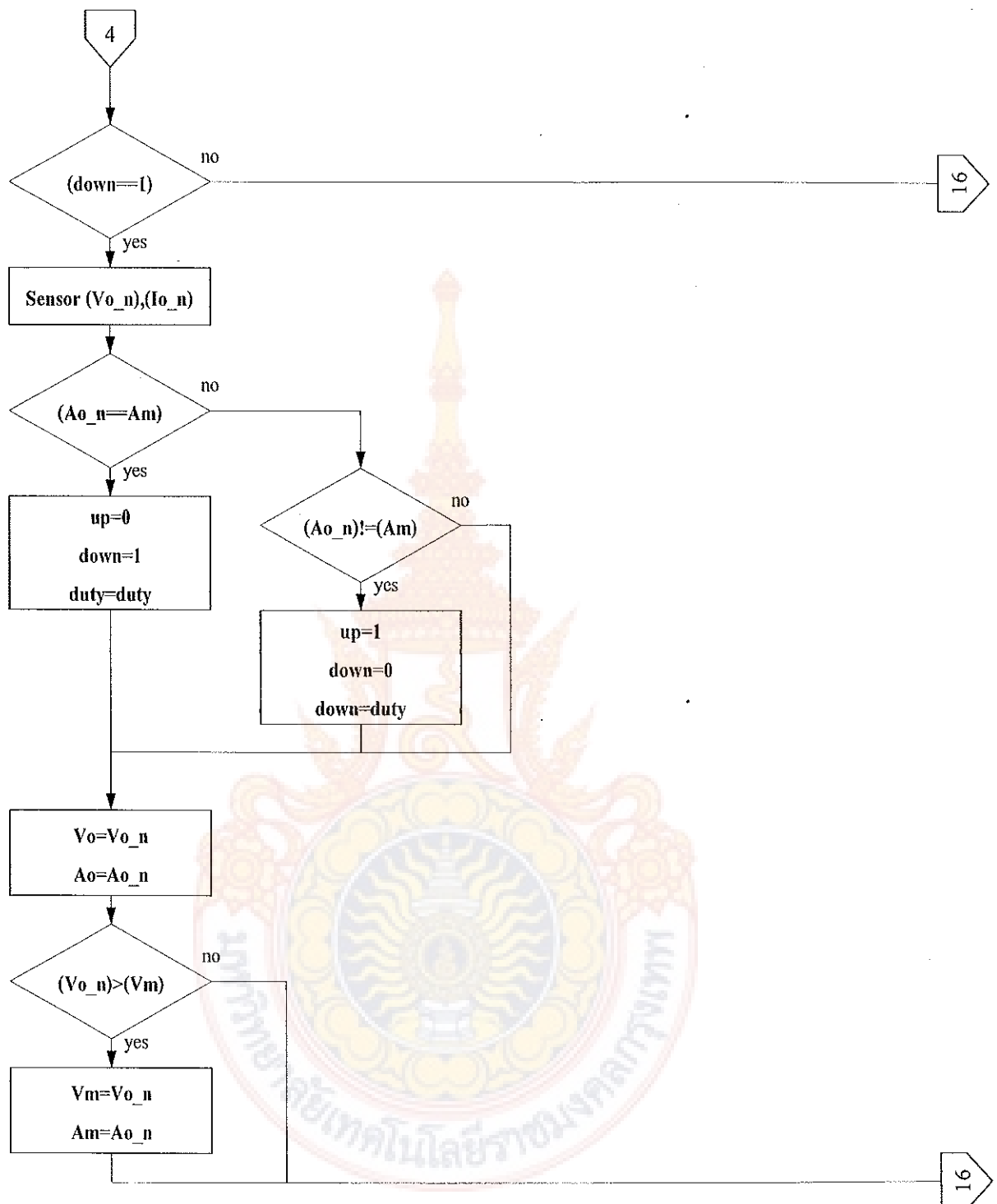
- หากกำลังไฟฟ้าใหม่ที่เข้ามานี้มีค่าเล็กน้อยกว่ากำลังไฟฟ้า ณ จุดอ้างอิง ก็ทำการบัญชีจุดการทำงานไปในทิศทางตรงกันข้ามกับทิศทางเดิมเล็กน้อย จนกว่าค่ากำลังไฟฟ้าที่นำมาเปรียบเทียบจะมีค่ามากกว่ากำลังไฟฟ้า ณ จุดอ้างอิง

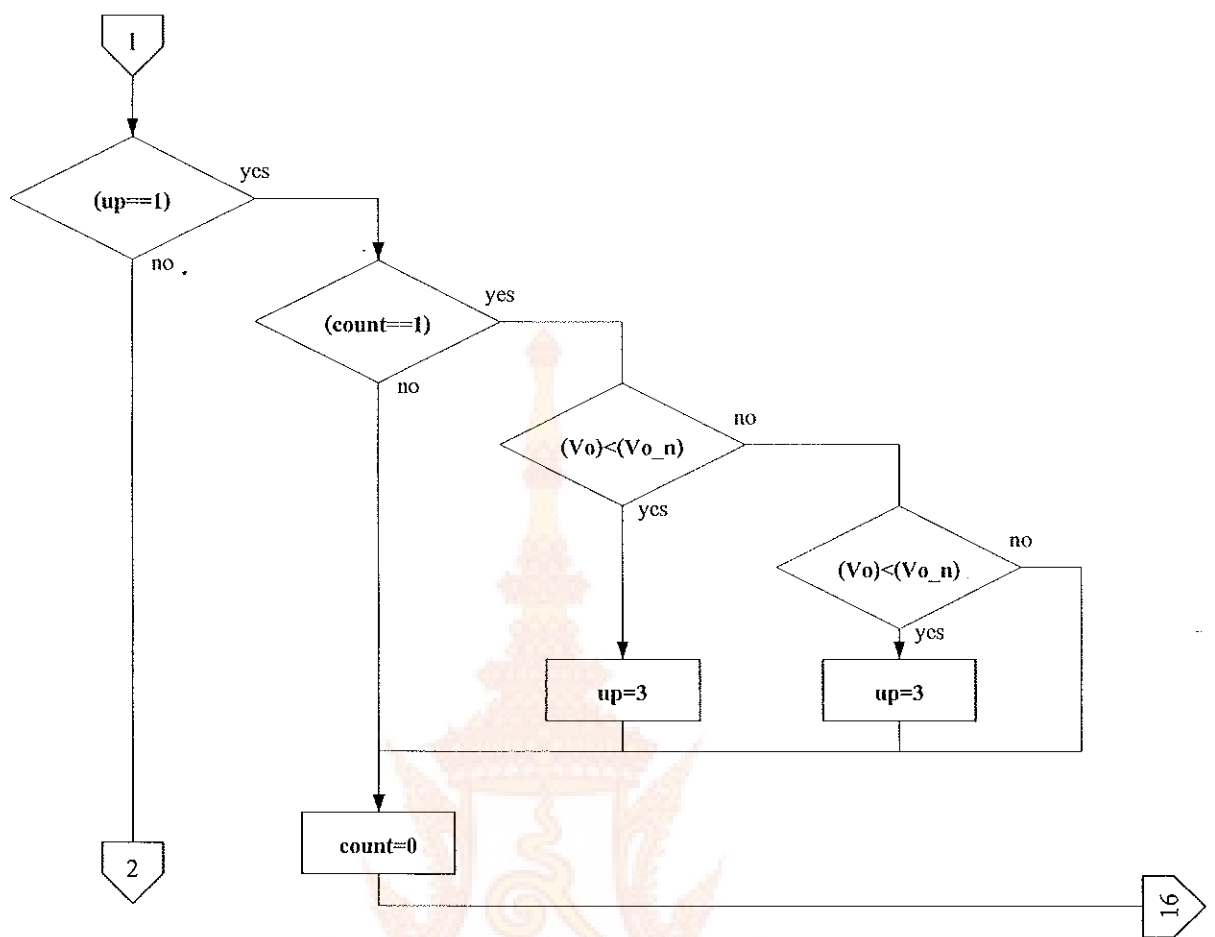
โปรแกรมจะทำงานวนรอบอย่างนี้ไปเรื่อยๆเพื่อที่จะให้ได้ค่า ณ กำลังไฟฟ้าสูงสุดอยู่ตลอดเวลา แม้ว่าความเข้มแสงและอุณหภูมิขณะทำงานจะเปลี่ยนแปลงไปอย่างไรก็ตาม

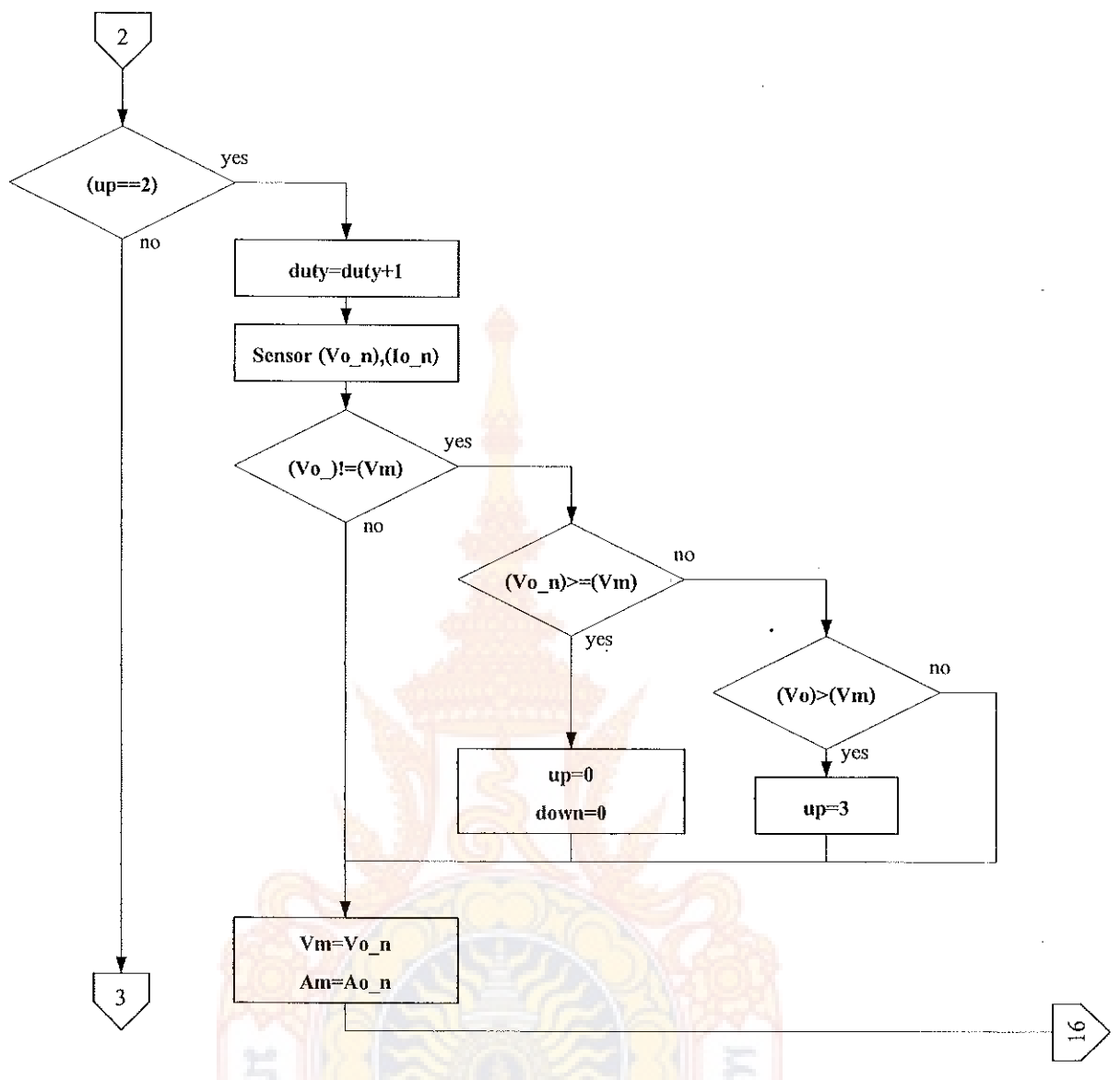
โดยหลักการทั้งหมดที่กล่าวมาข้างต้น สามารถนำมาเขียนเป็นโปรแกรมภาษา C ได้ดังรูปที่ 3.8 แสดงการทำงานของโปรแกรมควบคุมของชุดติดตามกำลังไฟฟ้าสูงสุด

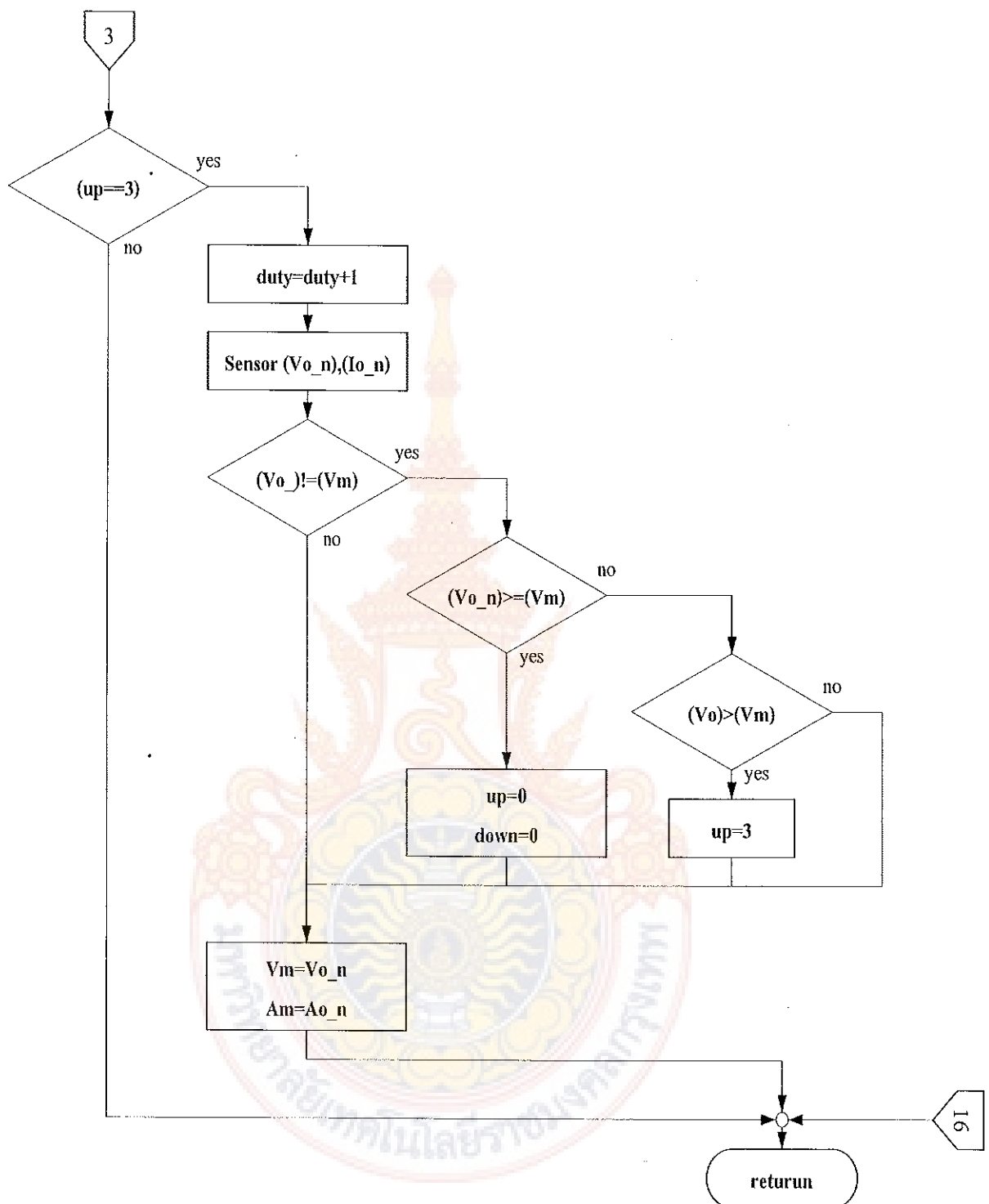
ขั้นตอนการทำงานของโปรแกรมทฤษฎีความนำส่วนเพิ่ม (Incremental Conductance Method -IncCond)





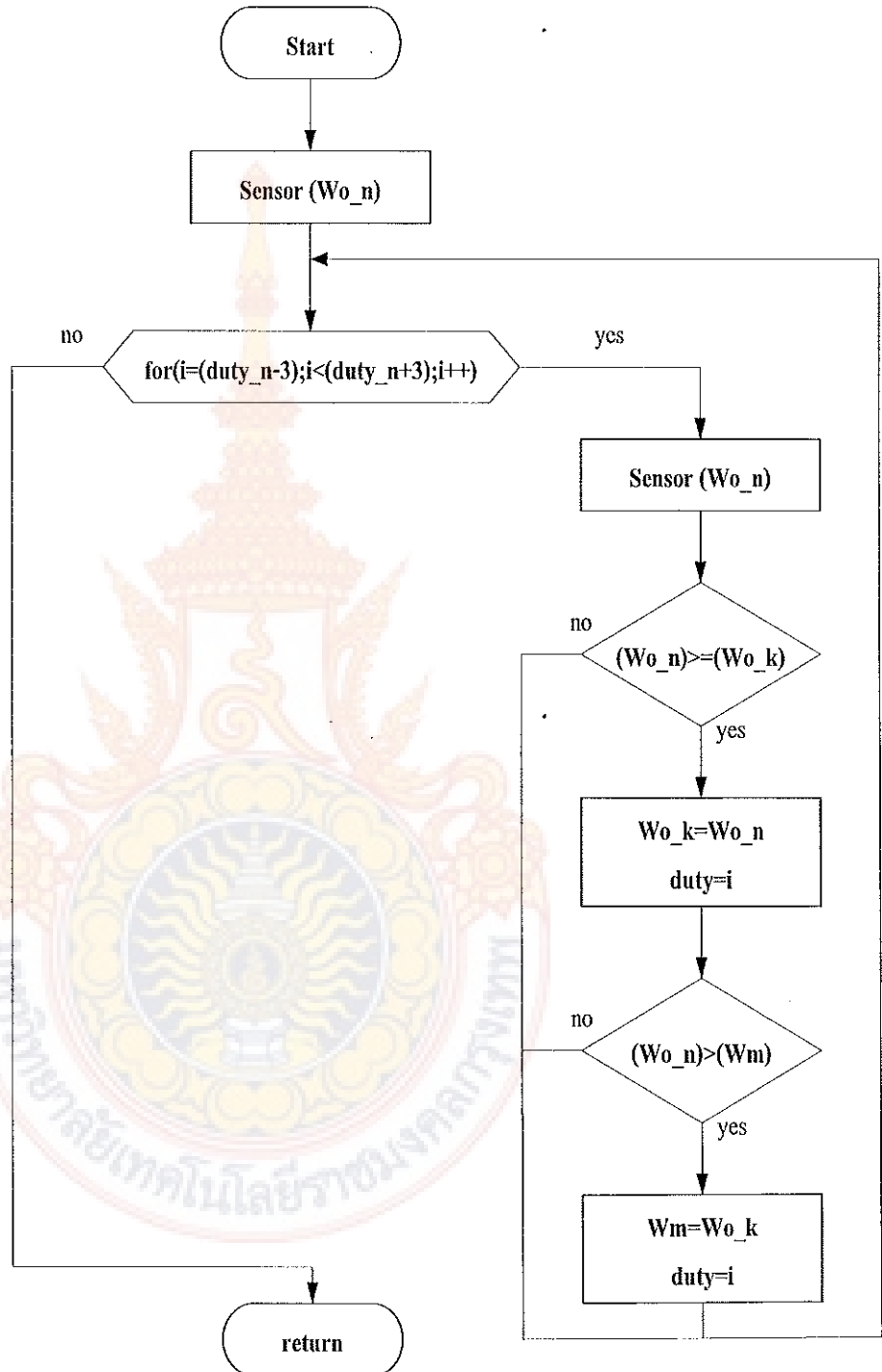






รูปที่ 3.8 (ก) ขั้นตอนการทำงานของโปรแกรม

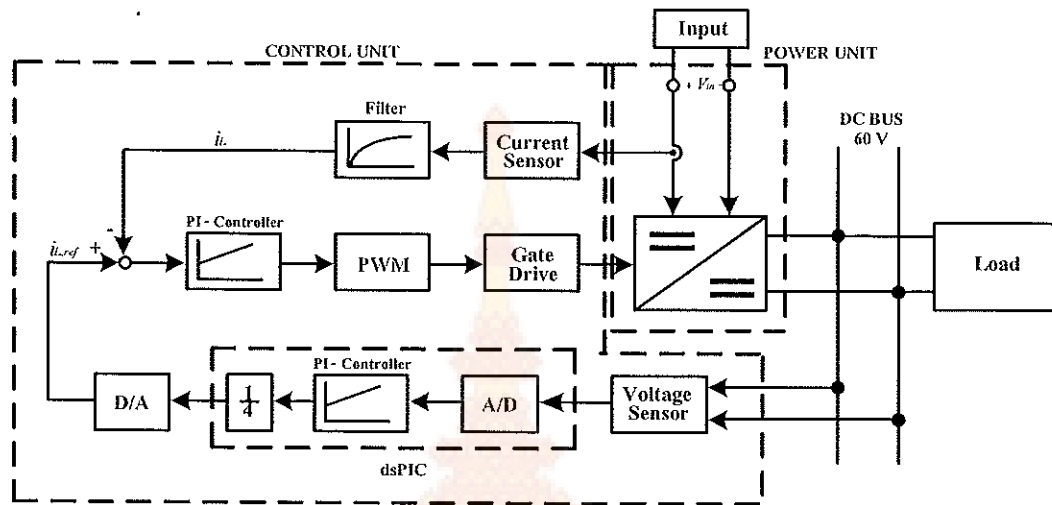
ขั้นตอนการทำงานของโปรแกรมทฤษฎีการควบคุมและการสังเกตการณ์ (Perturbation and Observation Method -P&O)



รูปที่ 3.8 (ว) ขั้นตอนการทำงานของโปรแกรม

### 3.7 การขานวงจรแปลงผันด้วยเทคนิคอินเตอร์ลีฟ

การขานวงจรบุสต์ดีซีที่ชื่อกอนเวอร์เตอร์แบบบานาน 4 โมดูลด้วยเทคนิคการแบ่งกระแสสามารถเขียนเป็นบล็อกได้ดังนี้



รูปที่ 3.9 บล็อกไดอะแกรมของบุสต์ดีซีที่ชื่อกอนเวอร์เตอร์แบบบานาน 4 โมดูล

จากบล็อกไดอะแกรมในรูปที่ 3.9 สามารถอธิบายการทำงานของวงจรบุสต์ดีซีที่ชื่อกอนเวอร์เตอร์แบบบานาน 4 โมดูลได้ดังนี้

3.7.1 อินพุตได้จากแหล่งจ่ายไฟฟ้ากระแสตรงแบบโปรแกรมได้ ทำหน้าที่จ่ายพลังงานไฟฟ้าไปยังวงจรบุสต์ดีซีที่ชื่อกอนเวอร์เตอร์แบบบานาน 4 โมดูล

3.7.2 วงจรแปลงผันทำหน้าที่เป็นส่วนของภาควงจรกำลัง ซึ่งทำหน้าที่ในการส่งจ่ายพลังงานไปยังระบบคอนเวอร์เตอร์ที่มีการขานกันของคอนเวอร์เตอร์ 4 โมดูลโดยอาศัยหลักการทำงานของวงจรบุสต์คอนเวอร์เตอร์

3.7.3 ส่วนวงจรควบคุม ทำหน้าที่เป็นส่วนวงจรควบคุมโดยในงานวิจัยนี้ได้มีการควบคุมในโหมดของการແສโดยจะนำสัญญาณจากอุปกรณ์ตรวจจับกระแสที่แหล่งผ่านนัดตรวจนัดตัวเห็นยานำ ป้อนกลับมาทำการเปลี่ยนเทียบกับกระแสอ้างอิงของระบบเพื่อที่จะนำสัญญาณที่ได้ไปควบคุมการทำงานของระบบคอนเวอร์เตอร์ที่มีการขานกันจำนวน 4 โมดูล ซึ่งประกอบไปด้วยส่วนต่างๆดังต่อไปนี้

3.7.3.1 อุปกรณ์ตรวจจับกระแสทำหน้าที่ตรวจจับกระแสที่แหล่งผ่านนัดตรวจนัดตัวเห็นยานำ

3.7.3.2 วงจรกรองความถี่ต่ำผ่านทำหน้าที่เพื่อที่จะกรองสัญญาณรบกวนจากชาร์มอนิกส์อันเนื่องมาจากการสวิตซ์ที่มีความถี่สูงของวงจรกำลังเป็นวิธีลดการผิดพลาดในการคำนวณ

3.7.3.3 ตัวควบคุมแบบพื้นที่ทำหน้าที่เป็นตัวควบคุมในลูปของกระแสในแต่ละลูปซึ่งมี 4 ตัว

3.7.3.4 PWM ทำหน้าที่ควบคุมการสวิตซ์ที่มอเตอร์ให้มีการสวิตซ์ที่มุ่งด่างเฟสกัน 90 องศา

3.7.3.5 วงจรขับเกตทำหน้าที่ขับสวิตซ์มอเตอร์ให้มีการแยกวงจรควบคุมกับวงจรกำลังในแต่ละวงจรซึ่งมีวงจรขับเกตจำนวน 4 วงจร

3.7.3.6 วงจรตรวจจับแรงดันทำหน้าที่ตรวจจับแรงดันทางด้านเอกสารที่พุตเพื่อที่จะนำเอาสัญญาณแรงดัน ส่งเข้าไปเป็นสัญญาณอินพุตของพอร์ต A/D ของไมโครคอนโทรลเลอร์

3.7.3.7 dsPIC ทำหน้าที่แปลงสัญญาณแอนalog เป็นดิจิตอล และทำการประมวลผลข้อมูลสัญญาณแบบดิจิตอล เพื่อควบคุมให้แรงดันทางด้านเอกสารพุตคงที่

3.7.3.8 D/A ทำหน้าที่แปลงสัญญาณดิจิตอลเป็นแอนalog

### 3.8 การออกแบบวงจรกำลังแบบขนาด 4 โมดูล

วงจรกำลังบูสต์ดีซีทูดีซีคอนเวอร์เตอร์แบบขนาด 4 โมดูล จะประกอบไปด้วยอุปกรณ์ที่สำคัญ คือตัวเหนี่ยวหัวใจความถี่สูง อุปกรณ์ที่ทำหน้าที่สวิตซ์ ตัวเก็บประจุทางด้านเอกสารที่พุต วงจรกำลังต้องมีความสามารถทำงานได้ปกติที่ขนาดพิกัดกระแส แรงดันที่ใช้งานและความถี่ที่ใช้ในงานวิจัยนี้คือ 25 kHz ซึ่งเป็นความถี่ในการสวิตซ์ของอุปกรณ์สวิตซ์ และเนื่องจากแรงดันเอกสารที่พุตที่ได้จากการบูสต์ดีซีทูดีซีคอนเวอร์เตอร์แต่ละตัวยังมีส่วนของแรงดันกระแสเพื่อมอยู่ดังนั้นจึงต้องผ่านวงจรกรองแรงดัน เพื่อลดแรงดันกระแสเพื่อมในวงจรกำลังจะประกอบไปด้วยการออกแบบส่วนต่างๆ ดังนี้

#### 3.8.1 การคำนวณหาค่าตัวเหนี่ยวหัวใจความถี่สูง

ในวงจรบูสต์ดีซีทูดีซีคอนเวอร์เตอร์ ตัวเหนี่ยวหัวใจเป็นอุปกรณ์ที่สำคัญมากเนื่องจากมีหน้าที่ในการเก็บและขยายพลังงานเป็นผลให้ระดับแรงดันทางเอกสารที่พุตมีค่าสูงกว่าระดับแรงดันที่อินพุต การคำนวณหาค่าของตัวเหนี่ยวหัวใจสามารถหาได้จากสมการที่ (3.2)

$$L = \frac{V_s D}{f \Delta I} \quad (3.2)$$

หาค่าดิวตี้ไซเคิล (D) หาได้จาก

$$D = \frac{(V_o - V_s)}{V_o} = \frac{(60 - 26)}{60} = 0.57 \quad (3.3)$$

แทนค่าเพื่อหาค่าตัวหนี่ยวนำ

$$L = \frac{26 \times 0.57}{25 \times 10^3 \times 1.5} = 395 \mu H \quad (3.4)$$

เมื่อได้ค่าของตัวหนี่ยวนำแล้วจะหาขนาดของแกนที่ใช้โดยเลือกชนิดของแกนเป็นแกนเฟอร์ไรร์ต์ เพราะมีค่าสูญเสียต่ำเมื่อทำงานที่ความถี่สูง การคำนวณขนาดให้วิธีการคำนวณแบบ  $A_p$  (Area Approach) วิธีนี้เป็นการออกแบบที่ใช้ค่า  $T_{rise}$  ซึ่งอยู่ในรูปความหนาแน่นกระแสของลวดตัวนำ ( $J = 100 - 1000 A/cm^2$ ) โดยคำนวณขนาดของแกนเฟอร์ไรร์ต์ดังนี้

ขั้นตอนที่ 1 จากขีดจำกัดและข้อกำหนดในการคำนวณหาค่า  $A_p$  ในสมการที่ (3.4) กำหนดค่าต่าง ๆ ดังนี้  $J = 4 A/mm^2 = 4 \times 10^6 A/m^2$ ,  $k = 0.65$ , กระแสอินพุต ( $I_{rms}$ ) = 11.5A, กระแสอินพุตสูงสุด ( $I_{peak}$ ) = 12.25A,  $\Delta I = 2(I_{peak} - I_{rms}) = 1.5A$  และ  $B = 0.5$  แทนค่า

$$A_p = \frac{LI_{peak}I_{rms}}{B_{max}Jk} = \frac{395 \times 10^{-6} \times 12.25 \times 11.5}{0.5 \times 4 \times 10^6 \times 0.65} = 42.804 \times 10^{-9} = 42804 mm^3 \quad (3.5)$$

ขั้นตอนที่ 2 เลือกขนาดของแกนเฟอร์ไรร์ต์ที่มีค่า  $A_p$  มากกว่าที่ได้คำนวณจากขั้นตอนที่ 1 เนื่องจากถ้าเลือก  $A_p$  น้อยกว่าที่คำนวณได้อาจจะทำให้ไม่ได้ค่าต่าง ๆ ตามต้องการ โดยจะเลือกใช้แกนเฟอร์ไรร์ต์เบอร์ EE55/55/21 ซึ่งมีค่าต่าง ๆ ดังนี้

$$A_p = 43700 mm^3, A_w = 397 mm^2, S = 354 mm^2$$

ค่าตัวแปรจาก Datasheet ของแกนเฟอร์ไรร์ต์เมื่อเทียบกับตัวแปรจากสูตร

$A_p$  คือ Effective core Volume (Ve) มีหน่วยเป็น  $mm^3$  หรือ  $mm^4$

$A_w$  คือ Cross-sectional winding area of core (Acw) มีหน่วยเป็น  $mm^2$

$S$  คือ Effective cross-sectional area (Ae) มีหน่วยเป็น  $mm^2$

ตารางที่ 3.1 ค่าพารามิเตอร์ของแกนเฟอร์เรต์เบอร์ EE55/55/21

Parameter			
Core factor	C1	ผิดพลาด! วัดถูกไม่	
สามารถสร้างจากการแก้ไขโดยเดาเบตข้อมูล	0.348		
Effective magnetic path length	Le	ผิดพลาด! วัดถูกไม่	
สามารถสร้างจากการแก้ไขโดยเดาเบตข้อมูล	123		
Effective cross-sectional area	Ae	ผิดพลาด! วัดถูกไม่	
สามารถสร้างจากการแก้ไขโดยเดาเบตข้อมูล	354		
Effective core volume	Ve	ผิดพลาด! วัดถูกไม่	
สามารถสร้างจากการแก้ไขโดยเดาเบตข้อมูล	43700		
Cross-sectional center leg area	Acp	ผิดพลาด! วัดถูก	
ไม่สามารถสร้างจากการแก้ไขโดยเดาเบตข้อมูล	351		
Minimum cross-sectional area	Acp min	ผิดพลาด! วัดถูกไม่	
สามารถสร้างจากการแก้ไขโดยเดาเบตข้อมูล	341		
Cross-sectional winding area of core	Acw	ผิดพลาด! วัดถูกไม่	
สามารถสร้างจากการแก้ไขโดยเดาเบตข้อมูล	397		
Weight (approx)		ผิดพลาด! วัดถูกไม่	
สามารถสร้างจากการแก้ไขโดยเดาเบตข้อมูล	234		

ขั้นตอนที่ 3 คำนวณหาจำนวนรอบของชด漉วดตัวเหนี่ยวนำได้จากสมการที่ (3.5) กำหนดให้  $L = 395\mu H, I_{peak} = 12.25 A, B_{max} = 0.5, S = 354mm^2$  แทนค่าเพื่อหาจำนวนรอบของชด漉วดตัวเหนี่ยวนำ

$$N = \frac{LI_{peak}}{B_{max}S} = \frac{395 \times 10^{-6} \times 12.25}{0.5 \times 354 \times 10^{-6}} = 27 \text{ รอบ} \quad (3.6)$$

ขั้นตอนที่ 4 คำนวณหาขนาดของ漉วดตัวนำ ( $A_w$ )

$$A_w = \frac{I_{rms}}{J} = \frac{11.5 A}{4 A / mm^2} = 2.87 mm^2 \quad (3.7)$$

ขั้นตอนที่ 5 เลือกเบอร์ລวดทองแดงให้มี  $A_w$  ใหญ่กว่า  $A_u$  ที่ได้จากการคำนวณจากขั้นตอนที่ 4 โดยคำนวนเส้นผ่านศูนย์กลางของขดลวดได้จาก

$$d = \sqrt{\frac{4A_w}{\pi}} = \sqrt{\frac{4 \times 2.87 \text{ mm}^2}{\pi}} = 1.91 \text{ mm} \quad (3.8)$$

จากตารางเลือกขดลวดเบอร์ 12 AWG มีเส้นผ่านศูนย์กลาง 2.05 mm มากกว่าที่ได้คำนวนไว้เนื่องจากเส้นผ่านศูนย์กลางมีผลต่อการไหลของกระแสในขดลวดถ้าค่าห้อยกว่าที่คำนวนได้กระแสจะไหลໄດ້ເມື່ອງທີ່ຕ້ອງການ

ขั้นตอนที่ 6 คำนวนหาพื้นที่หน้าตัดของลวดที่ใช้งานจริง ว่าสามารถนำไปใช้กับแกนเฟอร์ไรต์ได้หรือไม่

$$A_w = \frac{\pi d^2}{4} = \frac{\pi (2.05 \text{ mm})^2}{4} = 3.3 \text{ mm}^2 \quad (3.9)$$

$$W = \frac{N \times A_w}{k} = \frac{27 \times 3.3}{0.65} = 137 \text{ mm}^2 \quad (3.10)$$

$W$  ที่ใช้ได้ต้องมีค่า  $\leq 397 \text{ mm}^2$

ขั้นตอนที่ 7 คำนวนหาค่าความกว้างของ Air Gab ( $l_g$ )

$$l_g = \frac{\mu_o N^2 S}{2L} = \frac{4\pi \times 10^{-7} \times 27^2 \times 354 \times 10^{-6}}{2 \times 395 \times 10^{-6}} = 0.004102 \text{ mm} \quad (3.11)$$

สรุปในวงจรบูสต์ดีซีทูดีซีคอนเวอრเตอร์แบบบานาน 4 โมดูล ใช้แกนเฟอร์ไรต์ EE 55/55/21 ลวดเบอร์ 12 AWG จำนวนรอบที่พัน 27 รอบ ความกว้าง Air Gap มีขนาด 0.004102 mm

### 3.8.2 การเลือกอุปกรณ์สวิตช์

อุปกรณ์สวิตช์ในวงจรบูสต์ดีซีทูดีซีคอนเวอร์เตอร์ควรเลือกอุปกรณ์ที่สามารถทำงานได้ที่ความถี่สูงเวลาในการเปลี่ยนสถานะค่อนข้างสั้น ในงานวิจัยนี้ได้เลือกใช้มอสเฟตกำลังทำหน้าที่เป็นอุปกรณ์สวิตช์ เวลาในการสับสวิตช์อยู่ในช่วงนาโนวินาที และในวงจรชั้บเพาเวอร์มอสเฟต้นี้สามารถทำท้าที่ง่ายเพราะควบคุมด้วยแรงดันและกระแสอินพุตค่าต่ำๆ เท่านั้น

โดยได้เลือกใช้มอสเฟตกำลังเบอร์ IRFP 264 ของบริษัท International Rectifier ซึ่งมีคุณลักษณะสมบัติดัง ๆ ที่สำคัญดังนี้ ความต้านทานระหว่างขาเดренและชอร์ส ขณะนำกระแส  $R_{DS(on)} = 0.075 \Omega$  ซึ่งมีค่าต่ำมาก แรงดันตกคร่อมระหว่างขาเดренและขาชอร์ส ( $V_{DS}$ ) ที่ทนได้ 250 โวลต์ กระแสเดрен ( $I_D$ ) สูงสุดที่สามารถให้หล่อผ่านได้ 38 แอมป์เวลาคืนสภาพของเพาเวอร์มอสเฟต  $t_r = 620 \text{ ns}$

### 3.8.3 การคำนวณหาค่าตัวเก็บประจุด้านเอาต์พุต

ในวงจรกำลังของวงจรบูสต์ดีซีทูดีซีคอนเวอร์เตอร์ ตัวเก็บประจุด้านเอาต์พุตของวงจรมีหน้าที่ในการเก็บพลังงานรูปของประจุไฟฟ้าและทำการจ่ายแรงดันออกให้กับเอาต์พุต หรือโหลด หรือคายประจุไฟฟ้าเมื่ออุปกรณ์สวิตช์ Turn ON และทำการเก็บประจุเมื่ออุปกรณ์สวิตช์ Turn OFF ดังนั้นจำเป็นต้องเลือกตัวเก็บประจุที่สามารถทนแรงดันได้เท่าหรือมากกว่าแรงดันเอาต์พุต หากเลือกด้านตัวเก็บประจุที่มีขนาดใหญ่จะมีส่วนช่วยในการลดแรงดันกระแสเพื่อเมืองด้านเอาต์พุต การคำนวณหาค่าตัวเก็บประจุทางด้านเอาต์พุตหาได้จากการสมการที่ (3.11)

$$C = \frac{I_o D}{f \Delta V_o} \quad (3.12)$$

แทนค่าเพื่อหาค่าตัวเก็บประจุทางด้านเอาต์พุต

$$C = \frac{16.67 \times 0.57}{25 \times 10^3 \times 0.6} = 633 \mu F \quad (3.13)$$

ดังนั้นควรเลือกขนาดตัวเก็บประจุทางด้านเอาต์พุตของวงจรที่มีค่าสูงกว่า  $633 \mu F$  และแรงดันที่ทนได้ต้องไม่ต่ำกว่าแรงดันเอาต์พุต งานวิจัยนี้ได้เลือกใช้ขนาดตัวเก็บประจุทางด้านเอาต์พุต  $680 \mu F$  ทันแรงดันได้ 250 V

ในการเลือกค่าตัวเก็บประจุหากใช้ค่าที่มีความจุยิ่งสูงจะทำให้แรงดันกระแสเพื่อเมืองด้านเอาต์พุตมีค่าลดลง แต่ค่าความจุของตัวเก็บประจุจะต้องไม่น้อยกว่าค่าที่คำนวณได้ ถ้าเลือกตัวเก็บประจุที่มีค่าความจุและอัตราทนแรงดันสูง ๆ ราคา ก็จะสูงตามไปด้วยจึงต้องเลือกให้เหมาะสมกับการใช้งาน

### 3.8.4 การเลือกไดโอดความถี่สูง

ไดโอดที่ใช้ในวงจรบูสต์ดีซีทูดีซีคอนเวอร์เตอร์แบบข่าน 4 โมดูล จะต้องมีคุณสมบัติที่สำคัญ คือทำงานที่ความถี่สูงได้ มีแรงดันตกคร่อมขณะนำกระแสต่ำและควรพิจารณากระแสสูงที่ให้หล่อผ่านได้โอดขนาดน้ำ capacità และหาได้จากการสมการที่ (3.14)

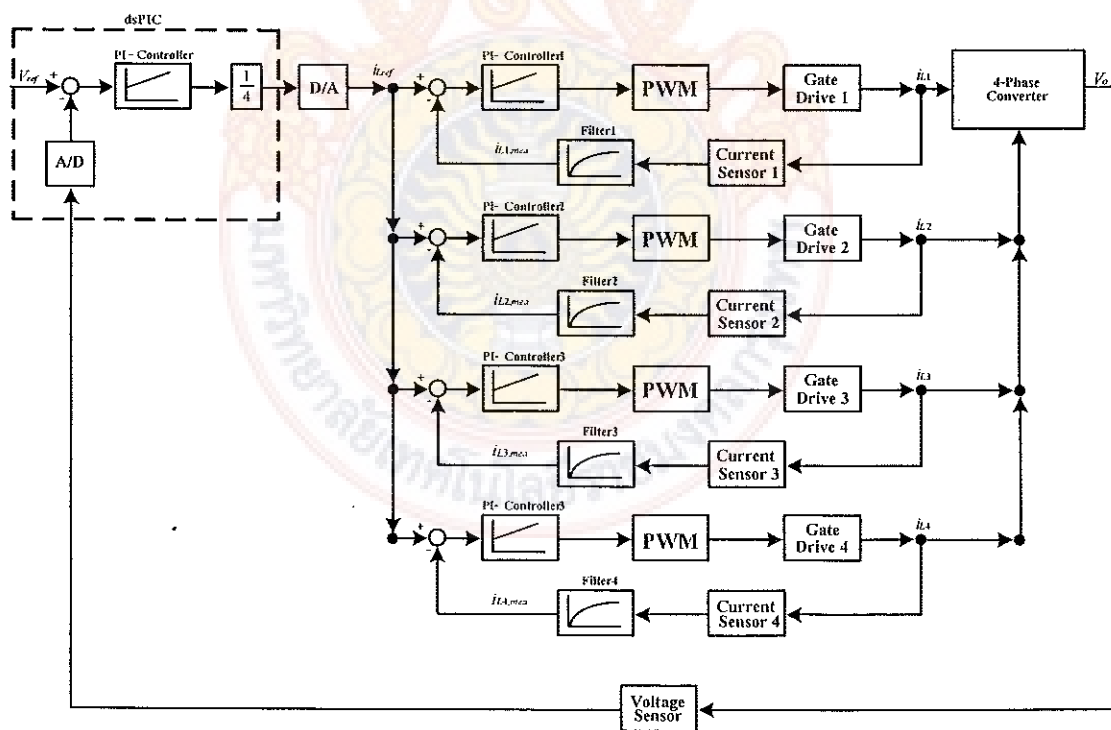
$$I_{rms} = \frac{1}{\sqrt{2}} \times I_{peak} \times \sqrt{\frac{1}{D}} \quad (3.14)$$

$$I_{rms} = 0.707 \times 12.25 \times 1.325 = 11.47 \quad (3.14)$$

ตั้งนี้งานวิจัยนี้เลือกใช้ไดโอดเบอร์ RURG 3020 ของบริษัท Fairchild Semiconductor มีค่าแรงดันตกคร่อมขณะนำกระแส ( $V_F$ ) ที่ 0.85V ค่าแรงดันไฟแอลอสกลับ ( $V_R$ ) ที่ 200 V และสามารถทนกระแสได้ถึง 30 A

### 3.9 การออกแบบวงจรควบคุมสต็อกอนเวอร์เตอร์แบบขาน 4 โมดูล

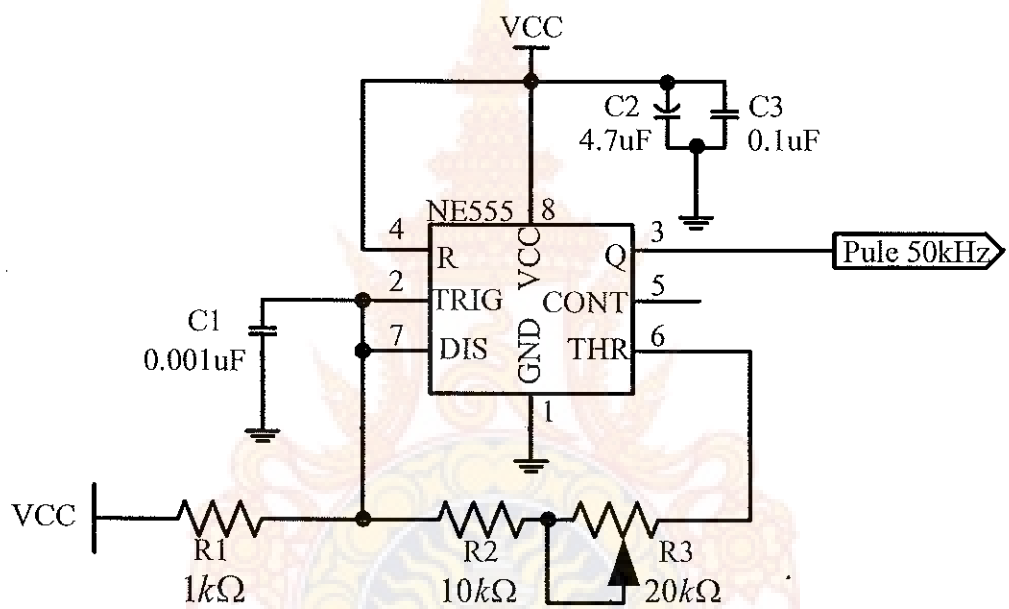
วงจรภาคควบคุมทำหน้าที่ควบคุมการทำงานของวงจรบุสต์ดีซีทูดีซีคอนเวอร์เตอร์แบบขาน 4 โมดูล [2] ให้สามารถรักษาระดับการจ่ายกระแสให้คงที่ให้ได้ตามคำสั่ง โดยใช้การป้อนกลับของแรงดันและการควบคุมค่าเฉลี่ยของกระแส ที่มีความถี่ในการสวิตช์คงที่ประกอบด้วย สัญญาณอ้างอิงของกระแส ( $i_{L,ref}$ ) , สัญญาณป้อนกลับของกระแสที่ตัวเหนี่ยวนำ ( $i_{L,mea}$ ) และสัญญาณ PWM ที่ควบคุมการทำงานของอุปกรณ์สวิตช์ในวงจร ในการออกแบบวงจรควบคุมจะประกอบไปด้วยวงจรส่วนต่างๆดังรูปที่ 3.10



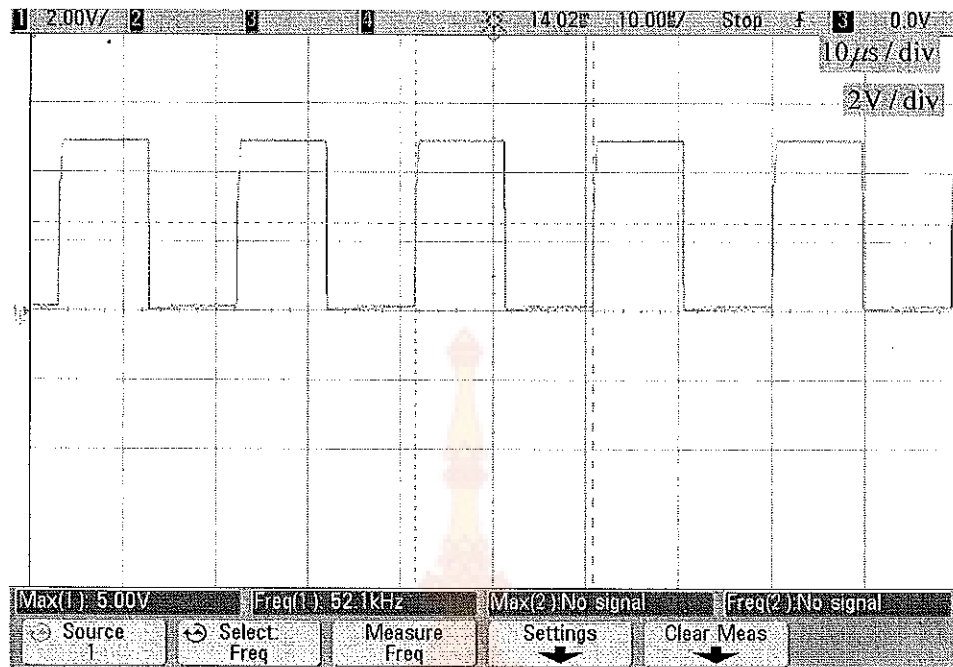
รูปที่ 3.10 วงจรควบคุมแรงดันและกระแสแบบลูปปิด

### 3.9.1 วงจรสร้างสัญญาณพัลส์อ้างอิง

ในการออกแบบวงจรмоดูลาร์ตามความก้าวหน้าของพัลส์ สัญญาณพาหะที่ใช้ในการ模ดูลาร์เป็นสัญญาณสามเหลี่ยม โดยก่อนที่จะได้สัญญาณสามเหลี่ยม ในงานวิจัยนี้ทำการสร้างสัญญาณพัลส์อ้างอิงโดยใช้ไอซีเบอร์ NE555 คุณสมบัติก็คือ เป็นไอซีที่เมอร์นับเวลาที่มีความเที่ยงตรงสูงใช้งานง่าย เสถียรภาพสูง ในงานวิจัยนี้จะถูกนำมาใช้สำหรับสร้างสัญญาณพัลส์ที่มีความถี่ 50 kHz สามารถกำหนดความถี่ได้จากค่าตัวเก็บประจุและตัวต้านทาน ดังที่ได้แสดงในวงจร ดังนั้นสัญญาณพัลสนี้จะเป็นสัญญาณแหล่งที่ใช้ในการสร้างสัญญาณสามเหลี่ยมสำหรับสัญญาณวัดภายนอก



รูปที่ 3.11 วงจรกำเนิดพัลส์อ้างอิงโดยใช้ไอซี NE555



รูปที่ 3.12 สัญญาณพัลส์อ้างอิง

จากคู่มือการใช้งานพื้นฐานของไอซีเบอร์ LM555 / NE555 / SA555 ของบริษัท Fairchild Semiconductor สามารถหาความถี่ที่ใช้งานตามวงจรในรูปที่ 3.12 ได้จาก

$$f = \frac{1.44}{R_1 + 2(R_A)(C_1)} \quad (3.15)$$

เมื่อ  $R_A = R_2 + R_3$

เมื่อต้องการความถี่ 50 kHz กำหนดค่า  $R_1=1\text{ k}\Omega$  และ  $C_1=0.001\text{ }\mu\text{F}$  จากนั้นสามารถคำนวณหาค่าความต้านทาน  $R_2$  และ  $R_3$  ได้ดังนี้

$$50 \times 10^3 \text{ Hz} = \frac{1.44}{(1 \times 10^3 \Omega + 2R_A) \times (0.001 \times 10^{-6} F)} \quad (3.16)$$

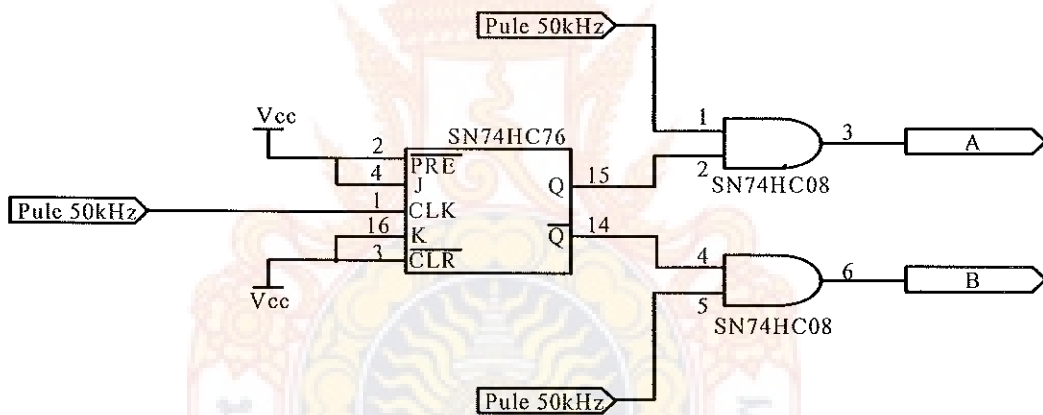
$$R_A = \left( \frac{1.44}{(0.001 \times 10^{-6} F) \times (50 \times 10^3 \text{ Hz})} - (1 \times 10^3 \Omega) \right) / 2$$

$$R_A = 13.9 \text{ k}\Omega \quad (3.17)$$

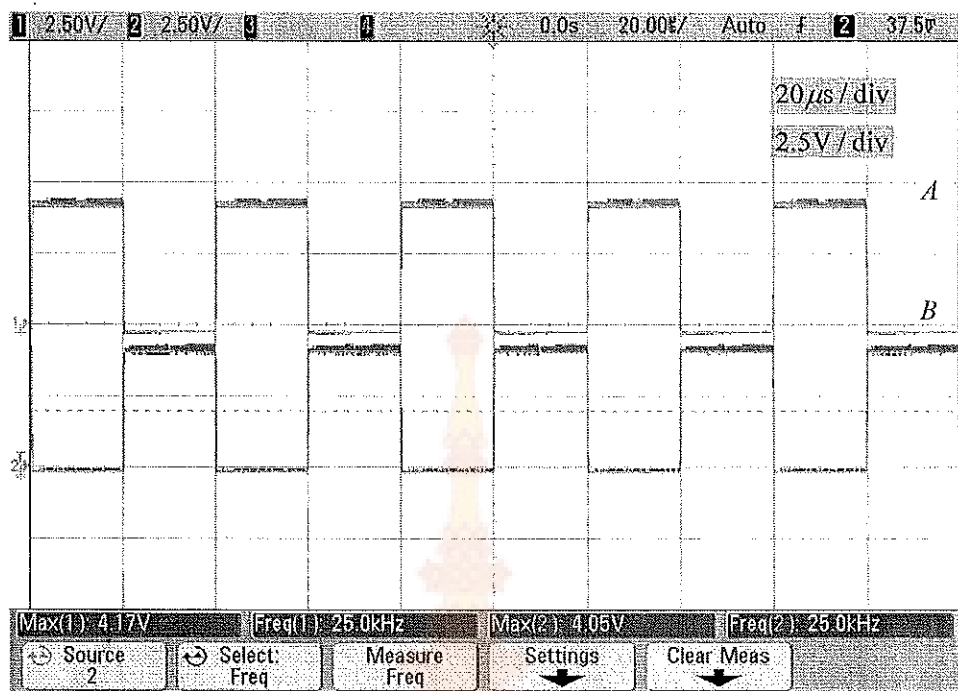
ในการใช้งานจริงอุปกรณ์อาจมีความผิดพลาด ดังนั้นจึงเลือกใช้ตัวด้านท่านปรับ  $R_3$  มีค่า  $20\text{ k}\Omega$  ร่วมกับตัวด้านท่านค่าคงที่  $R_2$  ค่า  $10\text{ k}\Omega$  ทำให้วงจรสามารถปรับเปลี่ยนความถี่ได้ตั้งแต่  $20\text{ kHz}$  -  $68.57\text{ kHz}$  โดยปรับที่ตัวด้านท่านปรับค่าได้  $R_3$

### 3.9.2 วงจรแบ่งสัญญาณพัลส์ให้มีการเหลือมเฟส 90 องศา

ในงานวิจัยนี้วงจรบูสต์ดีซีทูดีซีคอนเวอร์เตอร์ มีการสวิตช์ที่เหลือมเฟสกัน 90 องศา ดังนั้นเมื่อได้สัญญาณพัลส์อ้างอิงหลักที่ได้จากไอซีเบอร์ NE555 สัญญาณพัลส์ก็จะถูกแบ่งเป็น 2 ส่วนโดยใช้ไอซีเบอร์ SN74HC76 โดยไอซีส่วนที่ 1 จะทำหน้าที่ Active High ที่ขอบขาขึ้น ไอซีส่วนที่ 2 จะทำหน้าที่ Active High ที่ขอบขาลง และส่งสัญญาณเข้าที่ไอซีเบอร์ SN74HC08 ทั้งสองตัวก็จะได้รับสัญญาณพัลส์ 2 สัญญาณที่เหลือมเฟสกัน 180 องศาและคูณกับสัญญาณความถี่หลัก ดังนั้นความถี่ก็จะลดลงครึ่งหนึ่ง ดังรูปที่ 3.14 และสัญญาณพัลส์ที่ได้ดังรูปที่ 3.15

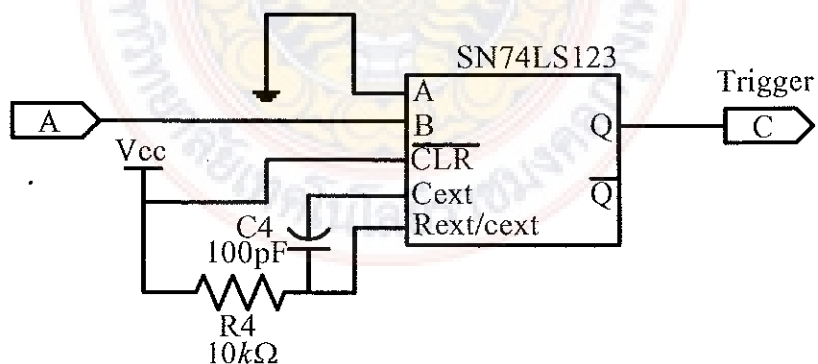


รูปที่ 3.13 วงจรลดความถี่สัญญาณพัลส์ให้เหลือ 25 kHz



รูปที่ 3.14 สัญญาณพัลส์ที่ห่างกัน 180 องศา และความถี่ลดเหลือ 25 kHz

จากนั้นก็จะผ่านไอซีเบอร์ 74LS123 เพื่อทำให้สัญญาณพัลส์ที่ได้มีการเหลือมเฟส กัน 90 องศา ดังภาพที่ 3.8



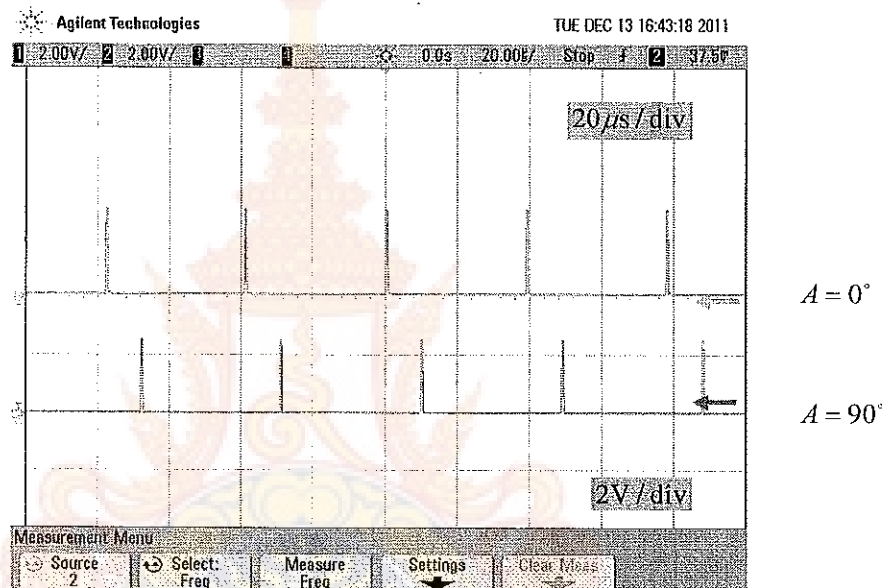
รูปที่ 3.15 วงจรสร้างสัญญาณกระแสตุ้นที่มีการเหลือมเฟสกัน 90 องศา ของชุด A

ในการคำนวณค่าเวลาของโมโนสเตเบิล( $t_W$ ) สามารถคำนวณได้จาก

$$t_W = R_4 \times C_4 \quad (3.18)$$

แทนค่า  $C_4 = 100 \text{ pF}$  ดังนั้น  $R_4 = \frac{1 \times 10^{-6} \text{ s}}{100 \times 10^{-12} \text{ F}} = 10 \text{ k}\Omega$  (3.19)

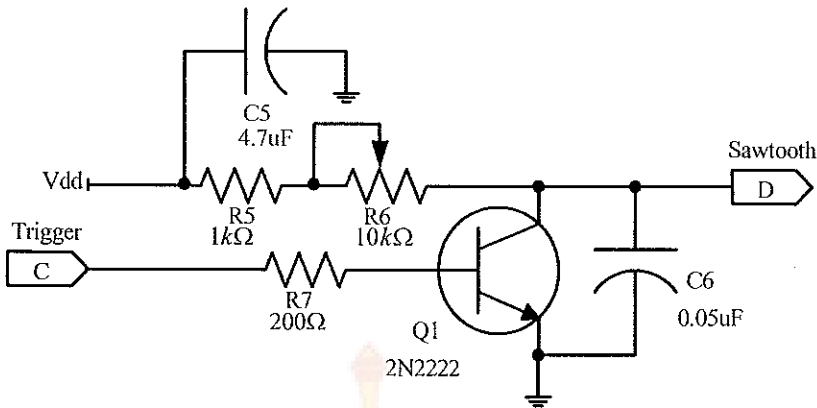
โดยสัญญาณเอาต์พุตที่ได้จากไอซีเบอร์ 74LS123 ทั้งสองตัวจะได้ออกมาเป็นสัญญาณกระแสตุ้นชุดละจำนวน 2 พลัสด้วยการเหลือมเฟสกัน 90 องศา ดังรูปที่ 3.16



รูปที่ 3.16 สัญญาณกระแสตุ้นที่ออกมายังชุด A

### 3.9.3 วงจรสร้างสัญญาณสามเหลี่ยม

หลังจากที่ได้สัญญาณกระแสตุ้นจากการข้างต้นจำนวน 4 ชุด ที่มีการเหลือมเฟสกันเฟสละ 90 องศา จากนั้นจะต้องสร้างสัญญาณสามเหลี่ยมที่มีการกำหนดให้มีความต่างเฟสกัน เฟสละ 90 องศา จำนวน 4 ชุดโดยใช้หลักการของการเก็บและ decay ประจำของตัวเก็บประจำที่เกิดจากการเปิดปิดสวิตช์ของทรานซิสเตอร์เบอร์ 2N2222 เพื่อทำให้เกิดสัญญาณสามเหลี่ยมที่มียอดขนาด 5 V สำหรับใช้ในการ模ดูแลตกับสัญญาณคำสั่งกระแสแสอ้างอิงให้เกิดเป็นสัญญาณวัฏจักรงาน สำหรับนำไปเข้าวงจรขับนำเกตเพื่อควบคุมการทำงานของมอเตอร์



รูปที่ 3.17 วงจรสร้างสัญญาณสามเหลี่ยม

จากรูปที่ 3.17 เพื่อให้ง่ายแก่การคำนวณกำหนด  $R_L = R_5 + R_6$  ในโครงงานนี้ ต้องการสัญญาณสามเหลี่ยมที่มีความถี่ 25 kHz ซึ่งมีคาบเวลา 40 μs และจุดสูงสุดของสัญญาณ สามเหลี่ยม 5V เลือกใช้ตัวเก็บประจุ  $C_6$  มีค่า 0.05μF สามารถคำนวณหาค่า  $R_L$  ได้จาก

$$u_o = u_+ - (u_+ - u_{C0}) e^{-t/R_L C_6} \quad (3.20)$$

เมื่อ  $u_o$  คือ ความแรงของสัญญาณสามเหลี่ยม ณ เวลาที่ต้องการ  
 $u_+$  คือ แรงดันไฟเลี้ยงที่ป้อนให้วงจร  
 $u_{C0}$  คือ แรงดันที่ตัวเก็บประจุก่อนการประจุมีค่า  $= V_{CEsat}$  ของ  
 ทรานซิสเตอร์  $= 0.3V$   
 $t$  คือ คาบเวลาของสัญญาณสามเหลี่ยม

แทนค่าดังนี้

$$5 = 15 - (15 - 0.3) e^{-40 \times 10^{-6} / R_L \times 0.05 \times 10^{-6}} \quad (3.21)$$

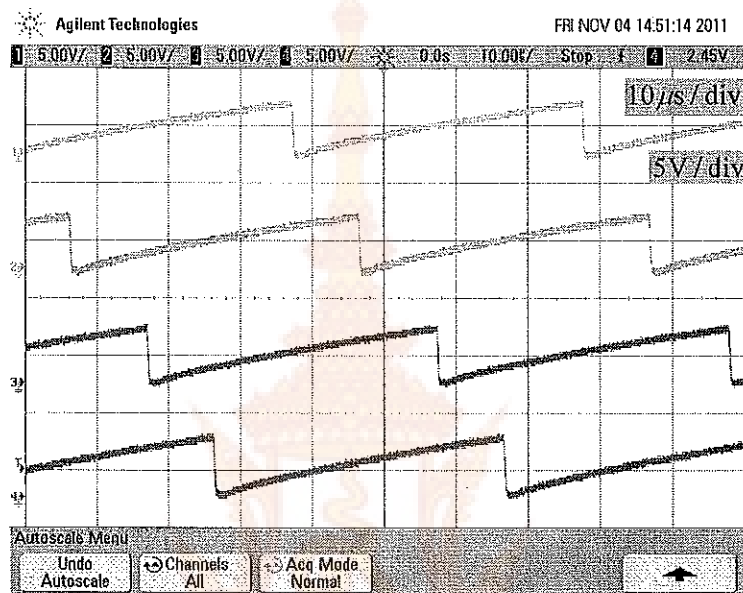
$$5 = 15 - \frac{14.7}{e^{800/R_L}}$$

$$e^{800/R_L} = \frac{14.7}{10} = 1.47$$

$$\frac{800}{R_L} \log e = \log 1.47$$

$$R_L = 800 \frac{\log e}{\log 1.47} = 2.1k\Omega \quad (3.22)$$

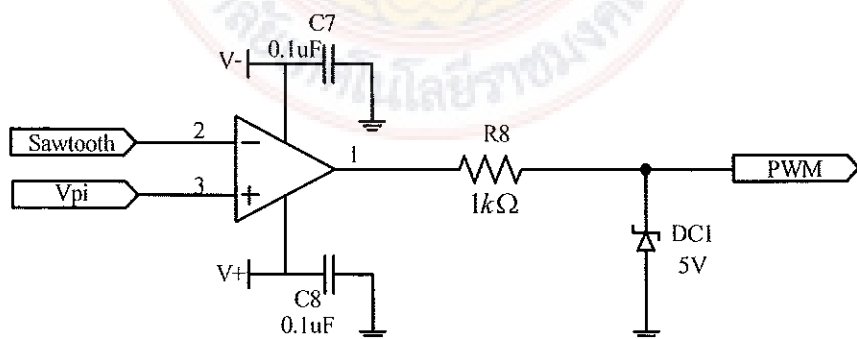
ในการใช้งานจริงอาจมีค่าผิดพลาดที่เกิดจากอุปกรณ์ได้ ดังนั้นจึงเลือกใช้งานค่า  $R_L$  เป็นตัวต้านทานปรับค่าได้  $R_L = R_s + R_6$  จึงเลือกใช้งานค่า  $R_s = 1k\Omega$  ต่ออนุกรมกับตัวต้านทานปรับค่า  $R_6$  ค่า  $10k\Omega$  จะได้สัญญาณสามเหลี่ยมดังรูปที่ 3.18 .



รูปที่ 3.18 สัญญาณสามเหลี่ยมที่ได้จากการใช้ transistor 2N2222

#### 3.9.4 วงจรmodulatorตามความกว้างของสัญญาณพัลลส์ (PWM)

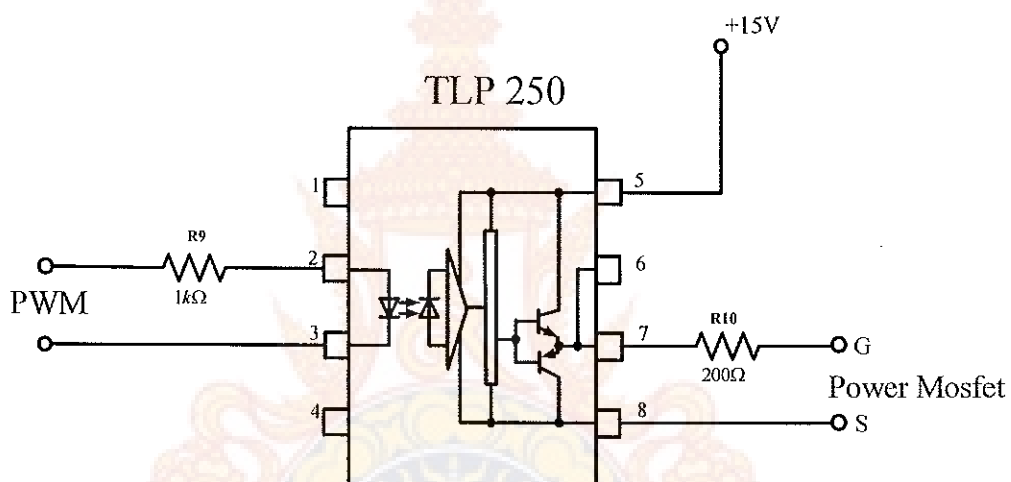
วงจรmodulatorทำหน้าที่modulatorสัญญาณที่ได้จากการตัวควบคุมในลูปปิดของกระแส กับสัญญาณพาหะที่เป็นสัญญาณสามเหลี่ยมของวงจรmodulatorตามความกว้างของสัญญาณพัลลส์หรือ สัญญาณพีดับบลิวเอ็ม แสดงดังรูปที่ 3.19



รูปที่ 3.19 วงจรmodulatorสัญญาณพีดับบลิวเอ็ม

จากรูปที่ 3.19 สัญญาณที่ได้จากตัวควบคุมในลูปกระแส ซึ่งเป็นสัญญาณที่ใช้ในการควบคุมกระแสของจาระเปล่งผันสัญญาณที่ได้นี้จะเป็นลักษณะแรงดันไฟฟ้ากระแสตรงที่มีระดับตั้งแต่ 0 V จนถึง 5 V ถูกส่งเข้าไปเปรียบเทียบกับสัญญาณสามเหลี่ยมโดยใช้ออปแอมป์เบอร์ TL084 ทำเป็นวงจรเปรียบเทียบ ดังนั้นสัญญาณเอาต์พุตจะได้เป็นสัญญาณพีดับบลิวเม็ม (Pulse Width Modulation) แต่สัญญาณเอาต์พุตที่ได้จะมีระดับความสูงของยอดเท่ากับแรงดันของแหล่งจ่าย เพื่อทำให้สัญญาณมีความเหมาะสมที่จะเข้าสู่ขั้นเกตจะต้องมีการตัดยอดคลื่นออกไปโดยใช้เซ็นเซอร์ไดโอดขนาด 5V มาต่อที่ขาเอาต์พุตเพื่อทำให้สัญญาณเอาต์พุตมีระดับความสูงไม่เกิน 5V หลังจากนี้สัญญาณก็จะถูกส่งเข้าสู่ขั้นนำเกตต่อไป

### 3.9.5 วงจรขั้นนำเกตด้วยไอซี TLP250



รูปที่ 3.20 วงจรขั้นนำเกตโดยใช้ไอซีเบอร์ TLP250

เพื่อความสะดวกและให้วงจรขั้บมีขนาดเล็กจึงใช้ไอซีสำเร็จรูป TLP250 ขนาด 8 ข้างดังแสดงวงจรขั้นเกตไว้ในรูปที่ 3.20 จากการจะสัญญาณด้านเข้าเป็นสัญญาณที่ถูกส่งมาจากวงจร มอคูลเดตตามความกว้างของพัลส์มีขนาดแรงดัน 0V ถึง 5V โดยจะรับสัญญาณอินพุตผ่านขา 2 และขา 3 เพื่อที่จะทำการใบอัสไทร์แก๊ดไดโอดเปล่งแสงที่ต่ออยู่ระหว่างขา 2 และขา 3 ทางอินพุต โดยจะต่อผ่านความด้านทาน 1kΩ เพื่อให้มีกระแสไหลผ่านไปยังไดโอดเปล่งแสงไม่สูงเกินไปจนเกิดความเสียหาย ส่วนทางเอาต์พุตกำหนดให้แรงดันมีขนาดเท่ากับ 15 V โดยรับแรงดันจากแหล่งจ่ายไฟจากชุดวงจรจ่ายไฟเลี้ยง

### 3.9.6 วงจรควบคุมกระแสแบบพีไอ

วงจรควบคุมกระแสเป็นวงจรที่ทำหน้าที่ควบคุมให้ระดับการจ่ายกระแสคงที่ถึงแม้ว่าโหลดทางไฟฟ้าจะมีการเพิ่มขึ้นโดยวงจรนี้จะใช้วงจรเปรียบเทียบ (Summing) โดยใช้

ออปแอมป์เบอร์ TL082 ในวงจรดังรูปที่ 3.21 ออปแอมป์ตัวที่ OPC2A ต่อเป็นแบบ Inverting Mode มีอัตราขยายเท่ากับ 1 สัญญาณที่ได้จากจุดนี้คือสัญญาณความผิดพลาดของแรงดัน ( $V_{er}$ ) และถูกส่งต่อไปยังวงจรควบคุมต่อไป โดยในโครงงานนี้เลือกใช้ตัวควบคุมแบบพิโอล สมการดัวควบคุมกระแสนส倩ในสมการที่ (3.23)

$$\frac{V_{pi}(s)}{V_{err}(s)} = K_p \left(1 + \frac{1}{T_i s}\right) \quad (3.23)$$

โดยที่อัตราขยายของ  $K_p$  หาได้จากสมการ (3.24)

$$K_p = \frac{R_{19} + R_{20}}{R_{18}} \quad (3.24)$$

ในการออกแบบกำหนดให้ค่าความต้านทาน  $R_{19} = 100\Omega$  และ  $R_{20} = 37k\Omega$  แทนลงในสมการที่ (3.25) จะได้อัตราขยาย คือ

$$K_p = \frac{100 + 37k\Omega}{20k\Omega} = 1.855 \quad (3.25)$$

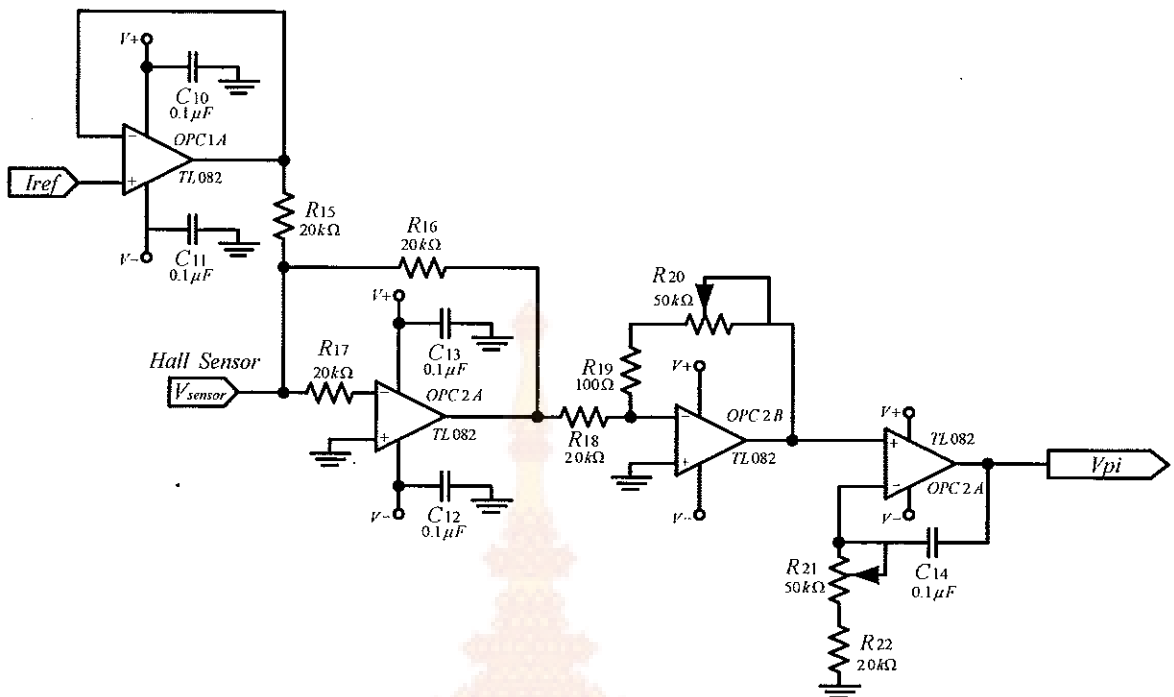
และค่าเวลาหาได้จากสมการที่ (3.26)

$$T_i = (R_{21} + R_{22})C_{14} \quad (3.26)$$

ซึ่งในการออกแบบกำหนดให้ค่าความต้านทาน  $R_{21} = 50k\Omega$  และ  $R_{22} = 20k\Omega$  และตัวเก็บประจุ

$C_{14} = 0.1\mu F$  แทนค่าที่ได้ลงในสมการที่ (3.27)

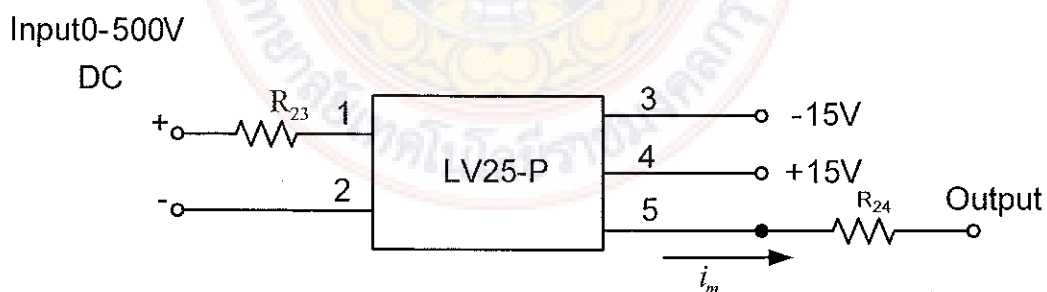
$$T_i = (50k\Omega + 20k\Omega) \times 0.1\mu F = 0.007 s \quad (3.27)$$



รูปที่ 3.21 วงจรควบคุมกระแสแบบพื้นที่

### 3.9.7 วงจรตรวจจับแรงดัน

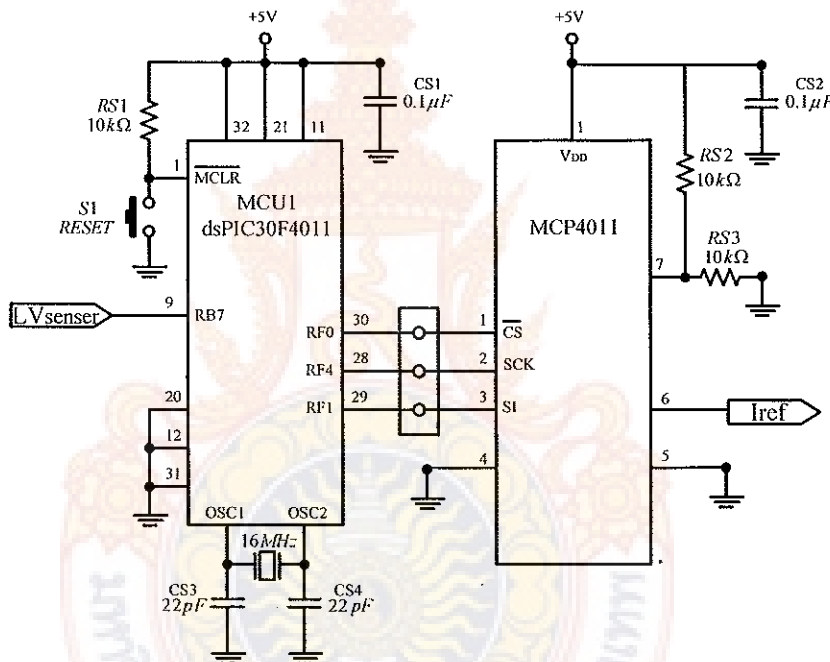
ในรูปที่ 3.22 จะเป็นวงจรตรวจวัดแรงดันจะใช้ Voltage Transducers ยี่ห้อ LEM รุ่น LV25-P สามารถวัดแรงดันได้ตั้งแต่ 0-500 V มีอัตราส่วนการแปลงค่า 500V/50mA ตั้งนั้น เอาต์พุตจะมีค่าเท่าไหร่นั้นขึ้นอยู่กับการใส่ค่าความด้านทาน  $R_{24}$  เพื่อที่จะนำเอาสัญญาณแรงดันที่ ตกคร่อม  $R_{24}$  ส่งเข้าไปเป็นสัญญาณอินพุตของพอร์ต Analog to Digital (A to D) ของไมโครคอนโทรลเลอร์



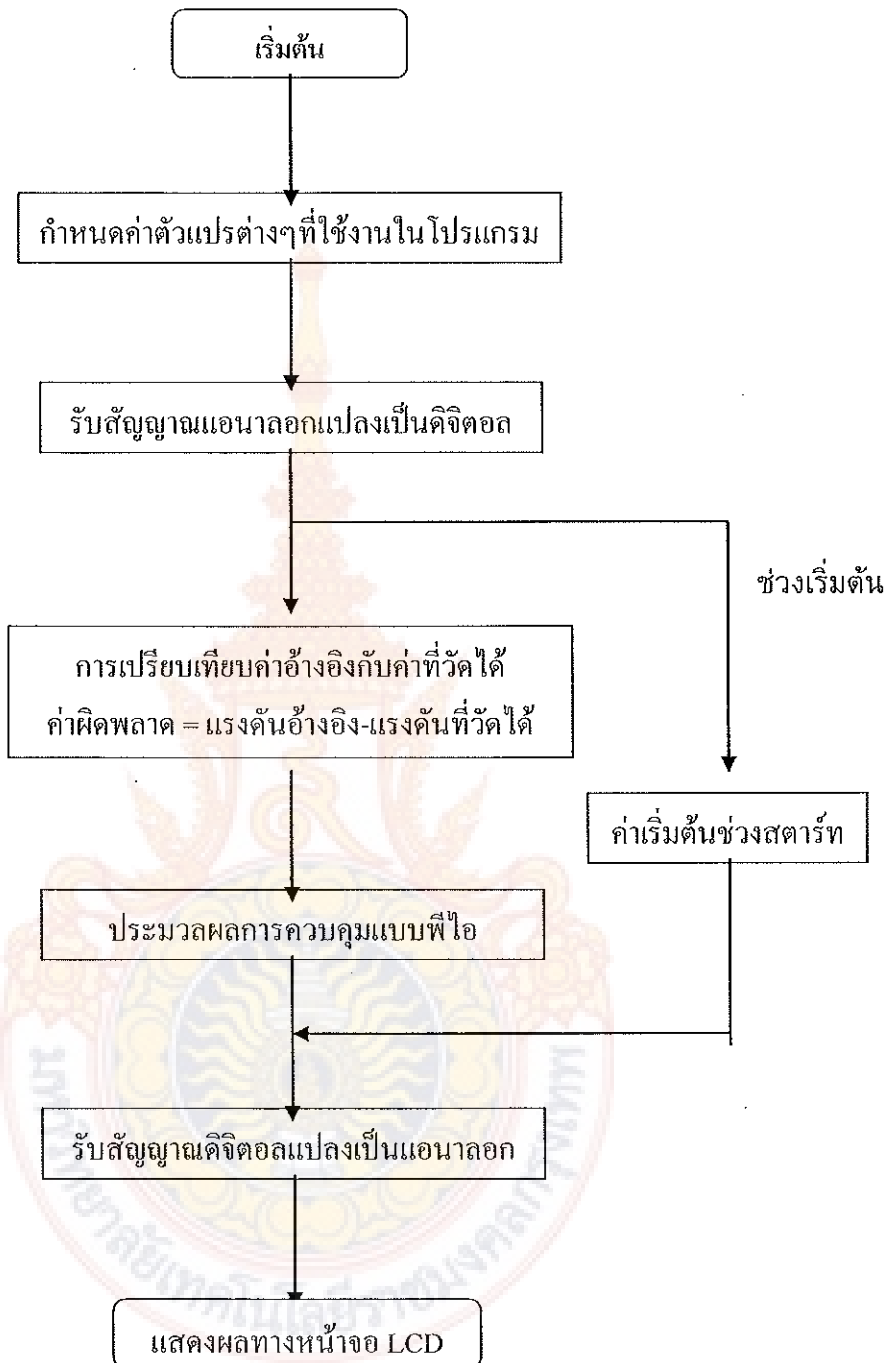
รูปที่ 3.22 อุปกรณ์และวงจรตรวจจับแรงดัน

### 3.9.8 วงจรควบคุมรักษาระดับแรงดัน

วงจรควบคุมรักษาระดับแรงดันจะทำหน้าที่รักษาระดับแรงดันให้คงที่ 60 V โดยใช้ไมโครคอนโทรลเลอร์เบอร์ dsPIC30F4011 สามารถรับสัญญาณจากวงจรตรวจจับแรงดันทางด้านเอาต์พุตและส่งไปยังขา ADC ของไมโครคอนโทรลเลอร์ เพื่อแปลงสัญญาณแบบดิจิตอล จากนั้นจะใช้ออชีเบอร์ MCP4011 เพื่อแปลงสัญญาณดิจิตอลเป็นอนาลอก จะใช้งานในโหมด SPI ของ dsPIC30F4011 ไอชีจะสร้างแรงดันอนาลอกความละเอียด 8 บิต เนื่องจากเป็นอีกหนึ่งอุปกรณ์ที่ใช้ดิตต่อผ่านระบบบัส SPI เพื่อส่งข้อมูลไปสั่งการควบคุมในลูปของกระแสในแต่ละลูปกระแสให้เพิ่มขึ้นหรือลดลงตามภาระ



รูปที่ 3.23 ไมโครคอนโทรลเลอร์เพื่อสร้างตัวควบคุมแบบพื้นที่



รูปที่ 3.24 แผนภูมิสายงานการทำงานของโปรแกรมควบคุมของไมโครคอนโทรลเลอร์

## บทที่ 4

### ผลการวิจัย

การทดสอบคอนเวอร์เตอร์ในระบบนาโนกริดที่นำเสนอประกอบด้วยการเก็บข้อมูลการผลิตไฟฟ้าจากเซลล์แสงอาทิตย์บริเวณดาดฟ้าของอาคาร 48 สาขาวิชาวิศวกรรมไฟฟ้า คณะวิศวกรรมศาสตร์ มหาวิทยาลัยราชมงคลกรุงเทพ จากข้อมูลแรงดันและกระแสไฟฟ้าที่ได้นำไปโปรแกรมลงในแหล่งจ่ายไฟฟ้ากระแสตรงเพื่อเป็นแหล่งจ่ายจำลองไฟฟ้าจากเซลล์แสงอาทิตย์ และเมื่อทำการทดสอบอัลกอริทึม MPPT ทั้งสองโปรแกรมนั้นจะสามารถติดตามจุดให้กำลังไฟฟ้าสูงสุดได้ ส่วนผลการทดสอบที่ได้จากการออกแบบสร้างวงจรบูสต์ดีซีทูดีซีคอนเวอร์เตอร์แบบบานาน 4 โมดูล ซึ่งผลทดสอบการทำงานของระบบแบ่งออกเป็นสองส่วนคือ ส่วนการจำลองการทำงานของระบบโดยใช้โปรแกรม MATLAB/Simulink และส่วนของการทดสอบการทำงานของระบบจริง ทั้งสภาวะคงตัว (Steady State) และในสภาวะชั่วครู่ (Transient State) เพื่อศึกษาพฤติกรรมของระบบต่อการเปลี่ยนแปลงภาระ ดังได้กล่าวมาแล้วนั้นผลการทดสอบวงจรบูสต์ดีซีทูดีซีคอนเวอร์เตอร์แบบบานาน 4 โมดูลที่สร้างขึ้นได้ทำการทดสอบมีรายละเอียดดังต่อไปนี้

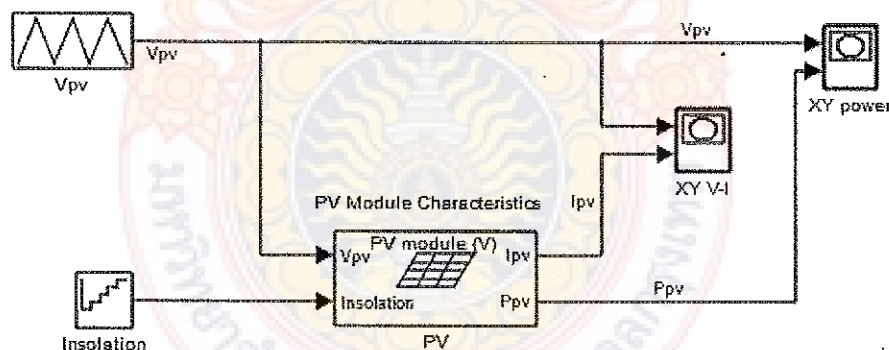
#### 4.1 เครื่องมือที่ใช้ทดสอบ

- 1) แหล่งจ่ายไฟตรงยี่ห้อ Magna power ขนาด 4 kW
- 2) เครื่องออสซิลโลสโคปยี่ห้อ Agilent Technologies
- 3). แผงเซลล์แสงอาทิตย์ Solarmax รุ่น LEC-3024
- 4). Power Analyzer รุ่น WT500
- 5). โหลดความต้านทาน  $50\Omega$  300W
- 6). แบตเตอรี่ยี่ห้อ VISION CP1275 12V 7.5AH

ตารางที่ 4.1 คุณสมบัติแสงเซลล์แสงอาทิตย์รุ่น LEC-3024

ค่าพารามิเตอร์	ค่า
ค่าแรงดัน ณ จุดให้กำลังไฟฟ้าสูงสุด	31.0 โวลต์
ค่ากระแส ณ จุดให้กำลังไฟฟ้าสูงสุด	0.96 แอมเปอร์
ค่ากำลังไฟฟ้าสูงสุด	60 วัตต์
ค่าแรงดันเปิดวงจรของโมดูลเซลล์แสงอาทิตย์	42.9 โวลต์
ค่ากระแสสัตว์จร ของโมดูลเซลล์แสงอาทิตย์	1.17 แอมเปอร์

เพื่อทำการประเมินสมรรถนะของชุดติดตามจุดให้กำลังไฟฟ้าสูงสุด และระบบแสงเซลล์แสงอาทิตย์ โดยรวม จึงจำเป็นต้องทราบถึงลักษณะสมบัติ ณ จุดปฏิบัติงานของแสงเซลล์แสงอาทิตย์ที่ใช้ในงานวิจัยก่อน โดยการประเมินลักษณะสมบัติของ กระแส-แรงดัน และ กำลังไฟฟ้า—แรงดันของแสงเซลล์แสงอาทิตย์อนุกรมกับความต้านทาน ปรับค่าได้ แล้วทำการวัดกระแส และแรงดันของช่วงความต้านทานระหว่าง 0 โอห์ม (ลัดวงจร) ถึง ∞ โอห์ม (เปิดวงจร) ดังไดอะแกรมในรูปที่ 4.1

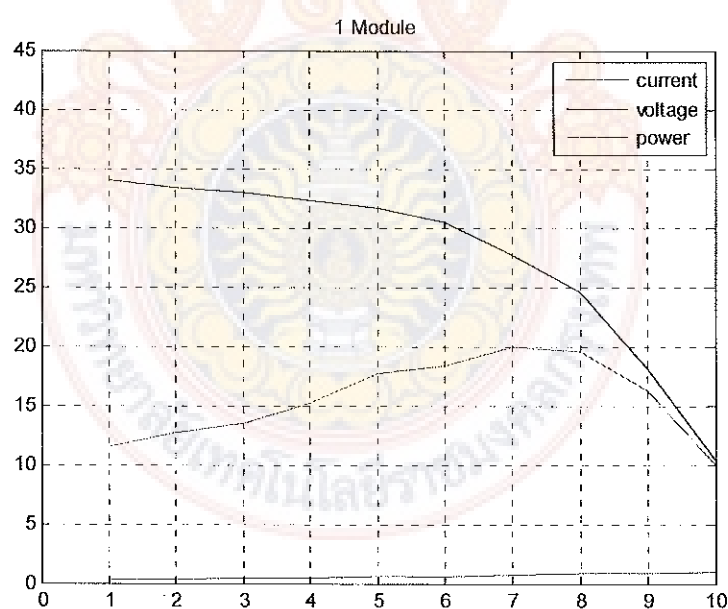


รูปที่ 4.1 ไดอะแกรมการทดสอบประเมินสมรรถนะของแสงเซลล์แสงอาทิตย์

จากการทดสอบนำข้อมูลที่เก็บผลมาพล็อตเป็นกราฟความสัมพันธ์ได้ดัง ตารางที่ 4.1 และ 4.2

ตารางที่ 4.2 ค่ากำลังไฟฟ้าสูงสุดต่อ 1 แผง

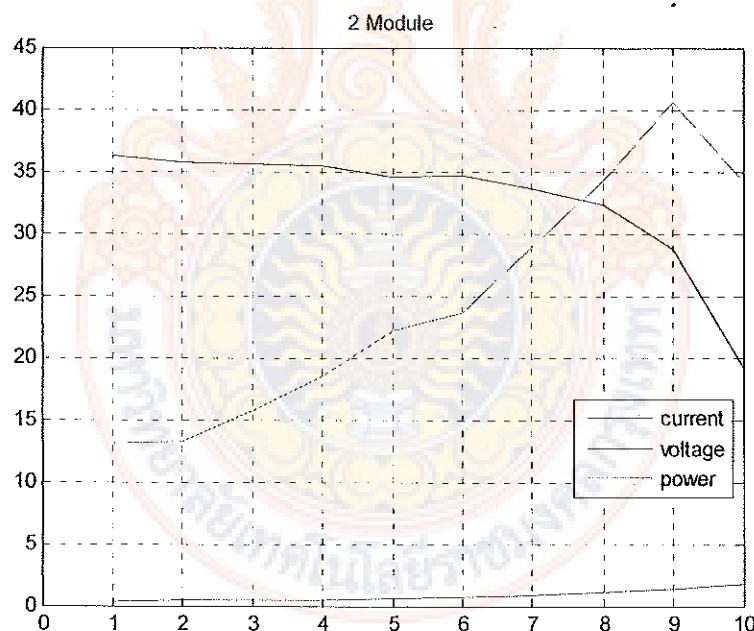
แผงเซลล์แสงอาทิตย์รุ่น LEC-3024 จำนวน 1 แผง			
ความต้านทาน荷電 (R)	แรงดัน (V)	กระแส (A)	กำลังไฟฟ้า (W)
100	34	0.34	11.56
90	33.3	0.38	12.654
80	33	0.41	13.53
70	32.3	0.47	15.181
60	31.6	0.56	17.696
50	30.5	0.6	18.3
40	27.7	0.72	19.944
30	24.5	0.8	19.6
20	18.1	0.9	16.29
10	10.3	0.97	9.991



รูปที่ 4.2 กำลังไฟฟ้าสูงสุดต่อ 1 แผง

ตารางที่ 4.3 ค่ากำลังไฟฟ้าสูงสุดต่อ 2 แผง

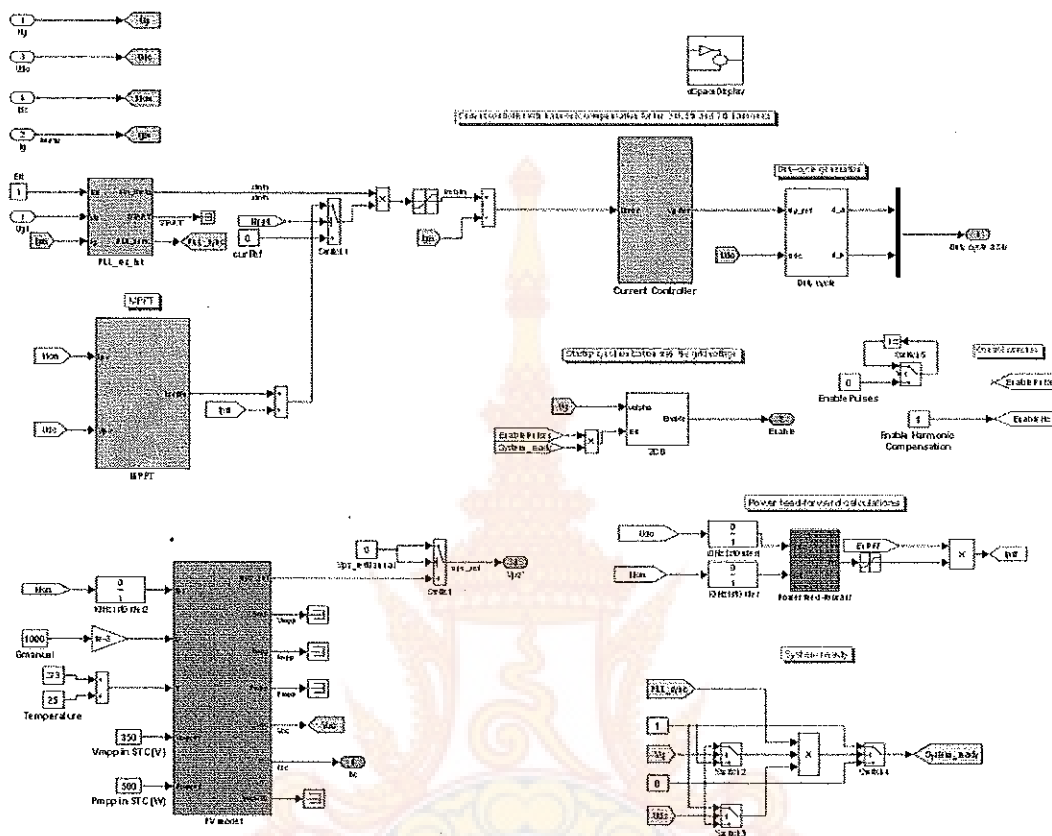
แผงเซลล์แสงอาทิตย์รุ่น LEC-3024 จำนวน 1 แผง			
ความต้านทาน荷電 (R)	แรงดัน (V)	กระแส (A)	กำลังไฟฟ้า (W)
100	36.2	0.36	13.032
90	35.7	0.4	14.28
80	35.6	0.44	15.664
70	35.5	0.52	18.46
60	34.6	0.64	22.144
50	34.7	0.68	23.596
40	33.6	0.86	28.896
30	32.3	1.06	34.238
20	28.8	1.41	40.608
10	19.2	1.78	34.176



รูปที่ 4.3 การหาค่ากำลังไฟฟ้าสูงสุดต่อ 2 แผง

จากนั้นนำค่าที่ได้จากการบันทึกค่าในตารางที่ 4.2 และ 4.3 มาสร้างโดยโปรแกรมด้วยโปรแกรม Matlab/Simulink ดังในรูปที่ 4.4 เพื่อควบคุมแหล่งจ่ายไฟฟ้ากระแสตรงแบบ

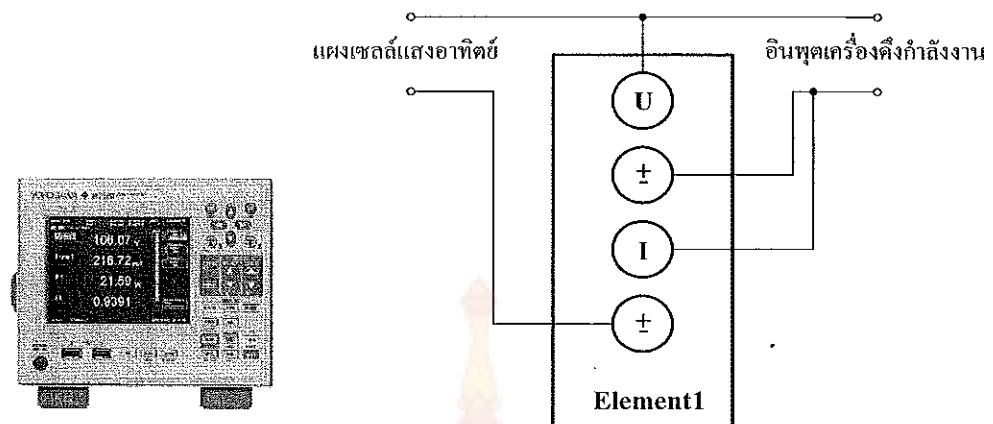
โปรแกรมได้ยึดห้อง Magna power ขนาด 4 kW 400 V 10 A ด้วยการ์ดอินเตอร์เฟส DS1104 และใช้เป็นแหล่งจ่ายในป้อนให้กับวงจรบูสต์คอนเวอร์เตอร์แบบบานานาต่อไป



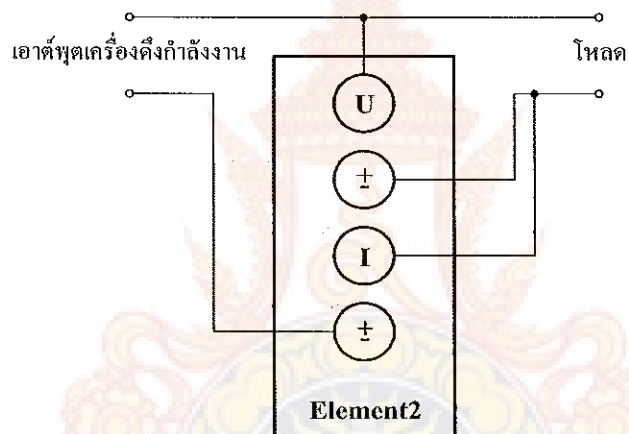
รูปที่ 4.4 ໂຄສະເກຣມສ້າງເຄື່ອງຈໍາລອງເໜີລັບແສງອາທິດຍ໌ດ້ວຍໂປຣແກຣມ Matlab/Simulink

## 4.2 ทดสอบการติดตามจุดกำลังไฟฟ้าสูงสุดของແພເໜີລັບແສງອາທິດຍ໌

ในการทดสอบค่ากำลังไฟฟ้าของແພເໜີລັບແສງອາທິດຍ໌ จะใช้เครื่อง Power Analyzer รุ่น WT500 ทำการวัดแรงดันและกระแสหั้งด้านอินพุตและເອົາດີພຸດຂອງເຄື່ອງຕິດຕາມກຳລັງໄຟຟ້າເພື່ອທີ່ຈະທຳໃຫ້ເຄື່ອງ Power Analyzer ทำการອ່ານຄ່າและทำการພລືອຕກຮາຟແສດງຜລຄ່າກຳລັງໄຟຟ້າຂອງແພເໜີລັບແສງອາທິດຍ໌ ບໍ່ສາມາຄຳທຳໄດ້ໂດຍການຕ່ອງຈະເປື້ອໃຫ້ເຄື່ອງ Power Analyzer รุ่น WT500 ทำการวัดຄ່າกระแสและแรงดันອີນພຸດຂອງຫຼຸດຕິດຕາມຈຸດກຳລັງໄຟຟ້າສູງສຸດນັ້ນສາມາດທຳການຕ່ອງຈະໄດ້ ດັ່ງແສດງໃນຮູບທີ່ 4.5(ກ) ບໍ່ຈະສັງເກດເໜີວ່າໃນການວັດສັງຄູາຮັບແນວດັນແລະກະແນໄຟຟ້າທີ່ແພເໜີລັບແສງອາທິດຍ໌ Solarmax ຮຸ່ນ LEC-3024 ແລ້ວຈ່າຍເປັນແຮງດັນອີນພຸດໃຫ້ກັບຫຼຸດຕິດຕາມຈຸດກຳລັງໄຟຟ້າສູງສຸດນັ້ນໃໝ່ Element2 ໂດຍມີການຕ່ອງຈະຕັ້ງໄດ້ແສດງໄວ້ໃນຮູບທີ່ 4.5(ງ)



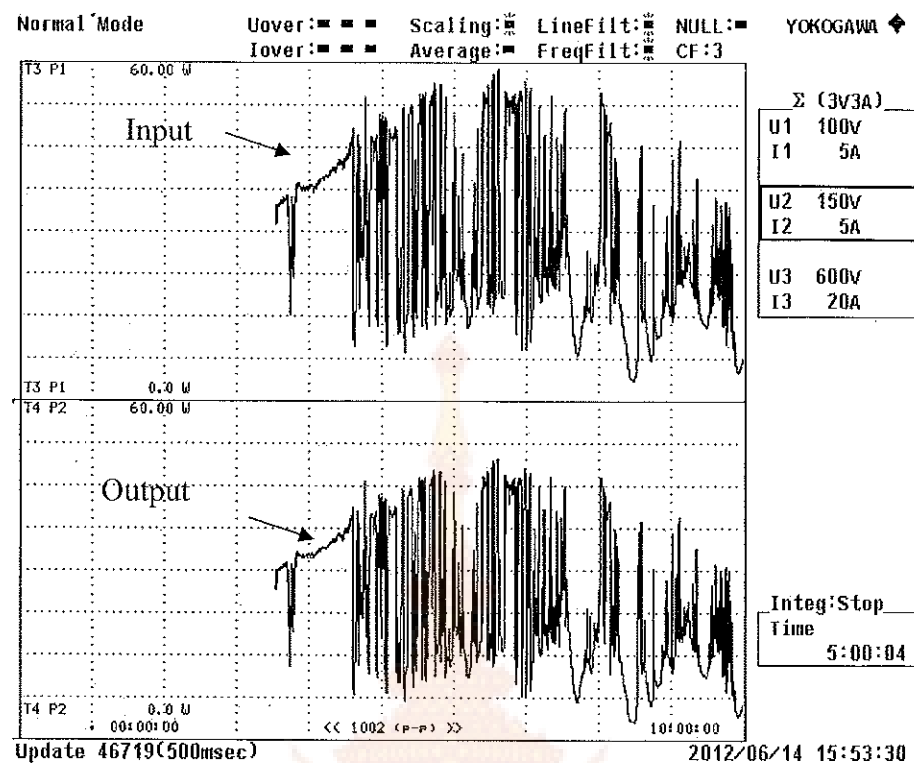
(ก) วัดแรงดันและกระแสผ่านอินพุตด้วย Power Analyzer



(ข) วัดแรงดันและกระแสผ่านเอาต์พุต

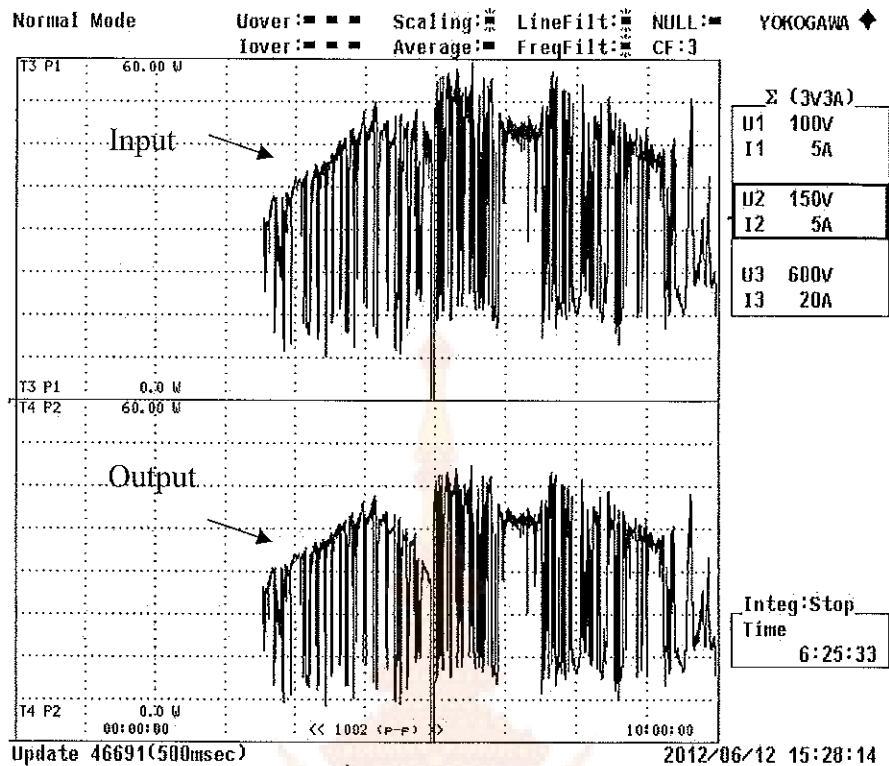
รูปที่ 4.5 การต่อใช้งานเครื่อง Power Analyzer รุ่น WT500

ทดสอบชุดติดตามจุดกำลังไฟฟ้าสูงสุดโดยการใช้แแบล็ตเตอร์ข้างต้น 30W จำนวน 2 แผง ต่อขนานกัน โดยต่อกับโหลด ค่าความต้านทานคงที่  $50\Omega$  300W โดยใช้โปรแกรมที่ 1



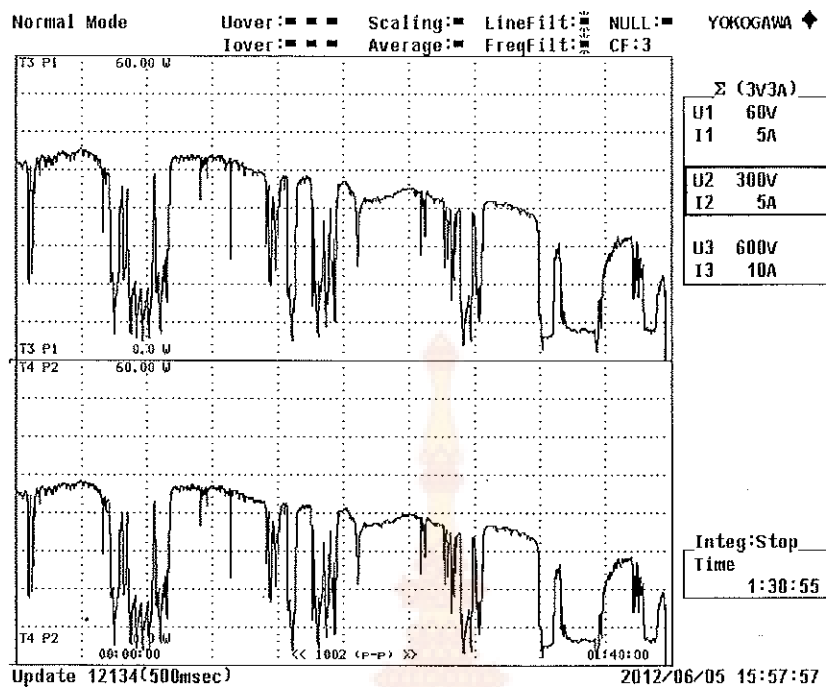
รูปที่ 4.6 ค่ากำลังงานไฟฟ้าในขณะที่ความเข้มแสงที่ด่างกัน โดยต่อ กับ โหลด ความต้านทาน  $50\Omega$   $300W$  โดยใช้ แแบง เชล์ล์ แสงอาทิตย์ ขนาด  $30W$   $2$  แผง ต่อ ขนาน โดยใช้โปรแกรมที่  $1$

ทดสอบชุดติดตามจุดกำลังไฟฟ้าสูงสุดโดยการใช้ แแบง เชล์ล์ แสงอาทิตย์ ขนาด  $30W$   $2$  แผงต่อ ขนาน กัน โดยต่อ กับ โหลด ค่า ความต้านทานคงที่  $50\Omega$   $300W$  โดยใช้ โปรแกรมที่  $2$

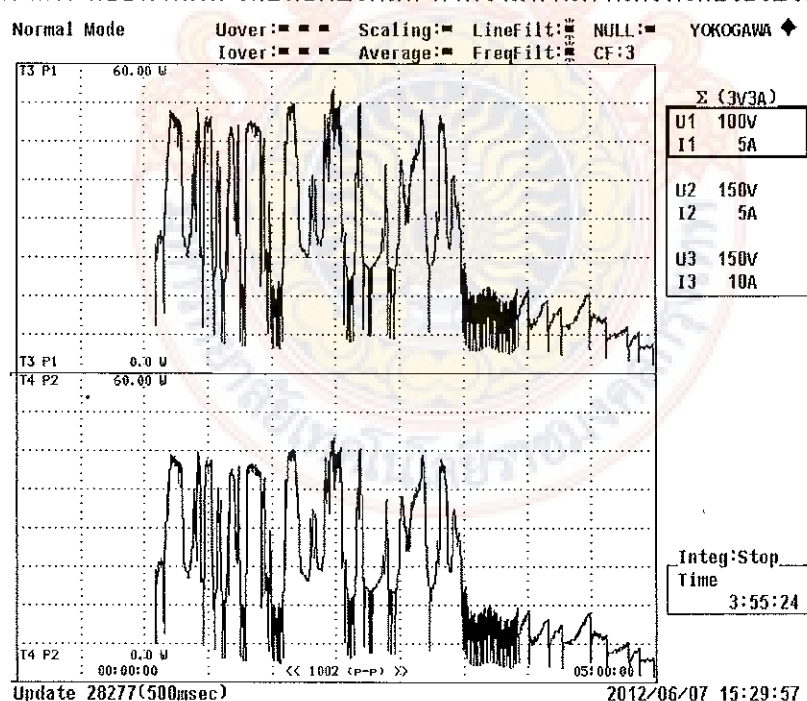


รูปที่ 4.7 ค่ากำลังงานไฟฟ้าขณะที่ความเข้มแสงที่ต่างกัน โดยต่อกับโหลดความต้านทาน  $50\Omega$  300W โดยใช้แแบงเซลล์แสงอาทิตย์ขนาด 30W 2 แผง ต่อขนาด โดยใช้โปรแกรมที่ 2

การทดสอบชุดติดตามจุดกำลังไฟฟ้าสูงสุดโดยการใช้แแบงเซลล์แสงอาทิตย์ขนาด 30 W 2 แผงต่อขนาด กัน โดยต่อกับโหลดค่าความต้านทานคงที่โดยใช้โปรแกรมที่ 1



รูปที่ 4.8 ค่ากำลังงานไฟฟ้าในขณะที่ความเข้มแสงที่ต่างกัน โดยต่อกับโหลดความต้านทาน ใช้แแบงเซลล์แสงอาทิตย์ขนาด 30 W 2 แผงต่อชานาน ด้วยโปรแกรมที่ 1 ทดสอบชุดติดตามจุดกำลังไฟฟ้าสูงสุดโดยการใช้แแบงเซลล์แสงอาทิตย์ขนาด 30W จำนวน 2 แผง ต่อชานานกัน โดยต่อกับโหลด ค่าความต้านทานคงที่โดยใช้โปรแกรมที่ 2



รูปที่ 4.9 ค่ากำลังงานไฟฟ้าในขณะที่ความเข้มรังสีที่ต่างกันโดยต่อกับโหลดความต้านทาน ใช้แแบงเซลล์แสงอาทิตย์ขนาด 30W 2 แผงต่อชานาน โดยใช้โปรแกรมที่ 2

กราฟที่ได้จากการทดสอบชุดติดตามจุดกำลังไฟฟ้าสูงสุดนี้ทั้งสองกราฟ ทั้งในรูปที่ 4.6, 4.7, 4.8 และรูปที่ 4.9 ได้ทำการทดสอบในช่วงเดือนมิถุนายนซึ่งเข้าหน้าฝนซึ่งมีเมฆมากเป็นบางช่วงจะเห็นได้จากการของเครื่อง Power Analyzer เส้นกราฟบางช่วงมีค่ากำลังไฟฟ้าต่ำและบางช่วงมีค่ากำลังไฟฟ้าสูง ทั้งนี้เนื่องจากเมฆเป็นปัจจัยสำคัญต่อความเข้มของแสงอาทิตย์ที่ให้กับแสงเซลล์แสงอาทิตย์ ซึ่งมีผลต่อการจ่ายแรงดันและกระแส การทำงานของชุดติดตามจุดกำลังไฟฟ้านี้จะสามารถติดตามจุดกำลังไฟฟ้าสูงสุด ณ ช่วงเวลาที่มีความเข้มของรังสีของแสงอาทิตย์ในขณะนั้นๆ

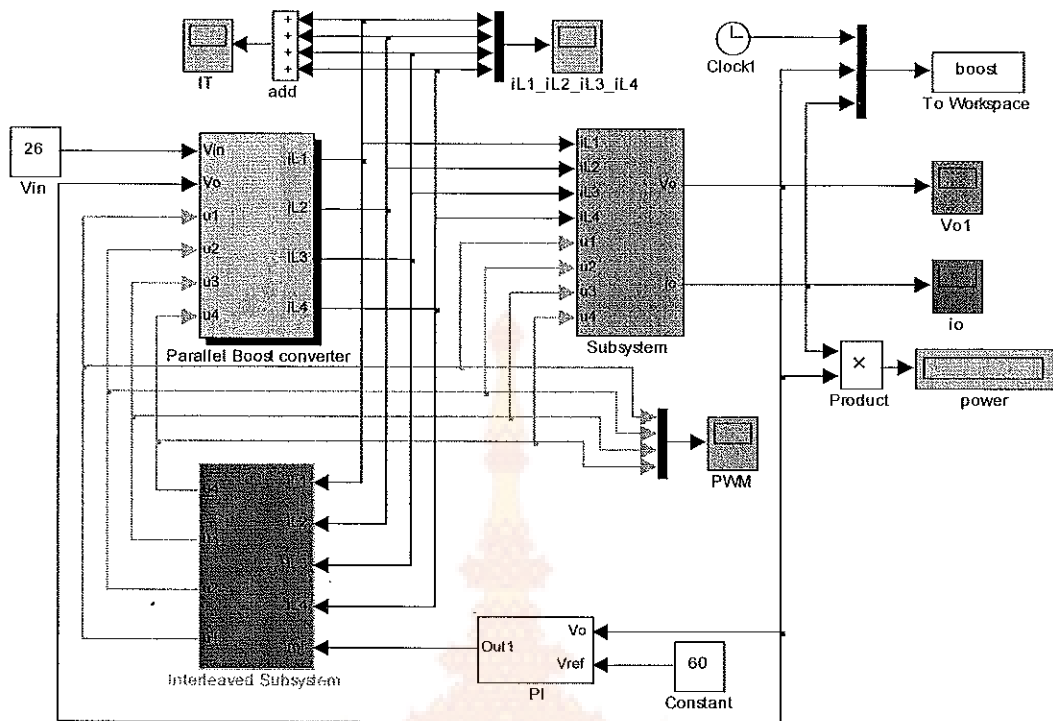
ในส่วนต่อไปนี้กล่าวถึงผลการทดสอบที่ได้จากการออกแบบสร้างวงจรบูสต์ดีซีทูดีซีคอนเวอร์เตอร์แบบขนาด 4 โมดูล ซึ่งผลทดสอบการทำงานของระบบแบ่งออกเป็นสองส่วนคือ ส่วนการจำลองการทำงานของระบบโดยใช้โปรแกรม MATLAB/Simulink และส่วนของการทดสอบการทำงานของระบบจริง ทั้งภาวะคงตัว (Steady State) และในภาวะชั่วครู่ (Transient State) เพื่อศึกษาพฤติกรรมของระบบต่อการเปลี่ยนแปลงภาวะ ดังได้กล่าวมาแล้วนั้นผลการทดสอบวงจรบูสต์คอนเวอร์เตอร์แบบขนาด 4 โมดูลที่สร้างขึ้นได้ทำการทดสอบมีรายละเอียดดังต่อไปนี้

#### 4.3 การจำลองการทำงานของวงจรบูสต์คอนเวอร์เตอร์แบบขนาด 4 โมดูล

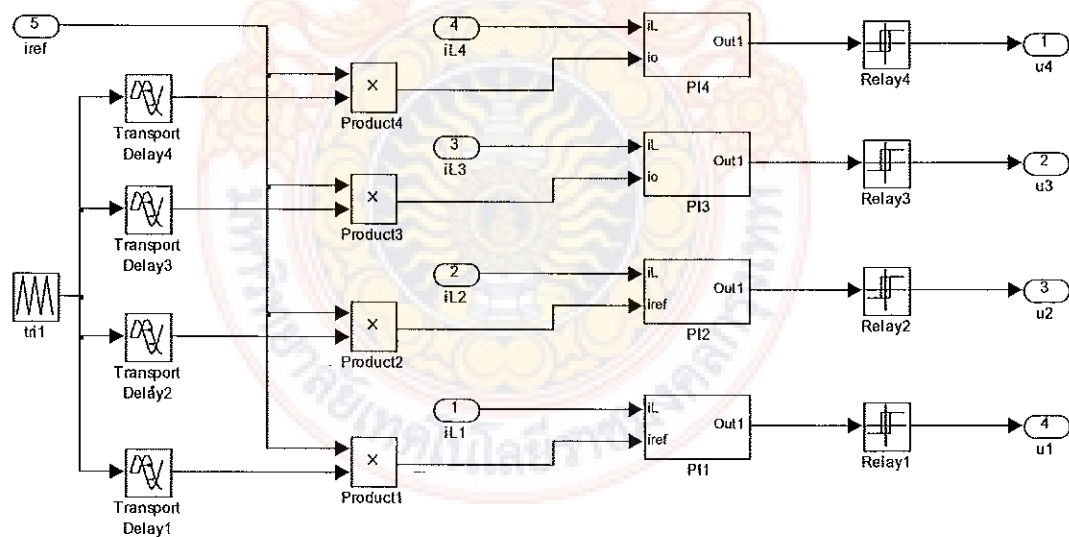
เพื่อเป็นการพิสูจน์การทำงานของวงจรบูสต์ดีซีทูดีซีคอนเวอร์เตอร์แบบขนาด 4 โมดูล ที่นำเสนอ ระบบได้ถูกทำการจำลองด้วยโปรแกรม Matlab/Simulink แบบจำลองของระบบที่สร้างขึ้นได้มาจากสมการที่ 2.42 - 2.46 ซึ่งเป็นสมการของวงจรภาคกำลังที่นำเสนอดังแสดงตามรูปที่ 4.1 ถึงรูปที่ 4.4

ตารางที่ 4.4 รายการและค่าพารามิเตอร์ที่ใช้จำลองการทำงาน

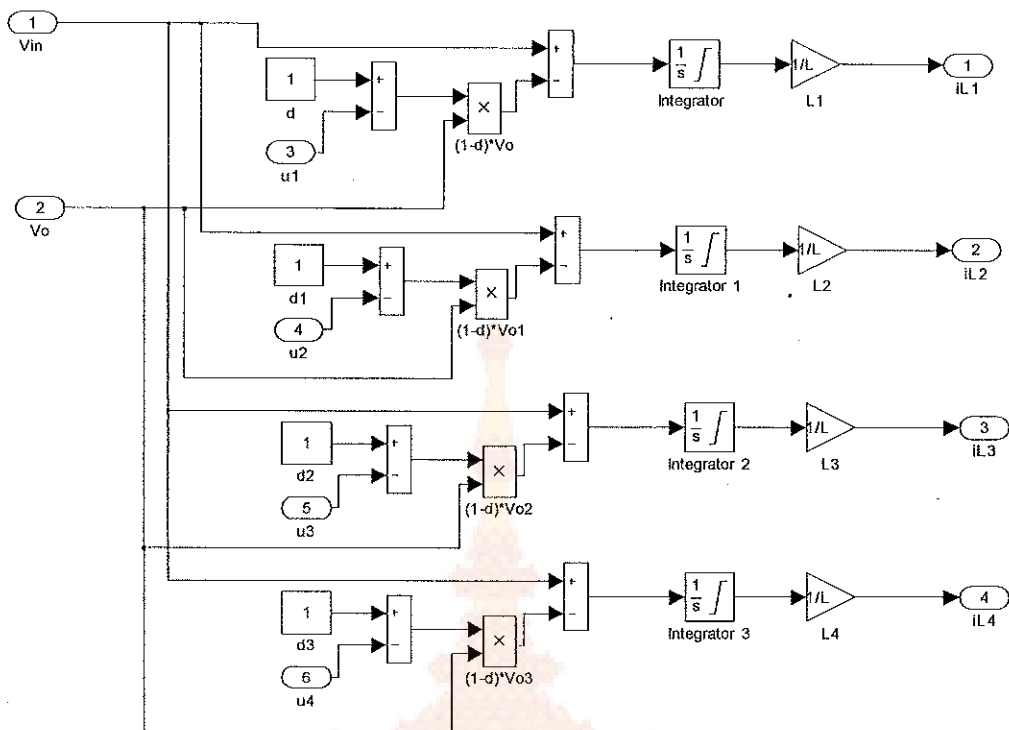
รายการ/สัญลักษณ์	ค่า
แรงดันอินพุต ( $V_{IN}$ )	26 V
แรงดันเอาต์พุต ( $V_O$ )	60 V
ค่าความเหนี่ยวแน่น ( $L_1, L_2, L_3, L_4$ )	395 $\mu$ H
ค่าความจุเอาต์พุต ( $C_O$ )	680 $\mu$ F
ความถี่สวิตซ์กำลัง ( $f$ )	25 kHz



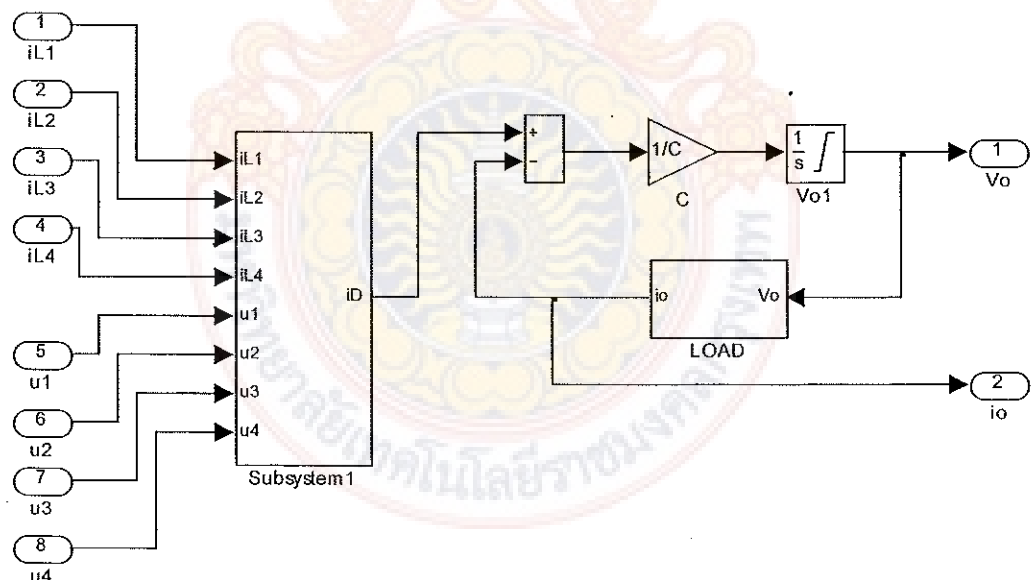
รูปที่ 4.10 แบบจำลองคณิตศาสตร์ของการควบคุมวงจรบูสต์คอนเวอร์เตอร์แบบขาน 4 มोดูล



รูปที่ 4.11 ภายในบล็อกของอินเตอร์ลิฟ



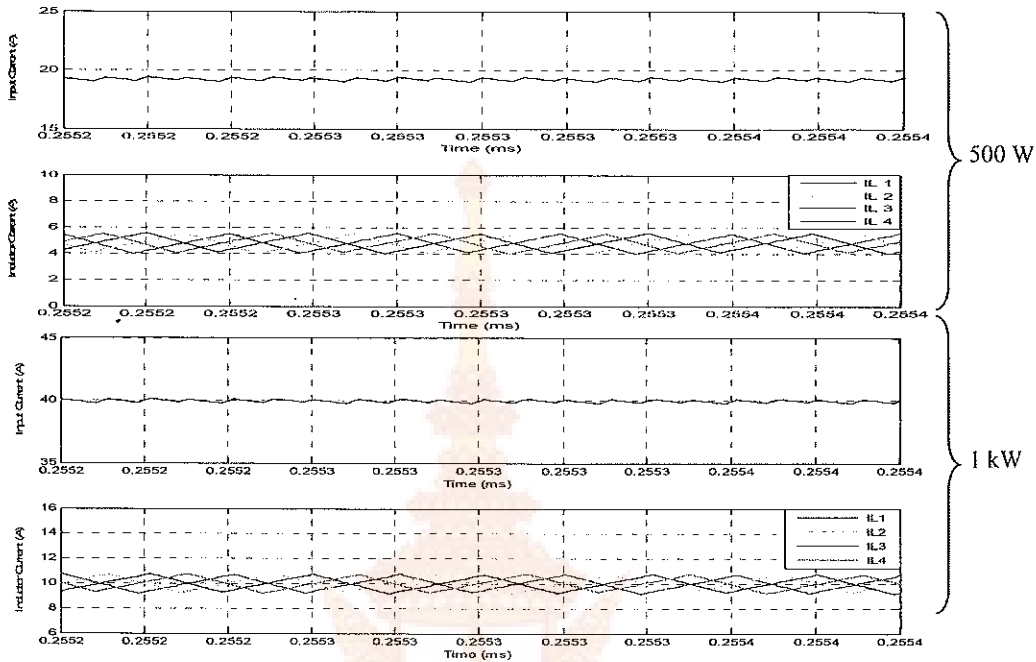
รูปที่ 4.12 ภายนบล็อกของวงจรบสต์คอนเวอร์เตอร์แบบขานาน



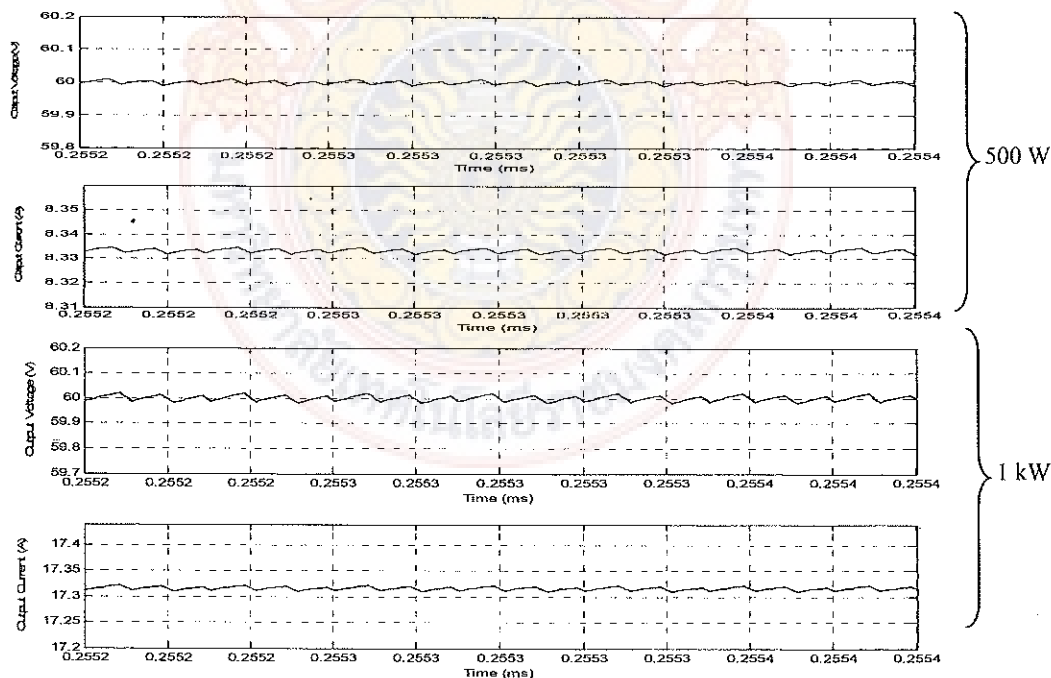
รูปที่ 4.13 ภายนบล็อกของระบบ

#### 4.4 ผลการจำลองการทำงาน

##### 4.4.1 ผลการจำลองในสภาวะคงตัวที่พิกัดกำลังไฟฟ้าเอาต์พุต 500 W และ 1 kW



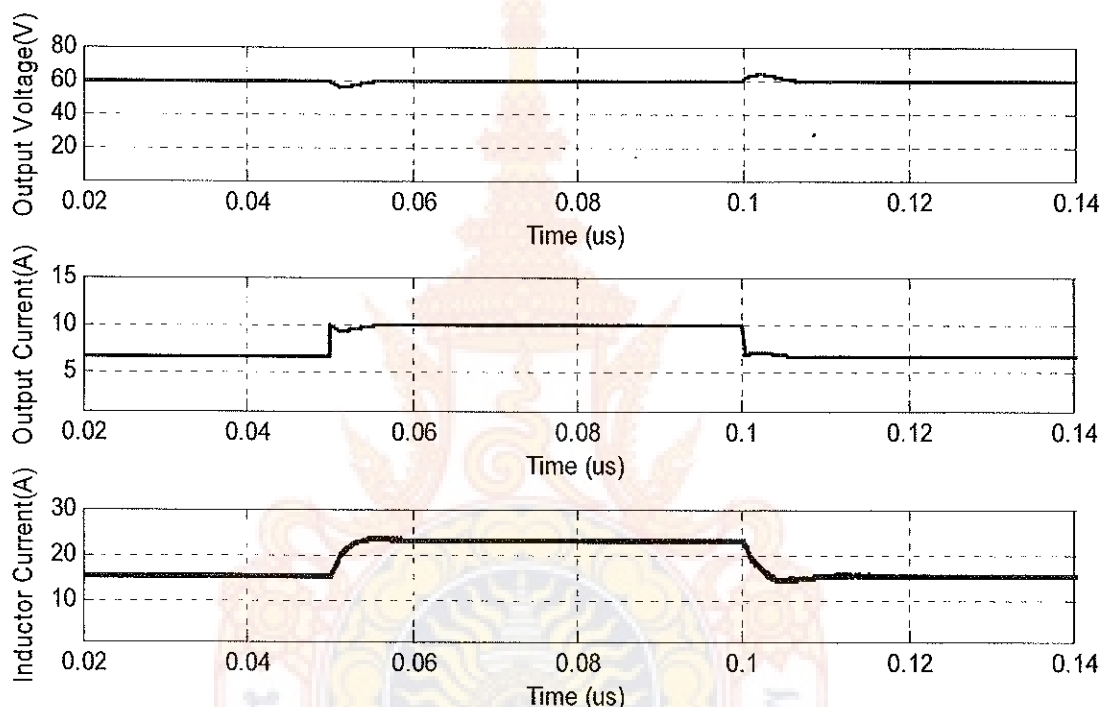
รูปที่ 4.14 กระแสอินพุตและกระแสขดลวดเหนี่ยวนำในแต่ละโมดูล



รูปที่ 4.15 แรงดันเอาต์พุตและกระแสเอาต์พุต

จากภาพที่ 4.14 ถึงภาพที่ 4.15 เป็นรูปคลื่นของการแสวงด้วยไฟฟ้า โดยใช้เทคนิคการเหลือมไฟฟ้าทำให้กระแสทางด้านอินพุตมีการกระเพื่อมลดลง สามารถแบ่งจ่ายกระแสที่ให้ผลผ่านด้วยไฟฟ้าให้เท่ากันที่ 4.9A และ 10 A ต่อวงจร ดังนั้นกระแสรวมก็จะได้ 19.6A และ 40A โดยมีการเหลือมกันของสัญญาณสัญญาณและ 90 องศา และรักษากระแสต้นทางด้านเอาต์พุตให้คงที่ 60V กำลังไฟฟ้าทางด้านเอาต์พุตที่ 500W และ 1kW

#### 4.4.2 ผลการจำลองในสภาวะชั่วครู่

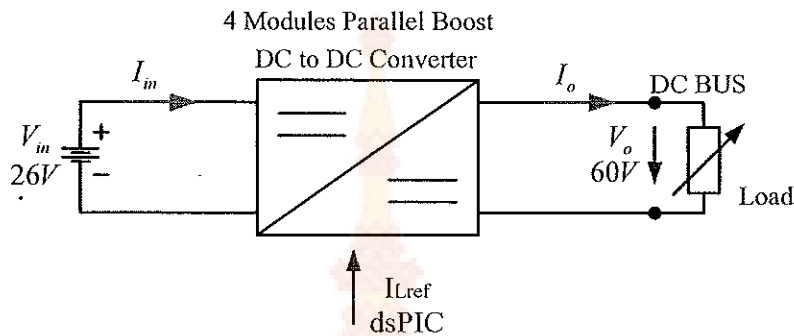


รูปที่ 4.16 แรงดันเอาต์พุตกระแสเอาต์พุตของวงจรและกระแสรวมของขดลวดเหนี่ยวนำ  
ขณะเปลี่ยนแปลงกระแสระหว่าง 400-600W

จากรูปที่ 4.16 แสดงผลการจำลองการทำงานของวงจรพบว่าที่ออกแบบสามารถจ่ายแรงดันคงที่ได้ และเมื่อทดสอบการเปลี่ยนแปลงกระแสของวงจรที่กำลังไฟฟ้าเอาต์พุต 400W ไปที่ 600 W และกลับไปที่ 400 W พบร่วงจรบุสต์คอนเวอร์เตอร์แบบขนาด 4 โมดูลที่ออกแบบสามารถรักษากระแสต้นทางด้วยไฟฟ้าได้

#### 4.5 การทดสอบวงจรบูสต์คอนเวอร์เตอร์แบบขนาด 4 มोดูล

เมื่อทำการออกแบบสร้างวงจรบูสต์คอนเวอร์เตอร์แบบขนาด 4 มोดูลเสร็จแล้ว จึงทำการทดสอบว่าวงจรสามารถทำงานได้ตามที่ออกแบบไว้หรือไม่ ที่ได้กล่าวไว้ในบทที่ 3 ในหัวข้อนี้เป็นการทดสอบการส่งถ่ายพลังงานออกจากแหล่งจ่ายไฟฟ้าไปยังระบบดังรูปที่ 4.17 โดยมีรายละเอียดดังต่อไปนี้



รูปที่ 4.17 วงจรการทดสอบการส่งถ่ายพลังงานของคอนเวอร์เตอร์

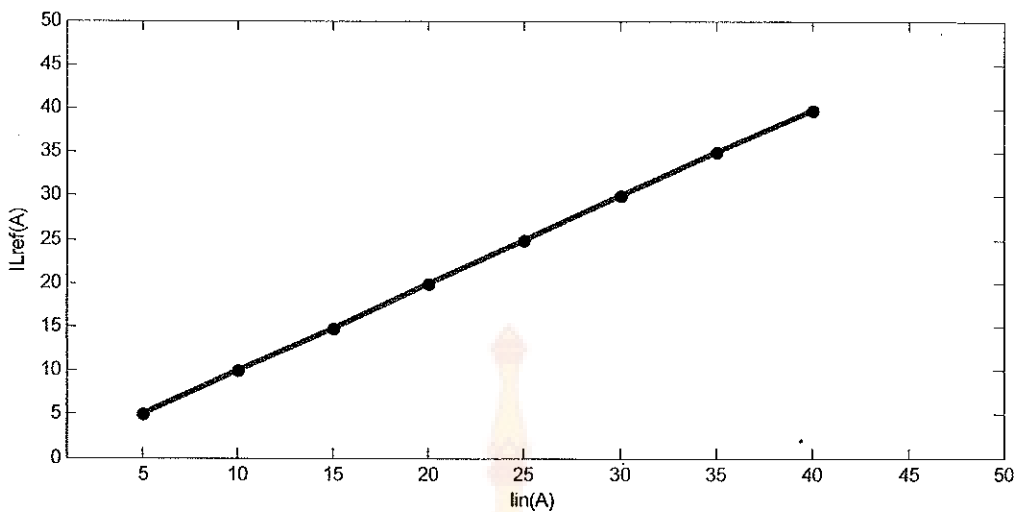
##### 4.5.1 ผลการทดสอบวงจรบูสต์คอนเวอร์เตอร์แบบขนาด 4 มोดูล

จากการทดสอบวงจรในโหมดส่งถ่ายพลังงานออกจากแหล่งจ่ายไฟฟ้าไปยังระบบ สรุปผลการทดสอบตามวัตถุประสงค์ของการทดสอบได้ดังนี้

ตารางที่ 4.5 ผลการทดสอบวงจรบูสต์คอนเวอร์เตอร์แบบขนาด 4 มोดูล

$I_{ref}$ (A)	$I_{in}$ (A)	$V_{in}$ (V)	$I_o$ (A)	$V_o$ (V)	$P_m$ (W)	$P_{out}$ (W)
5	5	26	2	60	130	120
10	10	26	3.87	60	260	232
15	14.80	25.96	5.8	60	384	349
20	19.95	25.95	7.7	60	518	462
25	24.96	25.94	9.52	60	647	571
30	30	25.91	11.76	60	777	705
35	35	25.89	13.63	60	906	818
40	39.88	25.88	15.79	60	1032	947

จากตารางที่ 4.5 ความสัมพันธ์ของกระแส  $I_{ref}$  และ  $I_{in}$  เป็นการควบคุมวงจรบูสต์ด้วย dsPIC คอนเวอร์เตอร์แบบขนาด 4 มोดูลแสดงเป็นกราฟดังในรูปที่ 4.18



รูปที่ 4.18 กราฟความสัมพันธ์กระแส  $I_{Lref}$  กับ  $I_m$

การควบคุมของวงจรบูสต์คอนเวอร์เตอร์แบบขนาน 4 โมดูลที่กล่าวถึงนี้คือ การทิ่งจรสสามารถจ่ายกระแส  $I_m$  ได้เท่ากับ  $I_{Lref}$  เมื่อจากผลการทดสอบในตารางที่ 4.5 เห็นได้ว่างจรสไม่สามารถที่จ่ายกระแส  $I_m$  เท่ากับ  $I_{Lref}$  ถูกต้อง 100 เปอร์เซ็นต์ ความผิดพลาดต่อคำสั่งของวงจรไม่เกิน 5 เปอร์เซ็นต์ ดังนั้นหาได้จาก

$$I_{Err} = \frac{I_{Lref} - I_m}{I_{Lref}} \times 100 \quad (4.1)$$

จากผลการทดสอบจุดที่พบความผิดพลาดสูงสุดคือที่คำสั่ง  $I_{Lref}$  มีค่า 15 นำมาคำนวณหาค่าความผิดพลาดโดยแทนค่าลงสมการที่ (4.1)

$$I_{Err} = \frac{15 - 14.8}{15} \times 100 = 1.34\%$$

เมื่อค่าผิดพลาดต่อคำสั่งสูงสุดของวงจรตัวนี้มีค่า 1.34 เปอร์เซ็นต์ ซึ่งอยู่ในขอบเขตที่ตั้งไว้คือ ไม่เกิน 5 เปอร์เซ็นต์ ประกอบกับการตอบสนองต่อคำสั่งของวงจรตัวนี้ในรูปที่ 4.18 ค่อนข้างเป็นเส้นตรง จึงสรุปได้ว่างวงจรบูสต์คอนเวอร์เตอร์แบบขนาน 4 โมดูลสามารถควบคุมได้เมื่อจ่ายกระแส  $I_{Lref}$  ไปยังระบบในช่วง 0 A ถึง 46 A

#### 4.5.2 ประสิทธิภาพของชุดวงจรคอนเวอร์เตอร์

ในการออกแบบวงจรบูสต์คอนเวอร์เตอร์แบบขนาด 4 มोดูล จะเป็นที่จะต้องคำนึงถึงปัจจัยที่สำคัญคือประสิทธิภาพของวงจร เนื่องจากเป็นตัวบวกคุณภาพของวงจรคอนเวอร์เตอร์ที่สร้างขึ้นว่ามีคุณภาพมากน้อยเพียงใด ดังนั้นในการทดสอบนี้เป็นการวิเคราะห์หาประสิทธิภาพของวงจรคอนเวอร์เตอร์โดยใช้วิธีการวัดกำลังไฟฟ้าทางด้านเข้าและกำลังไฟฟ้าทางด้านออกเพื่อคำนวณหาประสิทธิภาพ ( $\eta$ ) ดังแสดงในสมการที่ (4.2) งานวิจัยนี้ได้กำหนดประสิทธิภาพไม่น้อยกว่า 90 %

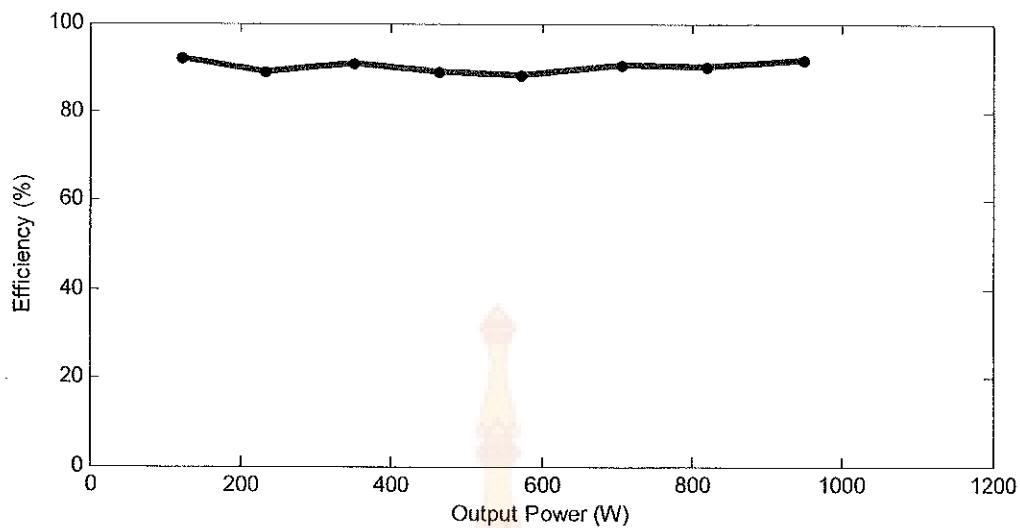
$$\eta = \frac{P_{out}}{P_{in}} \times 100 = \frac{V_o I_{out}}{V_{in} I_{in}} \times 100 \quad (4.2)$$

จากการทดสอบการส่งถ่ายพลังงานจากแหล่งจ่ายไฟฟ้าไปยังระบบด้วยค่ากระแส  $I_L$  ค่าต่างๆดังตารางที่ 4.2 คำนวนประสิทธิภาพของวงจรโดยแทนค่าลงสมการที่ (4.2) ประสิทธิภาพของวงจรบูสต์ดีซีทูดีซีคอนเวอร์เตอร์แบบขนาด 4 มोดูล ดัวนี้ดังปรากฏในตารางที่ 4.6 ซึ่งมีประสิทธิภาพเฉลี่ย 90.33 %

ตารางที่ 4.6 ประสิทธิภาพของบูสต์คอนเวอร์เตอร์แบบขนาด 4 มोดูล

$I_{Lref}$ (A)	$P_{in}$ (W)	$P_{out}$ (W)	$\eta$ (%)
5	130	120	92.30%
10	260	232	89.23%
15	384	349	90.88%
20	518	462	89.19%
25	647	571	88.25%
30	777	705	90.73%
35	906	818	90.28%
40	1032	947	91.76%

จากตารางที่ 4.6 สามารถนำมาเขียนเป็นกราฟแสดงประสิทธิภาพดังปรากฏในรูปที่ 4.19



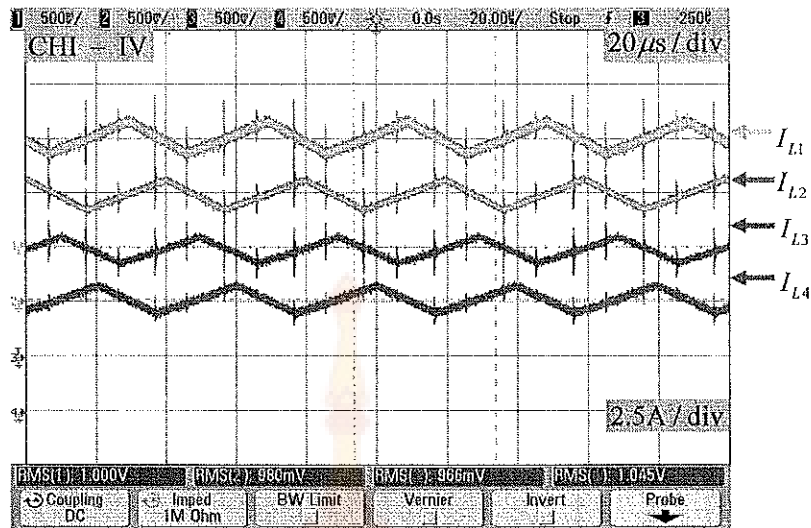
รูปที่ 4.19 กราฟประสิทธิภาพของบุสคอนเวออร์เตอร์แบบบานาน 4 โมดูล

#### 4.5.3 ความสามารถของการจ่ายกระแสแสวงจรบุสต์ดีซีทูดีซีคอนเวออร์เตอร์แบบบานาน 4 โมดูล

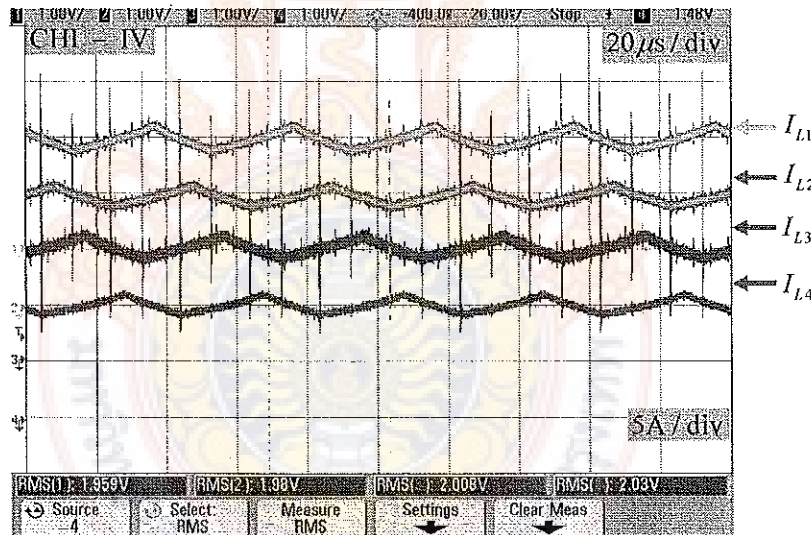
วัตถุประสงค์ของวงจรบุสต์คอนเวออร์เตอร์แบบบานาน 4 โมดูลต้องมีกระแสที่เหลื่อยในวงจรทั้ง 4 โมดูลเท่ากัน เพื่อลดการกระแสเพื่อมของกระแสเด้านอกพุ่ดให้น้อยลงกว่าวงจรบุสต์คอนเวออร์เตอร์แบบเดียวและจ่ายกระแสเท่ากันเพื่อให้วงจรแต่ละโมดูลมีภาระที่เท่ากัน

##### 4.5.3.1 การทดสอบในสภาพะคงตัว

ในสภาพะคงตัวของวงจรที่สร้างขึ้นมาจะต้องมีความสามารถในการขยายแรงดันได้ตรงกับที่ออกแบบไว้ และกระแสที่เหลื่อยผ่านตัวเหนี่ยวนำทั้ง 4 โมดูลจะต้องมีการแบ่งกระแสที่เท่ากันมีการเหลือมเฟสกัน 90 องศา การทดสอบนี้ใช้ความต้านทานปรับค่าได้ ต่อเป็นโหลดทางไฟฟ้าทางด้านเอาท์พุต โดยการทดสอบจะสั่งให้วงจรทำงานที่กระแสต่างกันแต่จะควบคุมแรงดันทางด้านเอาท์พุตคงที่ 60V โดยจะทำการปรับค่าความต้านทานที่ต่อเป็นโหลดของวงจรให้มีการเปลี่ยนแปลงค่าความต้านทาน มีผลการทดสอบแสดงดังภาพด่อไปนี้



รูปที่ 4.20 กระแสที่แหล่งผ่านขดลวดเหนี่ยวนำที่มีกระแสด้านอินพุต 20 A



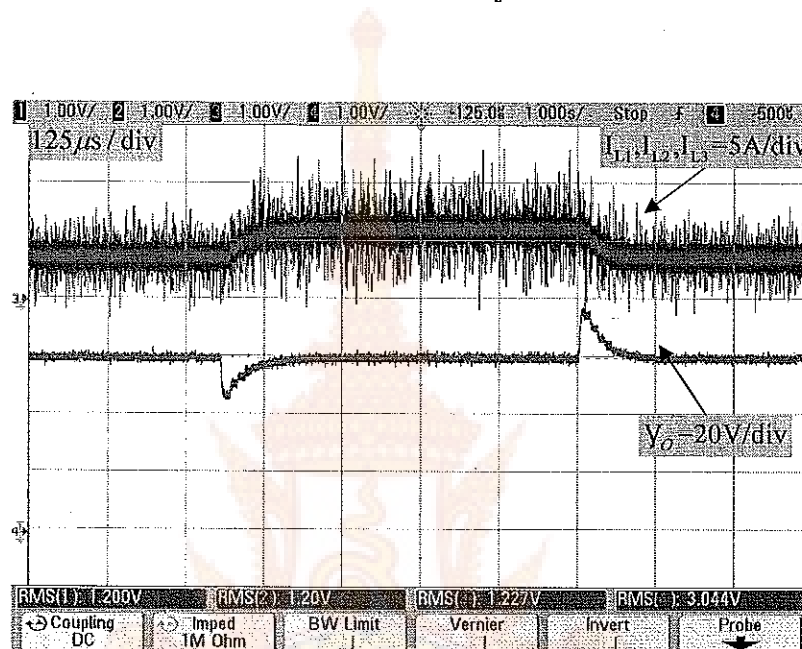
รูปที่ 4.21 กระแสที่แหล่งผ่านขดลวดเหนี่ยวนำที่มีกระแสด้านอินพุต 40 A

ซึ่งเป็นไปตามเป้าหมายที่วางไว้จากรูปที่ 4.20 พ布ว่างจรบุสต์ดีซีทูดีซีคอนเวอร์เตอร์แบบบานน์ที่สร้างขึ้นสามารถแบ่งจ่ายกระแสที่แหล่งผ่านขดลวดเหนี่ยวนำให้เท่ากันที่ 5 A ต่อวงจรดังนั้นกระแสรวมก็จะได้ 20 A และรูปที่ 4.21 พบว่างจรที่สร้างขึ้นสามารถแบ่งจ่ายกระแสที่แหล่งผ่านขดลวดเหนี่ยวนำให้เท่ากันที่ 10 A ต่อวงจร ดังนั้นกระแสรวมก็จะได้ 40 A จากการทดลองแสดงให้เห็นว่างจรที่สร้างขึ้นมีการแบ่งกระแสของขดลวดเหนี่ยวนำเท่าๆ กันทุก

วงจร โดยมีการเหลือมกันของสัญญาณสัญญาณและ 90 องศา และรักษาแรงดันทางด้านเอาท์พุตคงที่ไว้ได้

#### 4.3.3.2 การทดสอบในสภาวะชั่วครู่

การทดสอบนี้เป็นการทดสอบขณะมีการเปลี่ยนแปลงภาระอย่างทันทีทันใดเพื่อศึกษาผลตอบสนองของระบบที่มีต่อการเปลี่ยนแปลงภาระ โดยการเปลี่ยนแปลงกระแสจาก 15 A ไปที่ 25 A ผลการทดสอบระบบแสดงดังรูปที่ 4.22



รูปที่ 4.22 กระแสและแรงดันเอาท์พุตเมื่อเปลี่ยนแปลงภาระที่กระแสอินพุต 15A ไปที่ 25A

จากการทดสอบเมื่อมีการเปลี่ยนแปลงภาระที่กระแสด้านเข้า 15A ไปที่ 25A โดยจะพบว่าระบบยังคงรักษาเสถียรภาพไว้ได้ วงจรจะสามารถแบ่งจ่ายกระแสที่โหลดผ่านชุดลวดเหนี่ยวนำ แต่ละตัวได้เท่ากันที่ 3.75A ไปที่ 6.25A ต่อวงจร และระบบจะพยายามรักษาแรงดันทางด้านเอาท์พุตให้คงที่ไว้ได้

#### 4.6 สรุปผลการทดสอบ

การทดสอบของวงจรบูสต์ดีซีที่ค่อนเวอร์เตอร์แบบขนาน 4 โมดูล พบร่วมจะสามารถควบคุมการทำงานได้ตามที่ออกแบบเอาไว้ โดยควบคุมกระแสทางด้านอินพุต ( $I_{IN}$ ) ตามคำสั่งที่ส่งจากกระแสอ้างอิง ( $I_{Lref}$ ) ได้เป็นอย่างดี ซึ่งกระแสอ้างอิงมาจากการประมวลผลของไมโครคอนโทรลเลอร์ เมื่อทดสอบการจ่ายกระแสในช่วง 0-40 A โดยใช้สัญญาณคำสั่ง 0-10 A มีค่าความผิดพลาดของกระแสที่ให้หลังในวงจรต่อสัญญาณคำสั่ง ไม่เกิน 5 เปอร์เซ็นต์ การทำงานของวงจรบูสต์ดีซีที่ค่อนเวอร์เตอร์แบบขนาน 4 โมดูล มีการแบ่งกระแสที่เท่ากันมีการเหล็อมเฟสกัน 90 องศา สามารถควบคุมแรงดันทางด้านเอาท์พุตให้คงที่ 60V และมีประสิทธิภาพเฉลี่ยในการทำงาน 90.33 เปอร์เซ็นต์



## บทที่ 5

### สรุปผลการวิจัยและข้อเสนอแนะ

#### 5.1 สรุปผลการวิจัยที่ได้จากการทดลอง

ในงานวิจัยนี้ได้ศึกษาค้นคว้าข้อมูลของเซลล์แสงอาทิตย์จำนวน 1 แผงและ 2 แผงเพื่อเก็บข้อมูลกระแสและแรงดันของเซลล์แสงอาทิตย์ในสภาพแวดล้อมของประเทศไทย จากนั้นนำข้อมูลที่ได้มาสร้างแบบจำลองเซลล์แสงอาทิตย์ด้วยโปรแกรม Matlab/Simulink และควบคุมแหล่งจ่ายไฟฟ้ากระแสตรงแบบโปรแกรมขนาด 1 kW เพื่อเป็นอินพุตให้กับวงจรบูสต์คอนเวอร์เตอร์แบบขนาด 4 โมดูลได้ จากการออกแบบสร้างวงจรบูสต์คอนเวอร์เตอร์แบบขนาด 4 โมดูล โดยใช้เทคนิคการอินเตอร์ลีฟใหม่การเหลือมเฟสกระแสเดียวอินพุต เพื่อเป็นแนวทางในการพัฒนาและประยุกต์ใช้งานคอนเวอร์เตอร์ที่เหมาะสมสำหรับการใช้งานร่วมกับแหล่งจ่ายพลังงานไฟฟ้าจากพลังงานทดแทนและแบตเตอรี่ โดยใช้การควบคุมกระแสด้วยลูปปิดของกระแสด้วยปีไอคอนโทรลแบบแอนalog ทำงานในโหมดกระแสไฟฟ้าต่อเนื่อง โดยประยุกต์ใช้การขนาดวงจรคอนเวอร์เตอร์ด้วยเทคนิคการอินเตอร์ลีฟ (Interleaved Technique) เพื่อลดการกระแสเพื่อมกระแสของแหล่งกำเนิดพลังงานไฟฟ้ากระแสตรง ระบบนี้ถูกออกแบบให้ทำงานที่พิกัดแรงดันด้านอินพุต 26 V 40 A แรงดันด้านเอาต์พุต 60 V และมีกำลังไฟฟ้าด้านเอาต์พุตสูงสุด 1 kW ทดสอบได้ประสิทธิภาพเฉลี่ย 90.3 %

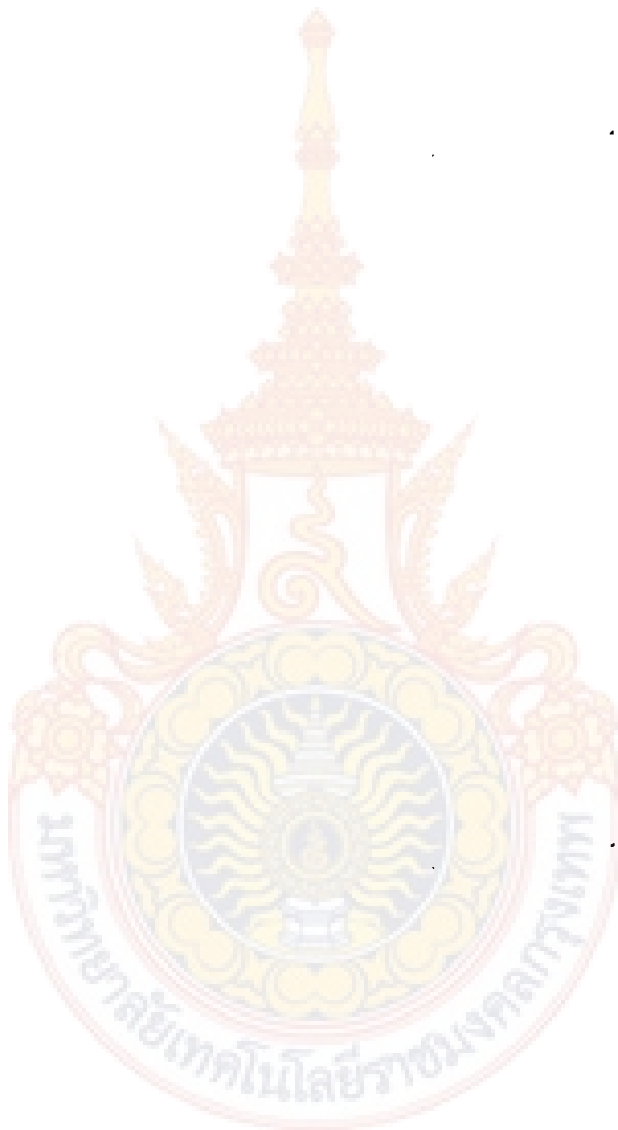
#### 5.2 ข้อเสนอแนะ

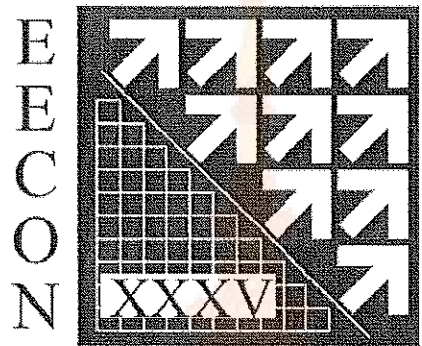
ในงานวิจัยนี้มีจุดที่ต้องปรับปรุงแก้ไขคือ

- 5.2.1 พัฒนาระบบชุดควบคุมลุปปีกกระแสของคอนเวอร์เตอร์ ที่มีการควบคุมแบบแอนalog มาเป็นการควบคุมด้วยตัวประมวลผลสัญญาณแบบดิจิตอล
- 5.2.2 หากต้องการลดกำลังสูญเสียที่เกิดจากการสวิตช์ให้น้อยลง จึงควรออกแบบวงจรควบคุมที่ใช้เทคนิคสวิตช์แบบซอฟต์สวิตช์ (Soft Switch) ควรใช้มอสเฟตกำลัง ที่สามารถกระแสได้สูงๆ เมื่อแรงดันเดิมเพิ่มมากขึ้น
- 5.2.3 ปรับปรุงการออกแบบวงจรกำลังของคอนเวอร์เตอร์ให้มีขนาดเล็กลง

### 5.3 ผลงานตีพิมพ์ในการประชุมวิชาการ

บทความเรื่อง “การควบคุมบุสต์ดีซีทูดีซีคอนเวอร์เตอร์แบบขานน 4 มोดูลด้วยเทคโนโลยีอินเตอร์ลีฟ” นำเสนอในการประชุมวิชาการทางวิศวกรรมไฟฟ้า ครั้งที่ 35 มหาวิทยาลัยกรุงเทพ เป็นเจ้าภาพ จัดการประชุม ณ. โรงแรมรอยัลชิล กอล์ฟ แอนด์ รีสอร์ต จังหวัดนครนายก





The 35<sup>th</sup> Electrical Engineering Conference (EECON-35)



การควบคุมปัจจัยที่มีผลต่อรับรู้แบบบานาน 4 โมดูลด้วยเทคนิคอินเตอร์ลิฟ

Control of 4 Modules Parallel Boost Dc to dc Converter using Interleaved Technique

สารนิพัล คุ้มครองชีวิตรักษาสุขภาพ 'บุญช่วย เจริญผล' และพินิจ เทพสาคร<sup>2</sup>

<sup>1</sup> สาขาวิชาศิลปกรรมไทย คณะศิลปกรรมศาสตร์ มหาวิทยาลัยเทคโนโลยีราชมงคลรุจ្សาห์  
เลขที่ 2 ถนนนмагลันซ์ แขวงทุ่งมหาเมฆ เขตสาทร กรุงเทพมหานคร 10120 E-mail: kobmoo@hotmail.com

<sup>2</sup> ภาควิชาวิศวกรรมไฟฟ้า คณะวิศวกรรมศาสตร์ มหาวิทยาลัยคริสต์จักรวิโรฒ องครักษ์

ถนนรังสิต-นครนายก ถ้ำแก่องครรษณ์ จังหวัดนครนายก E-mail: pinit@swu.ac.th

บทคัดย่อ

คำสำคัญ: บุสตีชีทุติเช็คโอนเวอร์เดอร์, ตัวควบคุมแบบพื้นที่, เทคนิกอินเตอร์เฟซ

### **Abstract**

This article presents the design and control of a 4 modules parallel boost dc to dc converter in order to reduce the input ripple current and increase power. The boost dc to dc converter is 4 parallel circuits. The controller is a Proportional plus Integrator (PI controller) and using an interleaved control technique for decreasing input current ripple. The 4 modules parallel boost dc to dc converter step up output voltage to 60 V. The interleaved technique controlled the current to a value that equal in each module. The results shown that 4 modules parallel boost dc to dc converter are built to conform the output voltage regulation. The average of the current in each module was similar. The average efficiency of the purposed system is 90.33%.

**Keywords:** Boost dc to dc converter, PI Control, Interleaved Technique

## 1. ພາກນໍາ

ในปัจจุบันได้สนใจพัฒนาสะ勰ดที่ให้จากธรรมชาตินา  
เปลี่ยนเป็นพลังงานไฟฟ้า และพลังงานทางเดือกใหม่ที่นำสนิใจ คือ  
เซลล์เชื้อเพลิง (Fuel Cell) ซึ่งสามารถเปลี่ยนรูปพลังงานเคมีเป็น  
พลังงานไฟฟ้าได้โดยตรงและไม่ก่อให้เกิดมลภาวะ เตชะแรงดันไฟฟ้าที่  
มีระดับแรงดันต่ำเงื่อนไขของระบุสตีชีทุกชีก่อนเวลาเรื่อง [1] เพื่อทำให้  
แรงดันมีขนาดสูงขึ้น และเพื่อให้สามารถจ่ายกำลังไฟฟ้าที่สูงได้ จึงนำ  
วงจรยูสตีชีทุกชีก่อนเวลาเรื่องต่อร่วมกัน [2], [3] ซึ่งเป็นการลดความ  
ร้อนเนื่องจากการสวิตช์ ทำให้ลดค่าความแปรゆดที่เกิดกับดัวอุปกรณ์กำลัง  
ผลทำให้อาญูใช้งานของวงจรกำลังและแบตเตอรี่ได้นานขึ้นในกรณีใช้  
งานกับรถไฟฟ้า เมื่อใช้เทคโนโลยีเดอร์สีฟในการควบคุมเวลาการสวิตช์  
ให้เหลือเพียง 90 องศา เพื่อลดการกระแสเพื่อมของกระแสทางด้าน  
อินพุตให้เบี้ยบเขี้ยวนและทำให้ความนำที่ต้องของระบบดีขึ้น

บทความนี้ได้นำเสนอทฤษฎีแบบจำลอง ไดนามิกของบุสต์เชิงคิด  
ซึ่งค่อนแควร์เตอร์แบบขานาน 4 ในชุด [4] เพื่อนำแบบจำลองที่ได้มา<sup>1</sup>  
ออกแบบพัฒนากุณที่ໄอยในวงรอบการกระแสและแรงดัน ให้สามารถเบ่ง<sup>2</sup>  
จ่ายกระแสระหว่างค่อนแควร์เตอร์ทั้ง 4 ในชุดให้สมดุลกัน การควบคุม<sup>3</sup>  
กระแสใช้การควบคุมแบบแอนาลอก ส่วนการควบคุมแรงดันแบบ<sup>4</sup>  
ดิจิตอลด้วยไปริคอน ໂປຣເලກອະເບົ່ງ dsPIC30F4011

## 2. ห้องปฏิที่เกี่ยวข้อง

### 2.1 เทคนิคการอินไซต์พีพี

เทคนิคการอินเตอร์วิฟสามารถสร้างได้ด้วยการนำเอาสัญญาณขับน้ำสวิตช์ของจริงมาสอดคล้องกับเวลาการทำงาน แล้วกำหนดให้สูงสุดของล็อตภูมิที่จ้างนำเสนอสวิตช์ให้เหลืออีกเวลาการทำงานอีกน้อยไปเพื่อให้วางขอสั่นการทำงานซึ่งกันและกันโดยจะแบ่งมุ่งการทำงานของสัญญาณขับน้ำสวิตช์ให้ครบกันพอเดียวแต่ละหนึ่งรอบเวลาการทำงาน ( $360/k$ ) ซึ่งจะขึ้นอยู่กับจำนวนวงจร ( $k$ ) ที่นำมาอินเตอร์วิฟกันและมีความถี่ของการสวิตช์ที่มาก กับ และหลักการนี้จะทำให้ขนาดของกระดังกล้องได้

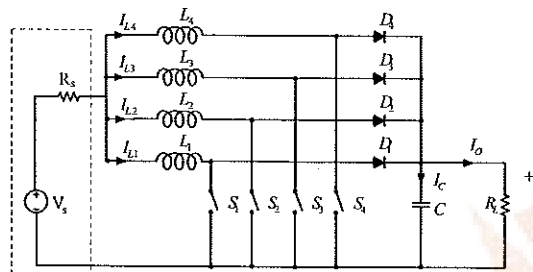
### 3. ออกรูปแบบสตีชีทุกคี่ซึ่ค่อนเวอร์เตอร์แบบบานาน 4 โมดูล

#### 3.1 ออกรูปแบบวงจรภาคกำลัง

วงจรกำลังของวงจรบูตซีชีทุกคี่ซึ่ค่อนเวอร์เตอร์แบบบานาน 4 โมดูล จะประกอบไปด้วยอุปกรณ์ที่สำคัญ คือด้านหนึ่งยาน้ำความถี่สูง mosfet ที่ทำตัวเป็นสวิตช์ ตัวเป็นประจุทางด้านเอาต์พุต วงจรกำลัง ที่องมีความสามารถทำงานให้ที่พิสิทธิ์กระแส และความถี่สวิตช์ที่ใช้ใน บทความนี้คือ  $25 \text{ kHz}$  สมการแรงดันทางด้านเอาต์พุตของวงจร สามารถที่ (1) และใช้สมการที่ (2) ในการออกแบบตัวหนี่ยวนำให้วางร หางงานในโหนดกระแสไฟลอดต่อเนื่อง (CCM) [1]

$$V_o = \frac{V_s}{1-D} \quad (1)$$

$$L_{cri}(V_s, f) = \frac{V_s(1 - \frac{V_s}{V_o})}{f P_o / 0.9 V_s} \quad (2)$$



รูปที่ 1 วงจรบูตซีชีทุกคี่ซึ่ค่อนเวอร์เตอร์แบบบานาน 4 โมดูล

#### 3.2 แบบจำลองของวงจรค่อนเวอร์เตอร์และออกแบบวงจรควบคุม

โหนดกระแสต่อเนื่องสามารถเขียนสมการเชิงอนุพันธ์ที่อ้อมอิบาก การทำงานและหาแบบจำลองได้โดยพิจารณาตัวแปร โคนามิก คือ  $i_L(t)$ ,  $v_c(t)$  และเงื่อนไขสวิตช์ที่กำลังจะได้สมการที่ (3)-(4) [4]

$$\frac{di_L(t)}{dt} = \frac{V_s(t) - R_s \sum_{k=1}^4 i_{lk}(t) \frac{1-s_k(t)}{L_k}}{L_k} v_c(t) \quad (3)$$

$$\frac{dv_c(t)}{dt} = \frac{1}{C} \sum_{k=1}^4 [1-s_k(t)] i_{lk}(t) - \frac{1}{R_L C} v_c(t) \quad (4)$$

เมื่อ  $S_k(t) \in \{0,1\}$  คือสัญญาณสวิตช์  $k = \{1, 2, 3, 4\}$  คือลำดับโมดูล  $R_s$  คือความต้านทานด้านแหล่งจ่าย และ  $R_L$  คือความต้านทานโหลด และเมื่อพิจารณาให้กระแสสิ่งในแต่ละโหนดเท่ากันจะได้กระแสรวม  $i_L(t)$  ตามสมการที่ (5) และสมการเชิงอนุพันธ์ในสมการที่ (6)-(7)

$$i_L(t) = \sum_{k=1}^4 i_{lk}(t) \quad (5)$$

$$\frac{di_L(t)}{dt} = \frac{4}{L} v_i(t) - \frac{4}{L} R_s i_L(t) - \frac{4}{L} [1-D(t)] v_c(t) \quad (6)$$

$$\frac{dv_c(t)}{dt} = \frac{[1-D(t)]}{C} i_L(t) - \frac{1}{R_L C} v_c(t) \quad (7)$$

แล้วเมื่อพิจารณาที่บุคหางงานมีสัญญาณรบกวนขนาดเล็กดังนี้

$$V_s(t) = V_{s0} + \tilde{v}_s(t), i_L(t) = i_{L0} + \tilde{i}_L(t), v_c(t) = V_{c0} + \tilde{v}_c(t), D(t) = D_0 + \tilde{d}(t)$$

โดยกำหนดอัตราเปลี่ยนแรงดัน  $M_0 = V_c/V_s$  จะได้ค่า  $D_0, i_{L0}$  คือ

$$D_0 = 1 - \frac{1}{2M_0} - \sqrt{\frac{1}{4M_0^2} - \frac{R_s}{R_L}} \quad (\text{CCM}) \quad (8)$$

$$i_{L0} = \frac{M_0 V_{s0}}{R_L (1 - D_0)} \quad (\text{CCM}) \quad (9)$$

$$\text{จากสมการเดียวกัน} \quad \dot{x} = \mathbf{A}_{CCM} x + \mathbf{B}_{CCM} u \quad (10)$$

$$\text{เมื่อกำหนดตัวแปรสเตทก็อ } x = [\tilde{i}_L(t) \ \tilde{v}_c(t)], u = [\tilde{v}_s(t) \ \tilde{d}(t)]$$

$$\mathbf{A}_{CCM} = \begin{bmatrix} -\frac{R_s}{L/4} & \frac{(1-D_0)}{(L/4)} \\ \frac{(1-D_0)}{C} & -\frac{1}{R_L C} \end{bmatrix}, \quad \mathbf{B}_{CCM} = \begin{bmatrix} -\frac{1}{L/4} & \frac{M_0 V_{s0}}{(L/4)} \\ 0 & -\frac{M_0 V_{s0}}{R_L C (1 - D_0)} \end{bmatrix} \quad (11)$$

จากนั้นทำการแปลงสมการเดียวกันเป็นฟังก์ชันถ้าไซโอนเพื่อนำไป ออกแบบตัวควบคุมวงจรรับกระแสในโหนดกระแสต่อเนื่อง

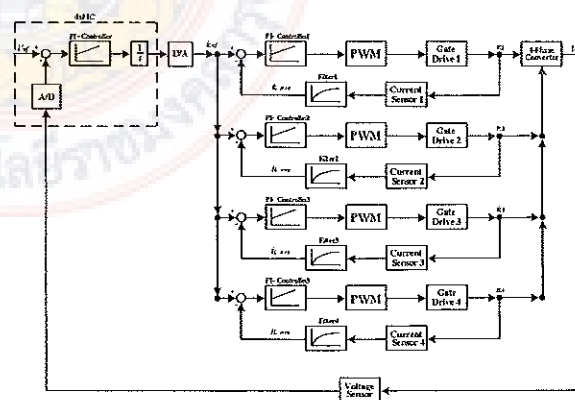
$$G_i(s) = \frac{\tilde{i}_L(s)}{\tilde{d}(s)} = \frac{4}{L} M_0 V_{s0} \left[ s + \frac{2}{R_L C} \right] / \left[ s^2 + s \left( \frac{1}{R_L C} + \frac{4R_s}{L} \right) + \frac{4}{LC} \left( (1-D_0)^2 + \frac{R_s}{R_L} \right) \right] \quad (12)$$

จากฟังก์ชันถ้าไซโอนจากสมการหาผลของการ ได้คือ

$$S_{1,2} = -\frac{1}{2} \left( \frac{1}{R_L C} + \frac{4R_s}{L} \right) \pm \sqrt{\left( \frac{1}{2R_L C} + \frac{4R_s}{2L} \right)^2 - \frac{4}{LC} \left( (1-D_0)^2 + \frac{R_s}{R_L} \right)} \quad (13)$$

$$\text{ให้ } \frac{4}{LC} (1-D_0)^2 \gg \left( \frac{1}{2R_L C} \right)^2 \Rightarrow S_{1,2} \approx -\frac{1}{2R_L C} \mp j \sqrt{\frac{4}{LC} (1-D_0)} \quad (14)$$

การควบคุมวงจรกระแสโดยใช้การป้อนกลับด้วยตัวควบคุมแบบพื้นที่ โหนด 4 โหนดแกนในรูปที่ 2 สัญญาณกระแสที่ตัวหนี่ยวนำจะถูกวัดด้วย เซนเซอร์ ( $i_{Lx,mea}$ ) ท่านวงจรของความถี่ต่ำกว่าต่ำและเปรียบเทียบกับ ตัวควบคุมกระแสซึ่งอิงก่อนเข้าหัวควบคุมพื้นที่ที่ออกแบบด้วยวิธีทาง ความถี่  $K_{pc} = 1.85$   $K_{ic} = 142.85$  ก่อนที่จะสั่งให้สัญญาณ PWM ที่ ควบคุมการทำงานของอุปกรณ์สวิตช์ตามสัญญาณ  $\tilde{d}(t)$



รูปที่ 2 บล็อกค่าโหนดแกนวงจรควบคุมแรงดันและกระแสแบบกลับปีก

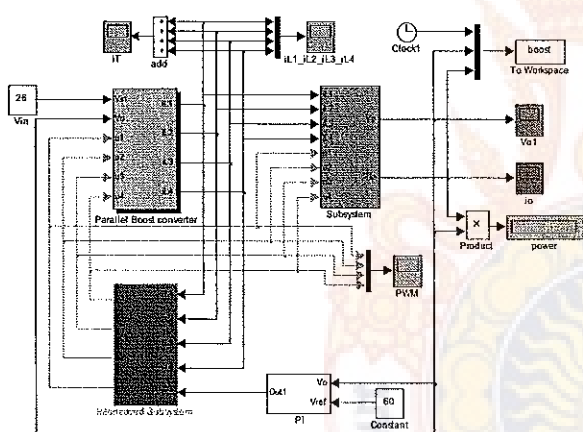
#### 4. ผลการทดสอบ

##### 4.1 การจำลองการทำงานของวงจรบูสต์คอนเวอร์เตอร์

ตารางที่ 1 พารามิเตอร์และค่าอุปกรณ์ที่ใช้งาน

รายการ/สัญลักษณ์	ค่า/หน่วย
แรงดันอินพุต ( $V_s$ )	26 V
แรงดันเอาต์พุต ( $V_o$ )	60 V
ตัวเหนี่ยวนำ ( $L_1 - L_4$ )	395 $\mu H$
ตัวเก็บประจุเอาต์พุต ( $C$ )	680 $\mu F$
ความถี่สั่นสะเทือน ( $f_s$ )	25 kHz
ความต้านทาน ( $R_s$ )	0.2
$K_{pc}, K_{ic}$	1.85, 142.85
$K_{pv}, K_{iv}$	0.25, 18

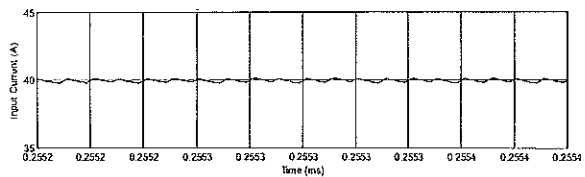
การจำลองการทำงานใช้โปรแกรม MATLAB/SIMULINK โดยใช้งานสวิตซ์คุณภาพดีและนำสมการเชิงอนุพันธ์ตัวแปร  $i_L$  และ  $v_c$  ในสมการที่ (3)-(4) มาสร้างค่าข้อมูลสำหรับ Simulink และทดสอบระบบควบคุมปั๊กตัวด้วยตัวควบคุมแบบฟิฟอฟท์อุปกรณ์เพื่อสูญเสียสนองในสภาพแวดล้อมเช่นนี้



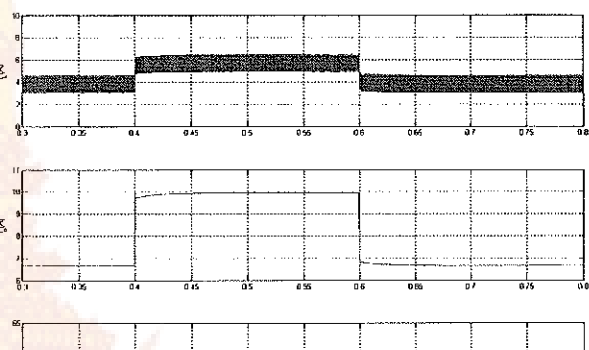
รูปที่ 3 จำลองด้วยโปรแกรม MATLAB/SIMULINK

##### 4.2 ผลการจำลองการทำงาน

ผลการจำลองในสภาพะอยู่ด้วยที่พิคค์ก้ามล์ไฟฟ้าเอาต์พุต 1 kW ในรูปที่ 4 แสดงกระแสตัวเหนี่ยวนำทั้ง 4 ในคุณ ซึ่งจะเห็นว่ากระแสรวมที่ได้มีกระแสเพิ่มที่ต่ำลง ในรูปที่ 5 แสดงผลจำลองการทำงานของวงจรแรงดันขั้นเบี่ยงโหลดแบบเปลี่ยนแปลงโดยระหว่าง 400-600W

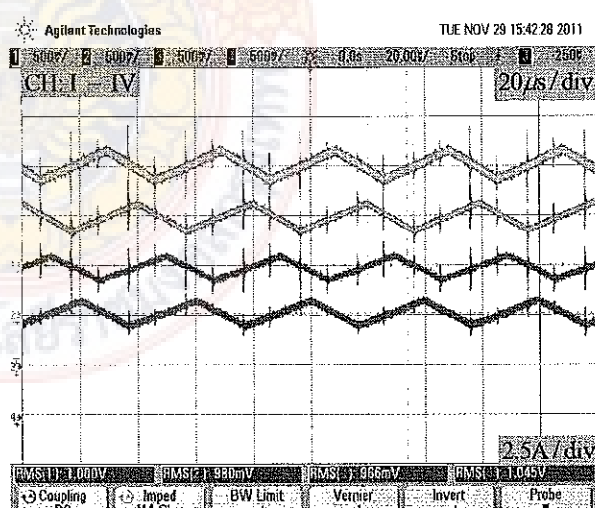


รูปที่ 4 กระแสอินพุต ( $i_L$ ) และกระแสของตัวเหนี่ยวนำ ( $i_{Lk}$ )

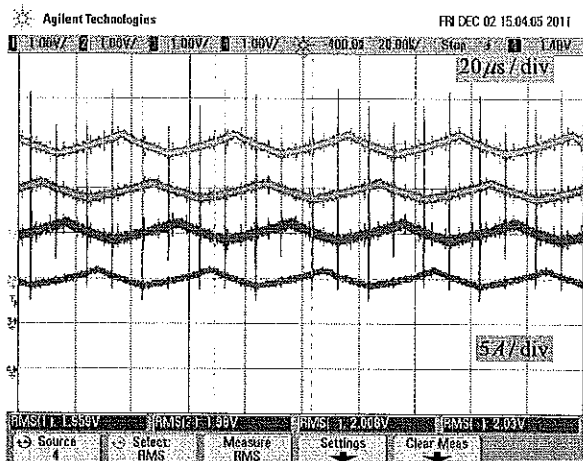


รูปที่ 5 กระแสตัวเหนี่ยวนำ ( $i_L$ ) กระแสเอาต์พุต ( $i_o$ ) และแรงดันเอาต์พุต ( $V_o$ ) ขณะเปลี่ยนแปลงโหลดระหว่าง 400-600W

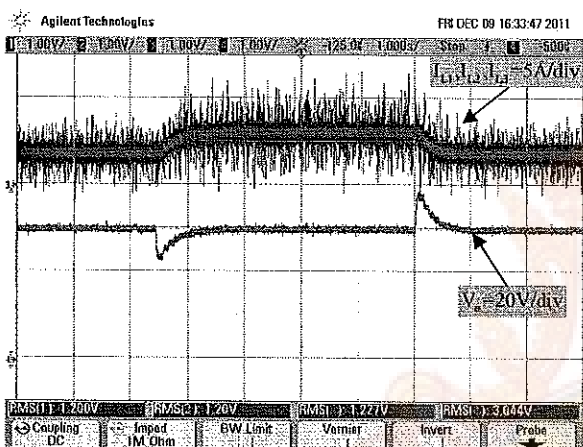
##### 4.3 ผลการทดสอบวงจรบูสต์ชีพที่ชีปคอนเวอร์เตอร์ 4 โมดูล



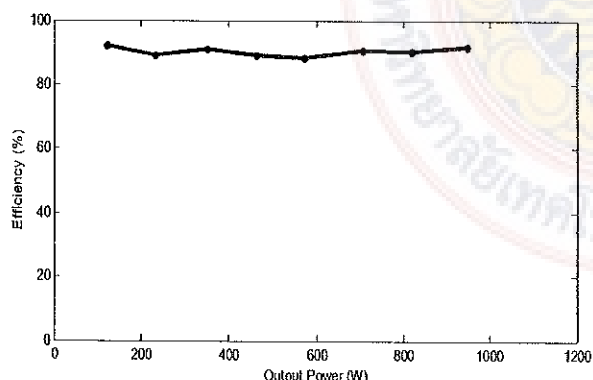
รูปที่ 6 กระแส  $i_{L1}, i_{L2}, i_{L3}, i_{L4}$  ที่กระแสตัวเหนี่ยวน้ำ 20 A



รูปที่ 7 กระแส  $i_{L1}, i_{L2}, i_{L3}, i_{L4}$  ที่กระแสต้านอินทุต 40 A



รูปที่ 8 กระแส  $i_{L1}, i_{L2}, i_{L3}$  และแรงดันทางต้านเอาท์พุต ( $V_o$ ) ขณะเปลี่ยนเบอร์จ่ายระหว่าง 400-600W



รูปที่ 9 กราฟประสิทธิภาพของวงจรบูสแบบนานา 4 โนดูล



รูปที่ 10 ภาพวงจรต้นแบบและทดสอบ

## 5. สรุปผล

วงจรบูสต์ซึ่งได้ซีคอนเวอร์เตอร์แบบนานา 4 โนดูล เป็นการนำเอางานรูบบกอนแนวๆ เตอร์มinalgานกัน เพื่อเพิ่มความสามารถในการจ่ายกำลังไฟฟ้าให้มากขึ้น และใช้เทคนิคบินเดอร์ดีฟ ทำให้การกระเพื่อมของกระแสทางต้านอินทุตมีขนาดลดลง จากผลการทดสอบการทำงานพบว่าการจัดการทำงานด้วยโปรแกรม MATLAB/SIMULINK ของวงจรบูสต์ซึ่งได้ซีคอนเวอร์เตอร์แบบนานา 4 โนดูลจะสอดคล้องกับวงจรบูสต์ซึ่งได้ซีคอนเวอร์เตอร์ที่สร้างขึ้น มีการแบ่งจ่ายกระแสเท่ากันเพื่อสัก 0 - 10 A และมีการเหลือเฟี้ยสกัน 90 องศา สามารถควบคุมแรงดันทางต้านเอาท์พุตให้คงที่ 60 V ผ่านการจ่ายกำลังไฟฟ้าสูงสุด 1 kW ประสิทธิภาพของระบบด้วยเบอร์มีค่าเฉลี่ยที่ 90.33 % เทคนิคนี้สามารถนำไปใช้งานกับวงจรยกระดับแรงดันไฟฟ้ากระแสตรงจากเซลล์เชื้อเพลิงหรือแบตเตอรี่ในรถไฟฟ้าได้

## เอกสารอ้างอิง

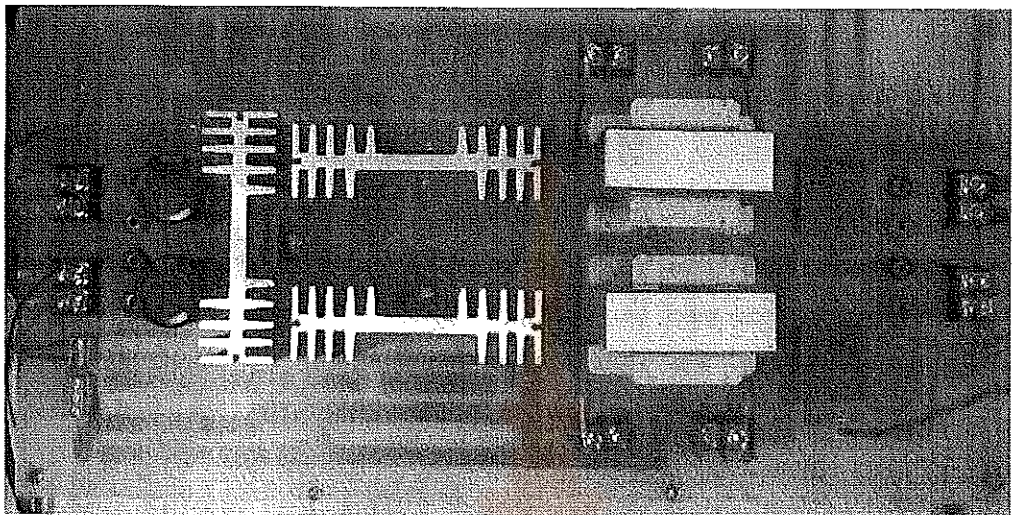
- [1] X. Huang, X. Wang, T. Nergaard, J.-S. Lai, X. Xu, L. Zhu, "Parasitic Ringing and Design Issues of Digitally Controlled High Power Interleaved Boost Converters", IEEE Trans. Power Electronics, Vo. 19, No. 5, Sep. 2004, pp. 1341-1351.
- [2] P. Thounthong, P. Sethakul, S. Rael, and B. Davat, "Design and Implementation of 2-Phase Interleaved Boost Converter for Fuel Cell Power Source," Proc. IET-PEMD 2008. York, UK. pp. 91-95.
- [3] P. Thounthong, P. Sethakul, and B. Davat "Modified 4-phase interleaved fuel cell converter for high-power high-voltage applications," ICIT'09, Monash University. pp. 440-445.
- [4] D.G. Holmes, B.P. McGrath, D. Segaran, and W.Y. Kong, "Dynamic Control of a 20 kW Interleaved Boost Converter for Traction Applications" Industry Applications Society Annual Meeting, 2008. IAS 2008, pp. 1-8.

## บรรณานุกรม

- [1] พงษ์ศิริ มุ่งพร, และปิยะพงศ์ สมอ่อน. 2551. “ตัวแปลงไฟฟ้ากระแสตรงแบบทบเร่งดัน ขนาด 4 เพส ที่กระแสเหลือมเพสสำหรับเซลล์ไฮโดรเจน”. วิทยานิพนธ์ปริญญา วิศวกรรมศาสตรบัณฑิต คณะครุศาสตร์อุตสาหกรรม มหาวิทยาลัยเทคโนโลยีพระจอมเกล้า พระนครเหนือ.
- [2] P. Thounthong , et al. February 2009. “Modified 4-phase interleaved fuel cell converter for high-power high-voltage applications.” Proceeding of the International Conference on Industrial Technology (ICIT'09), 2009. Monash University. 440-445.
- [3] J. Bryan, R. Duke, and S. Round, Decentralized generator scheduling in a nanogrid using DC bus signalling, IEEE Power Engineering Society Summer Meeting, 977 - 982, June, 2004.
- [4] J. Schonberger, R. Duke, and S. Round, DC Bus Signalling: A Distributed Control Strategy for a Hybrid Renewable Nanogrid, IEEE Transactions on Industrial Electronics, April 2005:
- [5] B. T. Irving and M. M. Jovanovic, “Analysis, Design, and Performance Evaluation of Droop Current-Sharing Method,” in IEEE APEC'00, pp. 235-241.



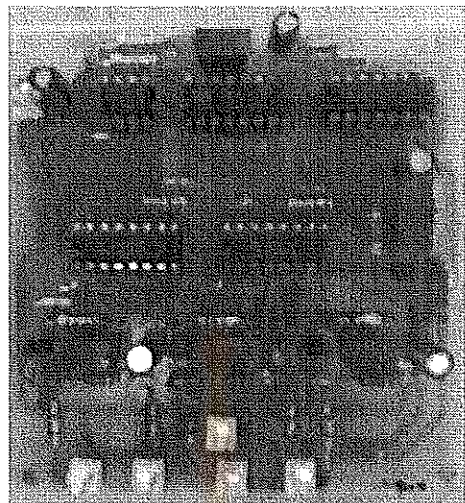
ภาคผนวก ก  
ภาพถ่ายชิ้นงาน



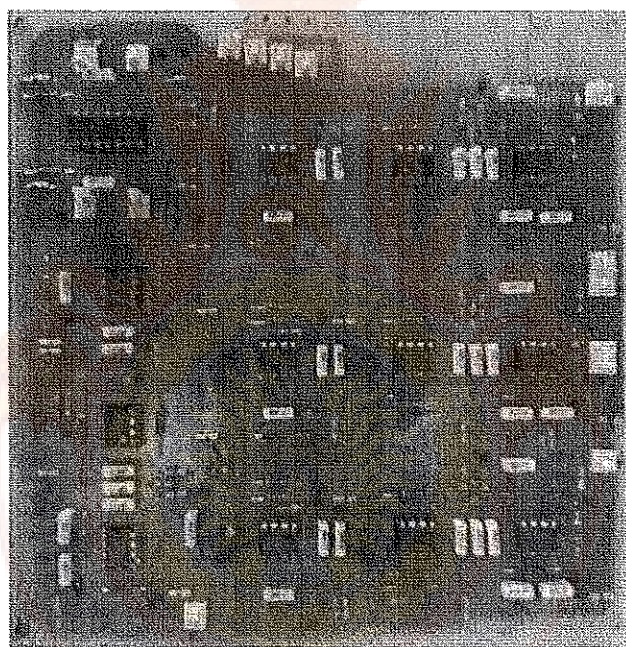
รูปที่ ก.1 ด้านบนของวงจรกำลัง



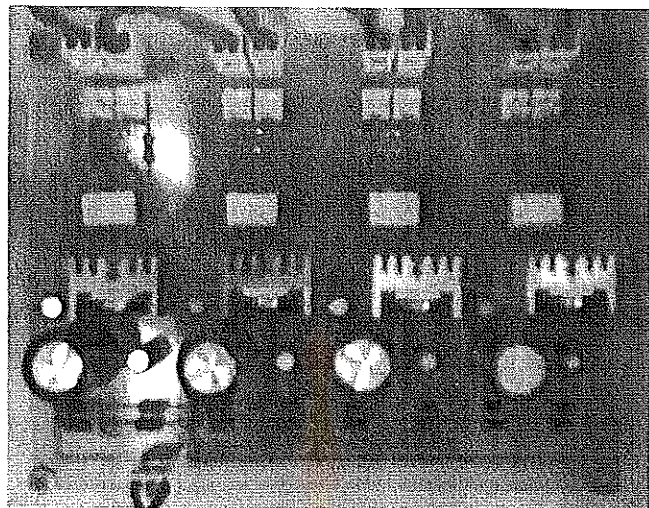
รูปที่ ก.2 ด้านข้างของวงจรกำลัง



รูปที่ ก.3 วงจรสร้างสัญญาณสามเหลี่ยม



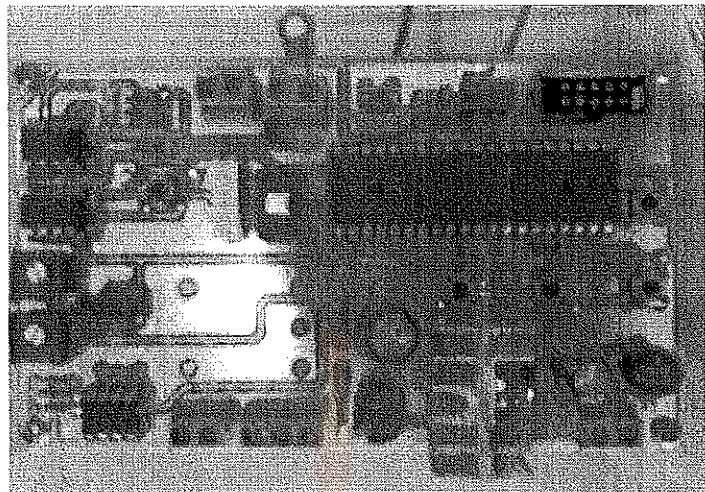
รูปที่ ก.4 วงจรควบคุมกระแสแบบพีไอและชุดสร้างสัญญาณ PWM



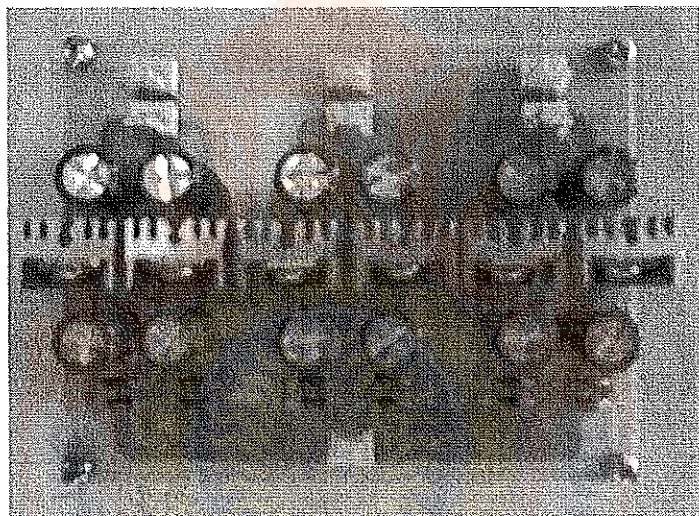
รูปที่ ก.5 วงจรขับเกต



รูปที่ ก.6 วงจรตรวจจับแรงดัน



รูปที่ ก.7 วงจรควบคุมรักษาระดับแรงดัน



รูปที่ ก.8 ไฟเลี้ยงชุดควบคุม

## โปรแกรมควบคุมการทำงาน

```
#include <p30f4011.h>
#include "stdio.h" // Used "sprintf" Function
#include <string.h>
#include <stdlib.h>
#include <math.h>
/*********************************************************/
_FOSC(CSW_FSCM_OFF & FRC_PLL16); // Fosc=16x7.5MHz, Fcy=30MHz
_FWDT(WDT_OFF); // Watchdog timer off
/**********************************************************MCP4011*****/
#define TRIS_F TRISF
#define MCP_SCK _LATF4
#define MCP_SI _LATF1
#define MCP_CS _LATF0
/********************************************************** PI *****/
//Define parameter
#define epsilon 0.1
#define dt 0.01
#define MAX 255.0
#define MIN -255.0
#define Kp 1.0
#define Ki 0.025
#define setpoint_volt 60.0
float OUTPUT_VOLT = 0.0;
/*********************************************************/
// Character LCD Interface Pins
#define TRIS_DATA_PIN_4 TRISBbits.TRISB0 // Direction D4
#define TRIS_DATA_PIN_5 TRISBbits.TRISB1 // Direction D5
#define TRIS_DATA_PIN_6 TRISBbits.TRISB2 // Direction D6
#define TRIS_DATA_PIN_7 TRISBbits.TRISB3 // Direction D7
#define TRIS_RS TRISBbits.TRISB4 // Direction RS
#define TRIS_RW TRISBbits.TRISB8 // Direction RW
#define TRIS_E TRISBbits.TRISB5 // Direction E

#define DATA_PIN_4 LATBbits.LATB0 // RD1 = D4 LCD
#define DATA_PIN_5 LATBbits.LATB1 // RD2 = D5 LCD
#define DATA_PIN_6 LATBbits.LATB2 // RD3 = D6 LCD
#define DATA_PIN_7 LATBbits.LATB3 // RD12 = D7 LCD
#define RS_PIN LATBbits.LATB4 // RD5 = RS LCD
#define RW_PIN LATBbits.LATB8 // RD4 = RW LCD
#define E_PIN LATBbits.LATB5 // RD13 = E LCD

#define READ_PIN_BUSY PORTBbits.RB3 // Read LCD Busy Pin

/* Display ON/OFF Control */
#define DON 0x0F // Display on
#define DOFF 0x0B // Display off
#define CURSOR_ON 0x0F // Cursor on
#define CURSOR_OFF 0x0D // Cursor off
#define BLINK_ON 0x0F // Cursor Blink
#define BLINK_OFF 0x0E // Cursor No Blink
/* Cursor or Display Shift */
#define SHIFT_CUR_LEFT 0x13 // Cursor shifts to the left
#define SHIFT_CUR_RIGHT 0x17 // Cursor shifts to the right
#define SHIFT_DISP_LEFT 0x1B // Display shifts to the left
#define SHIFT_DISP_RIGHT 0x1F // Display shifts to the right
```

```

char lcd_buf[16]; // "sprint" LCD Buffer
/* Function Prototypes */
void Initial_4bitLCD(void); // Initial LCD Interface
void SetCursor(unsigned char); // Set Cursor Address
void WriteCmdLCD(unsigned char); // Write Command
void WriteDataLCD(unsigned char); // Write Data
void Delay_tW_LCD(void); // Enable Pulse Delay
char Read_BusyLCD(void); // Read LCD Busy
void print_LCD(void); // Print String to LCD
void Delay(unsigned long int); // Delay Time Function
/*****************************************/
// Function prototypes
void configure_pins();
unsigned int read_analog_channel(int n);
void SetResister(unsigned char value);
unsigned char phase=0;
unsigned char value=0;
unsigned int i = 0;
unsigned char data_ = 0;
float VOLT = 0;
long Volt = 0;
float Volt_ = 0;
float Volt_1 = 0;
unsigned int A=0;

/**************************************** PI*******/
float PIcal(float setpoint,float actual_position)
{
    static float pre_error = 0;
    static float integral = 0;
    float error;
    float derivative;
    float output;
    error = setpoint - actual_position;
    if((error<0.05)&&(error>-0.05)) error = 0;
    //In case of error too small then stop intergration
    if(abs(error) > epsilon)
    {
        integral = integral + error*dt;
    }
    output = Kp*error+ Ki*integral;
    if(output > MAX)
    {
        output = MAX;
    }
    else if(output < MIN)
    {
        output = MIN;
    }
    pre_error = error;
    return output;
}
/****************************************MCP4011*******/
void SetResister(unsigned char value)
{
    unsigned char i,Cmd=0xDD;
    MCP_CS = 0;
    for (i=0; i<=7; i++)
    {

```

```

        data_ = (Cmd&0x80);
        if(data_==0x80) MCP_SI = 1;
        else if(data_==0x00) MCP_SI = 0;
        Cmd <= 1;
        MCP_SCK = 1;
        Delay(4000);      //4000
        MCP_SCK = 0;
    }
    for (i=0; i<=7; i++)
    {
        data_ = (value&0x80);
        if(data_==0x80) MCP_SI = 1;
        else if(data_==0x00) MCP_SI = 0;
        value <= 1;
        MCP_SCK = 1;
        Delay(4000);
        MCP_SCK = 0;
    }
    MCP_CS = 1;
}
/*************Read_volt***** */
void Read_volt(void)
{
    Volt = 0;
    Volt_ = 0;
    Volt_1 = 0;
    VOLT =0;
    unsigned int v=0;
    unsigned int i=0;
    for(A=0;A<10;A++)
    {
        for(i=0;i<1000;i++)
        {
            v = read_analog_channel(7);
            Volt = Volt+v;
            v = 0;
            Delay(2);
        }
        Volt_1 = Volt*0.001;
        Volt_ = Volt_+Volt_1;
        Volt = 0;
        Volt_1 = 0;
    }
    VOLT = (Volt_*0.1)*0.079500;           //====>>> 60V
    Volt_ = 0;
}

/*************soft_start***** */
void soft_start(void)
{
    unsigned int round;
    Read_volt();
    OUTPUT_VOLT = 101;                      //====>>>ILref = 1.0V
    i = 255-(unsigned int)OUTPUT_VOLT;
    phase = i;
    //SetResister(i);
    SetResister(phase);
    SetCursor(0x00); // Start Cursor Line-1
    sprintf(lcd_buf," Soft_Start ");
}

```

```

print_LCD();
SetCursor(0x40); // Start Cursor Line-2
sprintf(lcd_buf," Please Wait ");
print_LCD();
for(round=100;round>0;round--)Delay(50000);
for(round=30;round>0;round--)      //=====>>>set_delay_time_1
{
Read_volt();
SetResister(phase);
SetCursor(0x00); // Start Cursor Line-1
sprintf(lcd_buf,"Volt:%3.1f V.    ",VOLT);
print_LCD();
SetCursor(0x40); // Start Cursor Line-2
sprintf(lcd_buf,"ILref: %2.3f V    ",(255-i)* 0.009900200);
print_LCD();
Delay(1000);           //=====>>>set_delay_time_2
}
SetCursor(0x00); // Start Cursor Line-1
sprintf(lcd_buf," Program PI    ");
print_LCD();
SetCursor(0x40); // Start Cursor Line-2
sprintf(lcd_buf," Status:Ready ");
print_LCD();
for(round=100;round>0;round--)Delay(50000);
}

int main(void)
{
/* Start of PLL Config Fcy = 40MIPS */
//CLKDIV &= 0xFFE0; // PLLPRE[4..0] = 00000 (N1=2)
//CLKDIV &= 0xFF3F; // PLLPOST[1:0] = 00 (N2=2)
//PLLFB0 = 0x26; // PLLDIV[8..0] = 000100110(M=40)
//while(!OSCCONbits.LOCK); // Wait PLL to Lock
//OSCCONbits.CLKLOCK = 1; // Disable PLL Modify
/* End of PLL Config Fcy = 40MIPS */
    Initial_4bitLCD(); // Initial LCD 4 Bit Interface
// Set up which pins are which
    configure_pins();
// Loop Print Message to LCD16 x 2 //
    TRIS_F = 0x00;
//*****soft_start();
//*****while(1)

// Loop Continue
{
    Read_volt();
//*****float PIcal(float setpoint,float actual_position)
//i = 255-(unsigned int)PIDcal(setpoint_volt,VOLT);
    OUTPUT_VOLT = OUTPUT_VOLT+PIcal(setpoint_volt,VOLT);
    if(OUTPUT_VOLT<0) OUTPUT_VOLT=0;
    if(OUTPUT_VOLT>255) OUTPUT_VOLT=255;
    i = 255-(unsigned int)OUTPUT_VOLT;
    if(i<=42) i = 42;           //====>>>Volt Max 255-213(2.1V)=42
    phase = i;
//*****SetResister(phase);
}

```

```

SetCursor(0x00); // Start Cursor Line-1
sprintf(lcd_buf,"VOLT:%3.1f V.    ",VOLT);
print_LCD();
SetCursor(0x40); // Start Cursor Line-2
sprintf(lcd_buf," ILref: %2.3f V ",(255-i)* 0.009861400);=>>Iref(2.1/255)
print_LCD();
Delay(10);
}
}

/*************Initial 4Bit LCD***** */
void Initial_4bitLCD(void)
{
    TRIS_DATA_PIN_4 = 0; // Set Port Direction = Output
    TRIS_DATA_PIN_5 = 0;
    TRIS_DATA_PIN_6 = 0;
    TRIS_DATA_PIN_7 = 0;
    TRIS_RS = 0;
    TRIS_RW = 0;
    TRIS_E = 0;
    DATA_PIN_4 = 1; // Start 4 Bit Initial
    DATA_PIN_5 = 1;
    DATA_PIN_6 = 0;
    DATA_PIN_7 = 0;
    RS_PIN = 0; // Instruction Select
    RW_PIN = 0; // Write Select
    E_PIN = 0; // Disable LCD Read/Write
    Delay(600000); // Power-ON Delay (minimum of 15ms)
    DATA_PIN_4 = 1; // Start 4 Bit Initial
    DATA_PIN_5 = 1;
    DATA_PIN_6 = 0;
    DATA_PIN_7 = 0;
    RS_PIN = 0; // Instruction Select
    RW_PIN = 0; // Write Select
    E_PIN = 1; // Strobe High Nibble
    Delay_tW_LCD(); // Enable Pulse Delay
    E_PIN = 0;
    // Wait 4.1mS
    Delay(164000); // Wait 4.1 mS
    DATA_PIN_4 = 1; // Start 4 Bit Initial
    DATA_PIN_5 = 1;
    DATA_PIN_6 = 0;
    DATA_PIN_7 = 0;
    RS_PIN = 0; // Instruction Select
    RW_PIN = 0; // Write Select
    E_PIN = 1; // Strobe High Nibble
    Delay_tW_LCD(); // Enable Pulse Delay
    E_PIN = 0;
    Delay(4000); // Wait 100us
    WriteCmdLCD(0x32); // Start Function Set 4Bit LCD Interface
    WriteCmdLCD(0x28); // Function Set (DL=0 4-Bit,N=1 2 Line,F=0 5X7)
    WriteCmdLCD(0x0C); // Display on/off Control (Entry Display,Cursor
off,Cursor not Blink)
    WriteCmdLCD(0x06); // Entry Mode Set (I/D=1 Increment,S=0 Cursor Shift)
    WriteCmdLCD(0x01); // Clear Display (Clear Display,Set DD RAM Address=0)
}
/*
*****Set Cursor Address LCD***** */
void SetCursor(unsigned char address)
{
    RS_PIN = 0; // Select Instruction
}

```

```

RW_PIN = 0; // Write Select
DATA_PIN_7 = 1; // DB7 Must be 1 For Setting DDRam ADDR
DATA_PIN_6 = ((address & 0x40)>>6);
DATA_PIN_5 = ((address & 0x20)>>5);
DATA_PIN_4 = ((address & 0x10)>>4);
E_PIN = 1; // Strobe High Nibble
Delay_TW_LCD(); // Enable Pulse Delay
E_PIN = 0;
Delay_TW_LCD(); // Enable Pulse Delay
RS_PIN = 0; // Select Instruction
RW_PIN = 0; // Write Select
DATA_PIN_7 = ((address & 0x08)>>3);
DATA_PIN_6 = ((address & 0x04)>>2);
DATA_PIN_5 = ((address & 0x02)>>1);
DATA_PIN_4 = ((address & 0x01)>>0);
E_PIN = 1; // Strobe Low Nibble
Delay_TW_LCD(); // Enable Pulse Delay
E_PIN = 0;
while(Read_BusyLCD()); // Wait LCD Ready
}
/************* Write Command to LCD*******/
void WriteCmdLCD(unsigned char cmd)
{
    RS_PIN = 0; // Select Instruction
    RW_PIN = 0; // Write Select
    DATA_PIN_7 = ((cmd & 0x80)>>7);
    DATA_PIN_6 = ((cmd & 0x40)>>6);
    DATA_PIN_5 = ((cmd & 0x20)>>5);
    DATA_PIN_4 = ((cmd & 0x10)>>4);
    E_PIN = 1; // Strobe High Nibble
    Delay_TW_LCD(); // Enable Pulse Delay
    E_PIN = 0;
    Delay_TW_LCD(); // Enable Pulse Delay
    RS_PIN = 0; // Select Instruction
    RW_PIN = 0; // Write Select
    DATA_PIN_7 = ((cmd & 0x08)>>3);
    DATA_PIN_6 = ((cmd & 0x04)>>2);
    DATA_PIN_5 = ((cmd & 0x02)>>1);
    DATA_PIN_4 = (cmd & 0x01);
    E_PIN = 1; // Strobe Low Nibble
    Delay_TW_LCD(); // Enable Pulse Delay
    E_PIN = 0;
    while(Read_BusyLCD()); // Wait LCD Ready
}
/*************Write Data to LCD *****/
void WriteDataLCD(unsigned char data)
{
    RS_PIN = 1; // Select Data
    RW_PIN = 0; // Write Select
    DATA_PIN_7 = ((data & 0x80)>>7);
    DATA_PIN_6 = ((data & 0x40)>>6);
    DATA_PIN_5 = ((data & 0x20)>>5);
    DATA_PIN_4 = ((data & 0x10)>>4);
    E_PIN = 1; // Strobe High Nibble
    Delay_TW_LCD(); // Enable Pulse Delay
    E_PIN = 0;
    Delay_TW_LCD(); // Enable Pulse Delay
    RS_PIN = 1; // Select Data
    RW_PIN = 0; // Write Select
}

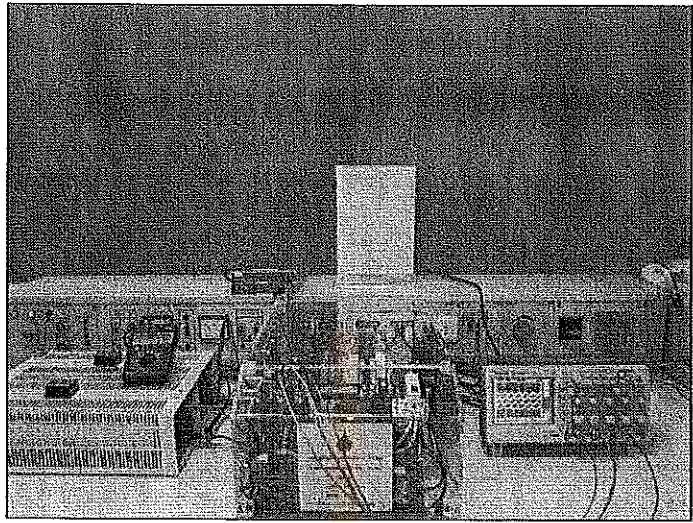
```

```

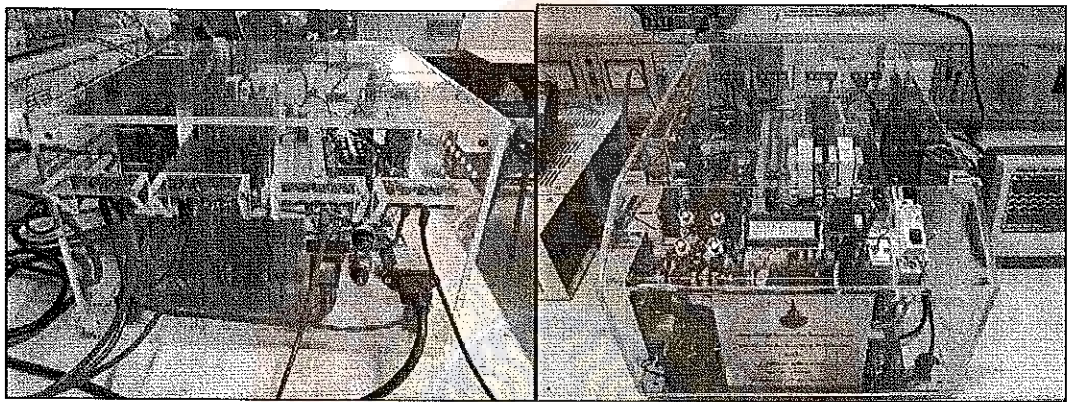
DATA_PIN_7 = ((data & 0x08) >> 3);
DATA_PIN_6 = ((data & 0x04) >> 2);
DATA_PIN_5 = ((data & 0x02) >> 1);
DATA_PIN_4 = (data & 0x01);
E_PIN = 1; // Strobe Low Nibble
Delay_tW_LCD(); // Enable Pulse Delay
E_PIN = 0;
while(Read_BusyLCD()); // Wait LCD Ready
}
/* *****Pulse Delay Write LCD *****/
void Delay_tW_LCD(void) // Enable Pulse Delay
{
    int i;
    for(i=0;i<500;i++); // Wait 10us
}
/* *****Wait LCD Ready***** */
char Read_BusyLCD(void)
{
    TRIS_DATA_PIN_7 = 1; // Set Port Direction = Input
    RW_PIN = 1; // Read Function Select
    RS_PIN = 0; // Instruction Select
    Delay_tW_LCD(); // Enable Pulse Delay
    E_PIN = 1; // Enable Read
    Delay_tW_LCD(); // Enable Pulse Delay
    if(READ_PIN_BUSY) // Verify Busy Flag
    {
        TRIS_DATA_PIN_7 = 0; // Set Port Direction = Output
        E_PIN = 0; // Disable Read
        return 1;
    }
    else
    {
        TRIS_DATA_PIN_7 = 0; // Set Port Direction = Output
        E_PIN = 0; // Disable Read
        return 0;
    }
}
/********* Print String to LCD *****/
void print_LCD(void)
{
    char *p; // Pointer Buffer
    p = lcd_buf; // LCD Buffer
    do // Get char & Print Until null
    {
        WriteDataLCD(*p); // Write char to UART1
        p++; // Next char
    }
    while(*p != '\0'); // End of ASCII (null)
    return;
}
/*********/
/* Delay Time Function */
/* 1-4294967296 */
/*********/
void Delay(unsigned long int count1)
{
    while(count1 > 0) {count1--;} // Loop Decrease Counter
}
/*********configure_pins*******/

```

```
void configure_pins()
{
    // Configure analog inputs
    TRISB = 0x0080;      // Port B all inputs          //0x01FF
    ADPCFG = 0xFF00;     // Lowest 8 PORTB pins are analog inputs
    ADCON1 = 0;           // Manually clear SAMP to end sampling, start
conversion
    ADCON2 = 0;           // Voltage reference from AVDD and AVSS
    ADCON3 = 0x0005;      // Manual Sample, ADCS=5 -> Tad = 3*Tcy
    ADCON1bits.ADON = 1; // Turn ADC ON
}
/*************Read_Analog*****/
unsigned int read_analog_channel(int channel)
{
    ADCHS = channel;        // Select the requested channel
    ADCON1bits.SAMP = 1;     // start sampling
    __delay32(30);          // 1us delay @ 30 MIPS
    ADCON1bits.SAMP = 0;     // start Converting
    while (!ADCON1bits.DONE); // Should take 12 * Tad = 1.2us
    return ADCBUF0;
}
```



รูปที่ ค.1 ขนาดทดสอบของจรบุสต์ดีซีทูดีซีคอนเวอร์เตอร์แบบขนาด 4 ไมล์



ภาพที่ ค.2 ด้านหน้าและด้านหลังกล่องบูสต์ดีซีทูดีซีคอนเวอร์เตอร์แบบขนาด 4 ไมล์

## ภาคผนวก ข

### ประวัตินักวิจัย

#### ประวัตินักวิจัยหลัก

- 1 ชื่อ และ นามสกุล** นายสมรรถ พุ่มกร้าวพิริย์  
Mr. Santaphon Koomsap
- 2 หมายเลขบัตรประชาชน** 3-1017-01699-82-0
- 3 ตำแหน่งปัจจุบัน** อาจารย์ระดับ 6  
สาขาวิชาที่ทำการวิจัย สาขาวิชาวารกรรมไฟฟ้า

#### 4 สถานที่ติดต่อ

- ที่ทำงานปัจจุบัน สาขาวิชาวารกรรมไฟฟ้า คณะวิชาวารกรรมศาสตร์  
มหาวิทยาลัยเทคโนโลยีราชมงคลกรุงเทพ เลขที่ 2 ถนนนางลินจี  
แขวงหุ่งหมาเมฆ เขตสาทร กรุงเทพฯ รหัสไปรษณีย์ 10120  
โทรศัพท์ 0 2286 9629
- ที่อยู่ปัจจุบัน 42-115 ซอยนิมิตใหม่ 6/1 หมู่บ้านพนาสนธ์ 4  
แขวงมีนบุรี เขตมีนบุรี กรุงเทพฯ 10510.  
E-mail santaphon.k@rmutk.ac.th

#### 5. ประวัติการศึกษา

ระดับ การศึกษา	อักษรย่อ ปริญญา	วิชาเอก	สถานศึกษา	ปีที่ สำเร็จ	ประเทศ
ปริญญาโท	ว.ค.ม.	วิชาวารกรรมไฟฟ้า	มหาวิทยาลัยเทคโนโลยีราชมงคลล้านนา	2554	ไทย
ปริญญาตรี	ว.ค.บ.	วิชาวารกรรมไฟฟ้า	มหาวิทยาลัยเทคโนโลยีราชมงคล กรุงเทพ	2544	ไทย

#### 6 สาขาวิชาการที่มีความชำนาญพิเศษ ระบบไฟฟ้ากำลัง พลังงานทดแทน

7. ประสบการณ์ที่เกี่ยวข้องกับการบริหารงานวิจัยทั้งภายในและภายนอกประเทศไทย โดยระบุ  
สถานภาพในการทำวิจัยว่าเป็นผู้อำนวยการแผนงานวิจัย หัวหน้าโครงการวิจัย หรือผู้ร่วมวิจัย  
ในแต่ละข้อเสนอวิจัย

##### 7.1 ผู้อำนวยการแผนงานวิจัย: ชื่อแผนงานวิจัย -

##### 7.2 หัวหน้าโครงการวิจัย: ชื่อโครงการวิจัย

- “เครื่องจำลองกังหันลมด้วยมอเตอร์เห็นได้ชัดที่มีการควบคุมแบบ Real-time (ปีงบประมาณ 2553) หัวหน้าโครงการและจบโครงการเรียบร้อย

- “เครื่องประจุแบบเดอร์รีแบบค่าตัวประกอบกำลังสูงสำหรับแบบเดอร์รีแบบบลิเตี้ยมไฮอนและแบบกรดตะกั่ว” (ปีงบประมาณ 2554) หัวหน้าโครงการและจบโครงการเรียบร้อย

7.3 งานวิจัยที่ทำเสร็จแล้ว: ชื่อผลงานวิจัย ปีที่พิมพ์ การเผยแพร่ และแหล่งทุน

- “Space Vector Pulse Width Modulation for Three Phases Inverter with Real-Time Control”, วันชัย ทรัพย์สิงห์, สรรพพล คุ้มทรัพย์, เวศิน ปิยรัตน์, EECON31, มหาวิทยาลัยศรีนครินทรวิโรฒ

-“Real-Time Wind Turbine Emulator for Testing Wind Energy Conversion Systems” ,

**Kumsup, S.** Tarasantisuk, C. , EnergyCON 2010, pp7-9

- “บูสต์ดีซีทูดีซีคอนเวอร์เตอร์แบบสามระดับที่มีการควบคุมแรงดันคงที่ด้วยตัวชดเชยแบบเฟส นำหน้า-เฟสล้าหลัง” EECON34, สรรพพล คุ้มทรัพย์ และชาญฤทธิ์ ราษันติสุข, มหาวิทยาลัยสยาม



ประวัติผู้จัดร่วม

Mr. Chanrit Tarasantisuk

2 หมายเลขบัตรประชาชน 3-2010-00133-45-4

### 3 ตำแหน่งปัจจุบัน

## อาจารย์พนักงานมหาวิทยาลัย

สาขาวิชานักวิเคราะห์เชิงนโยบายและการบริหารฯ

#### 4 สถานที่ติดต่อ

ที่ทำงานปัจจุบัน สาขาวิชาวิศวกรรมไฟฟ้า คณะวิศวกรรมศาสตร์

มหาวิทยาลัยเทคโนโลยีราชมงคลกรุงเทพ เลขที่ 2 ถนนนangลิ้นจี่

ແຂວງທຸກມໍາໄນ້ ເນັດສາທາລະນະລັດ ປະຊາທິປະໄຕ ປະຊາຊົນລາວ ວັດທະນາຖາວອນ

โทรศัพท์ 0 2286 9629

ที่อยู่ปัจจุบัน 116/95 ตึก B3 อาคาร LPN รามคำแหง 43/1 แขวง/เขต วังทองหลาง

กรุงเทพฯ 10310 E-mail chanrit.t@rmutk.ac.th

## 5. ประวัติการศึกษา

ระดับ การศึกษา	อักษรย่อ ปริญญา	วิชาเอก	สถานศึกษา	ปีที่ สำเร็จ	ประเทศ
ปริญญาโท	ว.ศ.ม.	วิศวกรรมไฟฟ้า	สถาบันเทคโนโลยีพระจอมเกล้าเจ้าคุณ ทหารลาດกระนัง	2546	ไทย
ปริญญาตรี	ค.บ.	วิศวกรรมไฟฟ้า	สถาบันเทคโนโลยีพระจอมเกล้าพระ นครเหนือ	2543	ไทย

6 สาขาวิชาการที่มีความช้านาญพิเศษ ระบบควบคุมอิเล็กทรอนิกส์กำลัง พลังงาน  
พลังงาน

7. ประสบการณ์ที่เกี่ยวข้องกับการบริหารงานวิจัยทั้งภายในและภายนอกประเทศ โดยระบุสถานภาพในการทำวิจัยว่าเป็นผู้อำนวยการแผนงานวิจัย หัวหน้าโครงการวิจัย หรือผู้ร่วมวิจัยในแต่ละข้อเสนอการวิจัย

## 7.1 ផ្នែកវាយការណេនាំវិជ្ជៈ: ចែងផែនការវិជ្ជៈ

## 7.2 หัวหน้าโครงการวิจัย: ชื่อโครงการวิจัย

- เครื่องจำลองกังหันลมด้วยมอเตอร์เหนี่ยวน่าที่มีการควบคุมแบบ Real-time (ปีงบประมาณ 2553) ร่วมวิจัยและจบโครงการเรียนร้อย
- ชุดฝึกวิชาศึกษาด้านอิเล็กทรอนิกส์กำลังด้วย DSP (TMS320F2812) ที่มีการควบคุมแบบ Real-time (ปีงบประมาณ 2553) หัวหน้าโครงการและจบโครงการเรียนร้อย
- การพัฒนาแหล่งจ่ายพลังงานไฟฟ้าแบบไฮบริดสำหรับป้ายแสดงผลอิเล็กทรอนิกส์ (ปีงบประมาณ 2554) หัวหน้าโครงการและจบโครงการเรียนร้อย
- เครื่องทำลายข้อมูลด้วยการอาร์กไฟฟ้าแบบพกพา" (ปีงบประมาณ 2554) หัวหน้าโครงการและจบโครงการเรียนร้อย
- เครื่องประดุจแบตเตอรี่แบบค่าตัวประกอบกำลังสูงสำหรับแบตเตอรี่แบบลิเทียมไอออน และแบบกรดตะกั่ว (ปีงบประมาณ 2554) ร่วมวิจัยและจบโครงการเรียนร้อย
- ระบบผลิตไฟฟ้าด้วยกังหันลมที่มีกำลังไฟฟ้าสม่ำเสมอตัวอย่างตราค่าป่าชีเดอร์ (งบประมาณ สกอ. ปีงบประมาณ 2554) หัวหน้าโครงการและอยู่ระหว่างวิจัย

### 7.3 งานวิจัยที่ทำเสร็จแล้ว: ชื่อผลงานวิจัย ปีที่พิมพ์ การเผยแพร่ และแหล่งทุน

- "Identification and control of brushless DC motor using on-line trained artificial neural networks", Tipsuwanporn, V.; Piyarat, W.; **Tarasantisuk, C.**, PCC2002, Japan.
- "Enhanced control design of single phase AC-DC converter using power balance calculator" Tipsuwanporn, V.; **Tarasantisuk C.**, Piyarat W., Power and Energy System conference, IASTED
- "A Matlab/Simulink tool for power converters teaching - a power factor correction approach", Tipsuwanporn, V.; **Tarasantisuk, C.**; Phanphairoje, S., PEDS2003, Singapore
- "A Matlab/Simulink Tool for Enhancing Efficient Education of Power Electronics Corresponding to the ETH Power Converter Laboratory", **C. Tarasantisuk**, S. Tunyasirut and V.Tipsuwanporn, IECON2004, Korea.
- "Representations of Robustly Stabilizing Controller Structure for Distributed Control Architectures with Plant Uncertainties" K. Witheephanich, W. Piyarat and **C. Tarasantisuk**, IECON2004, Korea
- "Controller Design for a Networked Control System with Plant Uncertainties"; K. Witheephanich, W. Piyarat and **C. Tarasantisuk**, EECON27, (Best Paper), Khonkhan University

- "The Experimental Setup of DC Motor Speed and Position Control with LabVIEW Programming" C. Tarasantisuk, EECON29, มหาวิทยาลัยเทคโนโลยีราชมงคลธัญบุรี

- "Position Control of DC Motor using Sliding Mode Control" เวคิน ปิยรัตน์ ฉลอง  
โสดาบัน และชาญฤทธิ์ รา拉สันติสุข, EECON31, มหาวิทยาลัยศรีนครินทรวิโรฒ

- "Z-source Inverter for Renewable Energy Applications" พินิจ เทพสาระ เวคิน ปิยรัตน์ และ ชาญฤทธิ์ รา拉สันติสุข, EECON31, มหาวิทยาลัยศรีนครินทรวิโรฒ

- "เครื่องประจุแบตเตอรี่ค่าตัวประกอบกำลังสูงแบบสองภาค", พินิจ เทพสาระ ชาญฤทธิ์ รา拉สันติสุข สุวิทย์ เสาเปา และเอกพันธ์ หาญสัมฤทธิ์, EECON33, เชียงใหม่

- "การประยุกต์ใช้งานชุดปะออร์ค้าป้าชีเตอร์เป็นอุปกรณ์กักเก็บพลังงานร่วมกับเซลล์แสงอาทิตย์", ชาญฤทธิ์ รา拉สันติสุข, สุเทพ ชูผึ้ง และทวิวัช ชัยพิพัฒน์, EECON33, เชียงใหม่

- "เครื่องจำลองกังหันลมด้วยมอเตอร์เห็นได้ชัดสำหรับทดสอบระบบผลิตไฟฟ้าจาก กังหันลม" ชาญฤทธิ์ รา拉สันติสุข, การประชุมเครือข่ายพลังงานแห่งประเทศไทย ครั้งที่ 6, มหาวิทยาลัยศรีนครินทรวิโรฒ, 5-7 พ.ค. 2553

- "Real-Time Wind Turbine Emulator for Testing Wind Energy Conversion Systems", Kumsup S., Tarasantisuk C., EnergyCON 2010, pp.7-9

- "บูสต์ดีซีทูดีซีคอนเวอร์เตอร์แบบสามระดับที่มีการควบคุมแรงดันคงที่ด้วยด้าวชดเชย แบบเพสนาหน้า-เพสล้าหลัง" EECON34, สรวชพล คุ้มทรัพย์ และชาญฤทธิ์ รา拉สันติสุข, มหาวิทยาลัยสยาม

- "อินเวอร์เตอร์หนึ่งเฟสแบบเชื่อมต่อ กับระบบจานวนไฟฟ้าด้วย dsPIC30F4011" EENET2012, เอกพล อนุสุเรนทร์, ชาญฤทธิ์ รา拉สันติสุข

"บูสต์ดีซีทูดีซีคอนเวอร์เตอร์แบบขนาด 4 โมดูลตัวยี่ห้อคินเดอร์ลีฟ" EENET2012, ปิยะพร คงชัยขาวสะอาด, พาสุข เรืองรัมย์ และชาญฤทธิ์ รา拉สันติสุข

- "การแปลงผันไฟฟ้ากระแสสลับเป็นไฟฟ้ากระแสตรงแบบสามเฟสที่ควบคุมกระแสด้วย วิธีอิสเตอร์ซิลิคสำหรับประยุกต์ใช้งานกับกังหันลม", E-NETT8, ชาญฤทธิ์ รา拉สันติสุข และ ทองอินทร์ สุยะหา

- "การควบคุมกระแสแบบสัดส่วนบาร์โโซแนร์สำหรับอินเวอร์เตอร์หนึ่งเฟสแบบต่อ เข้าระบบจานวนไฟฟ้ากำลังด้วยไมโครคอนโทรลเลอร์ TMS320F2808" EECON35, เอกพล อนุสุเรนทร์ และชาญฤทธิ์ รา拉สันติสุข, มหาวิทยาลัยกรุงเทพ

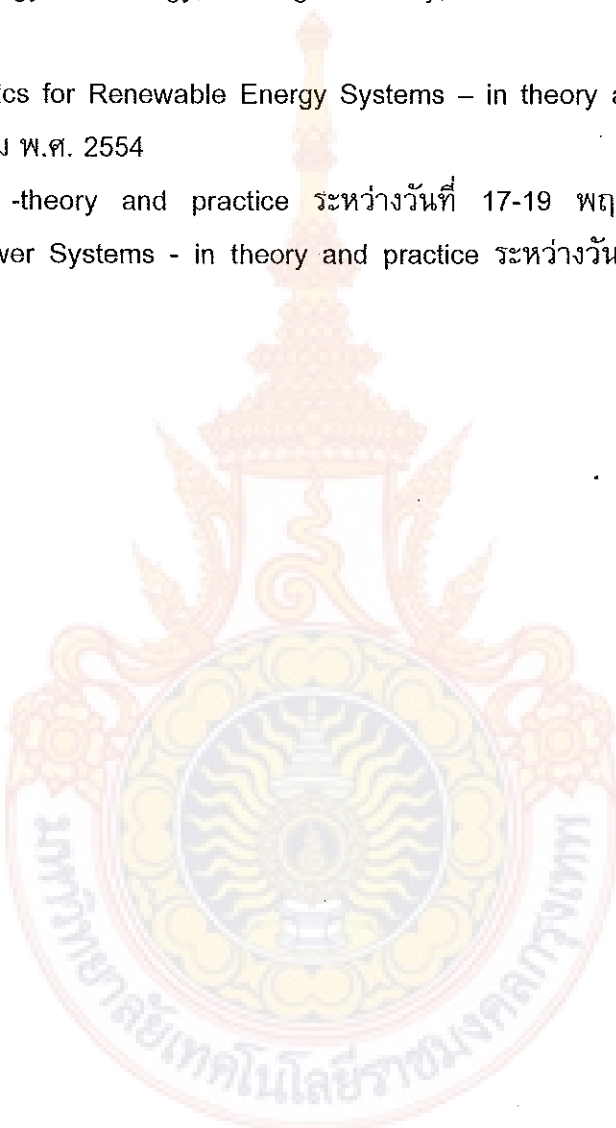
#### 7.4 วิทยากรอบรมเรื่อง

- Control systems Laboratory with Real time control
- Power Electronics and Drives Laboratory with Matlab/Simulink

#### 7.5 ผู้นำการอบรมหลักสูตร

Department of Energy Technology, Aalborg University, เมืองอัลбор์ก ประเทศเดนมาร์ก ใน  
หลักสูตรดังต่อไปนี้

1. Power Electronics for Renewable Energy Systems – in theory and practice ระหว่าง  
วันที่ 3-5 พฤษภาคม พ.ศ. 2554
2. Micro grids in -theory and practice ระหว่างวันที่ 17-19 พฤษภาคม พ.ศ. 2554
3. Photovoltaic Power Systems - in theory and practice ระหว่างวันที่ 23-26 พฤษภาคม  
พ.ศ. 2554



- 1 ชื่อ และ นามสกุล นายบุญช่วย เจริญผล  
Mr. Boonchuay Jareanpon
- 2 หมายเลขบัตรประชาชน 3-7201-00881-14-7
- 3 ตำแหน่งปัจจุบัน อ้าวารย์ระดับ 7  
สาขาวิชาที่ทำการวิจัย สาขาวิศวกรรมไฟฟ้า
- 4 สถานที่ติดต่อ  
ที่ทำงานปัจจุบัน สาขาวิชาชีวกรรมไฟฟ้า คณะวิศวกรรมศาสตร์  
มหาวิทยาลัยเทคโนโลยีราชมงคลกรุงเทพ เลขที่ 2 ถนนนางลินจี  
แขวงทุ่งมหาเมฆ เขตสาทร กรุงเทพฯ รหัสไปรษณีย์ 10120  
โทรศัพท์ 0 2286 9629
- ที่อยู่ปัจจุบัน 52/3 หมู่ 9 ต. เข้าพระ อ.เดิมบางนางนวก จ.สุพรรณบุรี 72120  
E-mail boonchuay.j@yahoo.com

## 5. ประวัติการศึกษา

ระดับ การศึกษา	อักษรย่อ ปริญญา	วิชาเอก	สถานศึกษา	ปีที่ สำเร็จ	ประเทศ
ปริญญาโท	ค.ม.	วิศวกรรมไฟฟ้า	สถาบันเทคโนโลยีพระจอมเกล้าพระ นครเหนือ	2545	ไทย
ปริญญาตรี	ว.ศ.บ.	วิศวกรรมไฟฟ้า	มหาวิทยาลัยเทคโนโลยีราชมงคลธัญบุรี	2546	ไทย

6 สาขาวิชาการที่มีความชำนาญพิเศษ ระบบควบคุมอิเล็กทรอนิกส์กำลัง พลังงาน  
ทดแทน

7. ประสบการณ์ที่เกี่ยวข้องกับการบริหารงานวิจัยทั้งภายในและภายนอกประเทศไทย

7.1 ผู้อำนวยการแผนงานวิจัย: ชื่อแผนงานวิจัย

7.2 หัวหน้าโครงการวิจัย: ชื่อโครงการวิจัย

- เครื่องจำลองกังหันลมด้วยมอเตอร์เห็นได้ยาน้ำที่มีการควบคุมแบบ Real-time  
(ปีงบประมาณ 2553) ร่วมวิจัย

ภาคผนวก ค  
รายงานสรุปการเงิน  
เลขที่โครงการ 2555A16662004  
โครงการส่งเสริมการวิจัยในอุดมศึกษาและพัฒนามหาวิทยาลัยแห่งชาติ  
สำนักงานคณะกรรมการการอุดมศึกษา

มหาวิทยาลัยเทคโนโลยีราชมงคลกรุงเทพ

ชื่อโครงการ: โพโตโวต้าอิคดีซีเนะโนกริด

ผู้ดูแลโครงการ: นายสารธิพัล คุ้มทรัพย์ นายชาญฤทธิ์ ราารสันติสุข  
และ นายบุญช่วย เจริญผล

รายงานในช่วงตั้งแต่วันที่ ๑ มิถุนายน ปี ๒๕๕๕ ถึง ๑๙ ธันวาคม ปี ๒๕๕๕

ระยะเวลาดำเนินการ ๑ ปี ๒ เดือนตั้งแต่วันที่ ๑ ตุลาคม ปี ๒๕๕๔ ถึง ๑๙ ธันวาคม ปี ๒๕๕๕

รายจ่าย

หมวด (ตามสัญญา)	รายจ่ายสะสม จากรายงานครั้ง ก่อน	ค่าใช้จ่ายงวด ปัจจุบัน	รวมรายจ่าย สะสมถึง ปัจจุบัน	งบประมาณที่ตั้ง <sup>ไว้</sup>	คงเหลือ/เกิน
1. ค่าตอบแทน	45,780.00	37,000.00	82,780.00	82,780.00-	0
2. ค่าจ้าง	-	-	-	7,000.00	+7,000.00
3. ค่าวัสดุ	139,024.16	92,936.91	231,961.07	220,859.00	-11,102.07
4. ค่าใช้สอย	35,000.00	10,000.00	45,000.00	45,000.00	0
5. สาธารณูปโภค	14,361.00	-	14,361.00	-	0
รวม	234,165.16	135,936.91	374,102.07	370,000.00	-4,102.07

จำนวนเงินที่ได้รับและจำนวนเงินคงเหลือ

งวดที่ ๑ 222,000.00 บาท เมื่อ ๑๔ มิถุนายน ๒๕๕๕

งวดที่ ๒ 148,000.00 บาท เมื่อ ยังไม่ได้รับ

รวม 370,000.00 บาท

ลงนามหัวหน้าโครงการวิจัยผู้รับทุน

น.ส. มนต์รัตน์

ลงนามเจ้าหน้าที่การเงินโครงการ